



OFICINA ESPAÑOLA DE PATENTES Y MARCAS

ESPAÑA



11 Número de publicación: 2 510 440

51 Int. Cl.:

C07K 14/415 (2006.01)

(12)

TRADUCCIÓN DE PATENTE EUROPEA

T3

96 Fecha de presentación y número de la solicitud europea: 05.06.2003 E 03738256 (1)

(97) Fecha y número de publicación de la concesión europea: 13.08.2014 EP 1513873

54 Título: Epítopos terapéuticos y sus usos

(30) Prioridad:

05.06.2002 GB 0212885

(45) Fecha de publicación y mención en BOPI de la traducción de la patente: 21.10.2014

(73) Titular/es:

ISIS INNOVATION LIMITED (100.0%) EWERT HOUSE, EWERT PLACE SUMMERTOWN, OXFORD OX2 7SG, GB

(72) Inventor/es:

ANDERSON, R. P.; HILL, A. V. S. y JEWELL, DEREK PARRY

(74) Agente/Representante:

PONS ARIÑO, Ángel

DESCRIPCIÓN

Epítopos terapéuticos y sus usos

5 La invención se refiere a epítopos útiles en el diagnóstico y tratamiento de la enfermedad celíaca, incluyendo diagnóstico, tratamiento, kits, y métodos de uso de lo anterior.

Una reacción inmunológica a la gliadina (un componente del gluten) en la dieta provoca la enfermedad celíaca. Es sabido que las respuestas inmunitarias en el tejido intestinal responden preferentemente a la gliadina que ha sido modificada por una transglutaminasa intestinal. La enfermedad celíaca se diagnostica mediante la detección de anticuerpos dirigidos contra el endomisio, pero esto requiere confirmación mediante el hallazgo de inflamación linfocítica en biopsias intestinales. La obtención de dicha biopsia es un inconveniente para el paciente.

Los investigadores hasta ahora han asumido que únicamente las respuestas de los linfocitos T intestinales proporcionan una indicación precisa de la respuesta inmunitaria contra gliadinas. Por tanto, se han concentrado en la investigación de las respuestas de los linfocitos T en tejido intestinal¹. Se conocen² los epítopos de gliadina que requieren la modificación por transglutaminasa (antes de que sean reconocidos por el sistema inmunitario).

Los inventores han encontrado el epítopo inmunodominante de A-gliadina para linfocitos T reconocido por el sistema inmunitario en la enfermedad celíaca, y han demostrado que es reconocido por los linfocitos T en la sangre periférica de individuos con enfermedad celíaca (véase, documento WO 01/25793). Se ha comprobado que dichos linfocitos T están presentes con una frecuencia suficientemente alta para ser detectables sin reestimulación (es decir, se podría usar un sistema de detección de "respuesta primaria"). El epítopo se identificó usando un método basado en la clonación de células no T que proporciona un reflejo más preciso de los epítopos reconocidos. El epítopo inmunodominante requiere la modificación por transglutaminasa (provocando la sustitución de una glutamina particular por glutamato) antes del reconocimiento por el sistema inmunitario.

En base a este trabajo, los inventores han desarrollado un ensayo que se puede usar para diagnosticar la enfermedad celíaca en una fase temprana. El ensayo se puede llevar a cabo sobre una muestra de sangre periférica 30 y por tanto no es necesaria una biopsia intestinal. El ensayo es más sensible que los ensayos con anticuerpos que se usan en la actualidad.

Mediante el mapeo integral de los epítopos de gliadina de trigo para linfocitos T (véase Ejemplo 13), los inventores también han encontrado epítopos bioactivos en la enfermedad celíaca en pacientes HLA-DQ2+ en otras gliadinas de trigo, que tienen secuencias centrales similares (por ejemplo, SEQ ID NO: 18-22) y secuencias de longitud completa similares (por ejemplo, SEQ ID NO: 31-36), al igual que en secalinas de centeno y hordeínas de cebada (por ejemplo, SEQ ID NO: 39-41); véase también las Tablas 20 y 21. Además, se han identificado varios epítopos bioactivos en la enfermedad celíaca en pacientes HLA-DQ8+ (por ejemplo, SEQ ID NO: 42-44, 46). Este mapeo integral proporciona de esta forma los epítopos dominantes reconocidos por los linfocitos T en pacientes celíacos. 40 Los métodos de la invención descritos en este documento se pueden llevar a cabo usando el epítopo adicional

- 10 Los metodos de la invención descritos en este documento se pueden llevar a cabo usando el epitopo adicional identificado que comprende la secuencia de la SEQ ID NO: 19 o una secuencia que se puede obtener mediante la desamidación por una transglutaminasa de la secuencia SEQ ID NO: 19. Es decir, los agentes de la invención involucran este nuevo epítopo.
- 45 La invención también proporciona el uso del agente para la preparación de un medio diagnóstico para su uso en un método de diagnosis de la enfermedad celíaca, o de susceptibilidad a la enfermedad celíaca, en un individuo, dicho método que comprende la determinación de si los linfocitos T del paciente reconocen el agente, dónde el reconocimiento por parte de los linfocitos T indica que el paciente tiene, o es susceptible a, la enfermedad celíaca.
- 50 El hallazgo de un epítopo inmunodominante que es modificado por la transglutaminasa (así como los otros epítopos adicionales definidos en este documento) también permite el diagnóstico de la enfermedad celíaca en base a la determinación de si hay presentes otros tipos de respuestas inmunitarias a este epítopo. Así, la invención también proporciona un método de diagnóstico de la enfermedad celíaca, o de susceptibilidad a la enfermedad celíaca en un individuo, que comprende la determinación de la presencia de un anticuerpo que se une al epítopo en una muestra 55 procedente del individuo, donde la presencia del anticuerpo indica que el individuo tiene, o es susceptible a, la enfermedad celíaca.

La invención además proporciona el agente, opcionalmente asociado a un vehículo, para su uso en un método de tratamiento o prevención de la enfermedad celíaca mediante la inducción de tolerancia de los linfocitos T que

reconocen el agente. Además se proporciona el agente para su uso en un método de tratamiento o prevención de la enfermedad celíaca en un individuo mediante la inducción de tolerancia del individuo para prevenir la producción de dicho anticuerpo.

5 La invención proporciona un método para determinar si una composición es capaz de provocar la enfermedad celíaca, que comprende la determinación de si hay presente en la composición una proteína que se pueda modificar mediante una transglutaminasa en una secuencia de oligopéptidos como se ha definido anteriormente, donde la presencia de la proteína indica que la composición es capaz de provocar la enfermedad celíaca.

10 Resumen de la invención

20

25

30

40

55

La presente invención proporciona un péptido aislado que comprende al menos un epítopo para linfocitos T, en el que el epítopo tiene una longitud no superior a 50 aminoácidos y el epítopo para linfocitos T comprende una secuencia seleccionada entre FPQPQQPFP y una secuencia que se puede obtener mediante la desamidación por una transglutaminasa de la secuencia FPQPQQPFP (el "péptido de la invención").

La presente invención también proporciona un péptido de la invención, en el que el péptido comprende una secuencia que se puede obtener mediante la desamidación por transglutaminasa de la secuencia FPQPQQPFP, para su uso en un método de tratamiento.

La presente invención también proporciona una composición que comprende (a) un péptido de la invención, en el que el péptido comprende una secuencia que se puede obtener mediante la desamidación por transglutaminasa de la secuencia FPQPQQPFP, y (b) un segundo agente que es un péptido que comprende al menos un epítopo que contiene una secuencia seleccionada entre PQPELPY y QLQPFPQPELPYPQPQS.

La presente invención también proporciona una composición que comprende un primer agente restringido a HLA-DQ2 y un segundo agente restringido a HLA-DQ8, en donde la composición comprende un péptido de la invención, en el que el péptido comprende una secuencia que se puede obtener mediante la desamidación por una transglutaminasa de la secuencia FPQPQQPFP.

La presente invención también proporciona una composición que comprende un agente que contiene un epítopo de trigo y un agente que contiene un epítopo de centeno, en donde la composición comprende un péptido de la invención, en el que el péptido comprende una secuencia que se puede obtener mediante la desamidación por una transglutaminasa de la secuencia FPQPQQPFP.

La presente invención también proporciona una composición que comprende un agente que contiene un epítopo de trigo y un agente que contiene un epítopo de cebada, en donde la composición comprende un péptido de la invención, en el que el péptido comprende una secuencia que se puede obtener mediante la desamidación por una transglutaminasa de la secuencia FPQPQQPFP.

La presente invención también proporciona una composición que comprende un agente que contiene un epítopo de centeno y un agente que contiene un epítopo de cebada, en donde la composición comprende un péptido de la invención, en el que el péptido comprende una secuencia que se puede obtener mediante la desamidación por una transglutaminasa de la secuencia FPQPQQPFP.

La presente invención también proporciona una composición que comprende un agente que contiene un epítopo de trigo, un agente que contiene un epítopo de cebada, y un agente que contiene un epítopo de centeno, en donde la composición comprende un péptido de la invención, en el que el péptido comprende una secuencia que se puede obtener mediante la desamidación por una transglutaminasa de la secuencia FPQPQQPFP.

La presente invención proporciona adicionalmente un péptido de la invención, en donde el péptido comprende una secuencia que se puede obtener mediante la desamidación por transglutaminasa de la secuencia FPQPQQPFP, para su uso en la inducción de tolerancia de un individuo a una proteína gliadina para suprimir la producción de una respuesta de linfocitos T a dicho péptido.

La presente invención también proporciona un péptido de la invención, en donde el péptido comprende una secuencia que se puede obtener mediante la desamidación por transglutaminasa de la secuencia FPQPQQPFP, para su uso en el tratamiento o prevención de la enfermedad celíaca.

La presente invención también proporciona una composición farmacéutica que comprende: (a) un péptido de la invención, en donde el péptido comprende una secuencia que se puede obtener mediante la desamidación por transglutaminasa de la secuencia FPQPQQPFP; (b) un vehículo o diluyente farmacéuticamente aceptable; y, opcionalmente, (c) un péptido que comprende al menos un epítopo que contiene una secuencia seleccionada entre 5 PQPELPY y QLQPFPQPELPYPQPQS.

La presente invención proporciona un método para el diagnóstico de la enfermedad celíaca, o de susceptibilidad a la enfermedad celíaca, en un individuo que comprende:

- 10 (a) la puesta en contacto de una muestra procedente del hospedador con al menos un péptido de la invención, en donde el péptido comprende una secuencia que se puede obtener mediante la desamidación por transglutaminasa de la secuencia FPQPQQPFP, y opcionalmente, además, un péptido que comprende al menos un epítopo que contiene una secuencia seleccionada entre PQPELPY y QLQPFPQPELPYPQPQS;
- 15 (b) *la determinación in vitro* de si los linfocitos T de la muestra reconocen el péptido; donde el reconocimiento por los linfocitos T indica que el individuo tiene, o es susceptible a, la enfermedad celíaca.
- La presente invención además proporciona el uso de un péptido de la invención, en donde el péptido comprende una secuencia que se puede obtener mediante la desamidación por transglutaminasa de la secuencia 20 FPQPQQPFP, para la preparación de un medio diagnóstico para su uso en un método de diagnosis de la enfermedad celíaca, en un individuo, dicho método que comprende la
- enfermedad celíaca, o de susceptibilidad a la enfermedad celíaca, en un individuo, dicho método que comprende la determinación de si los linfocitos T del individuo reconocen el péptido, donde el reconocimiento por los linfocitos T indica que el individuo tiene, o es susceptible a, la enfermedad celíaca.
- 25 La invención además proporciona un método para la identificación de un análogo, análogo que es un péptido de la invención, en donde el péptido comprende una secuencia que se puede obtener mediante la desamidación por transglutaminasa de la secuencia FPQPQQPFP, unido a una molécula de HLA o a un fragmento de una molécula de HLA capaz de unirse al péptido, cuyo método comprende la determinación de si una sustancia candidata es reconocida por un receptor de los linfocitos T que reconoce un epítopo que comprende una secuencia que se puede 30 obtener mediante desamidación por transglutaminasa de la secuencia FPQPQQPFP, donde el reconocimiento de la sustancia indica que la sustancia es un análogo.
- La invención también proporciona un método para la determinación de si una composición es capaz de provocar la enfermedad celíaca, que comprende la determinación de si hay presente en la composición una proteína que 35 comprende una secuencia de oligopéptidos seleccionada entre FPQPQQPFP, QQPFPQPQQPFP y QQPFPQPQQPFP, donde la presencia de la proteína indica que la composición es capaz de provocar la enfermedad celíaca.
- Aún más, la invención proporciona un anticuerpo que se une específicamente a una secuencia seleccionada entre 40 FPQPQQPFP, QQPFPQPQQPFP y QPFPQPQQPFPWQP.

La invención también proporciona un kit para llevar a cabo:

- i. el método de diagnóstico de la invención en un individuo de la enfermedad celíaca, o de susceptibilidad a la 45 enfermedad celíaca; o
 - ii. el uso para la preparación de un medio diagnóstico de la invención;
- donde el kit que comprende un péptido de la invención, en el que el péptido comprende una secuencia que se puede 50 obtener mediante desamidación por transglutaminasa de la secuencia FPQPQQPFP, y un medio para detectar el reconocimiento del péptido por los linfocitos T.

La invención también proporciona el uso de un péptido de la invención para producir un anticuerpo específico contra el péptido.

Breve descripción de los dibujos

55

La invención está ilustrada por los dibujos acompañantes en los que:

4

La figura 1 muestra respuestas ELISPOT para IFN-γ de PBMC (células mononucleares de sangre periférica) recién aisladas (el eje vertical muestra puntos de formación de células por 10⁶ PBMC) a un pool de péptidos, pool 3, tratados y no tratados con transglutaminasa (tTG) (cada péptido 10 μg/ml) que incluye cinco 15-mer que se solapan y abarcan la A-gliadina 51-85 (véase Tabla 1) y una gliadina digerida con α-quimotripsina (40 μg/ml) en un Individuo 1 con enfermedad celíaca, inicialmente en remisión después de una dieta sin gluten y a continuación expuesto a 200 g de pan al día durante tres días desde el día 1 (a). Las respuestas ELISPOT para IFN-γ de PBMC por parte del Individuo 2 a pools de péptidos 1-10 de A-gliadina tratados con tTG que abarcan toda la proteína A-gliadina para una exposición a pan durante 10 días (b). El eje horizontal muestra los días después de comenzar la exposición al pan.

- 10 La figura 2 muestra las respuestas ELISPOT para IFN-γ de PBMC al pool de péptidos, pool 3, tratados con tTG (que abarcan la A-gliadina 51-85) en 7 individuos con enfermedad celíaca (el eje vertical muestra puntos de formación de células por 10⁶ PBMC), inicialmente en remisión sometidos a una dieta sin gluten, expuestos a pan durante tres días (días 1 a 3). El eje horizontal muestra los días después del comienzo de la exposición al pan. (a). Respuestas ELISPOT para IFN-γ de PBMC a péptidos 15-mer que se solapan tratados con tTG incluidos en el pool 3; las barras 15 representan la respuesta media (± SEM) a péptidos individuales (10 μg/ml) en 6 pacientes con enfermedad celíaca los días 6 o 7 (b). (En pacientes individuales, las respuestas ELISPOT a los péptidos se calcularon como % de respuesta provocada por el péptido 12 como se muestra por el eje vertical).
- La figura 3 muestra respuestas ELISPOT para IFN-γ de PBMC a truncados de A-gliadina 56-75 (0,1 μM) tratados 20 con tTG. Las barras representan la media (± SEM) en 5 individuos con enfermedad celíaca. (En individuos individuales, las respuestas se calcularon como % de respuesta máxima provocada por cualquiera de los péptidos sometidos a ensayo).
- La figura 4 muestra cómo se mapeo la estructura mínima del epítopo de A-gliadina dominante usando péptidos de A-25 gliadina de 7-17-mer (0,1 μM) tratados con tTG que incluyen la secuencia, PQPQLPY (SEQ ID NO: 4) (A-gliadina 62-68) (a), y los mismos péptidos sin el tratamiento con tTG pero con la sustitución Q→E65 (b). Cada línea representa las respuestas ELISPOT para IFN-γ de PBMC en cada uno de los tres individuos con enfermedad celíaca los días 6 o 7 después de haber ingerido pan los días 1-3. (En individuos individuales, las respuestas ELISPOT se calcularon como % de la respuesta provocada por el 17-mer de A-gliadina 57-73).

30

- La figura 5 muestra los aminoácidos desamidados por la tTG. La secuencia LQLQPFPQPQLPYPQPQSFP (SEQ ID NO: 5) (0,1 μ M) de A-gliadina 56-75 se incubó con tTG (50 μ g/ml) a 37 °C durante 2 horas. Se identificó un solo producto y se purificó por HPLC de fase inversa. El análisis de los aminoácidos permitió el cálculo del % de desamidación (Q \rightarrow E) de cada resto de Gln en A-gliadina 56-75 que se puede atribuir a la tTG (eje vertical).
- La figura 6 muestra el efecto de sustituir Q→E en A-gliadina 57-73 en otras posiciones además de Q65 usando los 17-mer: ELQPFPQPELPYPQPQS (SEQ ID NO: 6) (E57,65), QLQPFPQPELPYPQPES (SEQ ID NO: 7) (E65,72), ELQPFPQPELPYPQPES (SEQ ID NO: 8) (E57, 65, 72), y QLQPFPQPELPYPQPQS (SEQ ID NO: 2) (E65) en tres individuos con enfermedad celíaca los días 6 o 7 después de haber ingerido pan los días 1-3. El eje vertical muestra 40 el % de la respuesta E65.
- La figura 7 muestra que la A-gliadina 56-75 (0,1 μM) tratada con tTG provoca respuestas ELISPOT para IFN-γ en (a) PBMC con cuentas magnéticas agotadas de CD4 y CD8. (Las barras representan las respuestas de PBMC agotadas de CD4 como % de respuestas de PBMC agotadas de CD8; los puntos de formación de células por millón de PBMC agotadas de CD8 fueron: Individuo 4: 29, y Individuo 6: 535). (b) Respuestas ELISPOT para IFN-γ de PBMC (puntos de formación de células/millón de PBMC) después de la incubación con anticuerpos monoclonales para HLA-DR (L243), -DQ (L2) y -DP (B7.21) (10 μg/ml) 1 h antes de la A-gliadina 56-75 (0,1 μM) tratada con tTG en dos pacientes con enfermedad celíaca homocigóticos para HLA-DQ a1*0501, b1*0201.
- 50 La figura 8 muestra el efecto de sustituir la Glu en posición 65 por otros aminoácidos en el epítopo inmunodominante. El eje vertical muestra el % de respuesta en los 3 pacientes con respecto al epítopo inmunodominante.
- La figura 9 muestra la inmunorreactividad de péptidos de gliadina de origen natural (midiendo las respuestas de 3 55 individuos) que contienen la secuencia PQLPY (SEQ ID NO: 12) con (sombreado) y sin (claro) tratamiento con transglutaminasa.
 - La figura 10 muestra la depleción de cuentas inmunomagnéticas específicas para CD8, CD4, β7, y αE de células mononucleares de sangre periférica procedente de dos individuos celíacos, 6 días después de comenzar la

exposición a gluten seguido por ELISPOT para interferón gamma. Como antígenos se usaron la A-gliadina 57-73 QE65 (25 μg/ml), gliadina digerida con quimotripsina y tratada con tTG (100 μg/ml) o PPD (10 μg/ml).

La figura 11 muestra respuestas en diferentes grupos de pacientes.

La figura 12 muestra la bioactividad de homólogos de prolamina de la A-gliadina 57-73.

La figura 13 muestra, para individuos HLA-DQ2 sanos, el cambio en las respuestas ELISPOT para IFN-γ para pools de péptidos de A-gliadina desamidados con tTG.

La figura 14 muestra, para individuos HLA-DQ2 celíacos, el cambio en las respuestas ELISPOT para IFN-γ para pools de péptidos de A-gliadina desamidados con tTG.

La figura 15 muestra las contribuciones individuales de los péptidos a la respuesta "sumada" del péptido de gliadina.

La figura 16 muestra, para el individuo celíaco C08 HLA-DQ2/8, las respuestas ELISPOT para IFN-γ inducidas por exposición a gluten para pools de péptidos de A-gliadina desamidados con tTG.

La figura 17 muestra, para el individuo celíaco C07 HLA-DQ2/8, las respuestas ELISPOT para IFN-γ inducidas por 20 exposición a gluten para pools de péptidos de A-gliadina desamidados con tTG.

La figura 18 muestra, para el individuo celíaco C12 HLA-DQ8/7, las respuestas ELISPOT para IFN-γ inducidas por exposición a gluten para pools de péptidos de A-gliadina desamidados con tTG.

25 La figura 19 muestra, para el individuo celíaco C11 HLA-DQ6/8, las respuestas ELISPOT para IFN-γ inducidas por exposición a gluten para pools de péptidos de A-gliadina desamidados con tTG.

Descripción detallada de la invención

- 30 El término "enfermedad celíaca" engloba un espectro de dolencias provocadas por grados variables de sensibilidad al gluten, que incluye una forma grave caracterizada por una mucosa plana del intestino delgado (atrofia vellosa hiperplásica) y otras formas caracterizadas por síntomas más leves.
- El individuo mencionado anteriormente (en el contexto del diagnóstico o el tratamiento) es un ser humano. Puede 35 padecer la enfermedad celíaca (sintomática o asintomática) o ser sospechoso de tenerla. Puede estar en una dieta sin gluten. Puede estar en una respuesta de fase aguda (por ejemplo, puede padecer la enfermedad celíaca, pero sólo ha ingerido gluten en las últimas 24 horas, antes de las cuales había estado en una dieta sin gluten durante 14 a 28 días).
- 40 El individuo puede ser susceptible a la enfermedad celíaca, tal como una susceptibilidad genética (determinada por ejemplo por que el individuo tiene parientes con enfermedad celíaca o posee genes que causan predisposición a la enfermedad celíaca).

El agente

45

5

15

El agente es un péptido de hasta 50 aminoácidos de longitud, tal como de 10 a 40, o de 15 a 30 aminoácidos de longitud.

La SEQ ID NO: 1 es PQPELPY. La SEQ ID NO: 2 es QLQPFPQPELPYPQPQS. La SEQ ID NO: 3 se muestra en la 50 Tabla 1 y es la secuencia de una A-gliadina completa. El glutamato en posición 4 de la SEQ ID NO: 1 (equivalente a la posición 9 de la SEQ ID NO: 2) es generado por tratamiento de la A-gliadina con transglutaminasa. La transglutaminasa está disponible en el mercado (por ejemplo Sigma T-5398).

Un análogo de un péptido de la invención puede ser reconocido por un TCR que reconoce el péptido de la invención.

55 Por tanto, generalmente cuando se añade el análogo a linfocitos T en presencia del péptido de la invención, normalmente también en presencia de una célula presentadora de antígenos (APC) (tal como cualquiera de las APC mencionadas en este documento), el análogo inhibe el reconocimiento del péptido de la invención, es decir, el análogo es capaz de competir con el péptido de la invención en un sistema de este tipo.

El análogo puede ser uno capaz de unirse al TCR que reconoce el péptido de la invención. Dicha unión se puede someter a ensayo mediante técnicas convencionales. Dichos TCR se pueden aislar a partir de linfocitos T que hayan demostrado reconocer el péptido de la invención (por ejemplo, usando el método de la invención). A continuación se puede demostrar la unión del análogo de los TCR determinando si los TCR inhiben la unión del análogo a una sustancia que se una al análogo, por ejemplo, un anticuerpo al análogo. Normalmente, el análogo está unido a una molécula de MHC de clase II (por ejemplo, HLA-DQ2) en dicho ensayo de inhibición de la unión.

Normalmente el análogo inhibe la unión del péptido de la invención a un TCR. En este caso se reduce la cantidad del péptido de la invención que se puede unir al TCR en presencia del análogo. Esto es debido a que el análogo es capaz de unirse al TCR y por tanto compite con el péptido de la invención para la unión al TCR. Los linfocitos T para uso en los experimentos de unión anteriores se pueden aislar de pacientes con enfermedad celíaca, por ejemplo con la ayuda del método de la invención. Otras características de unión del análogo también pueden ser idénticas a las del péptido de la invención, y por lo tanto normalmente el análogo se une a la misma molécula del MHC de clase II a la que se une el péptido (HLA-DQ2 o -DQ8). El análogo normalmente se une a anticuerpos específicos para el péptido de la invención, y por lo tanto inhibe la unión del péptido de la invención a dichos anticuerpos.

El análogo normalmente es un péptido. Puede tener homología con el péptido de la invención, normalmente al menos el 70 % de homología, preferentemente al menos el 80, 90 %, 95 %, 97 % o 99 % de homología con el péptido de la invención, por ejemplo, a lo largo de una región de al menos 15 o más aminoácidos contiguos (tal como la longitud completa del análogo y/o el péptido de la invención, o en toda la región que entra en contacto con el TCR o que se une a la molécula del MHC). Los métodos de medición de la homología de proteínas son muy conocidos en la técnica y los expertos en la materia comprenden que en el presente contexto, la homología se calcula en base a la identidad de aminoácidos (a veces denominada "homología dura").

25 Por ejemplo, el Paquete UWGCG proporciona el programa BESTFIT que se puede usar para calcular la homología (por ejemplo, usado con sus ajustes por defecto) (Devereux y col., (1984) Nucleic Acids Research 12, p387-395). Se pueden usar los algoritmos PILEUP y BLAST para calcular la homología o alinear secuencias (normalmente con sus ajustes por defecto), por ejemplo como se describe en Altschul S.F. (1993) J Mol Evol 36: 290-300; Altschul, S.F. y col., (1990) J Mol Biol 215: 403-10.

30

El software para realizar análisis BLAST está disponible públicamente a través del Centro Nacional de Información sobre Biotecnología en su web para todo el mundo a través de Internet en, por ejemplo, "www.ncbi.nlm.nih.gov/". Este algoritmo implica primero la identificación de pares de secuencia de alta puntuación (HSP) identificando palabras cortas de longitud W en la secuencia de búsqueda que coincidan o satisfagan alguna puntuación umbral T 35 de valor positivo cuando se alinean con una palabra de la misma longitud en una secuencia de base de datos. T es el umbral de puntuación de palabras vecinas (Altschul y col., supra). Estas coincidencias iniciales de palabras vecinas actúan como semillas para iniciar búsquedas y encontrar HSP que las contienen. Las coincidencias de palabras se extienden en ambas direcciones a lo largo de cada secuencia mientras se pueda incrementar la puntuación de alineamiento acumulativa. Las extensiones para las coincidencias de palabras en cada dirección se 40 detienen cuando: la puntuación de alineamiento acumulativa disminuye en la cantidad X desde su valor máximo alcanzado; la puntuación acumulativa llega a cero o por debajo, debido a la acumulación de una o más alineaciones de restos de puntuación negativa; o se alcanza el final de cualquiera de las secuencias. Los parámetros W, T y X del algoritmo BLAST determinan la sensibilidad y velocidad del alineamiento. El programa BLAST usa por defecto una longitud de palabra (W) de 11, alineamientos (B) de la matriz de puntuación BLOSUM62 (véase Henikoff y Henikoff 45 (1992) Proc Natl Acad Sci EE.UU. 89: 10915-10919) de 50, una expectativa (E) de 10, M = 5, N = 4, y una comparación de ambas cadenas.

El algoritmo BLAST realiza un análisis estadístico de la similitud entre dos secuencias; véase, por ejemplo, Karlin y Altschul (1993) Proc. Natl. Acad. Sci. EE.UU. 90: 5873-5787. Una medida de la similitud proporcionada por el algoritmo BLAST es la probabilidad de suma más pequeña (P(N)), que proporciona una indicación de la probabilidad mediante la cual se produciría un emparejamiento al azar entre dos nucleótidos o secuencias de aminoácidos. Por ejemplo, una secuencia se considera similar a otra secuencia si la probabilidad de suma más pequeña en la comparación de la primera secuencia a la segunda secuencia es menor a 1 aproximadamente, preferentemente inferior a 0,1 aproximadamente, más preferentemente inferior a 0,01 aproximadamente, y lo más preferentemente inferior a 0,001 aproximadamente.

Los análogos de péptidos homólogos difieren normalmente del péptido de la invención en 1, 2, 3, 4, 5, 6, 7, 8 o más mutaciones (que pueden ser sustituciones, deleciones o inserciones). Estas mutaciones se pueden medir a través de cualquiera de las regiones mencionadas anteriormente en relación con el cálculo de homología. Las sustituciones

preferentemente son 'conservativas'. Estas se definen de acuerdo con la Tabla siguiente. Los aminoácidos del mismo bloque en la segunda columna y preferentemente en la misma línea en la tercera columna se pueden sustituir entre sí:

ALIFÁTICO	No polar	GAP
		ILV
	Polar – cargado	CSTM
		NQ
	Polar – cargado	DE
		KR
AROMÁTICO		HFWY

5

Normalmente los aminoácidos en el análogo en las posiciones equivalentes a los aminoácidos en el péptido de la invención que contribuyen a la unión a la molécula del MHC o que son responsables del reconocimiento por el TCR, son los mismos o están conservados.

10

Normalmente, el péptido análogo comprende una o más modificaciones, que pueden ser modificaciones posttraduccionales naturales o modificaciones artificiales. La modificación puede proporcionar un resto químico (normalmente por sustitución de un hidrógeno, por ejemplo, de un enlace C-H), tal como un grupo amino, acetilo, hidroxi o halógeno (por ejemplo, flúor) o un grupo carbohidrato. Normalmente, la modificación está presente en el

15 extremo N o C.

El análogo puede comprender uno o más aminoácidos no naturales, por ejemplo aminoácidos con una cadena lateral diferente de los aminoácidos naturales. Generalmente, el aminoácido no natural tendrá un extremo N y/o un extremo C. El aminoácido no natural puede ser un L o un D-aminoácido.

El análogo normalmente tiene una forma, un tamaño, una flexibilidad o una configuración electrónica que es sustancialmente similar al péptido de la invención. Normalmente es un derivado del péptido de la invención. En una realización, el análogo es una proteína de fusión que comprende la secuencia de SEQ ID NO: 1 o 2, o cualquiera de los otros péptidos mencionados en este documento; y una secuencia distinta de la gliadina.

25

En una realización, el análogo es o simula el péptido de la invención unido a una molécula del MHC de clase II. Se pueden asociar o unir 2, 3, 4 o más de dichos complejos entre sí, por ejemplo usando un sistema basado en biotina/estreptavidina, en el que normalmente 2, 3 o 4 moléculas del MHC marcadas con biotina se unen a una fracción de estreptavidina. Este análogo normalmente inhibe la unión del complejo péptido de la invención/MHC de 30 Clase II a un TCR o anticuerpo que es específico para el compleio.

El análogo normalmente es un anticuerpo o un fragmento de un anticuerpo, tal como un fragmento Fab o (Fab)2. El análogo se puede inmovilizar sobre un soporte sólido, en particular un análogo que simula un péptido unido a una molécula del MHC.

35

El análogo normalmente se diseña por medios computacionales y a continuación se sintetiza usando métodos conocidos en la técnica. De manera alternativa, el análogo se puede seleccionar de una librería de compuestos. La librería puede ser una librería combinatoria o una librería de presentación, tal como una librería de presentación en fagos. La librería de compuestos se puede expresar en la librería de presentación unida a una molécula del MHC 40 clase II, tales como HLA-DQ2 o -DQ8. Los análogos se seleccionan generalmente de la librería en función de su capacidad para simular las características de unión del péptido de la invención. Así, se pueden seleccionar en base a su capacidad para unirse a un TCR o un anticuerpo que reconoce el péptido de la invención.

Normalmente los análogos serán reconocidos por los linfocitos T al menos en la misma medida que cualquiera de 45 los agentes del péptido de la invención, por ejemplo al menos en la misma medida que el epítopo equivalente y preferentemente en la misma medida que el péptido representado por la SEQ ID NO: 2, como se reconoce en

cualquiera de los ensayos descritos en este documento, normalmente usando linfocitos T de pacientes con enfermedad celíaca. Los análogos pueden ser reconocidos en estas medidas *in vivo* y así pueden ser capaces de inducir síntomas de la enfermedad celíaca al menos en la misma medida que cualquiera de los agentes mencionados en este documento (por ejemplo, en un paciente humano o un modelo animal).

Los análogos se pueden identificar en un método que comprende la determinación de si una sustancia candidata es reconocida por un receptor de linfocitos T que reconoce un epítopo de la invención, donde el reconocimiento de la sustancia indica que la sustancia es un análogo. Dichos TCR pueden ser cualquiera de los TCR mencionados en este documento, y pueden estar presentes en los linfocitos T. Se puede usar cualquier ensayo adecuado mencionado en este documento para identificar el análogo. En una realización este método se lleva a cabo *in vivo*. Como se ha mencionado anteriormente los análogos preferidos son reconocidos al menos en la misma medida que el péptido SEQ ID NO: 2, y así el procedimiento se puede usar para identificar análogos que son reconocidos en esta medida.

15 En una realización, el método comprende la determinación de si una sustancia candidata es capaz de inhibir el reconocimiento de un epítopo de la invención, donde la inhibición del reconocimiento indica que la sustancia es un análogo.

El agente puede ser un producto que comprende al menos 2, 5, 10 o 20 péptidos de la invención. Normalmente, la composición comprende epítopos de diferentes gliadinas, tales como cualquiera de las especies o variedades o tipos de gliadinas mencionadas en este documento. Las composiciones comprenden al menos un epítopo de la invención. Las composiciones preferidas comprenden al menos un epítopo, o análogo equivalente, de todas las gliadinas presentes en cualquiera de las especies o variedades mencionadas en este documento, o de 2, 3, 4 o más de las especies mencionadas en este documento (tales como del plantel de especies constituido por el trigo, centeno, 25 cebada, avena y tritical). Así, el agente puede ser monovalente o multivalente.

Diagnóstico

La invención proporciona un método de diagnóstico como se define en este documento. Más en general, sin 30 embargo, los métodos de diagnóstico que hacen uso de los péptidos de la invención pueden estar basados en la detección de linfocitos T que se unen al agente o en la detección de anticuerpos que reconocen el agente.

Los linfocitos T que reconocen el agente en el método (que incluye el uso mencionado anteriormente) generalmente son linfocitos T que han sido pre-sensibilizados a la gliadina *in vivo*. Como se ha mencionado anteriormente se ha comprobado que dichos linfocitos T expuestos al antígeno están presentes en la sangre periférica.

En el método, los linfocitos T pueden ponerse en contacto con el agente *in vitro* o *in vivo*, y la determinación de si los linfocitos T reconocen el agente se puede realizar *in vitro* o *in vivo*. Así, la invención proporciona el agente para su uso en un método de diagnóstico puesto en práctica sobre el cuerpo humano. Se proporcionan diferentes agentes 40 para su uso simultáneo, separado o secuencial en dicho método.

El método *in vitro* normalmente se lleva a cabo en solución acuosa a la que se añade el agente. La solución también comprenderá los linfocitos T (y en determinadas realizaciones las APC descritas más adelante). El término "puesta en contacto" como se usa en este documento incluye la adición de la sustancia particular a la solución.

La determinación de si los linfocitos T reconocen el agente generalmente se realiza mediante la detección de un cambio en el estado de los linfocitos T en presencia del agente o la determinación de si los linfocitos T se unen al agente. El cambio de estado generalmente está provocado por actividad funcional antigénica específica del linfocito T después de que el TCR se una al agente. El cambio de estado se puede medir dentro (por ejemplo, cambio en la 50 expresión intracelular de proteínas) o fuera (por ejemplo, detección de sustancias secretadas) de los linfocitos T.

El cambio de estado del linfocito T puede ser el comienzo o el aumento de la secreción de una sustancia del linfocito T, como una citoquina, especialmente IFN-γ, IL-2 o TNF-α. En particular se prefiere la determinación de la secreción de IFN-γ. La sustancia normalmente se puede detectar permitiendo que se una a un agente de unión específico y a continuación midiendo la presencia del complejo de agente de unión específico/sustancia. El agente de unión específico normalmente es un anticuerpo, tal como anticuerpos policlonales o monoclonales. Los anticuerpos para citoquinas están disponibles en el mercado, o se pueden preparar usando técnicas convencionales.

Normalmente, el agente de unión específico se inmoviliza sobre un soporte sólido. Después de dejar que la

sustancia se una al soporte sólido, opcionalmente se puede lavar para retirar el material que no se haya unido específicamente al agente. El complejo agente/sustancia se puede detectar usando un segundo agente de unión que se unirá al complejo. Normalmente, el segundo agente se une a la sustancia en un sitio que es diferente del sitio al que se une el primer agente. El segundo agente preferentemente es un anticuerpo y está marcado directa o 5 indirectamente con un marcador detectable.

Así, el segundo agente se puede detectar mediante un tercer agente que normalmente está marcado directa o indirectamente con un marcador detectable. Por ejemplo, el segundo agente puede comprender un resto de biotina, permitiendo la detección por un tercer agente que comprende un resto de estreptavidina y normalmente fosfatasa 10 alcalina como marcador detectable.

En una realización, el sistema de detección que se usa es el ensayo ELISPOT *ex vivo* descrito en el documento WO 98/23960. En ese ensayo, el IFN-γ secretado desde el linfocito T es unido por un primer anticuerpo específico para IFN-γ que está inmovilizado sobre un soporte sólido. A continuación se detecta el IFN-γ unido usando un segundo 15 anticuerpo específico para IFN-γ que está marcado con un marcador detectable. Dicho anticuerpo marcado se puede obtener en Mabtech (Estocolmo, Suecia). Más abajo se describen otros marcadores detectables que se pueden usar.

El cambio de estado del linfocito T medible puede ser el aumento en la captación de sustancias por el linfocito T, tal 20 como la captación de timidina. El cambio de estado puede ser un aumento en el tamaño de los linfocitos T, o la proliferación de los linfocitos T, o un cambio en los marcadores de la superficie celular en el linfocito T.

En una realización se detecta el cambio de estado midiendo el cambio en la expresión intracelular de proteínas, por ejemplo, el aumento en la expresión intracelular de cualquiera de las citoquinas mencionadas anteriormente. Dichos cambios intracelulares se pueden detectar poniendo en contacto el interior del linfocito T con un resto que se una a las proteínas expresadas de una manera específica y que permite la clasificación de los linfocitos T por citometría de flujo.

En una realización, cuando se une al TCR, el agente se une a una molécula del MHC de clase II (normalmente HLA-30 DQ2 o -DQ8), que normalmente está presente en la superficie de una célula presentadora de antígenos (APC). Sin embargo como se ha mencionado en el presente documento a un TCR se pueden unir otros agentes sin tener que unirse también a una molécula del MHC.

Generalmente los linfocitos T que se ponen en contacto en el método se obtienen del individuo en una muestra de sangre, aunque se pueden usar otros tipos de muestras que contengan linfocitos T. La muestra se puede añadir directamente al ensayo o primero se puede procesar. Normalmente, el procesamiento puede comprender la dilución de la muestra, por ejemplo con agua o tampón. Normalmente, la muestra se diluye de 1,5 a 100 veces, por ejemplo de 2 a 50 o de 5 a 10 veces.

40 El procesamiento puede comprender la separación de componentes de la muestra. Normalmente las células mononucleares (MC) se separan de las muestras. Las MC comprenderán los linfocitos T y las APC. Así, en el método las APC presentes en las MC separadas pueden presentar el péptido a los linfocitos T. En otra realización sólo los linfocitos T, tales como sólo los linfocitos T CD4, se pueden purificar a partir de la muestra. Las PBMC, las MC y los linfocitos T se pueden separar de la muestra usando técnicas conocidas en la materia, tales como las 45 descritas en Lalvani y col., (1997) J. Exp. Med. 186, p859-865.

En una realización, los linfocitos T usados en el ensayo están en forma de muestras sin procesar o diluidas, o son linfocitos T recién aislados (tal como en forma de MC o PBMC recién aisladas) que se usan directamente *ex vivo*, es decir, no se cultivan antes de su uso en el método. Así, los linfocitos T no han sido reestimulados específicamente *in* 50 *vitro* con un antígeno. Sin embargo, los linfocitos T se pueden cultivar antes de su uso, por ejemplo, en presencia de uno o más de los agentes, y en general también de citoquinas que promueven el crecimiento exógeno. Durante el cultivo, el agente(s) normalmente está presente en la superficie de las APC, tales como la APC usada en el método. El pre-cultivo de los linfocitos T puede dar lugar a un aumento en la sensibilidad del método. Así, los linfocitos T se pueden convertir en líneas celulares, tales como líneas celulares de corta duración (por ejemplo como se describe 55 en Ota y col., (1990) Nature 346, p183-187).

La APC que normalmente está presente en el método puede proceder del mismo individuo que el linfocito T o de un hospedador diferente. La APC puede ser una APC de origen natural o una APC artificial. La APC es una célula que es capaz de presentar el péptido a un linfocito T. Normalmente es un linfocito B, una célula dendrítica o un

macrófago. Normalmente se separa de la misma muestra que el linfocito T y normalmente se purifica simultáneamente con el linfocito T. Así, la APC puede estar presente en MC o PBMC. La APC normalmente es una célula *ex vivo* recién aislada o una célula cultivada. Puede estar en forma de línea celular, tal como una línea celular de corta duración o una línea celular inmortalizada. La APC puede expresar en su superficie moléculas del MHC de 5 clase II vacías.

En el método se pueden usar uno o más agentes (diferentes). Normalmente, los linfocitos T obtenidos de la muestra se pueden poner en un ensayo con todos los agentes que se pretende someter a ensayo o los linfocitos T se pueden dividir y se pueden poner en ensayos separados, cada uno de los cuales que contiene uno o más de los agentes.

Los péptidos de la invención, tales como dos o más de los agentes mencionados en este documento (por ejemplo, las combinaciones de agentes que están presentes en el agente de la composición expuesto anteriormente), también se pueden aplicar a un uso simultáneo, por separado o secuencial (por ejemplo, a un uso *in vivo*).

15 En una realización, el propio agente se añade directamente a un ensayo que comprende linfocitos T y APC. Como se ha expuesto anteriormente, los linfocitos T y las APC en dicho ensayo pueden estar en forma de MC. Cuando se usan los agentes que pueden ser reconocidos por el linfocito T sin necesidad de presentación por las APC, entonces no son necesarias las APC. Los análogos que simulan el péptido original de la invención unido a una molécula del MHC son un ejemplo de dicho agente.

20

En una realización, el agente se suministra a la APC en ausencia del linfocito T. A continuación, la APC se suministra al linfocito T, normalmente después de que se les permita presentar el agente en su superficie. El péptido puede haber sido captado dentro de la APC y presentado, o simplemente haber sido captado sobre la superficie sin entrar en el interior de la APC.

El tiempo durante el cual el agente está en contacto con los linfocitos T variará dependiendo del método usado para determinar el reconocimiento del péptido. Normalmente se añaden de 10^5 a 10^7 , preferentemente de 5×10^5 a 10^6 PBMC a cada ensayo. En el caso en que se añade agente directamente al ensayo, su concentración es de 10^{-1} a $10^3 \, \mu g/ml$, preferentemente de 0,5 a $50 \, \mu g/ml$ o de 1 a $10 \, \mu g/ml$.

Normalmente, el tiempo durante el cual se incuban los linfocitos T con el agente es de 4 a 24 horas, preferentemente de 6 a 16 horas. Cuando se usan PBMC *ex vivo* se ha comprobado que se pueden incubar 0.3×10^6 PBMC en 10 µg/ml de péptido durante 12 horas a 37 °C.

35 La determinación del reconocimiento del agente por los linfocitos T se puede realizar midiendo la unión del agente a los linfocitos T (esto se puede llevar a cabo usando cualquier formato de ensayo de unión adecuado expuesto en este documento). Normalmente los linfocitos T que se unen al agente se pueden clasificar en base a esta unión, por ejemplo, usando un aparato de FACS. Se considerará que se produce la presencia de linfocitos T que reconocen el agente si la frecuencia de células clasificadas usando el agente está por encima de un valor de "control". La 40 frecuencia de linfocitos T expuestos al antígeno generalmente es de 1 en 10⁶ a 1 en 10³, y por lo tanto se puede determinar si las células clasificadas son linfocitos T expuestos al antígeno, o no.

La determinación del reconocimiento del agente por los linfocitos T se puede medir *in vivo*. Normalmente, el agente se administra al hospedador y a continuación se puede medir una respuesta que indica el reconocimiento del 45 agente. El agente normalmente se administra por vía intradérmica o epidérmica. El agente normalmente se administra por contacto con el exterior de la piel, y se puede retener en el sitio con la ayuda de un emplasto o vendaje. De manera alternativa, el agente se puede administrar mediante una aguja, tal como por inyección, pero también se puede administrar por otros métodos tales como técnicas balísticas (por ejemplo, técnicas balísticas que se han usado para administrar ácidos nucleicos). El documento EP-A-0693119 describe técnicas que se pueden usar normalmente para administrar el agente. Normalmente se administra de 0,001 a 1000 µg, por ejemplo, de 0,01 a 100 µg o de 0,1 a 10 µg de agente.

En una realización, se puede administrar un producto que es capaz de proporcionar el agente *in vivo*. Así, se puede administrar un polinucleótido capaz de expresar el agente, normalmente en cualquiera de las formas descritas 55 anteriormente para la administración del agente. El polinucleótido normalmente tiene cualquiera de las características del polinucleótido proporcionado por la invención que se describe a continuación. El agente se expresa a partir del polinucleótido *in vivo*. Normalmente se administra de 0,001 a 1000 μg, por ejemplo, de 0,01 a 100 μg o de 0,1 a 10 μg de polinucleótido.

El reconocimiento del agente administrado sobre la piel normalmente viene indicado por la aparición de inflamación (por ejemplo, induración, eritema o edema) en el sitio de administración. Generalmente esto se mide mediante la inspección visual del sitio.

5 El método de diagnóstico basado en la detección de un anticuerpo que se une al agente normalmente se lleva a cabo poniendo en contacto una muestra del individuo (tal como cualquiera de las muestras mencionadas en este documento, opcionalmente procesadas de cualquiera de las formas mencionadas en este documento) con el agente y determinando si un anticuerpo de la muestra se une al agente, donde dicha unión indica que el individuo tiene, o es susceptible a la enfermedad celíaca. Se puede usar cualquier formato adecuado de ensayo de unión, tal como 10 cualquiera de los formatos mencionados en este documento.

Terapia

55

La identificación del epítopo inmunodominante y otros epítopos descritos en este documento permite la preparación de productos terapéuticos dirigidos a los linfocitos T que reconocen este epítopo (dichos linfocitos T que son los que participan en la respuesta inmunitaria contra la gliadina). Estos hallazgos también permiten la prevención o el tratamiento de la enfermedad celíaca por supresión (por inducción de tolerancia) de un anticuerpo o de una respuesta de los linfocitos T al epítopo(s).

- 20 Ciertos agentes de la invención se unen al TCR que reconoce el epítopo de la invención (medido usando cualquiera de los ensayos de unión descritos anteriormente) y provocan la inducción de tolerancia del linfocito T que porta el TCR. Dichos agentes, opcionalmente asociados a un vehículo, se pueden usar por tanto para prevenir o tratar la enfermedad celíaca.
- 25 Generalmente la inducción de tolerancia puede estar causada por los mismos péptidos que (después de ser reconocidos por el TCR) pueden generar actividad funcional antigénica específica del linfocito T (tal como cualquier actividad mencionada en este documento, por ejemplo secreción de citoquinas). Dichos agentes generan inducción de tolerancia cuando son presentados al sistema inmunitario en un contexto de 'inducción de tolerancia'.
- 30 La inducción de tolerancia da lugar a una disminución en el reconocimiento de un epítopo de linfocitos T o de un anticuerpo por el sistema inmunitario. En el caso de un epítopo de linfocitos T, ésta puede estar causada por la deleción o anergia de los linfocitos T que reconocen el epítopo. Por lo tanto disminuye la actividad de los linfocitos T (por ejemplo como se mide en ensayos adecuados mencionados en este documento) en respuesta al epítopo. La inducción de tolerancia en la respuesta de un anticuerpo significa que, cuando se administra el epítopo, se produce 35 una menor cantidad de anticuerpo específico para el epítopo.

Los métodos de presentación de antígenos al sistema inmunitario en dicho contexto son conocidos y se describen por ejemplo en Yoshida y col. Clin. Immunol. Immunopathol. 82,207-215 (1997), Thurau y col. Clin. Exp. Immunol. 109, 370-6 (1997), y Weiner y col. Res. Immunol. 148, 528-33 (1997). En particular, ciertas vías de administración pueden provocar la inducción de tolerancia, tales como la vía oral, nasal o intraperitoneal. La inducción de tolerancia también se puede conseguir a través de las células dendríticas y de tetrámeros que presentan péptidos. Se pueden administrar al individuo productos particulares que generen la inducción de tolerancia (por ejemplo, en una composición que también comprende el agente). Dichos productos incluyen citoquinas, tales como citoquinas que favorecen una respuesta Th2 (por ejemplo, IL-4, TGF-β o IL-10). Los productos o el agente se pueden administrar a una dosis que provoque la inducción de tolerancia.

La invención proporciona una proteína que comprende una secuencia capaz de actuar como antagonista del linfocito T (linfocito T que reconoce el agente). Dichas proteínas y dichos antagonistas también se pueden usar para prevenir o tratar la enfermedad celíaca. El antagonista provocará una disminución en la respuesta de linfocitos T. En una 50 realización, el antagonista se une al TCR del linfocito T (generalmente en forma de complejo con HLA-DQ2 o -DQ8), pero en vez de generar la activación funcional normal, provoca el paso de una señal anormal a través de la cascada de señalización intracelular del TCR, lo que hace que el linfocito T tenga disminuida la actividad funcional (por ejemplo, en respuesta al reconocimiento de un epítopo, normalmente medida por cualquier ensayo adecuado mencionado en este documento).

En una realización, el antagonista compite con el epítopo para unirse a un componente de la vía de procesamiento y presentación del MHC, tal como una molécula del MHC (normalmente HLA-DQ2 o -DQ8). Así, el antagonista se puede unir a HLA-DQ2 o -DQ8 (y por tanto ser un péptido presentado por esta molécula del MHC).

En la técnica se conocen métodos para provocar el antagonismo.

Puesto que la respuesta inmunitaria de los linfocitos T al epítopo de la invención en un individuo es policlonal, puede ser necesario administrar más de un antagonista para provocar el antagonismo de los linfocitos T de la respuesta que tienen diferentes TCR. Por lo tanto, los antagonistas se pueden administrar en una composición que comprenda al menos 2, 4, 6 o más antagonistas diferentes, cada uno que antagoniza linfocitos T diferentes.

En una realización, los antagonistas (incluyendo combinaciones de antagonistas para un epítopo particular) o los agentes de inducción de tolerancia (inducción de tolerancia a linfocitos T y anticuerpos) están presentes en una 10 composición que comprende al menos 2, 4, 6 o más antagonistas o agentes que antagonizan o inducen tolerancia a diferentes epítopos de la invención, por ejemplo a las combinaciones de epítopos expuestas anteriormente en relación con los agentes que son un producto que comprende más de una sustancia.

Ensayar si una composición es capaz de causar la enfermedad celíaca

Como se ha mencionado anteriormente la invención proporciona un método para determinar si una composición es capaz de provocar la enfermedad celíaca, que comprende la detección de la presencia de una secuencia particular de proteínas (que puede ser modificada por una transglutaminasa; dicha actividad transglutaminasa puede ser una actividad transglutaminasa intestinal humana). Normalmente, esto se realiza mediante el uso de un ensayo de unión en el que un resto que se une a la secuencia de una manera específica se pone en contacto con la composición y se detecta la formación del complejo secuencia/resto y se usa para determinar la presencia del agente. Un resto de este tipo puede ser cualquier sustancia adecuada (o tipo de sustancia) mencionada en este documento, y normalmente es un anticuerpo específico. Se puede usar cualquier formato adecuado de ensayo de unión (tales como los mencionados en este documento).

En una realización, la composición se pone en contacto con al menos 2, 5, 10 o más anticuerpos que son específicos para los epítopos de diferentes gliadinas, por ejemplo, un plantel de anticuerpos capaces de reconocer las combinaciones de epítopos expuestas anteriormente en relación con agentes de la invención que son un producto que comprende más de una sustancia.

La composición normalmente comprende material de una planta que expresa una gliadina que es capaz de provocar la enfermedad celíaca (por ejemplo cualquiera de las gliadinas o plantas mencionadas en este documento). Dicho material puede ser una parte de la planta, tal como un producto recolectado (por ejemplo, la semilla). El material puede ser productos procesados del material vegetal (por ejemplo, cualquiera de los productos mencionados en este documento), tales como una harina o alimento que comprenda la gliadina. El procesamiento del material alimentario y la prueba en ensayos de unión adecuados es rutinario, por ejemplo, como se menciona en Kricka LJ, J. Biolumin. Chemilumin. 13, 189-93 (1998).

Ensayos de unión

La determinación de la unión entre dos sustancias mencionadas en el presente documento se puede realizar midiendo una característica de una o de las dos sustancias que cambie después de la unión, tal como un cambio espectroscópico.

45 El formato de ensayo de unión puede ser un sistema de "desplazamiento de banda". Esto implica determinar si la presencia de una sustancia (tal como una sustancia candidata) avanza o retrasa el progreso de la otra sustancia durante la electroforesis en gel.

El formato puede ser un método de unión competitiva que determina si la sustancia es capaz de inhibir la unión de la 50 otra sustancia a un agente que se sabe que se une a la otra sustancia, como un anticuerpo específico.

Kits

15

30

40

La invención también proporciona un kit para llevar a cabo el método que comprende uno o más agentes y un medio 55 para detectar el reconocimiento del agente por el linfocito T. Normalmente los diferentes agentes se proporcionan para un uso simultáneo, separado o secuencial. Por lo general los medios para detectar el reconocimiento permiten o ayudan a la detección basada en las técnicas descritas anteriormente.

Así, los medios pueden permitir la detección de una sustancia secretada por los linfocitos T después del

reconocimiento. El kit por tanto puede incluir adicionalmente un resto de unión específico para la sustancia, tal como un anticuerpo. El resto normalmente es específico para IFN-γ. El resto normalmente está inmovilizado sobre un soporte sólido. Esto significa que después de la unión del resto, la sustancia permanecerá en las proximidades del linfocito T que lo haya secretado. Por lo tanto se forman "puntos" de complejo sustancia/resto sobre el soporte, cada punto que representa un linfocito T que está secretando la sustancia. La cuantificación de los puntos, y normalmente la comparación frente a un control, permite la determinación del reconocimiento del agente.

El kit también puede comprender un medio para detectar el complejo sustancia/resto. Se puede producir un cambio detectable en el propio resto después de la unión de la sustancia, tal como un cambio de color. De manera 10 alternativa, se puede permitir la unión al complejo sustancia/resto de un segundo resto marcado directa o indirectamente para su detección para permitir la determinación de los puntos. Como se ha expuesto anteriormente el segundo resto puede ser específico para la sustancia, pero se une a un sitio diferente en la sustancia con respecto al primer resto.

15 El soporte inmovilizado puede ser una placa con pocillos, tal como una placa de microtitulación. Por tanto, cada ensayo se puede llevar a cabo en un pocillo aparte en la placa.

El kit adicionalmente puede comprender medio para los linfocitos T, restos de detección o tampones de lavado para su utilización en las etapas de detección. El kit adicionalmente puede comprender reactivos adecuados para la 20 separación de la muestra, tales como la separación de PBMC o linfocitos T de la muestra. El kit puede estar diseñado para permitir la detección de los linfocitos T directamente en la muestra sin requerir ninguna separación de los componentes de la muestra.

El kit puede comprender un instrumento que permita la administración del agente, tal como administración por vía intradérmica o epidérmica. Normalmente dicho instrumento comprende un emplasto, un apósito o una o más agujas. El instrumento puede permitir la administración balística del agente. El agente en el kit puede estar en forma de composición farmacéutica.

El kit también puede comprender controles, tales como controles positivos o negativos. El control positivo puede 30 permitir someter a ensayo el sistema de detección. Así, el control positivo normalmente simula el reconocimiento del agente en cualquiera de los métodos anteriores. Normalmente, en los kits diseñados para determinar el reconocimiento *in vitro* del control positivo es una citoquina. En el kit diseñado para detectar el reconocimiento *in vivo* del agente, el control positivo puede ser un antígeno al que la mayoría de individuos deberían presentar respuesta.

El kit también puede comprender un medio para tomar una muestra que contiene linfocitos T del hospedador, tal como una muestra de sangre. El kit puede comprender un medio para separar células mononucleares o linfocitos T de una muestra del hospedador.

40 Anticuerpos

La invención también proporciona anticuerpos monoclonales o policionales que reconocen específicamente los agentes (tales como cualquiera de los epítopos de la invención) y el uso de los agentes en los métodos de preparación de dichos anticuerpos. Los anticuerpos de la invención se unen específicamente a estas sustancias de 45 la invención.

Para los fines de esta invención, el término "anticuerpo" incluye fragmentos de anticuerpo tales como fragmentos Fv, F(ab) y F(ab)₂, así como anticuerpos de una sola cadena.

50 Un método para producir un anticuerpo policional comprende la inmunización de un animal hospedador adecuado, por ejemplo un animal experimental, con el inmunógeno y el aislamiento de las inmunoglobulinas a partir del suero. Por tanto, el animal se puede inocular con el inmunógeno, posteriormente se puede extraer sangre del animal y se puede purificar la fracción de IgG. Un método para producir un anticuerpo monoclonal comprende inmortalizar células que producen el anticuerpo deseado. Se pueden producir células de hibridoma por fusión de células de bazo 55 de un animal experimental inoculado con células tumorales (Kohler y Milstein (1975) Nature 256, 495-497).

Se puede seleccionar una célula inmortalizada que produce el anticuerpo deseado mediante un procedimiento convencional. Los hibridomas se pueden hacer crecer en cultivo o se pueden inyectar por vía intraperitoneal para la formación de fluido de ascitis o en el torrente sanguíneo de un hospedador alogénico o un hospedador

inmunocomprometido. El anticuerpo humano se puede preparar mediante inmunización *in vitro* de linfocitos humanos, seguido por transformación de los linfocitos con el virus de Epstein-Barr.

- Para la producción de anticuerpos tanto monoclonales como policionales, el animal experimental de forma 5 conveniente es una cabra, conejo, rata o ratón. Si se desea, el inmunógeno se puede administrar como un conjugado en el que el inmunógeno se acopla, por ejemplo a través de una cadena lateral de uno de los restos de aminoácidos, a un vehículo adecuado. La molécula vehículo normalmente es un vehículo fisiológicamente aceptable. El anticuerpo obtenido se puede aislar y, si se desea, se puede purificar.
- 10 El agente o anticuerpo de la invención pueden llevar un marcador detectable. Se prefieren los marcadores detectables que permiten la detección de la sustancia secretada mediante inspección visual, opcionalmente con la ayuda de un medio de magnificación óptica. Un sistema de ese tipo normalmente se basa en un marcador enzimático que provoca un cambio de color en un sustrato, por ejemplo, fosfatasa alcalina que provoca un cambio de color en un sustrato. Dichos sustratos están disponibles en el mercado, por ejemplo, en BioRad. Otros marcadores adecuados incluyen otras enzimas tales como peroxidasa, o marcadores de proteínas, como biotina; o radioisótopos, tales como ³²P o ³⁵S. Los marcadores anteriores se pueden detectar usando técnicas conocidas.
- Los agentes o anticuerpos de la invención pueden estar en forma sustancialmente purificada. Pueden estar en forma sustancialmente aislada, en cuyo caso generalmente comprenderán al menos el 80 %, por ejemplo al menos el 90, 95, 97 o 99 % del polinucleótido, péptido, anticuerpo, células o masa seca en la preparación. El agente o anticuerpo normalmente está sustancialmente libre de otros componentes celulares. El agente o anticuerpo se pueden usar en una forma sustancialmente aislada, purificada o libre en el método o pueden estar presentes en dichas formas en el kit.
- 25 La invención proporciona agentes terapéuticos (incluyendo profilácticos) o sustancias diagnósticas (los agentes de la invención). Estas sustancias se formulan para su administración clínica mezclándolas con un vehículo o diluyente farmacéuticamente aceptable. Por ejemplo, se pueden formular para la administración por vía tópica, parenteral, intravenosa, intramuscular, subcutánea, intraocular, intradérmica, epidérmica o transdérmica. Las sustancias se pueden mezclar con cualquier vehículo que sea farmacéuticamente aceptable y apropiado para la vía de 30 administración deseada. El vehículo o diluyente farmacéuticamente aceptable para inyección pueden ser, por ejemplo, una solución estéril o isotónica tal como agua para inyección o solución salina fisiológica, o una partícula de soporte para la administración balística.
- La dosis de las sustancias se puede ajustar según diversos parámetros, especialmente según el agente usado; la 35 edad, el peso y las condiciones del paciente a tratar; el modo de administración usado; la gravedad de la afección a tratar; y el régimen clínico requerido. A modo de guía, la cantidad de sustancia administrada mediante inyección de forma conveniente es de 0,01 mg/kg a 30 mg/kg, preferentemente de 0,1 mg/kg a 10 mg/kg.
- Las vías de administración y dosificaciones descritas pretenden ser sólo una guía, ya que el facultativo experto será 40 capaz de determinar fácilmente la vía de administración y la dosificación óptimas para cualquier paciente y afección particular.
- El agente de la invención se puede preparar usando técnicas de química sintética convencional, tales como mediante el uso de un sintetizador automático. El agente se puede preparar a partir de un polipéptido más largo, por ejemplo, una proteína de fusión, polipéptido que normalmente comprende la secuencia del péptido. El péptido se puede obtener a partir del polipéptido mediante, por ejemplo, hidrolización del polipéptido, tal como el uso de una proteasa; o la rotura física del polipéptido. El polinucleótido de la invención se puede preparar usando técnicas convencionales, tales como mediante el uso de un sintetizador.
- 50 La invención se ilustra mediante los siguientes ejemplos no limitantes:

Ejemplo 1

Se llevó a cabo el mapeo de epítopos en la enfermedad celíaca mediante el uso de un grupo de 51 péptidos 15-mer 55 sintéticos que abarcan la secuencia completa de una a-gliadina completamente caracterizada, "A-gliadina" (véase Tabla 1). Los péptidos de la A-gliadina también se trataron individualmente con tTG para generar productos que puedan simular a los producidos *in vivo*³. También tratamos de estudiar a pacientes con enfermedad celíaca en el punto de iniciación de la recidiva de la enfermedad para evitar la posibilidad de que se pudiera haber producido la "difusión" o "depleción" del epítopo, como se describe en las enfermedades infecciosas y autoinmunes

experimentales.

Respuestas de linfocitos T clínicas y específicas de la A-gliadina con exposición a pan durante 3 y 10 días

- 5 En un estudio piloto, a dos individuos con enfermedad celíaca en remisión, definida por la ausencia de anticuerpos anti-endomisio (EMA) séricos, en una dieta sin gluten se les administró diariamente cuatro rebanadas de pan blanco convencional que contiene gluten además de su dieta sin gluten habitual. El Individuo 1 detuvo la ingesta de pan debido a dolor abdominal, úlceras bucales y diarrea leve después de tres días, pero el Individuo 2 continuó durante 10 días solo con náuseas leves a la semana. El EMA fue positivo en el Individuo 2 una semana después de la exposición a pan, lo que indica que el pan usado había causado una recaída de la enfermedad celíaca. Pero en el Individuo 1, el EMA siguió siendo negativo hasta dos meses después de la exposición a pan. En ambos individuos, los síntomas que aparecen con la exposición a pan se resolvieron en dos días, después de regresar a la dieta sin gluten.
- 15 No se encontraron respuestas de PBMC en ensayos ELISPOT para IFN-γ a péptidos de A-gliadina antes o durante la exposición a pan. Pero desde el día después de la retirada del pan (Día 4) en el Individuo 1 un solo pool de 5 péptidos superpuestos que abarcan la A-gliadina 51-85 (Grupo 3) tratada con tTG mostró respuestas de IFN-γ potentes (véase Figura 1a). En el Individuo 1, la respuesta de IFN-γ de PBMC al péptido de A-gliadina se mantuvo específica solo para el pool 3 y fue máxima el día 8. La dinámica y la magnitud de la respuesta al pool 3 fueron similares a las provocadas por la gliadina digerida con α-quimotripsina. Las respuestas de IFN-γ de PBMC al pool 3 tratado con tTG fueron siempre de 5 a 12 veces superiores que el pool 3 no tratado con tTG, y las respuestas a la gliadina digerida con α-quimotripsina fueron de 3 a 10 veces superiores si se trata con tTG. En el Individuo 2, el pool 3 tratado con tTG también fue el único grupo de péptidos de A-gliadina el día 8, pero esta respuesta fue más débil que en el Individuo 1, no se observó el día 4 y para el día 11 la respuesta al pool 3 había disminuido y otros pools tratados con tTG de péptidos de A-gliadina desencadenaron respuestas de IFN-α más potentes (véase Figura 1b).

El estudio piloto indicó que la respuesta inicial de los linfocitos T en estos individuos con enfermedad celíaca era contra un único pool de cinco péptidos de A-gliadina tratada con tTG y se midió fácilmente en sangre periférica. Pero si se proseguía con la exposición al antígeno durante diez días en lugar de tres días, aparecen respuestas de 30 linfocitos T a otros péptidos de A-gliadina, consistentes con la difusión de epítopo.

Inducción de IFN-y específica de la enfermedad celíaca mediante péptidos de A-gliadina tratados con tTG

En cinco de los seis nuevos individuos con enfermedad celíaca en dieta sin gluten (véase Tabla 1), la exposición a pan durante tres días identificó los péptidos tratados con tTG en el pool 3, y en particular, péptidos que corresponden a 56-70 (12) y 60-75 (13) como únicos componentes de A-gliadina que provocan la liberación de IFN-γ de las PBMC (véase Figura 2). Ensayos de ELISPOT para IL-10 realizados en paralelo a ELISPOT para IFN-γ no mostraron respuesta de IL-10 a los péptidos 12 o 13 tratados con tTG. En un individuo, no hubo respuestas de IFN-γ a ningún péptido de A-gliadina o de gliadina digerida con α-quimotripsina antes, durante o hasta cuatro días después de la exposición a pan. En ninguno de estos individuos con enfermedad celíaca varió el estado de EMA con respecto al estado basal cuando se mide durante hasta dos meses después de la exposición a pan.

Las PBMC de cuatro individuos sanos EMA negativos con los alelos de HLA-DQ α1*0501, β1*0201 (edades 28-52, 2 mujeres), que habían sido estimulados durante tres días con pan después de seguir una dieta sin gluten durante un 45 mes no mostraron respuestas de IFN-γ por encima del control negativo a ninguno de los péptidos de A-gliadina con o sin tratamiento con tTG. Por lo tanto, la inducción de IFN-γ en PBMC al pool 3 tratado con tTG y a los péptidos de A-gliadina 56-70 (12) y 60-75 (13) era específica de la enfermedad celíaca (7/8 frente a 0/4, p <0,01 por análisis Chi cuadrado).

50 Mapeo fino del epítopo mínimo de linfocitos T para A-gliadina

Los péptidos tratados con tTG que representan truncamientos de A-gliadina 56-75 revelaron que era esencial la misma secuencia peptídica central QPQLP (SEQ ID NO: 9) para la antigenicidad en los cinco individuos evaluados con enfermedad celíaca (véase Figura 3). Las respuestas de IFN-γ de PBMC a péptidos tratados con tTG que 55 abarcan esta secuencia central que comienza por el 7-mer PQPQLPY (SEQ ID NO: 4) y que aumenta de longitud, indicaban que el 17-mer QLQPFPQPQLPYPQPQS (SEQ ID NO: 10) (A-gliadina 57-73) tratado con tTG poseía una actividad óptima en el ELISPOT para IFN-γ (véase Figura 4).

La desamidación de Q65 por tTG genera el epítopo inmunodominante de linfocitos T en A-gliadina

El análisis por HPLC demostró que el tratamiento con tTG de A-gliadina 56-75 genera un solo producto que eluyó ligeramente más tarde que el péptido parental. La secuenciación de aminoácidos indicaba que de los seis restos de glutamina (Q) contenidos en A-gliadina 56-75, preferentemente Q65 era desamidado por tTG (véase Figura 5). La bioactividad de los péptidos correspondientes a las expansiones en serie desde la secuencia central A-gliadina 62-68 en la que el glutamato (E) sustituye a Q65, era equivalente a los mismos péptidos con Q65 después del tratamiento con tTG (véase Figura 4a). La sustitución de Q57 y Q72 por E, juntos o por separado, con E65 no mejoró la antigenicidad del 17-mer en los tres individuos estudiados con enfermedad celíaca (véase Figura 6). Se investigó Q57 y Q72 debido a que los restos de glutamina seguidos de prolina en los péptidos de gliadina no son desamidados *in vitro* por tTG (W. Vader y col., Proceedings 8th International Symposium Coeliac Disease). Por lo tanto, el epítopo inmunodominante de linfocitos T se definió como QLQPFPQPELPYPQPQS (SEQ ID NO: 2).

15 La respuesta al epítopo inmunodominante de linfocitos T está restringida a DQ2 y depende de CD4

En dos individuos con enfermedad celíaca homocigóticos para HLA-DQ α1*0501, β1*0201, el anticuerpo monoclonal anti-DQ bloquea la respuesta de IFN-γ en ELISPOT a A-gliadina 56-75 tratada con tTG, pero el anticuerpo anti-DP y anti-DR no (véase Figura 7). La depleción de cuentas magnéticas anti-CD4 y anti-CD8 de PBMC de dos individuos con enfermedad celíaca indican que la respuesta de IFN-γ a A-gliadina 56-75 tratada con tTG está mediada por linfocitos CD4.

Discusión

- 25 En este estudio describimos una exposición a antígenos de la dieta bastante simple usando pan blanco convencional para provocar una población transitoria de linfocitos T CD4 en sangre periférica de individuos con enfermedad celíaca sensibles a un 17-mer de A-gliadina tratada con tTG con la secuencia: QLQPFPQPELPYPQPQS (SEC ID NO: 2) (restos 57-73). La respuesta inmunitaria a A-gliadina 56-75 (Q → E65) está restringida al alelo del HLA asociado a la enfermedad celíaca, DQ α1*0501, β1*0201. La acción de la 30 transglutaminasa tisular *in vitro* desamida selectivamente Q65. Las respuestas de IFN-γ de sangre periférica provocadas por los péptidos sintéticos de A-gliadina con la sustitución Q → E65 es equivalente a los péptidos de A-gliadina Q65 tratados con tTG; ambas estimulan hasta 10 veces más linfocitos T en ELISPOT para IFN-γ que los péptidos de A-gliadina Q65 sin modificar.
- 35 Hemos definido deliberadamente este epítopo de linfocitos T específico de la enfermedad celíaca usando la exposición de antígenos *in vivo* y ensayos inmunitarios *ex vivo* de corta duración para evitar la posibilidad de artefactos metodológicos que se pudieran producir con el uso de clones de linfocitos T en el mapeo del epítopo. Nuestros hallazgos indican que las respuestas de linfocitos T de sangre periférica a la ingestión de gluten son rápidas pero de corta duración y que se pueden utilizar para el mapeo de epítopos. La estimulación con antígenos *in* 40 *vivo* también demuestra que existe una jerarquía temporal en las respuestas inmunitarias a los péptidos de Agliadina; la A-gliadina 57-73 modificada por tTG no sólo desencadena la respuesta de IFN-γ más potente en PBMC sino que también es la primera respuesta de IFN-γ en aparecer.
- Debido a que únicamente evaluamos péptidos que abarcan la A-gliadina, puede haber otros epítopos en otras gliadinas de la misma o de mayor importancia en la patogénesis de la enfermedad celíaca. De hecho, la secuencia peptídica en el núcleo del epítopo en A-gliadina que hemos identificado, PQPQLPY (SEQ ID NO: 4), es compartida por diversas otras gliadinas (números de acceso de SwissProt y Trembl: P02863, Q41528, Q41531, Q41533, Q9ZP09, P04722, P04724, P18573). Sin embargo, los péptidos de A-gliadina que se ha demostrado previamente que poseen actividad biológica en estudios de estimulación de biopsia y estudios *in vivo* (por ejemplo: 31-43, 44-55 y 206-217)^{4,5} no provocaron respuestas de IFNg en PBMC después de tres días de exposición a pan en individuos con enfermedad celíaca. Estos péptidos pueden ser epítopos de linfocitos T "secundarios" que surgen con la propagación de la respuesta inmunitaria.

Ejemplo 2

55

Efecto de las sustituciones en el epítopo inmunodominante sobre el reconocimiento de los linfocitos T

Se determinó el efecto de sustituir el glutamato en posición 65 en el epítopo de A-gliadina 57-73 midiendo las respuestas en sangre periférica frente a epítopos sustituidos en un ensayo ELISPOT para IFN-y usando péptidos

sintéticos (a 50 µg/ml). Las respuestas se midieron en 3 individuos con enfermedad celíaca 6 días después de comenzar la exposición a gluten (4 rebanadas de pan al día durante 3 días). Los resultados se muestran en la Tabla 3 y en la Figura 8. Como se puede observar la sustitución del glutamato por histidina, tirosina, triptófano, lisina, prolina o arginina estimuló una respuesta cuya magnitud era inferior al 10 % de la magnitud de la respuesta al 5 epítopo inmunodominante. Así, se podría usar la mutación de A-gliadina en esta posición para producir un A-gliadina mutante con una inmunorreactividad reducida o nula.

Ejemplo 3

10 Ensayo de la inmunorreactividad de péptidos equivalentes procedentes de otras gliadinas de origen natural

Se evaluó la inmunorreactividad de péptidos equivalentes procedentes de otras gliadinas de trigo de origen natural usando péptidos sintéticos correspondientes a las secuencias de origen natural que a continuación se trataron con transglutaminasa. Estos péptidos se sometieron a ensayo en un ELISPOT de la misma manera y con PBMC obtenidas de los mismos individuos que se ha descrito en el Ejemplo 2. Al menos cinco de los péptidos muestran una inmunorreactividad comparable al péptido E65 de la A-gliadina 57-73 (después del tratamiento con la transglutaminasa), lo que indica que también es probable que otras proteínas de A-gliadina en el trigo induzcan esta respuesta inmunitaria específica de la enfermedad celíaca (Tabla 4 y Figura 9).

20 Métodos

Individuos: Los pacientes usados en el estudio asistieron a una clínica celíaca en Oxford, Reino Unido. La enfermedad celíaca se diagnostica sobre la base de la histología típica del intestino delgado, y la normalización de los síntomas y la histología del intestino delgado con una dieta sin gluten.

Tipado tisular: El tipado tisular se llevó a cabo usando ADN extraído de sangre periférica anticoagulada con EDTA. La genotipificación de HLA-DQA y DQB se llevó a cabo mediante PCR usando mezclas de cebadores específicas de secuencia⁶⁻⁸.

30 Ensayo de anticuerpos anti-endomisio: Los EMA se detectaron mediante inmunofluorescencia indirecta usando suero de paciente diluido a 1:5 con esófago de mono, seguido de IgA de cabra dirigida contra humano conjugada con FITC. La IgA se cuantificó antes del EMA, ninguno de los individuos eran deficiente en IgA.

Exposición al antígeno: Los individuos con enfermedad celíaca que siguen una dieta sin gluten, consumieron 4 rebanadas de pan con gluten (50 g/rebanada, "pan de molde blanco convencional" de Sainsbury) al día durante 3 o 10 días. El EMA se evaluó la semana antes y hasta dos meses después de comenzar la exposición a pan. Los individuos sanos que habían seguido una dieta sin gluten durante cuatro semanas, consumieron su dieta habitual, incluyendo cuatro rebanadas de pan con gluten durante tres días, y después volvieron a la dieta sin gluten durante seis días más.

ELISPOT para IFN-γ e IL-10: Se prepararon PBMC a partir de 50-100 ml de sangre venosa mediante centrifugación de densidad en Ficoll-Hypaque. Después de tres lavados, las PBMC se resuspendieron en RPMI completo que contiene el 10 % de suero AB humano inactivado por calor. Los ensayos ELISPOT para la secreción de células individuales de IFN-γ e IL-10 se llevaron a cabo utilizando kits comerciales (Mabtech; Estocolmo, Suecia) con placas de 96 pocillos (MAIP-S-45, Millipore, Bedford, MA) según las instrucciones del fabricante (como se describe en otra parte⁹) con 2-5 x 10⁵ (IFN-γ) o 0,4-1 x 10⁵ (IL-10) PBMC en cada pocillo. Los péptidos se evaluaron en pocillos duplicados, y se incluyó un derivado proteico purificado de *Mycobacterium tuberculosis* (PPD RT49) (Serum Institute; Copenhague, Dinamarca) (20 μg/ml) como control positivo en todos los ensayos.

50 Péptidos: Los péptidos sintéticos se adquirieron de Research Genetics (Huntsville, Alabama). La espectroscopía de masas y la HPLC verificaron la autenticidad de los péptidos y una pureza > 70 %. La digestión de gliadina (Sigma; G-3375) (100 mg/ml) con α-quimotripsina (Sigma; C-3142) 200:1 (p/p) se realizó a temperatura ambiente en NH₄HCO₃ 0,1 M con urea 2 M y se detuvo después de 24 h por calentamiento a 98 °C durante 10 minutos. Después de la centrifugación (13.000 g, 10 minutos), el sobrenadante de la digestión de gliadina se esterilizó por filtración (0,2 μm). La digestión de la gliadina se verificó por SDS-PAGE y se evaluó la concentración de proteínas. La gliadina digerida con α-quimotripsina (640 μg/ml) y los péptidos sintéticos de gliadina (15-mer: 160 μg/ml, otros péptidos: 0,1 mM) se trataron individualmente con tTG (Sigma; T-5398) (50 μg/ml) en PBS + CaCl₂ 1 mM durante 2 horas a 37 °C. Los péptidos y los pools de péptidos se dividieron en alícuotas en placas estériles de 96 pocillos y se almacenaron congelados a -20 °C hasta su uso.

Secuenciación de aminoácidos de los péptidos: Se usó HPLC de fase inversa para purificar el péptido resultante del tratamiento con tTG de A-gliadina 56-75. Se identificó un único producto y se sometió a secuenciación de aminoácidos (secuenciador automatizado Modelo 494A, Applied Biosystems, Foster City, California). La secuencia 5 de G56-75 sin modificar se confirmó como: LQLQPFPQPQLPYPQPQSFP (SEQ ID NO: 5), y la secuencia de G56-75 tratada con tTG se identificó como: LQLQPFPQPELPYPQPQSFP (SEQ ID NO: 11). La desamidación de restos de glutamilo se definió como la cantidad (pmol) de glutamato recuperado expresada como porcentaje de la cantidad combinada de glutamina y glutamato recuperada en los ciclos 2, 4, 8, 10, 15 y 17 de la secuenciación de aminoácidos. La desamidación atribuible a la tTG se definió como (% de desamidación de glutamina en el péptido tratado con tTG - % de desamidación en el péptido sin tratar).

Restricción de CD4/CD8 y HLA de Clase II: Cuentas magnéticas recubiertas con anti-CD4 o anti-CD8 (Dynal, Oslo, Noruega) se lavaron cuatro veces con RPMI y a continuación se incubaron con PBMC en RPMI completo que contiene el 10 % de suero AB humano inactivado por calor (5 x 10⁶ células/ml) durante 30 minutos en hielo. Las cuentas se retiraron usando un imán y las células restantes se sometieron a recuento. Se estableció la restricción *in vivo* del HLA de clase II de la respuesta inmunitaria a la A-gliadina 56-75 tratada con tTG incubando PBMC (5 x 10⁶ células/ml) con anticuerpos monoclonales dirigidos contra HLA-DR (L243), -DQ (L2), y -DP (B7.21) (10 μg/ml) a temperatura ambiente durante una hora antes de la adición del péptido.

20 Ejemplo 12

Desarrollo de ELISPOT para interferón gamma usando PBMC y A-gliadina 57-73 QE65 y P04724 84-100 QE92 como diagnóstico para la enfermedad celíaca: Definición de la capacidad de respuesta inmunitaria en enfermedad celíaca recién diagnosticada

La inducción de la capacidad de respuesta al epítopo dominante en A-gliadina de los linfocitos T en PBMC medida en el ELISPOT para interferón gamma se produce después de la exposición a gluten en casi todos los individuos DQ2+ celíacos que siguen una dieta estricta sin gluten (DSG) de larga duración pero no en individuos DQ2+ sanos después de 4 semanas tras una DSG estricta. Las respuestas a A-gliadina 57-73 QE65 no son medibles en PBMC de individuos celíacos antes de la exposición a gluten y los datos piloto sugieren que estas respuestas no se podrían medir en PBMC de celíacos sin tratar. Estos datos sugieren que en la enfermedad celíaca, se recupera la capacidad de respuesta inmunitaria a A-gliadina 57-73 QE65 después de la exclusión del antígeno (DSG). Si se ha de desarrollar un ensayo diagnóstico usando el ensayo ELISPOT y PBMC, es deseable definir la duración de la DSG necesaria antes de que la exposición a gluten sea capaz de inducir respuestas a la A-gliadina 57-73 QE65 y otros péptidos de gliadina inmunorreactivos en sangre.

Individuos DQ2+ celíacos recién diagnosticados fueron reclutados en el servicio de consultas externas de gastroenterología. Se prepararon PBMC y se sometieron a ensayos de ELISPOT para interferón gamma antes de que los individuos comenzasen la DSG, y durante una o dos semanas después de comenzar la DSG. Además, se 40 llevó a cabo la exposición a gluten (3 días consumiendo 4 rebanadas de pan blanco convencional, 200 g/día) durante una o dos semanas después de comenzar la DSG. Se prepararon PBMC y se sometieron a ensayo el día seis después de comenzar la exposición a gluten. Se evaluaron la A-gliadina 57-73 QE65 (A), P04724 84-100 QE92 (B) (solo y combinado) y la A-gliadina 57-73 QP65 (P65) (variante no bioactiva, véase más arriba) (todos a 25 μg/ml).

Todos eran DQ2+, menos un paciente celíaco recién diagnosticado (uno era DQ8+) (n = 11). Las PBMC de celíacos recién diagnosticados que no habían sido tratados, o después de 1 o 2 semanas después de la DSG no mostraron respuestas a A-gliadina 57-73 QE65 y P04724 84-100 QE92 (sola o combinada) que no fueran significativamente diferentes del blanco o de la A-gliadina 57-73 QP65 (n = 9) (véase Figura 11). La exposición a gluten en celíacos que habían seguido la DSG sólo durante una semana no mejoró sustancialmente las respuestas a A-gliadina 57-73 QE65 o P04724 84-100 QE92 (sola o combinada). Pero la exposición a gluten 2 semanas después de comenzar la DSG indujo respuestas a A-gliadina 57-73 QE65 y P04724 84-100 QE92 (sola o combinada) que fueron significativamente superiores que la variante de A-gliadina 57-73 QP65 no bioactiva y el blanco. Aunque estas respuestas después de la exposición a gluten a las 2 semanas son significativas, parecen ser inferiores que en los individuos >2 meses después de comenzar la DSG. Las respuestas a A-gliadina 57-73 QE65 sola eran equivalentes o superiores a las respuestas a P04724 84-100 QE92 sola o cuando se mezcla con A-gliadina 57-73 QE65. Ninguno de los individuos experimentó síntomas preocupantes con la exposición a gluten.

La capacidad de respuesta inmunitaria (como se mide en PBMC después de la exposición a gluten) a A-gliadina se

recupera parcialmente 2 semanas después de comenzar la DSG, lo que implica que "la falta de capacidad de respuesta inmunitaria" a este epítopo dominante de linfocitos T prevalece en la enfermedad celíaca sin tratar y durante al menos una semana después de comenzar la DSG. El momento óptimo de un ensayo diagnóstico para la enfermedad celíaca mediante la exposición a gluten y la medición de las respuestas a A-gliadina 57-73 QE65 en el ensayo ELISPOT es al menos 2 semanas más tarde de comenzar una DSG.

Los linfocitos T que secretan interferón gamma específicos para la A-gliadina 57-73 QE65 no se pueden medir en la sangre periférica de celíacos no tratados, y sólo pueden ser inducidos por la exposición a gluten después de al menos 2 semanas de DSG (exclusión del antígeno). Por lo tanto, el momento del ensayo diagnóstico usando esta metodología es crucial y son necesarios más estudios para su optimización. Estos hallazgos son consistentes con la anergia funcional de los linfocitos T específicos para el epítopo dominante, A-gliadina 57-73 QE65, revertida por la exclusión del antígeno (DSG). Este fenómeno no se ha demostrado con anterioridad en una enfermedad humana, y apoya la posibilidad de que la anergia de linfocitos T pueda ser inducible con terapia peptídica en enfermedad celíaca.

Ejemplo 13

15

Mapeo integral de epítopos de linfocitos T para gliadina de trigo

20 La estimulación con el antígeno induce linfocitos T específicos para el antígeno en la sangre periférica. En la enfermedad celíaca, el gluten es el antígeno que mantiene esta enfermedad mediada por el sistema inmunitario. La exposición a gluten en la enfermedad celíaca tratada con una dieta sin gluten conduce a la aparición de linfocitos T específicos para el gluten en sangre periférica, de modo que permite la determinación de la especificidad molecular de epítopos de linfocitos T para el gluten. Como se ha descrito anteriormente, hemos identificado un único epítopo 25 dominante de linfocitos T en un modelo de proteína de gluten, A-gliadina (57-73 desamidada en Q65). En este Ejemplo, se usó la exposición a gluten en pacientes celíacos para probar todas las posibles secuencias de 12 aminoácidos en cada proteína de gliadina de trigo conocida obtenida de 111 entradas en GenBank. En total, se probaron 652 péptidos 20-mer en enfermedad celíaca asociada a HLA-DQ2 y HLA-DQ8. Siete de los 9 individuos celíacos con el complejo HLA-DQ2 clásico (HLA-DQA1*05, HLA-DQB1*02) presente en más del 90 % de los 30 celíacos tenían una respuesta en sangre periférica de linfocitos T inducible para A-gliadina 57-73 QE65 y específica para gliadina. La A-gliadina 57-73 era el único epítopo de linfocitos T para α-gliadina significativo, y el epítopo de linfocitos T para gliadina más potente, en enfermedad celíaca asociada a HLA-DQ2. Además, había hasta 5 familias de péptidos estructuralmente relacionados que eran entre un 10 y un 70 % tan potentes como la A-gliadina 57-73 en el ensayo ELISPOT para interferón-y. Estos nuevos epítopos de linfocitos T se obtuvieron a partir de γ- y ω-gliadinas 35 e incluyen secuencias comunes que eran estructuralmente muy similares, pero no idénticas, a la secuencia central de la A-gliadina 57-73 (secuencia central: FPQPQLPYP (SEQ ID NO: 18)), por ejemplo: FPQPQQPFP (SEQ ID NO: 19) y PQQPQQPFP (SEQ ID NO: 20). Aunque no se han encontrado homólogos de la A-gliadina 57-73 en el centeno o la cebada, los otros dos cereales tóxicos en la enfermedad celíaca, los epítopos de linfocitos T recién definidos en γ- y ω-gliadinas tienen emparejamientos exactos en las proteínas de almacenamiento del centeno y la 40 cebada (secalinas y hordeínas, respectivamente).

La enfermedad celíaca no asociada al HLA-DQ2 casi siempre está asociada al HLA-DQ8. Ninguno de los siete individuos celíacos HLA-DQ8+ presentaba respuestas inducibles de linfocitos T específicas a A-gliadina 57-73 después de la exposición a gluten, a menos que también poseyesen el complejo completo HLA-DQ2. Dos de 4 individuos celíacos HLA-DQ8+ que no poseían el complejo completo HLA-DQ2, presentaron respuestas inducibles de linfocitos T específicas para el péptido de gliadina. En un individuo HLA-DQ8, se identificó un nuevo epítopo de linfocitos T dominante con la secuencia central LQPQNPSQQQPQ (SEQ ID NO: 21). La versión desamidada por transglutaminasa de este péptido era más potente que el péptido no desamidado. Estudios previos sugieren que el péptido desamidado por transglutaminasa tendría la secuencia LQPENPSQEQPE (SEQ ID NO: 22); pero se necesitan más estudios para confirmar esta secuencia. Entre los individuos sanos HLA-DQ2 (10) y HLA-DQ8 (1) que siguieron una dieta sin gluten durante un mes, las respuestas de linfocitos T específicas para el péptido de gliadina fueron poco frecuentes, rara vez se modificaron con la exposición a gluten, y nunca aparecieron epítopos de linfocitos T potentes con la exposición a gluten en individuos celíacos. En conclusión, no es probable que haya más de 6 epítopos de linfocitos T importantes en enfermedad celíaca asociada a HLA-DQ2, de los cuales la A-gliadina especificidad de linfocitos T.

Hemos demostrado que la exposición a gluten de corta duración de individuos con enfermedad celíaca después de una dieta sin gluten induce linfocitos T específicos de gliadina en sangre periférica. La frecuencia de estos linfocitos

T es máxima en sangre periférica el día 6 y después se desvanece rápidamente durante la siguiente semana. Los linfocitos T específicos de gliadina en sangre periférica expresan la integrina α4β7 que está asociada a la adhesión a la lámina propia del intestino. Hemos aprovechado este diseño de estimulación con antígeno humano para mapear los epítopos de linfocitos T relevantes para la enfermedad celíaca en la proteína arquetípica α-gliadina del gluten, A-gliadina. Usando péptidos 15-mer superpuestos en 10 aminoácidos con y sin desamidación por transglutaminasa (tTG), hemos demostrado que los linfocitos T inducidos en sangre periférica inicialmente sólo están dirigidos a un péptido de A-gliadina, los restos 57-73 en los que se desamidada la glutamina en posición 65. El epítopo está restringido a HLA-DQ2, consecuente con la asociación íntima de la enfermedad celíaca al HLA-DQ2.

10 La enfermedad celíaca es reactivada por exposición al trigo, el centeno y la cebada. La fracción α/β-gliadina del gluten de trigo es tóxica de forma consistente en la enfermedad celíaca, y la mayoría de los estudios se han centrado en estas proteínas. El grupo de genes de codificación para las α/β-gliadinas se encuentra en el cromosoma 6C del trigo. No hay homólogos de las α/β-gliadinas en el centeno o la cebada. Sin embargo, los tres subtipos de gliadina del trigo (α/β, γ, y co) son tóxicos en la enfermedad celíaca. Los genes γ- y ω-gliadina se encuentran en el toromosoma 1A en el trigo, y son homólogas a las secalinas y las hordeínas en centeno y cebada.

En la actualidad hay genes identificados para 61 α-gliadinas en el trigo (*Triticum aestivum*). Las secuencias de la α-gliadina son altamente homólogas, pero el epítopo dominante en A-gliadina deriva de la región más polimórfica en la secuencia de la α-gliadina. Anderson y col., (1997) han estimado que hay un total de aproximadamente 150 genes de α-gliadina distintos en *T. aestivum*, pero muchos son pseudogenes. Por lo tanto, es poco probable que los epítopos de linfocitos T relevantes para la enfermedad celíaca no estén incluidos dentro de las secuencias conocidas de la α-gliadina.

Nuestro trabajo ha identificado un grupo de péptidos de α-gliadina desamidada casi idénticos a la A-gliadina 57-73 como epítopos potentes de linfocitos T específicos para la enfermedad celíaca. Más del 90 % de los pacientes celíacos son HLA-DQ2+, y hasta ahora, sólo hemos evaluado individuos celíacos HLA-DQ2+ después de la exposición a gluten. Sin embargo, los pacientes celíacos que no expresan HLA-DQ2 portan casi todos HLA-DQ8. Por lo tanto, es fundamental saber si la A-gliadina 57-73 y sus homólogos en otras proteínas del gluten en trigo, centeno y cebada son los únicos epítopos de linfocitos T reconocidos por los linfocitos T inducidos por la exposición a gluten en enfermedad celíaca HLA-DQ2+ y HLA-DQ8+. Si este fuera el caso, el diseño de agentes terapéuticos peptídicos para la enfermedad celíaca podría requerir únicamente un péptido.

Homólogos de la A-gliadina 57-73 como epítopos de linfocitos T

35 Las búsquedas iniciales en las bases de datos de genes del SwissProt y TrEMBL para genes de cereales que codifican para la secuencia central de A-gliadina 57-73 (PQLPY <SEQ ID NO: 12>) sólo revelaron α/β-gliadinas. Sin embargo, nuestros estudios de mapeo fino del epítopo de la A-gliadina 57-73 QE65 revelaron un número limitado de sustituciones puntuales permisivas en la región del núcleo (PQLP) (nótese que Q65 realmente está desamidada en el epítopo). Por lo tanto, hemos extendido nuestra búsqueda de genes en las bases de datos del SwissProt o 40 TrEMBL que codifican para péptidos con la secuencia de XXXXXXXXPQ[ILMP][PST]XXXXXX (SEQ ID NO: 23). Los homólogos se identificaron entre γ-gliadinas, gluteninas, hordeínas y secalinas (véase Tabla 12). Se identificó un homólogo más en ω-gliadina por búsqueda visual de las tres entradas de ω-gliadina en el GenBank.

Estos homólogos de A-gliadina 57-73 se evaluaron después de la desamidación por tTG (o síntesis de la variante sustituida por glutamato (QE) en cuatro homólogos cercanos) usando el ensayo de ELISPOT para IFN-γ con células mononucleares de sangre periférica después de la exposición a gluten en individuos celíacos. La secuencia de mgliadina (AAG17702 141-157) era el único péptido bioactivo, aproximadamente la mitad de potente que la A-gliadina 57-73 (véase Tabla 12, y Figura 12). Por lo tanto, las búsquedas de homólogos del epítopo dominante de A-gliadina no tuvieron en cuenta la toxicidad de la γ-gliadina, secalinas, y hordeínas.

Métodos

Diseño de un grupo de péptidos que abarcan todos los posibles epítopos de linfocitos T para gliadina de trigo

55 Con el fin de identificar todos los posibles epítopos de linfocitos T codificados por los genes o fragmentos génicos conocidos de la gliadina (61 entradas para α/β-, 47 entradas para γ-, y 3 entradas para ω-gliadina en el Genbank) del trigo (*Triticum aestivum*), se alinearon secuencias de proteínas derivadas de genes con el *software* CustalW (MegAlign) y se dispusieron en grupos filogenéticos (véase Tabla 22). Muchas entradas representan truncamientos de secuencias más largas, y muchos segmentos génicos eran idénticos excepto por la longitud de las repeticiones

de poliglutamina o sustituciones raras. Por lo tanto, fue posible razonar todas las posibles secuencias de 12 aminoácidos únicos codificadas por genes conocidos del trigo que se deben incluir en un grupo de 652 péptidos 20-mer. (No se incluyeron las secuencias de los péptidos señal). Las secuencias de péptidos se enumeran en la Tabla 23.

Mapeo integral de epítopos

5

Se estudiaron individuos de control sanos (HLA-DQ2+ n = 10, y HLA-DQ8+ n = 1) que habían seguido una dieta sin gluten durante 4 semanas, y individuos celíacos (seis HLA-DQ2, cuatro heterocigóticos complejos HLA-DQ2/8, y tres 10 HLA-DQ8/X) (véase Tabla 13) que habían seguido una dieta sin gluten de larga duración antes y el día 6 y 7 después de la exposición de 3 días a gluten (cuatro rebanadas de 50 g de pan blanco convencional - pan de molde de Sainsbury, cada día). Se recogió sangre periférica (un total de 300 ml durante los siete días) y las células mononucleares de sangre periférica (PBMC) se separaron mediante gradiente de densidad Lymphoprep. Las PBMC se incubaron con pools de 6 u 8 péptidos 20-mer, o péptidos individuales con o sin desamidación por tTG en 15 ensayos ELISPOT para interferón gamma (IFN-γ) durante toda la noche.

Los péptidos se sintetizaron en lotes de 96 como Pepsets (Mimotopes Inc., Melbourne Australia). Se proporcionó 0,6 micromoles aproximadamente de cada uno de los 652 20-mer. Se incluyeron dos péptidos 20-mer marcadores en cada grupo de 96 (VLQQHNIAHGSSQVLQESTY - péptido 161 (SEC ID NO: 24), y IKDFHVYFRESRDALWKGPG (SEQ ID NO: 25)) y se caracterizaron por HPLC en fase inversa y análisis de la secuencia de aminoácidos. Las purezas promedio de estos péptidos marcadores fueron del 50 % y del 19 %, respectivamente. Los péptidos se disolvieron inicialmente en acetonitrilo (10 %) y Hepes 100 mM a 10 mg/ml.

La concentración final de péptidos individuales en los pools (o solos) incubados con PBMC para los ensayos de 25 ELISPOT para IFN-γ fue de 20 μg/ml. Se tomaron alícuotas de soluciones concentradas cinco veces de péptidos y pools en PBS, cloruro de calcio 1 mM y se almacenaron en placas de 96 pocillos según el protocolo usado posteriormente en los ensayos ELISPOT. Se prepararon péptidos y pools de péptidos desamidados mediante la incubación con tTG tisular de conejillo de indias (Sigma T5398) en una relación de 100:32 μg/ml durante dos horas a 37 °C. Las soluciones de péptidos se almacenaron a -20 °C y se descongelaron justo antes de su uso.

La gliadina (Sigma G3375) (100 mg/ml) en agua libre de endotoxinas y urea 2 M se llevó a ebullición durante 10 minutos, se enfrió a temperatura ambiente y se incubó con pepsina esterilizada por filtración (0,2 μm) (Sigma P6887) (2 mg/ml) en HCl 0,02 M o quimotripsina (C3142) (4 mg/ml) en bicarbonato de amonio (0,2 M). Después de la incubación durante 4 horas, la gliadina digerida con pepsina se neutralizó con hidróxido de sodio, y a continuación la gliadina digerida con pepsina y digerida con quimotripsina se llevaron a ebullición durante 15 minutos. También se realizaron incubaciones idénticas con proteasa en las que se omitió la gliadina. Las muestras se centrifugaron a 15.000 g, y a continuación se estimaron las concentraciones de proteína en los sobrenadantes por el método de BCA (Pierce, EE.UU.). Antes de su uso final en los ensayos de ELISPOT para IFN-γ, se incubaron alícuotas de gliadina-proteasa con tTG en una relación 2500:64 μg/ml.

Se llevaron a cabo ensayos ELISPOT para IFN-γ (Mabtech, Suecia) en placas de 96 pocillos (MAIP S-45, Millipore) en los que cada pocillo contenía 25 μl de solución peptídica y 100 μl de PBMC (2-8 x 10⁵/pocillo) en RPMI que contiene el 10 % de suero AB humano inactivado por calor. Se evaluaron pools de péptidos desamidados en una placa ELISPOT de 96 pocillos, y pools de péptidos sin desamidación en una segunda placa (con una distribución idéntica) tanto el día 0 como el día 6. Todos los pocillos en la placa que contiene los péptidos desamidados incluían tTG (64 μg/ml). En cada placa ELISPOT había 83 pocillos con pools de péptidos (un pool único en cada pocillo), y una serie de pocillos para péptidos "control" (péptidos todos con una pureza > 90 %, que se caracterizaron por MS y HPLC, Research Genetics): P04722 77-93 (QLQPFPQPQLPYPQPQP (SEQ ID NO: 26)), P04722 77-93 QE85 (por duplicado) (QLQPFPQPELPYPQPQP (SEQ ID NO: 27)), P02863 77-93 (QLQPFPQPQLPYSQPQP (SEQ ID NO: 28)), P02863 77-93 QE85 (QLQPFPQPELPYSQPQP (SEQ ID NO: 29)), y la gliadina digerida con quimiotripsina (500 μg/ml), la gliadina digerida con pepsina (500 μg/ml), quimotripsina sola (20 μg/ml), pepsina sola (10 μg/ml), y el blanco (PBS +/- tTG) (por triplicado).

Después del revelado y el secado, las placas ELISPOT para interferón gamma se evaluaron usando el contador de 55 placas de ELISPOT automatizado MAIP. En individuos HLA-DQ2 sanos y celíacos, la inducción de los puntos formadores de células (sfc) por pools de péptidos en el ensayo ELISpot para IFN-γ se sometió a ensayo usando una prueba de rangos con signo apareados de una cola de Wilcoxon (usando el software SPSS) aplicada a los puntos de formación de células (sfc) por millón de PBMC menos el blanco, el día 6 frente al día 0 ("respuesta neta"). Una inducción significativa de una respuesta IFN-γ a pools de péptidos en PBMC mediante exposición a gluten in vivo se

define como una "respuesta neta" media de al menos 10 sfc/millón de PBMC y un nivel de significación p <0,05. Una respuesta significativa a un pool de péptidos particular el día 6 estuvo seguida de la valoración de los péptidos individuales dentro de cada pool usando la extracción de PBMC el mismo día o el día 7.

5 Para los ensayos ELISPOT para IFN-γ de péptidos individuales, la bioactividad se expresó como porcentaje de la respuesta a P04722 77-93 QE85 evaluado en la misma placa de ELISPOT. La respuesta media al blanco (PBS solo) fue de 0,2 (intervalo 0-5) sfc por pocillo, y el control positivo (P04722 77-93 QE85) fue de 76,5 (intervalo: 25-282) sfc por pocillo usando una media de 0,36 millones (intervalo: 0,3-0,72) de PBMC. Por lo tanto, la respuesta media al blanco expresada como porcentaje de P04722 77-93 QE65 fue del 0,2 % (intervalo: 0-6,7). Se analizaron péptidos 10 individuales con bioactividad media superior al 10 % de la de P04722 QE85 para motivos estructurales comunes.

Resultados

Individuos HLA-DQ2 sanos

Ninguno de los individuos HLA-DQ2+ sanos que había seguido una dieta sin gluten durante un mes presentaba respuestas ELISPOT para IFN-γ a homólogos de la A-gliadina 57-73 antes o después de la exposición a gluten. Sin embargo, en 9/10 individuos sanos, la exposición a gluten estaba asociada a un incremento significativo en las respuestas de IFN-γ a las digestiones de gliadina tanto con pepsina como con quimotripsina, de una media de 0-4 sfc/millones el día 0 a una media de 16-29 sfc/millones (véase Tabla 14). Las respuestas a gliadina en individuos sanos no se verán afectadas por la desamidación (véase Tabla 15). Entre los individuos sanos, no hubo una inducción consistente de respuestas de IFN-γ a pools de péptidos de gliadina específicos con exposición a gluten (véase Figura 13, y Tabla 16). Ocasionalmente se encontraron respuestas de ELISPOT para IFN-γ, pero estas fueron débiles, y no se vieron alteradas por la desamidación. Muchas de las respuestas más fuertes a los pools también estaban presentes el día 0 (véase Tabla 17, individuos H2, H8 y H9). Cuatro individuos sanos sí mostraron respuestas definitivas al pool 50, y los dos con las respuestas más fuertes el día 6 también presentaban respuestas el día 0. En ambos individuos, las respuestas después de la exposición y las respuestas al pool 50 se debieron al péptido 390 (QQTYPQRPQQPFPQTQQPQQ (SEQ ID NO: 30)).

30 Individuos HLA-DQ2 celíacos

Después de la exposición a gluten en pacientes celíacos HLA-DQ2+, las respuestas medias de ELISPOT para IFN-y a P04722 77-93 E85 aumentaron de una media de 0 a 133 sfc/millones (véase Tabla 4). Uno de los seis individuos celíacos (C06) no respondió a P04722 77-93 QE85 (2 sfc/millones) y sólo presentaba respuestas débiles a pools del péptido de gliadina (máximo: pool 50 + tTG 27 sfc/millones). Consecuente con el trabajo anterior, la bioactividad de P04722 de tipo silvestre se incrementó 6,5 veces con desamidación por tTG (véase Tabla 15). Al inicio del estudio había presentes respuestas del interferón gamma a las digestiones de gliadina, pero se incrementaron sustancialmente mediante la exposición a gluten de una media de 20 hasta 92 sfc/millones para la gliadina sometida a quimotripsina y de 44 a 176 sfc/millones para la gliadina sometida a pepsina. La desamidación de la gliadina un crementó la bioactividad en una media de 3,2 veces para la gliadina sometida a quimotripsina y de 1,9 veces para la gliadina sometida a pepsina (véase Tabla 15). (Cabe señalar que la acidez requerida para la digestión por pepsina es probable que produzca la desamidación parcial de la gliadina).

En contraste con los individuos sanos, la exposición a gluten indujo respuestas ELISpot para IFN-γ a 22 de los 83 45 pools tratados con tTG que incluyen los péptidos de las α-, γ- y ω-gliadinas (véase Figura 14, y Tabla 17). La bioactividad de los pools fue muy coherente entre individuos (véase Tabla 18). Las respuestas ELISpot para IFN-γ provocadas por los pools de péptidos casi siempre se vieron incrementadas por la desamidación (véase Tabla 17). Pero la mejora de la bioactividad de los pools por la desamidación no fue tan marcada como para P04722 77-73 Q85, incluso para pools que incluyen los homólogos de A-gliadina 57-73. Esto sugiere que los péptidos Pepset se desamidan parcialmente durante la síntesis o durante la preparación, por ejemplo los péptidos Pepset se administran en forma de sales del ácido trifluoroacético (TFA) después de la liofilización de una solución de TFA.

Ciento setenta péptidos individuales desamidados por tTG procedentes de 21 de los pools más bioactivos se evaluaron por separado. Setenta y dos péptidos desamidados fueron más del 10 % tan bioactivos como P04722 77-55 93 QE85 a una concentración equivalente (20 μg/ml) (véase Tabla 19). Los cinco péptidos más potentes (85-94 % de bioactividad de P04722 QE85) eran homólogos de la α-gliadina A-gliadina 57-73 identificados previamente. Cincuenta de los péptidos bioactivos no eran homólogos de la A-gliadina 57-73, pero se podían dividir en seis familias de secuencias estructuralmente relacionadas (véase Tabla 20). Las secuencias más bioactivas de cada una de las familias de péptidos fueron: PQQPQQPPQQPPPQPPPPW (SEQ ID NO: 31) (péptido 626, 72 % de la

Consistente con la posibilidad de que diferentes poblaciones de linfocitos T respondan a péptidos con secuencias 10 centrales distintas, la bioactividad de los péptidos de diferentes familias parece ser aditiva. Por ejemplo, la bioactividad media del pool 81 tratado con tTG fue del 141 % de P04722 QE85, mientras que la bioactividad de los péptidos individuales fue, en orden de importancia: Péptido 631 (homólogo de A-gliadina 57-73) 61 %, 636 (homólogo de 626) 51 %, y 635 19 %, 629 16 %, y 634 13 % (todos ellos homólogos de 396).

- 15 Aunque probablemente sea una simplificación excesiva, la contribución de cada "familia de péptidos" a la respuesta ELISpot para IFN-γ sumada a los péptidos de gliadina se comparó en los individuos celíacos HLA-DQ2+ (véase Figura 15). En consecuencia, la contribución de P04722 77-73 E85 a la respuesta sumada a los péptidos de gliadina está entre 1/5 y 2/3.
- 20 Usando el programa de búsqueda de homología en péptidos, WWW PepPepSearch, al que se puede acceder a través de la World Wide Web de Internet en, por ejemplo, "cbrg.inf.ethz.ch/subsection3_1_5.html", y por comparación directa con secuencias del GenBank para secalinas de centeno, no se encontraron coincidencias exactas para la secuencias centrales QQPFPQQQPFP (SEQ ID NO: 39) en hordeínas de cebada (HOR8) y secalinas de centeno (A23277, CAA26449, AAG35598), QQPFPQQPQQPFP (SEQ ID NO: 40) en hordeínas de 25 cebada (HOG1 y HOR8), y para PIQPQQPFPQQP (SEQ ID NO: 41) también en hordeínas de la cebada (HOR8).

Enfermedad celíaca asociada a HLA-DQ8

55

- Siete individuos celíacos HLA-DQ8+ se sometieron a estudio antes y después de la exposición a gluten. Cinco de estos individuos HLA-DQ8+ (HLA-DQA0*0301-3, HLA-DQB0*0302) también portaban uno o los dos complejos HLA-DQ2 (DQA0*05, DQB0*02) asociados a la enfermedad celíaca. Dos de los tres individuos con ambos complejos HLA-DQ asociados a enfermedad celíaca presentaban respuestas potentes a pools de péptidos de gliadina (y péptidos individuales, incluyendo P04722 77-93 E85) que eran cualitativa y cuantitativamente idénticos a individuos celíacos HLA-DQ2 (véase Figuras 16 y 17, y Tabla 18). El pool de péptidos desamidados 74 era bioactivo en ambos individuos HLA-DQ2/8, pero sólo en uno de los 6 individuos HLA-DQ2/X. El tratamiento previo del pool 74 con tTG mejora la bioactividad entre 3,8 y 22 veces, y la bioactividad del pool 74 tratado con tTG en los tres individuos que presentan respuesta es equivalente a entre el 78 % y el 350 % de la bioactividad de P04722 77-93 E85. Actualmente, no se sabe qué péptidos son bioactivos en el pool 74 en los individuos C02, C07, y C08.
- 40 Dos de los cuatro individuos celíacos HLA-DQ8 que carecían de uno o de los dos alelos HLA-DQ2 asociados a la enfermedad celíaca mostraron respuestas ELISPOT para IFN-γ muy débiles a los pools de péptidos de la gliadina, pero los otros dos respondieron tanto a la gliadina digerida por proteasa como a los pools de péptidos específicos. El individuo C12 (HLA-DQ7/8) respondió enérgicamente a los pools 1-3 desamidados (véase Figura 18). La evaluación de los péptidos individuales en estos pools permitió la identificación de una serie de péptidos bioactivos estrechamente relacionados, incluyendo la secuencia central LQPQNPSQQQPQ (SEQ ID NO: 42) (véase Tabla 20). El trabajo previo (por nosotros) ha demostrado que tres restos de glutamina en esta secuencia son susceptibles a la desamidación mediada por tTG (subrayado). Las búsquedas de homología utilizando WWW PepPepSearch han identificado coincidencias próximas a LQPQNPSQQQPQ (SEQ ID NO: 43) sólo en α-gliadinas de trigo.
- 50 El cuarto individuo HLA-DQ8 (C11) tuvo respuestas ELISpot para IFN-γ inducibles al pool 33 tratado con tTG (véase Figura 19). Los pools 32 y 33 incluyen polimorfismos del epítopo de gliadina definido previamente restringido a HLA-DQ8 (QQYPSGQGSFQPSQQNPQ (SEQ ID NO: 44)) activo después de desamidación con tTG (las Gln subrayadas se desamidan y confieren bioactividad) (van der Wal y col., 1998). Actualmente, no se sabe qué péptidos son bioactivos en el pool 33 en el individuo C11.

Así, el mapeo integral del epítopo de linfocitos T en la enfermedad celíaca asociada a HLA-DQ2 usando la exposición a gluten *in vivo* y un grupo de 652 péptidos que abarcan las 12 secuencias de aminoácidos conocidas en gliadina del trigo ha identificado al menos 72 péptidos un 10 % tan bioactivos como el epítopo conocido de la α-gliadina, A-gliadina 57-73 E65. Sin embargo, estos péptidos bioactivos se pueden reducir a un grupo de quizás sólo

5 familias de péptidos distintas, pero estrechamente relacionadas. Casi todos estos péptidos son ricos en prolina, glutamina, fenilalanina y/o tirosina e incluyen la secuencia PQ(QL)P(FY)P (SEQ ID NO: 45). Esta secuencia facilita la desamidación de Q en posición 2 por tTG. Por analogía con la desamidación de la A-gliadina 57-68 (Arentz-Hansen 2000), el aumento de la bioactividad de estos péptidos que generalmente se encuentra con la desamidación por tTG se puede deber a una mayor afinidad de unión por HLA-DQ2.

Es posible la reactividad cruzada entre linfocitos T *in vivo* que reconocen más de uno de estos péptidos de gliadina bioactivos. Sin embargo, si cada grupo de péptidos relacionados activa una población de linfocitos T distinta *in vivo*, el epítopo correspondiente a la A-gliadina 57-73 E65 es el más potente y generalmente es reconocido por al menos 10 el 40 % de los linfocitos T de sangre periférica que secretan IFN-γ en respuesta a la gliadina después de la exposición a gluten.

No se encontraron respuestas específicas para el péptido de gliadina en la enfermedad celíaca HLA-DQ2/8 que difirieran cualitativamente de las de la enfermedad celíaca asociada a HLA-DQ2/X. No obstante, los linfocitos T en sangre periférica en individuos celíacos HLA-DQ8+ sin los dos alelos HLA-DQ2 no reconocían los homólogos de Agliadina 57-73 E65. En dos HLA-DQ8+ celíacos eran dominantes dos epítopos diferentes. El epítopo dominante en uno de estos individuos HLA-DQ8+ no ha sido identificado previamente (LQPQNPSQQQPQ (SEQ ID NO: 46)).

Teniendo en cuenta las enseñanzas de este documento, el diseño de una inmunoterapia para la enfermedad celíaca 20 utilizando todos los epítopos de linfocitos T reconocidos habitualmente es práctico y puede incluir menos de seis péptidos diferentes. Los epítopos en γ- y ω-gliadinas de trigo también están presentes en hordeínas de la cebada y en secalinas del centeno.

Ejemplo 14

25

Se realizaron varios ensayos ELISPOT como se ha descrito anteriormente y produjeron los siguientes resultados y/o conclusiones:

Examen de múltiples polimorfismos de α-gliadina con PQLPY

30

Agonistas potentes de la A-gliadina 57-73QE (G01) incluyen

35 identidad con la secuencia G01 en la posición particular.

La exposición a gluten induce linfocitos T de A-gliadina 57-73 QE65 después de sólo dos semanas de dieta sin gluten en enfermedad celíaca de nuevo diagnóstico

40 Análisis adicionales indicaron que las respuestas de gliadina desamidada por tTG cambian después de dos semanas de dieta sin gluten en la enfermedad celíaca de nuevo diagnóstico. Otros análisis indican que los linfocitos T específicos de gliadina desamidada son restringido a HLA-DQ2 CD4+α₄β₇+.

Epítopo óptimo (clones frente a la exposición a gluten)

15

Un epítopo "dominante" se define mediante ELISPOT para IFN-γ después de la exposición a gluten. QLQPFPQPELPYPQPQS (100 % de respuesta ELISpot). Epítopos definidos por clones de linfocitos T intestinales: QLQPFPQPELPY (27 %), PQPELPYPQPELPY (52 %), y QQLPQPEQPQQSFPEQERPF (9 %).

50

Dominancia entre las respuestas de péptidos individuales

La dominancia depende del trigo o del centeno. En cuanto al trigo, los péptidos dominantes incluyen los péptidos número 89, 90 y 91 (en referencia a los números de secuencia en la Tabla 23). Para el centeno, los péptidos dominantes incluyen los péptidos número 368, 369, 370, 371 y 372 (en referencia a los números de secuencia en la Tabla 23). Algunos péptidos, incluidos 635 y 636 (en referencia a los números de secuencia en la Tabla 23) mostraron actividad tanto en centeno como en trigo.

10 La exposición a gluten in vivo permite definir la jerarquía de los epítopos de linfocitos T para la enfermedad celíaca

La jerarquía de los epítopos es consistente entre celíacos HLA-DQ2+ pero diferente para celíacos HLA-DQ8+. La jerarquía depende del cereal que se consume. La desamidación genera casi todos los epítopos de gliadina. HLA-DQ2, DQ8, y DR4 presentan péptidos desamidados. La enfermedad celíaca asociada a HLA-DQ2/8 preferentemente presenta epítopos de gliadina asociados a DQ2. Los epítopos de gliadina están suficientemente restringidos como para justificar el desarrollo de terapias basadas en epítopos.

Otros análisis indicaron lo siguiente: HLA-DR3-DQ2 (85-95 %) y HLA-DR4-DQ8 (5-15 %).

20 Otros análisis indicaron lo siguiente:

	HLA-DQ	Alelo HLA-DQA1	Alelo HLA-DQB1	Histología	Sin Gluten	EMA con gluten
				duodenal		(en DSG)
C01	2,6	102/6, 501	201, 602	AVS	1 año	+(-)
C02	2,2	501	201	AVS	1 año	+(-)
C03	2,5	101/4/5, 501	201, 501	AVP	1 año	+(-)
C04	2,5	101/4/5, 501	201, 501	AVS	7 año	+(-)
C05	2,2	201, 501	201, 202	AVS	4 meses	+(ND)
C06	2,2	201, 501	201, 202	AVS	2 año	+(-)
C07	2,8	301-3, 501	201, 302	AVS	1 año	+(-)
C08	2,8	301-3, 501	201, 302/8	AVS	11 año	ND (-)
C09	2,8	301-3, 501	201, 302	AVS	29 año	+(-)
C10	2,8	201, 301-3	202, 302	IEL	1 año	+(-)
C11	6,8	102/6, 301-3	602/15, 302/8	IEL	9 meses	- (ND)
C12	8,7	301-3, 505	302, 301/9-10	AVS	2 año	-(-)
C13	8,8	301	302	AVS	1 año	+(+)

Se llevó a cabo otro análisis para determinar la bioactividad de péptidos individuales desamidados con tTG en los pools 1-3 en el individuo C12. Los resultados son los siguientes (los números de secuencia se refieren a los péptidos enumerados en la Tabla 23): Secuencia 8 (100 %), Secuencia 5 (85 %), Secuencia 6 (82 %), Secuencia 3 (77 %), Secuencia 1 (67 %), Secuencia 2 (59 %), Secuencia 9 (49 %), Secuencia 7 (49 %), Secuencia 10 (33 %), Secuencia 4 (15 %), Secuencia 12 (8 %), Secuencia 11 (0 %), Secuencia 23 (26 %), Secuencia 14 (18 %), Secuencia 15 (18 %), Secuencia 17 (18 %), Secuencia 16 (13 %), Secuencia 14 (8 %), Secuencia 22 (5 %), Secuencia 18 (3 %), Secuencia 19 (3 %), Secuencia 20 (0 %), Secuencia 21 (0 %). La secuencia desamidada predicha es LQPENPSQEQPE.

Respuestas a ELISPOT individuales por PBMC (puntos formadores de células determinados por el lector ELISPOT)

Péptido (véase Tabla 23)	C01	C02	C03	C04	C05
65	16	2	1	2	3
66	32	6	13	0	6
67	16	3	4	0	4
68	25	8	4	2	2
69	4	0	0	0	0
70	2	1	0	0	0
71	1	1	0	0	1
72	0	0	0	0	0
73	95	21	42	31	31
74	122	15	29	21	28
75	5	1	2	2	5
76	108	13	28	16	22
77	3	0	1	0	1
78	21	2	3	5	3
79	20	0	2	0	2
80	5	2	0	0	3
81	4	1	2	3	1
82	3	3	5	2	2
83	14	2	0	0	1
84	3	0	0	0	0
85	14	1	2	1	2
86	11	0	2	0	2

5 Reactividad cruzada

Para tratar los datos de 652 péptidos en 29 individuos, o para determinar cuándo una respuesta particular es una verdadera respuesta positiva de linfocitos T específica para el péptido, o para determinar cuándo una respuesta a un péptido es debida a la reactividad cruzada con otro péptido relacionado estructuralmente, la expresión de una 10 respuesta a un péptido particular puede estar como porcentaje de una respuesta de un péptido "dominante". De manera alternativa, la expresión puede ser una "relación", como coeficientes de correlación entre las respuestas de péptidos, o por medios bioinformáticos.

Epítopos adicionales

15

Un resultado representativo es como sigue:

Combinación de péptidos con P04722E (todos 20 µg/ml) (n = 4)

	Solo	P04722E +
Pep 626	60	135
P04722E	100	110
HLAa	0	85

(Expresado como porcentaje de P04722E)

5 626 + tTG: PQQPQQPPQQPFPQPQQPFPW

P04724E: QLQPFPQPELPYPQPQL

Desamidación con tTG del péptido 626 (n = 12)

10 Sin tTG = 100 %

tTG = 170 %

15 Sustitución en posiciones particulares

Sustitución del péptido 626 PQQP[Q1]QP[Q2]QPFPQP[Q3]QPFPW (n = 12)

	Glu	Arg
Q1	95	90
Q2	145	80
Q3	155	10

20 (Expresado como porcentaje del péptido de tipo silvestre)

Bioactividad de 15-mer tratados con tTG que abarcan el Péptido 626/627

(PQQPQQPQQPFPQPQQPFPWQP) (n = 8)

25 P1-15. 5
P2-16. 4
30 P3-17. 3
P4-18. 38
P5-19. 65
P6-20. 95
P7-21. 65
40 P8-22. 90

(expresado como porcentaje de la respuesta máxima del 15-mer)

45

Múltiples epítopos:

P04724E: QLQPFPQPQLPYPQPQL

5 626 + tTG: PQQPQQPPQQPFPQPQQPFPW

Epítopo mínimo: QPQQPFPQPQQPFPW

La depleción inmunomagnética de PBMC por cuentas recubiertas con anti-CD4 y por anti-integrina β_7 agotó las 10 respuestas de ELISPOT para IFN- γ , mientras que la depleción inmunomagnética de PBMC por cuentas recubiertas con anti-CD8 o anti-integrina alphaE. Por lo tanto, las PBMC secretoras de IFN- γ son CD4+ y $\alpha_4\beta_7$ +, asociadas a la adhesión a la lámina propia en el intestino.

Bloqueo por el anticuerpo anti-DQ pero no por anticuerpo anti-DR en individuos heterocigóticos y homocigóticos 15 para HLA-DQ2. Esto puede implicar múltiples epítopos dentro de una secuencia.

Epítopos de linfocitos T en la enfermedad celíaca

Otros investigadores han caracterizado ciertos epítopos de clones de linfocitos T intestinales. Véase, por ejemplo, 20 Vader y col., Gastroenterology 2002, 122: 1729-1737; Arentz-Hansen y col., Gastroenterology 2002, 123: 803-809. Estos son ejemplos de epítopos cuya relevancia está, en el mejor de los casos, poco clara debido a las técnicas *in vitro* usadas para clonar los linfocitos T.

Clones intestinales frente a clones de sangre periférica

Intestinal: 1) biopsias intestinales, 2) clones de linfocitos T generados contra las digestiones péptica-trípticas de gluten, 3) todos restringidos a HLA-DQ2, 4) clones que responden a la gliadina desamidada por transglutaminasa.

Sangre periférica: 1) los clones de linfocitos T generados contra el gluten están restringidos a HLA-DR, DQ y DP. 30 Resultado: los clones de linfocitos T intestinales se pueden usar exclusivamente para mapear epítopos asociados a la enfermedad celíaca.

GDA_9 de Trigo de 307 aa. Definición del Precursor alfa/beta-gliadina MM1 (Prolamina) Nº de acceso P18573 - GenBank (que se incorpora aquí en su totalidad por referencia)

Epítopos de clones de linfocitos T intestinales

Una definición de epítopos de clones de linfocitos T intestinales se puede encontrar, por ejemplo, en Arentz-Hansen y col., J Exp Med. 2000, 191: 603-12. Allí también se describen epítopos de gliadina para clones de linfocitos T 40 intestinales. La secuencia QLQPFPQPQLPY desamidada es un epítopo, con una secuencia desamidada de QLQPFPQPELPY. Hay una restricción de HLA-DQ2. Una búsqueda de homología muestra que otras alfa-gliadinas bioactivas incluyen PQPQLPY individualmente o duplicada. La mayoría de los clones de linfocitos T responden a/o DQ2-αI: QLQPFPQPELPY DQ2-αII: PQPELPYPQPELPY

45 Epítopos dominantes de linfocitos T para gliadina

Todos desamidados por transglutaminasa.

Sangre periférica, día 6, después de exposición a gluten: A-gliadina 57-73:

QLQPFPQPELPYPQPQS

Clones de linfocitos T intestinales; DQ2-αI; QLQPFPQPELPY DQ2-αII; PQPELPYPQPELPY

55

50

25

Mapeo de epítopos de clones de linfocitos T intestinales

α-gliadinas	A1	PFPQPQLPY
A2	A2	PQPQLPYPQ
	A3	PYPQPQLPY
	Glia-20	PQQPYPQPQPQ
Γ-gliadinas	G1	PQQSFPQQQ
	G2	IIPQQPAQ
	G3	FPQQPQQPYPQQP
	G4	FSQPQQQFPQPQ
	G5	LQPQQPFPQQPQQPYPQQPQ
	Glu-21	QSEQSQQPFPQQF
	Glu-5	Q(IL)PQQPQQF
Glutenina	Glt-156	PFSQQQQSPF
	Glt-17	PFSQQQQQ

5 Exposición al gluten e inducción de linfocitos T específicos para A-gliadina 57-73QE65 que segregan IFN-γ en sangre periférica

Enfermedad celíaca sin tratar, seguido de dieta sin gluten durante 1, 2, ó 8 semanas, seguido por la exposición al gluten (3 días con 200 g de pan/día), seguido por dieta sin gluten.

Resultado 1: Duración de las respuestas a la dieta sin gluten y ELISPOT para IFN-γ el día 0 y el día 6 de la exposición a gluten: A-gliadina 57-73 QE65 (los resultados se expresaron como puntos específicos de IFN-γ/millones de PPBMC)

15 Día 0: ninguno (5), 1 semana (1), 2 semanas (2), 8 semanas (1)

10

25

Día 6: ninguno (0), 1 semana (4), 2 semanas (28), 8 semanas (48)

Resultado 2: Duración de las respuestas a la dieta sin gluten y ELISPOT para IFN-γ el día 0 y el día 6 de la 20 exposición a gluten: gliadina con tTG (resultados expresados como puntos específicos de IFN-γ/millones de PPBMC)

Día 0: ninguno (45), 1 semana (62), 2 semanas (5), 8 semanas (5)

Día 6: ninguno (0), 1 semana (67), 2 semanas (40), 8 semanas (60)

Resultado 3: Duración de las respuestas a la dieta sin gluten y ELISPOT para IFN-γ el día 0 y el día 6 de la exposición a gluten: A-gliadina 57-73 P65 (los resultados se expresaron como puntos específicos de IFN-γ/millones de PPBMC)

30 Día 0: ninguno (1), 1 semana (2), 2 semanas (1), 8 semanas (1)

Día 6: ninguno (0), 1 semana (0), 2 semanas (0), 8 semanas (0)

Resultados 4: Duración de las respuestas a la dieta sin gluten y ELISPOT para IFN-γ el día 0 y el día 6 de la 35 exposición a gluten: PPD (los resultados se expresaron como puntos específicos de IFN-γ/millones de PPBMC)

ES 2 510 440 T3

Día 0: ninguno (90), 1 semana (88), 2 semanas (210), 8 semanas (150)

```
Día 6: ninguno (0), 1 semana (100), 2 semanas (210), 8 semanas (100)
 5 Resultados 5: Duración de las respuestas a la dieta sin gluten y ELISPOT para IFN-y el día 0 y el día 6 de la
   exposición a gluten: tTG (los resultados se expresaron como puntos específicos de IFN-γ/millones de PPBMC)
   Día 0: ninguno (5), 1 semana (4), 2 semanas (3), 8 semanas (2)
10 Día 6: ninguno (0), 1 semana (4), 2 semanas (1), 8 semanas (2)
   Exposición a gluten en la enfermedad celíaca HLA-DQ2 con gluten a largo plazo
   La caracterización de las respuestas de los linfocitos T dirigidos contra gliadina se llevó a cabo en sangre periférica
15 el día 6-8 después de 3 días de exposición a gluten.
   Resultado 1: PBMC, Día 6, dieta sin gluten a largo plazo (preincubación con anticuerpo anti-HLA-DR y anti-DQ)
   (expresado como % de inhibición)
20 DR-: gliadina con tTG 100 μg/ml (105), A-gliadina 57-73 QE65 50 μg/ml (90), PPD 5 μg/ml (30)
   DQ-: gliadina con tTG 100 μg/ml (5), A-gliadina 57-73 QE65 50 μg/ml (22), PPD 5 μg/ml (78).
   Resultado 2: PBMC, Día 6, dieta sin gluten a largo plazo (expresado como % de respuesta de PBMC agotadas en
25 CD8)
   Depleción de B7: gliadina con tTG n = 6 (7), A-gliadina 57-73 n = 9 (6), PPD n = 8 (62)
   Depleción de AE: gliadina con tTG n = 6 (120), A-gliadina 57-73 n = 9 (80), PPD n = 8 (110).
30
   Depleción de CD4: gliadina con tTG n = 6 (10), A-gliadina 57-73 n = 9 (9), PPD n = 8 (10).
   Los péptidos terapéuticos incluyen, pero no se limitan a
35 QLQPFPQPQLPYPQPQS (AG01)
   QLQPFPQPQLPYPQPQP (AG02)
   QLQPFPQPQLPYPQPQL (AG03)
40
   QLQPFPQPQLPYLQPQP (AG04)
   QLQPFPRPQLPYPQPQP (AG05)
45 QLQPFPQPQLPYSQPQP (AG06)
   QLQPFLQPQLPYSQPQP (AG07)
   QLQPFSQPQLPYSQPQP (AG08)
50
   QLQPFPQPQLSYSQPQP (AG09)
   PQLPYPQPQLPYPQPQP (AG10)
55 PQLPYPQPQLPYPQPQL (AG11)
   PQPQPFLPQLPYPQPQS (AG12)
   PQPQPFPPQLPYPQPQS (AG13)
```

PQPQPFPPQLPYPQYQP (AG14)

PQPQPFPPQLPYPQPPP (AG015)

Brevemente después de la exposición al antígeno oral, las especificidades de linfocitos T de sangre periférica reflejan las de clones de linfocitos T intestinales. En sangre periférica, los epítopos de clones de linfocitos T intestinales son sub-óptimos en comparación con la A-gliadina 57-73 QE65, que es un epítopo de α-gliadina óptimo.

10 Ejemplo 17

La Tabla 24 muestra los resultados de los análisis que examinan los 652 péptidos con varios pacientes expuestos a trigo o a centeno.

15 Referencias

- 1. Molberg O, y col. Nature Med. 4, 713-717 (1998).
- 2. Quarsten H, y col. Eur. J. Immunol. 29, 2506-2514 (1999).

20

5

- 3. Greenberg CS y col. FASEB 5, 3071-3077 (1991).
- 4. Mantzaris G, Jewell D. Scand. J. Gastroenterol. 26, 392-398 (1991).
- 25 5. Mauri L, y col. Scand. J. Gastroenterol. 31, 247-253 (1996).
 - 6. Bunce M, y col. Tissue Antigens 46, 355-367 (1995).
 - 7. Olerup O, y col. Tissue antigens 41, 119-134 (1993).

30

- 8. Mullighan CG, y col. Tissue-Antigens. 50, 688-92 (1997).
- 9. Plebanski M y col. Eur. J. Immunol. 28,4345-4355 (1998).
- 35 10. Anderson DO, Greene FC. The alpha-gliadin gene family. II. DNA and protein sequence variation, subfamily structure, and origins of pseudogenes. Theor Appl Genet (1997) 95:59-65.
- 11. Arentz-Hansen H, Korner R, Molberg O, Quarsten H, Van der Wal Y, Kooy YMC, Lundin KEA, Koning F, Roepstorff P, Sollid LM, McAdam SN. The intestinal T cell response to alpha-gliadin in adult celiac disease is focused 40 on a.
 - 12. Vader LW, de Ru A, van der Wal, Kooy YMC, Benckhuijsen W, Mearin ML, Drijfhout JW, van Veelen P, Koning F. Specificity of tissue transglutaminase explains cereal toxicity in celiac disease. J Exp Med 2002; 195:643-649.
- 45 13. van der Wal Y, Kooy Y, van Veelan P, Pena S, Mearin L, Papadopoulos G, Koning F. Selective deamidation by tissue transglutaminase strongly enhances gliadin-specific T cell reactivity. J Immunol. 1998; 161:1585-8.
 - 14. van der Wal Y, Kooy Y, van Veelan P, Pena S, Mearin L, Molberg O, Lundin KEA, Sollid L, Mutis T, Benckhuijsen WE, Drijfhout JW, Koning F. Proc Natl Acad Sci USA 1998; 95:10050-10054.

O

- 15. Vader W, Kooy Y, Van Veelen P y col. The gluten response in children with celiac disease is directed toward multiple gliadin and glutenin peptides. Gastroenterology 2002, 122:1729-37
- 16. Arentz-Hansen H, McAdam SN, Molberg O, y col. Celiac lesion T cells recognize epitopes that cluster in regions 55 of gliadin rich in proline residues. Gastroenterology 2002, 123:803-809.

Tabla 1. Secuencia de la proteína A-gliadina (basado en la secuenciación de aminoácidos)

Tabla 2. Individuos estudiados con enfermedad celíaca

	Edad Sexo	Dieta sin	HLA-DQ 2	Estimulación	Síntomas con pan
		gluten		con pan	
1	64 f	14 años	Homocigótico	3 días	Dolor abdominal, letargo,
					úlceras bucales, diarrea
2	57 m	1 año	Heterocigótico	10 días	Letargo, náuseas
3	35 f	7 años	Heterocigótico	3 días	Náuseas
4	36 m	6 sem	Homocigótico	3 días	Dolor abdominal, úlceras
					bucales, diarrea
5	26 m	19 años	Heterocigótico	3 días	Ninguno
6	58 m	35 años	Heterocigótico	3 días	Ninguno
7	55 m	1 año	Heterocigótico	3 días	Diarrea
8	48 f	15 años	Homocigótico	3 días	Dolor abdominal, diarrea

Tabla 3

Aminoácido en la posición 65 Intervalo Media Glutamato (100)100 % Asparagina (50-84)70 % Aspartato (50-94)65 % Alanina (44-76)64 % (45-83)62 % Cisteína Serina (45-75)62 % Valina (24-79)56 % Treonina (46-66)55 %

> Glicina Leucina

Glutamina

10

5

(34-47)

(8-46)

(16-21)

40 %

33 %

19 %

ES 2 510 440 T3

Aminoácido en la posición 65	Intervalo	Media
Isoleucina	(3-25)	14 %
Metionina	(3-32)	14 %
Fenilalanina	(0-33)	12 %
Histidina	(0-13)	8 %
Tirosina	(0-17)	8 %
Triptófano	(0-17)	8 %
Lisina	(0-11)	4 %
Prolina	(0-4)	2 %
Arginina	(0-2)	1 %

Tabla 4

Respuesta Elispot		Secuencia peptídica	Restos correspondientes en las secuencias de proteínas gliadina (nº de acceso)	
oTG	TG			
(1-13)		QLQPFPQPQLPYPQPQS	57-73	α-gliadina (<i>T. aestivum</i>) Q41545
	100 (100)	QLQPFPQPELPYPQPQS	57-73	α-gliadina (<i>T. aestivum</i>) Q41545
(1-7)	53(44-67)	QLQPFPQPQLPYSQPQP	77-93	precursor α/β -gliadina (<i>Tricetum sestivum</i>) P02863
			76-92	α-gliadina (<i>T. aestivum</i>) Q41528
			77-93	proteína de almacenamiento de α-gliadina
			11-93	Q41531 (T. aestivum)
			57-73	péptido maduro α-gliadina (<i>T. aestivum</i>)
			57-75	Q41533
			77-93	precursor α-gliadina (<i>T. spelta</i>) Q9ZP09
2	83(61-113)	QLQPFPQPQLPYPQPQP	77-93	precursor α/β-gliadina A-II (<i>T. aestivum</i>)
(0-20)	,			P0472
9	83(74-97)	QLQPFPQPQLPYPQPQL	77-93	precursor α/β-gliadina A-IV (<i>T. aestivum</i>)
(0-33)	, ,	QLQFFFQFQLFTFQFQL	77-93	P04724
			77-93	precursor α/β-gliadina MM1 (<i>T. aestivum</i>)
			11-93	P18573
(0-7)	109 (41-	PQLPYPQPQLPYPQPQP	84-100	precursor α/β-gliadina A-IV (<i>T. aestivum</i>)
. ,	152)	FULFTFUFULFTFUFUF	04-100	P04724

Respuesta Elispot Secuel		Secuencia peptídica		respondientes en las secuencias de liadina (nº de acceso)
ID		PQLPYPQPQLPYPQPQL	84-100	precursor α/β-gliadina MM1 (<i>T. aestivum</i>)
		FULFIFUFULFIFUFUL	04-100	P18573
(0-1)	3(0-7)	QLQPFLQPQLPYSQPQP	77-93	precursor α/β-gliadina AI (<i>T. aestivum</i>)
, ,	, ,	QLQI I LQI QLI 13QI QI	11-95	P04721
			77-93	α-gliadina (<i>T. aestivum</i>) Q41509
(0-0)	2(0-7)	QLQPFSQPQLPYSQPQP	77-93	proteína de almacenamiento de α-gliadina
, ,	, ,	QLQI I OQI QLI I OQI QI	11-93	Q41530 (T. aestivum)
ID		PQPQPFPPQLPYPQTQP	77-93	precursor α/β-gliadina A-III (<i>T. aestivum</i>)
		T QT QTTTT QLTTT QTQT	11-95	P04723
7	24(11-43)	PQPQPFPPQLPYPQPQS	82-98	precursor α/β-gliadina A-V (<i>T. aestivum</i>)
(0-40)		T QT QTTTT QLTTT QT QO	02-30	P04725
0	19(11-33)	PQPQPFPPQLPYPQPPP	82-98	clon precursor α/β -gliadina PW1215 (<i>T.</i>
(0-30)		I QI QI I I QLI II QI I I	02-30	aestivum) P04726
			82-98	α/β-gliadina (T. urartu) Q41632
0	21(11-33)	POPOPFLPOLPYPOPOS	79-95	clon precursor α/β -gliadina PW8142 (T .
(0-30)		T QT QTT ET QET TT QT QO	75-55	aestivum) P04726
			79-95	α-gliadina (<i>T. aestivum</i>) Q41529
			79-95	precursor α/β-gliadina(<i>T. aestivum</i>) Q41546

Tabla 12. Homólogos de prolamina de A-gliadina 57-73 (con exclusión de alfa/beta-gliadinas)

Prolamina	Número de acceso	Secuencia	% Bioactividad*
Trigo: α-gliadina	A-gliadina (57-73)	QLQPFPQPQLPYPQPQS	100 (0)
Trigo: ω-gliadina	AAG17702 (141-157)	PQ F QSE	32 (6,4)
Cebada: C hordeína	Q40055 (166-182)	QPFPL F Q	2,3 (2,0)
Trigo: γ-gliadina	P21292 (96-112)	QTFPQ F QPQ	2,1 (4,2)
Centeno: secalina	Q43639 (335-351)	QPSPQ F Q	1,6 (1,4)
Cebada: γ-hordeína	P80198 (52-68)	QPFPQ HQHQFP	-1,0 (1,8)
Trigo: gluteninas de LMW	P16315 (67-83)	LQ QPIL FS Q Q	-0,9 (1,0)
Trigo: gluteninas de HMW	P08489 (718-734)	HGYYPTS SGQGQRP	6,4 (4,0)
Trigo: γ-gliadina	P04730 (120-136)	QCCQQL I QQSRYQ	0,7 (0,9)
Trigo: gluteninas de LMW	P10386 (183-199)	QCCQQL I QQSRYE	-0,7 (0,5)
Trigo: gluteninas de LMW	049958 (214-230)	QCCRQL I EQSRYD	-1,1 (0,3)

Prolamina	Número de acceso	Secuencia	% Bioactividad*
Cebada: B1 hordeína	P06470 (176-192)	QCCQQL I EQFRHE	1,8 (1,4)
Cebada: B hordeína	Q40026 (176-192)	QCCQQL ISEQFRHE	0,5 (0,9)

^{*} La bioactividad se expresa como 100x (puntos formadores de células con 25 μg/ml de péptido, más 8 μg/ml de tTG menos el blanco)/(puntos formadores de células con 25 μg/ml de A-gliadina 57-73, más 8 μg/ml de tTG menos el blanco) (media (SEM), n = 5).

Tabla 13. Detalles clínicos de individuos celíacos.

	HLA-DQ	Alelos HLA-DQA1	Alelos HLA-DQB1	Histología	Sin gluten	EMA en gluten
				duodenal		(con DSG)
C01	2, 6	102/6, 501	201, 602	AVS	1 año	+ (-)
C02	2, 2	501	201	AVS	1 año	+ (-)
C03	2, 5	101/4/5, 501	201, 501	AVP	1 año	+ (-)
C04	2, 5	101/4-5, 501	201, 501	AVS	7 años	+ (-)
C05	2, 2	201, 501	201, 202	AVS	4 meses	+ (ND)
C06	2, 2	201, 501	201, 202	AVS	2 años	+ (-)
C07	2, 8	301-3, 501	201, 302	AVS	1 año	+ (-)
C08	2, 8	301-3, 501	201, 302/8	AVS	11 años	ND (-)
C09	2, 8	301-3, 501	201, 302	AVS	29 años	+ (-)
C10	2, 8	201, 301-3	202, 302	IEL	1 año	+ (-)
C11	6, 8	102/6, 301-3	602/15, 302/8	IEL	9 meses	- (ND)
C12	8, 7	301-3, 505	302, 301/9-10	AVS	2 años	- (-)
C13	8, 8	301	302	AVS	1 año	+ (+)

AVS: atrofia vellosa subtotal, AVP: atrofia vellosa parcial, IEL: atrofia intra-epitelial incrementada, DSG dieta sin gluten, ND: no determinado.

10

Tabla 14. Respuestas ELISPOT para IFN-γ en HLA-DQ2+ celíaco (C01-6) y control sano (H01-10) a péptidos control (20 µg/ml) y gliadina (500 µg/ml) antes y después de la exposición a gluten (sfc/millón de PBMC menos respuesta a PBS solo)

Péptido	Sano, Día 0	Sano, Día 6	Celíaco, Día 0	Celíaco, Día 6
P04722 77-93	0 (-4 a 17)	0 (-5 a 9)	-2 (-3 a 0)	27 (0-100)*
P04722 77-93 + tTG	0 (-5 a 4)	0 (-9 a 3)	0 (-4 a 11)	141 (8 a 290)**
P04722 77-93 QE85	0 (-5 a 5)	0 (-3 a 4)	0 (-6 a 14)	133 (10 a 297)*
P02863 77-93	0 (-4 a 13)	2 (-3 a 5)	-2 (-3 a 2)	8 (-2 a 42)**

⁵ Los péptidos se preincuban con tTG durante 2 h a 37 °C. Nota, Q está desamidada en A-gliadina 57-73 por tTG.

Péptido	Sano, Día 0	Sano, Día 6	Celíaco, Día 0	Celíaco, Día 6
P02863 77-93 + tTG	-1 (-5 a 4)	-1 (-4 a 11)	1 (-4 a 6)	65 (8-164)**
P02863 77-93 QE85	0 (-4 a 13)	0 (-4 a 14)	-1 (-4 a 6)	42 (-2 a 176)*
Quimotripsina gliadina	2 (-5 a 20)	18 (0 a 185)*	20 (11 a 145)	92 (50 a 154)
Quimotripsina gliadina	0 (-1 a 28)	16 (-9 a 171)*	55 (29-248)	269 (206-384)**
+ tTG				
Quimotripsina	0 (-4 a 5)	1 (-4 a 11)	-2 (-5 a 5)	1 (-4 a 8)
Quimotripsina + tTG	0 (-5 a 8)	6 (0 a 29)	-2 (-3 a 11)	2 (-3 a 18)*
Pepsina gliadina	4 (-4 a 28)	29 (0 a 189)***	44 (10 a 221)	176 (54-265)**
Pepsina gliadina + tTG	2 (-3 a 80)	27 (-4 a 241)***	61 (8 a 172)	280 (207-406)**
Pepsina	0 (-4 a 10)	0 (-3 a 12)	0 (-2 a 3)	2 (-2 a 8)
Pepsina + tTG	0 (-3 a 8)	0 (-5 a 9)	1 (-6 a 3)	0 (-3 a 14)
PBS solo	4 (0 a 6)	2 (0 a 6)	4 (1 a 12)	4 (0 a 4)
PBS + tTG	3 (0 a 8)	3 (0 a 11)	4 (2 a 10)	4 (2 a 11)

Día 6 Día vs 0: *p <0,05 **P <0,02, ***P <0,01 mediante un prueba de rangos con signo apareados de una cola de Wilcoxon

5

Tabla 15. Efecto de desamidación por tTG de homólogos de la gliadina (0,5 mg/ml) y A-gliadina 57-73 sobre las respuestas ELISPOT para IFN-γ en individuos celíacos HLA-DQ2+ (C01-6) y de control sanos (H01-10) (relación de la mediana tTG:sin pretratamiento con tTG, intervalo)

10

Péptido	Sano, Día 6	Celíaco, Día 0	Celíaco, Día 6
Quimotripsina gliadina	0,94 (0,4-9-0)	2,1 (0,8-6,8)*	3,2 (1,8 -4,2)**
Pepsina gliadina	1,4 (0,5-1,4)	1,4 (0,8-4,0)*	1,9 (1,1 a 4,4)**
P04722 77-93 Q85			6,5 (2,3 a 12)**
P04722 77-93 E85			0,7 (0,6-1,1)
P02863 77-93 Q85			7,5 (3,9-19,9)**
P02863 77-93 E85			1,0 (0,8-1,2)

TTG> \sin tTG: *p <0,05 ** P <0,02,*** P <0,01 mediante un prueba de rangos con signo apareados de una cola de Wilcoxon

15

Tabla 16. Individuos sanos: respuestas ELISPOT para IFN- γ (> 10 sfc/millón de PBMC y > 4 sólo para tampón) a pools de péptidos de gliadina tratados con tTG el día 6 de la exposición al gluten (sfc/millón de PBMC) (en cursiva: respuesta también presente el día 0):

Grupo 1 – HLA-DQ2 (DQA1*0501-5, DQB1*0201)
5 Grupo 2 – HLA-DQ8 (DQA1*0301, DQB1*0302) y DQ2 ausente o "incompleto" (únicamente DQA1*0501-5 o DQB1*0201)

	Grup	o 1	<u>: -</u>			 ,					Grupo 2
Sujeto	H01	H02	H03	H04	H05	H06	H07	H08	H09	H10	H11
HLA-DQ	2, 6_	2, 7	2, 8	2, 5	2, 6	2,6	2, 6	2, 7	2, 5	2, 5	8, 8
Poal 1		ļ.			Τ.		• .				
2				Ϊ.		Ţ]			[.]	<u> </u>
3		Ţ		,		ļ	,				
4	<u> </u> :			,	<u>i </u>	<u> </u>		٠,	13		
5	<u>. </u>	17	·	<u> </u>	,	<u>i - </u>	<u> </u>		24	<u> </u>	<u> </u>
6	<u> </u>			·	<u>.</u>	ļ	١.	<u> </u>	31		·
7	-	<u> </u>		•	<u>. </u>	<u> </u>	<u> </u>	<u> </u>	١.	<u> - </u>	
8	<u> </u>	ļ			<u> </u>	<u> </u>				<u> </u>	-
9	,	, ,	٠	ļ. ·		<u>ļ. </u>	<u> </u>			<u> </u>	<u>.</u>
10	<u> </u>	<u> </u>	٠			ļ	, ,		ļ .	<u> </u>	
11	ļ	ļ	<u>. </u>		<u> </u>	ļ	<u> </u>	·	·	<u> </u>	<u> </u>
12					<u></u>					<u>. </u>	
13	<u> </u>	<u> </u>	ļ		ļ. <u>. </u>	ļ. <u>.</u>			,		·
14	ļ ·	·	١	ļi	<u> </u>	·		<u> </u>		<u> </u>	<u>.</u>
15	٠		· —	ļ ·	<u> </u>	ļ -		<u> </u>	<u> </u>	<u> </u>	
16		<u> </u>	·	<u> - </u>	<u> </u>	<u> </u>		<u> </u>	<u> </u>	<u>·</u>	:
17	<u>.:</u>	·	<u> </u>		ļ	ļ ·	٠	· ·	<u>.</u>	· .	<u>.</u>
18	ļ ·	· _	<u> • </u>	·	ļ.·	ļ ·	20			-	
19	ļ · _	ļ	<u> </u>	٠.	<u></u>	<u> -</u>	<u> </u>	<u>'</u> -		 	٠
20	1.	11	<u> </u>	-	ļ				·	<u> </u>	<u> </u>
21	·	11	<u> </u>		ļ <u></u>	<u> </u>	-		27	<u> </u>	•
22	<u> </u>		<u>. </u>		<u>ļ </u>	ļ·	ļ ·	<u></u>	<u>. </u>		<u>-</u>
23	ļ	43	<u> </u>		<u> </u>	ļ <i>.</i>	1.	: <u>-</u> -	٠	<u> </u>	<u></u>
24	·		<u></u>		· ·	ļ · -		- :	٠	 	-
25	ļ ·	11	 ·	ļ .	ļ	 	<u> • </u>	,	•		
26		<u> </u>	<u> </u>	٠.	<u> </u>	<u> </u>	<u> </u>	<u> </u>	-	ļ·	<u>-</u>
27	ļ. ·	·	<u> </u>	1	 	<u> </u>	ļ ·			 	<u></u>
28	 	·	·	<u> </u>	<u> </u>	· · · · · · · · · · · · · · · · · · ·		·	 : -	<u> </u>	
29	 '	 • • • •	<u>-</u>		<u> </u>	 			·	 	·
30	 '	. <u>.</u>	 	٠.	 	 		23	1		<u> </u>
31	 	<u> </u>			<u> </u>	 :	<u> :</u>	·	<u> </u>	<u> </u>	<u>-</u>
32	ļ	20	<u> </u>	1	ļ	· ·	•	٠			·
33	 	20	<u> </u>	ļ	ļ.,	╀┷──	<u>. </u>	<u></u>	<u> </u>		<u> </u>
35	+	11	 	·		 	1		<u> </u>		<u>.</u>
36	 		<u> </u>	<u> </u>	 		 .	<u> </u>	ļ	 	
37	+		<u> </u>	ļ	ļ ·	-	•	18	<u> </u>	 	<u>:</u>
38	14		·	 	 	 	 	12		 -	
39	1	-	<u> </u>	<u> </u>	<u> </u>	 	 	11	<u> </u>	†	
40	+	14	 	: <u> </u>	 ;	 	 	17	<u> </u>	1:	
41	 · · · ·	. 14	-	· · · · · · · · · · · · · · · · · · ·	<u>'</u>	 	-	. 17	 	 	
42	+:	†: —	 	i i	 	 		 	 	 	
72			···	<u>. </u>		<u> </u>		· -		<u> </u>	<u> </u>

							····	- 			
43	·		<u> </u>	·	<u>·</u>	·			11_	·	! <u> </u> -
44		14		<u> </u>	•		+	<u>.</u>			. <u> · </u>
45	·	11							·	·	
46					٠				<u> </u>		<u> </u>
47						<u>. </u>	l :				[<u>. </u>
48						<u></u>]	•				
49							<u>. </u>			_,	
50	, _	14			12			22		14	
51						<u>.</u>	,				
52		14				j . j		· -			
53		26				,					
54				,				12			
55			٠ .								
56			. –				· ·	-		-	
57		23		,			12				,
58	,	14				-				-	
59				-		-,			-	-	
60				,		-				Γ	
61		23		· ·		-		11	ĨI.		· .
62		, ===		· —			-			·: —	
63							-				
64		20					-				· · · · ·
65			· · · · ·	·		<u>.</u>	· -	· · ·			
66	,	14	·	<u> </u>			<u>.</u>		<u> </u>	·	
67	<u> </u>	11	-	,	<u> </u>	.	-			<u> </u>	
68	·	20	,			<u>.</u>	-	20	· -	: -	
69	·	20		<u>-</u>		,	- -		-	-	·
70		20	,	,				,	<u> </u>	<u> </u>	
71					<u> </u>		 	-			16
72	<u> </u>	11	·	·		- · · · · ·	 				
73	·	14			•	•			-: -	 	\
74	·			·	·	<u></u>					· · ·
75	•	<u> </u>	<u> </u>	<u> </u>	<u></u>	<u> </u>				 `	
76	-	14	<u> </u>	·	<u> </u>	·	·		·	<u> </u>	
77	·		٠.			ļ .	<u>-</u>	· -	<u> </u>	<u> </u>	
78	·	11	·		1,	<u>.</u>	<u> </u>		· .	<u> </u>	
79		11	٠	·	19	<u>:</u>	<u> </u>	·	•	•	! <u> · </u>
	· · -	<u>I</u> J	•		19		ļ <i>-</i>	•	٠	 	i i
80		·	<u> </u>	<u> </u>	•		ļ :	·	٠	 `	ļ · · · · · · · · · · · · · · · · · · ·
81		<u> </u>	·	ļ	<u> </u>	ļ	ļ ·		· -	·	[·
82		· -	- .	·	·	<u> </u>	<u>. </u>	· -		· -	
P04722 77-93							<u> </u>	·	- 	<u> </u>	<u> - </u>
		<u></u>	<u> </u>	·	ļ	-	·	<u> </u>	·	·	
P04722 77-93 E	-	· _	•	<u> </u>		·	·	<u>. </u>	· _	·	 -`
P04722 77-93 E	· -	.: , —	·	-: <u>-</u>	·	·	· -	·	! .	·	
P02863 77-93		· _	· —	· -	<u> </u>	<u> -</u>	<u></u>	I 1	<u> </u>	<u> </u>	<u> </u>
P02863 77-93 E	1 3 = -			1.		<u> </u>		<u> • </u>	<u> </u>	<u> </u>	
Gliadina+C	171	40	25	16	10		18	14		17	90
Quimotripsina	29	26	18			<u></u>		·	22		
Gliadina+Pepsina	241	151	29	24	48	<u>.</u>	16	45	:	19	35
Pepsina	! <u> </u>		Ĺ	l	<u> </u>	L _			L	L	l <u>L</u>

Tabla 17: Pools de péptidos de gliadina desamidados por tTG que muestran un aumento significativo en las respuestas de IFN-γ entre los días 0 y 6 de la exposición a gluten en individuos C01-6 celíacos HLA-DQ2 (respuesta Día 6-Día 0, y la relación de respuestas al pool desamidado por tTG y el mismo pool sin tratamiento con tTG)

į	•	

Pool	ELISpot para IFNg	tTG: sin tTG	Pool	ELISpot para IFNg	tTG: sin tTG
	(Mediana sfc/millones)	(Mediana)		(Mediana sfc/millones)	(Mediana)
9	59 ***	1,0	49	46 ***	1,4
10	116 **	1,7	50	50 ***	4,6
11	24 ***	2,5	51	40 ***	1,7
12	133 ***	1,1	52	30 ***	3,1
13	26 **	2,1	53	27 **	1,4
42	30 **	1,2	76	17 ***	1,1
43	32 ***	1,3	79	20 ***	0,9
44	24 ***	1,5	80	83 ***	1
45	10 ***	1,1	81	141 ***	1,1
46	12 ***	2,1	82	22 ***	1,5
48	17 ***	1,4	83	16 **	1,8

Día 6 vs Día 0 **P <0,02, ***P <0,01 mediante un prueba de rangos con signo apareados de una cola de Wilcoxon Wilcoxon

Tabla 18. Individuos celíacos: respuestas ELISPOT para IFN- γ > 10 sfc/millón de PBMC y > 4 sólo para tampón a pools de Pepset tratados con tTG el día 6 de la exposición al gluten (sfc/millón de PBMC) (en cursiva: respuesta también presente el día 0):

5 Grupo 1 - HLA-DQ2 (DQA1*0501-5, DQB1*0201/2), Grupo 2 - HLA-DQ2/8 (DQA1*0501-5, *0301, y DQB1*0201/2, *0302) y Grupo 3 - HLA-DQ8 (DQA1*0301, DQB1*0302) y DQ2 ausente o "incompleto" (únicamente DQA1*0501-5 o DQB1*0201/2)

	Grup	o 1:					Grup	0 2:	·	Grup	o 3:		
Sujeto	C01	C02	C03	C04	C05	C06	C07	C08	C09	C10	C11		C13
HLA-DQ	2,6	2, 2	2, 5	2,5	2, 2	2, 2	2, 8	2, 8	2, 8	2, 8	6,8	7, 8	8, 8
Pool 1						.	23					223	:
2	,											155	
3												41	· ·
4	11									22			
5													
6	18			21			20	17			١.	l	
7					;			353					
8_	11	64				14	20	480		,			13
9	93	127		92	25		32	460					18
10	175	491	58	200	48		84	787					
11	32	118		33			26	27		12	·		L
12	204	379	54	225	61		129	587		12			
13	93	142		- 29	18	:		60					11
14_	,	45		21			17			<u>. </u>	١		
15	18	30					- 38	43		<u> </u>	,		
16	١.							37		,	<u>. </u>		
_17										<u>. </u>			
18		-								,			
19	11									<u> </u>			
20	- 11	215					51	167		<u>.</u>			
21									11	·			
22		21				- `							
23		18		21					l	12			
24		15						10		ļ	·	L	
25		15								12	<u> </u>		
26	, .	18	· .				L	13		12	٠		ļ. <u>.</u> .
27	<u> </u>	15							<u> </u>	<u>. </u>	,		
28	<u> </u>	<u> </u>		ļ					igsquare	<u> </u>			11
29	<u> </u>		ļ				11						
30	- 11						11		1	٠	·		ļ
131		70			ļ <u>.</u>					•		ļ	<u> </u>
32	ļ	18				<u> </u>	20		.				L
33	- 11			10			14	<u> </u>	11	-	40	<u> </u>	11
34								ļ	11		<u>. </u>	ļ	
35	<u>. </u>		ļ	<u> </u>	<u> </u>								
36		ļ		<u> </u>		<u> </u>					<u> </u>		
37	<u>.</u>			23		14			<u> </u>	ļ	·		
38		24		19			20		\sqcup	·			<u> </u>
39		49		13	ļ	 		ļ <u>.</u>	11			<u> </u>	<u> </u>
40					<u> </u>]	14				<u> . </u>	<u> </u>	

41		21				Τ	ì		<u> </u>	· · · · · · · · · · · · · · · · · · ·	r			_
42	39	42		44	21	 -		11	63		12	1	<u> </u>	
43	50	91	13	75	14			190	113		12	' : 	21	
44	32	97	17	96	13	·· - ·		87	107			+	21	
45		21	10	100	11			38	110		ļ.	† .	 	-
46	14	55	10	.102	18	 	ł	63	163		· ·		1	
47	14	58		38		-	ł	223	97		·	·	31	
48	21	106		60	14	 	1	144	353		<u></u>	 • -	57	
. 49	75	170	17	142	30		1	202	293			+:	39	
50	57	245	23	[40	61	27		248	143			 	32	I
51	68	106	10	127				220	267		'	+	29	
52	43	121		79	13	16	l	175	180		<u> </u>	- 	2.5	
53	36	94	 	92	29			69	53		<u> </u>	+		
54	36	- 7 -	<u> </u>	35	.11			166	27		<u> </u>		19	1:
55			¦					100	47		ŀ	 	12	1.
56	29							<u> </u>		11		+		
57	23	36	<u> </u>					20	13	11		+		_
58					 -			20	- 0		<u>, </u>	· ·		
59			10			_	-		53		-	+		_
60	·	18	10	15				11	53		- 	+		
. 61	•	10		1.5				20	33		·	 	 -	
62	14	18		13				60			-	┼		
63	···· ···-··		10		-	14		. 00			28	+-		
64	1	15	10	<u> </u>	<u> </u>	14					18			
65	٠	36		2.5	23			35	27		10	111		
66		50		31	11	10		17	41					
67				17	11	1 10		17			· · · - · · ·	 	 -	
68			19	127		14		17				 • 		
69	· · · · · · · · · · · · · · · · · · ·	15	17	10		14		20	20		<u> </u>	+		
70		12	31	10	13	10		20	20			<u>. </u>		
71	11	21	13		13	10		14			· ·	18		<u> </u>
72		21	13			16		14			<u> </u>			
73				13	-	16		11				+-	· ··· -	
		270		13	ļ. <u> </u>	14		11	447			+-		
74		239			! ! .	· · · · · · · · · · · · · · · · · · ·		254	447		<u></u>	 :		
75	18	21	19	15							•	· · ·	10	
76		21	19	13					. 10			·	12	
77	,	88	1.7	£0.	! i '' '	10			13_			 		
78	7	18 85	17	69	20	13		44	42		· -	+		
79	132	133	22	240	29	12		244	43		10	+-	27	
80			33	240	39	12		208	467		12		70	
81	171	318 300	113	367	104	12		211	530		-	١.	74	
82	18 14	164	17	125 31	32	16		241	723		16	+ -		
P04722 77-93			75		21	<u> </u>		163	277		15	 		
P04722 77-93 E	211	291	75 108	281 221	66 64	1.0		78	740		,	1.		
	164	297				10		84	653			 		
P04722 77-93 E	161	182	98	256	73	16		63	500			 ` 		
P02863 77-93	139	164	35	94	36			29	603		<u> </u>	ļ.	<u> </u>	
P02863 77-93 E	46	176	19	88	41	200		23	520	4 144		1	40-	
Gliadina+C	214	273	265	360	384_	206		278	543	17	-	25	527	71
Quimotripsina	300	-316	260	100	400	18						1		
Gliadina+Pepsina	239	315	269	406	207	292		357	557		42	89	335	83
Pepsina						14							l	

Tabla 19: Péptidos desamidados con bioactividad media > 10% de P04722 E85 (20 μg/ml) en individuos celíacos C01-5 HLA-DQ2

Clasificación	Número	Secuencia	Media	Clasificació	n Número	Secuencia	Media
			(SEM)				(SEM)
· -	89	PQLPYPQPQLPYPQPQLPYP	94 (18)	37	413	SKQ?QQ?FPQPQQPQQSIPQ	15 (4)
*2	9t	PQPFPPQLFYPQPQLPYPQP	89 (12)	38	380	QPQQPQQ PFPQ PQQFQLPFP	18 (6)
*3	74	MQLQPF7QFQLFY7QFQLPY	88 (14)	39	618	P QQSFSYQQQPFFQQPYPQQ	18 (7)
*4	90	PQLPYPQPQLPYPQPQPfRP	87 (16)	•40	78	LQLQPFPRPQLPYFQPQPFR	17 (8)
*5	76	LQLQFFPQFQLFYPQPQPFR	85 (15)	41	390	QQTYPQRPQQPYPQTÇQPQQ	17 (9)
6	626	PQQPQQPQQPFPQPQQPFPW	72 (23)	42	346	QQTFPQPQQTFPHQPQQQFP	16 (10)
7	627	QPFPQPQQPFPWQPQQPFPQ	66 (30)	43	409	QPQQPFPQLQQPQQPLPQPQ	15 (2)
* 8	631	F?QQPQQPF?QPQLPFPQQS	61 (12)	44	382	QQPFPQQPQQPFFQTQQFQQ	15 (6)
9	636	PQQPQQPFIQPQQPIPVQPQ	51 (10)	45	629	PFPQTQQSFPLQPQQPFPQQ	16 (5)
*10	73	PÓP CALENDA POR CALLA POR	49 (11)	46	643	PLQPQQPFPQQPQQFFPQQP	15 (6)
11	412	SQQPQQPFPQPQQQFPQPQQ	34 (19)	47	389	QQPFPQTQQPQQPFPQCPQQ	15 (6)
12	342	QQPQQPFPQPQQPQLPFPQQ	34 (11)	48	350	QQIFPQPQQTFPHQPQQAFP	15 (6)
*12	68	LQLQPFPQPQLPYLQPQPFR	33 (10)	49	65	PFPSQQPYPQPQPFPQPQPF	15 (5)
↓ 1†	бв	LQLQPFPQPQLPYSQPQPFR	32 (7)	50	349	QQIFPQPQQTFPHQPQQQFP	15 (9)
*15	. 96	PQPFPPQLPYPQPQ5FPPQQ	28 (6)	51	610	PWQQQPLPPQQSR\$QQPPFS	15 (11)
16	393	QLPF PQQ PQQPFFQPQQPQQ	27 (8)	*57	81	PQPQPFPPQLPYPQTQPFPP	15 (S)
17	355	QAFPQPQQTFPHQPQQQFPQ	27(15)	*53	75	MQLQPFPQPQPFPPQLPYPQ	14 (5)
*18	67	LQLQPFPQPQ1PYSQPQQFR	26 (5)	54	358	QQFPQPQQPQQPFIQQPQQQ	14 (7)
19	335	QQQQPFPQPQQPQQPFPQPQ	25 (11)	*55	82	PQPQPFPQPQPFFPQLPYPQ	Î4 (3)
*20	95	POPFLPQLPYPQPQSFPPQQ	24 (6)	*56	80	LQLQPFPQPQPFPPQLPY?Q	14 (4)
31	396	ŢŲŲŖŲŲŖŖŲŲŖŲŲŖŖŖŲŢŲ	23 (9)	57	624	FTQPQQFTPIQPQQPFPQQP	14 (6)
22	609	SC:SGLERPWQQQPLPPQQS	23 (18)	58	407	QPQQPFPQSQQPQQPFfQPQ	14 (5)
23	385	QQ₽ſ₽Q₽QQſQIJŦŦQQſQQ	23 (7)	59	337	QQQPFFQFQQPFCQQFQRTI	13 (4)
24	375	PQQPFPQPQQPQQPFFQPQQ	23 (16)	60	634	PQQLQQPFPLQPQQPFPQQP	13 (3)
25	406	QPQQPFPQLQQPQQPFFQPQ	22 (B)	61	388	QQPYPQQPQQPFIQTQQPQQ	13 (3)
26	625	PIQPQQPFPCQPQQPQQPFP	22 (9)	62	641	FP EL QQP E PQQPQQPFPLQP	- 13 (7)
27	378	ϘϼϠϙϥϯϙϙϙϥϥϙϙϝϥϙϙϙ	22 (10)	63	399	QQPFPQTQQPQQPFFQLQQP	13 (5)
28	371	P QQQFQ PQ QPPPQQ PQQTY	22 (10)	64	387	QQTFPQQPQLPFPQQPQQPF	13 (4)
29	642	PQQPQQPF#LQPQQPFPQQP	20,(8)	65	628	PFPWQPQQPFPQTQQSFPLQ	12 (4)
30	635	PLQPQQPFPQQPQQTFFQPQ	19 (5)	*6 6	23	PQPFPPQLPYSQPQPFRPQQ	12 (3)
*3!	93	PQPFPPQLPYPQPQPFRPQQ	19 (5)	67	408	QPQQPF PQ SKQ PQQPPIQP Q	12 (5)
32	377	рQQQFPQPQQPQQPFPQQPQ	19 (9)	*6B	77	LQLQPFPQPQPFPPQLPYPQ	11 (4)
33	411	LQQPQQPF#QFQQQLPQPQQ	19 (4)	69	370	Ρ<u>QQQ</u>FLQ Ρ <u>Q</u> QPF P QQPQQPY	11 (5)
34	415	ZQQPQQPPPQPQQPQQ\$FPQ	(5)	*70	19	LQLQPFPQPQPFLPQLPYPQ	11 (5)
*35	94	PQPFPPQLPYPQPTPFSPQQ	18 (3)	71	379	QQPQQQFPQPQQPQQPFPQP	11 (5)
36	329	PEGQVQWPQQQPFIQPQQPF	18 (4)	72	397	гоогоография	11 (5)

*Indica un homólogo de A-gliadina 57-73 con la secuencia central PQLP(Y/F)

Tabla 20: Péptidos > 10% tan bioactivos como P04722 QE65 agrupados por estructura

Clasificación	Péptido número	Secuencia	Respuesta ELISPO
	(pool)		para IFN-γ
	subtipo de gliadina		comparada con
			P04722 77-93
			QE85: Media
			(SEM)
. <u></u>	Gru	po 1: Homólogos de A-gliadina 57-73	
	P04722 77-93	QLQPFPQPQLPYPQPQP	
1	89 (12) α	PQLYLPYP	94 (18)
2	91 (12) α	PQPFPPQLY	89 (12)
3	74 (10) α	MLPY	88 (14)
4	90 (12) α	PQLYPFRP	87 (16)
5	76 (10) α	LPFR	85 (15)
- 8	631 (81) ω	FPQQPQFQS	61 (12)
10	73 (10) α	LLPY	49 (11)
13	68 (9) a	LPFR	33 (10)
I4	66 (9) α	LSPFR	32 (7)
18	67 (9) a	LQFR	26 (6)
20	95 (13) a	PQPFLFPPQQ	24 (6)
31	93 (12) α	PQPFPPFRPQQ	19 (5)
35	94 (12) α	PQPFPPPFSPQQ	18 (3)
40	78 (10) a	LPFR	. 17 (8)
52	81 (11) a	PQPQPFPTPFPP	15 (5)
-53	75 (10) α	MQLQPFPQPQPF	14 (5)
55	82 (11) α	PQPQPFPQPQPF	14 (3)
56	80 (10) a	LQLQPFPQPQPF	14 (4)
66	88 (11) α	PQPFPSPFRPQQ	12 (3)
68	77 (10) α	LQLQPFPQPQPFP	11 (4)
70	79 (10) α	LQLQPFPQPQPFL	11 (5)
		rupo 2: Homólogos del péptido 626	(-)
		QQPEPQPQQPFP	
6	626(80) ω	PQQPQQPW	72 (23)
7	627(80) m	WQPQQPFPQ	66 (30)
9	636(81) o	PQQPIVQPQ	51 (10)
11	412(53) y	SQQPQQQ	34 (19)
33	411(53) y	LQQPQPQQ	19 (4)
36	329(42) γ	PSGQVQWPQ	18 (4)
41	390(50) y	QQTYPQRPQQ	17 (9)
59	337(43) y	QCQQPQRTI	13 (4)
61	388(50) y	QQPYPQQPTQQ	13 (3)
01		Prupo 3: Homólogos del péptido 355	15 (5)
		FPQPQQTFPHQPQQQFP	
17	355(46) y	QAQ	27 (15)
42	348(45) γ	QQT	16 (10)
48	350(45) γ	QQIA	15 (8)
50	349(45) y	QQI	15 (9)
		rupo 4: Homólogos del péptido 396	·
		QQPFPQQPQQPFP	
21	396(51) γ	TQQPQTQ	23 (9)
21 27	396(51) γ 378(49) γ	QQPQPQQ	22 (10)
27	378(49) γ	QQP	22 (10)
27 28	378(49) γ 371(48) γ 642(82) ω	QQP	22 (10) 22 (10)
27 28 29	378(49) γ 371(48) γ 642(82) ω 635(81) ω	QQP	22 (10) 22 (10) 20 (8)
27 28 29 30 44	378(49) γ 371(48) γ 642(82) ω	QQP	22 (10) 22 (10) 20 (8) 19 (5) 16 (6)
27 28 29 30 44 45	378(49) γ 371(48) γ 642(82) ω 635(81) ω 382(49) γ 629(81) ω	QQP	22 (10) 22 (10) 20 (8) 19 (5) 16 (6) 16 (5)
27 28 29 30 44 45 46	378(49) γ 371(48) γ 642(82) ω 635(81) ω 382(49) γ 629(81) ω 643(82) ω	QQP	22 (10) 22 (10) 20 (8) 19 (5) 16 (6) 16 (5) 16 (6)
27 28 29 30 44 45	378(49) γ 371(48) γ 642(82) ω 635(81) ω 382(49) γ 629(81) ω	QQP	22 (10) 22 (10) 20 (8) 19 (5) 16 (6) 16 (5)

343(44) γ 393(51) γ 335(43) γ	QQPFPQPQQPQLPFPQ QQPQ QLPFPQQPQ	34 (11)
393(51) γ	QQPQ	34 (11)
	QLPFPQQP	
335(43) γ		27 (8)
	QQPQ	25 (11)
385(50) y	QPQQ	23 (7)
375(48) γ	PQPQQ	23 (10)
406(52) γ	QPQPQ	22 (8)
377(49) y	PQQQPQ	19 (9)
415(53) γ		18 (5)
413(53) y		18 (4)
380(49) y	QPQQP	18 (6)
409(53) γ	QPQLPQ	16(2)
389(50) γ		16 (6)
407(52) γ	. QPQPQ	14 (5)
399(51) γ	QLQQP	13 (5)
408(52) γ	QPPQ	12 (5)
379(49) γ		11 (5)
397(51) γ		11 (3)
	Grupo 6: Péptido 625	
	PIQPQQPFPQQP	
625(80) w	QQPQQPFP	22 (9)
624(80) ω	FTQPQQPT	14 (6)
628(80) ω	PFWTQQSFPLQ	12 (4)
	Grupo 7: Péptido 618	
	406(52) γ 377(49) γ 415(53) γ 413(53) γ 413(53) γ 380(49) γ 409(53) γ 389(50) γ 407(52) γ 399(51) γ 408(52) γ 379(49) γ 397(51) γ 625(80) ω 624(80) ω	406(52) γ QP L Q PQ 377(49) γ P Q QPQ QPQ 415(53) γ SQQP QS QS QS 413(53) γ SKQP QS QS QS 380(49) γ QPQQP QP QPQ QPQ 409(53) γ QP L QQL PQ 389(50) γ T QP S QPQ PQ 399(51) γ T Q LQQP QPQ <

Tabla 21. Bioactividad de pools de péptidos 1-3 individuales desamidados con tTG en el individuo C12

Vúmero	Secuencia	%	Número	Secuencia	%
8	AVRWPVPQLOPONPSOOOPQ	100	23	<u>LOPONPSOQOPO</u> EQVPLMQQ	20
		85			18
5	MYRYTYPQ		14	EQVPLVQQ	
		82			13
6	AVRVSVPQ		15	EQVPLVQQ	
		77			18
3	MVRVPVPQH		17	KQVPLVQQ	
		67			1.
1	AVRFPVPQL		16	DEQVPLVQQ	
		59			8
2	MVRVPVPQ		13	EQVPLVQQ	
		49			5
9	AVRVPVPQL.		22	KEQVPLVQQ	
		49			3
7	AVRVPVPQ		18	EQVPLVQE	
		33			3
10	MVRVPVPQL.		19	LEQVPLVQE	
4	MVRVPMPQD	15	20	PPGQVPLVQQ	0
12	AVRVPVPQK	8	21	PPRQVPLVQQ	0
11	AVRVPVPQP	0			

Tabla 22: Agrupaciones filogenéticas de gliadinas del trigo (Triticum aestivum)

	Alfa/beta-gliadinas (n=61)		
A1a1	AAA96525, EEWTA, P02863	A1b13	B22364, P04271
A1a2	CAB76963	A2a1	AAB23109, CAA35238, P18573, S10015
A1a3	AAA96276	A2a2	CAB76964
A1a4	CAA26384, S07923	A2b1	P04724, T06500, AAA348282
A1a5	AAA34280	A2b2	D22364
A1a6	P04728	A2b3	P04722, T06498, AAA34276
A1b1	CAB76962	A2b4	C22364
A1b2	CAB76961	A2b5	CAB76956
A1b3	BAA12318	A3a1	AAA34277, CAA26383, P04726, S07361
A1b4	CAB76960	A3a2	1307187B, A27319, S13333
A1b5	CAB76958	A3b1	AAA96522
A1b6	CAB76959	A3b2i	AAA34279, P04727,
A1b7	CAB76955	A3b2ii	CAA26385, S07924
A1b8	AAA96524	A3b3	A22364, AAA34278, AAB23108, C61218, P04725
A1b9	CAA10257	A4a	P04723, AAA34283, T06504
A1b10	AAA96523, T06282	A4b	E22364
A1b11	AAA17741, S52124	A4c	CAB76957
A1b12	AAA34281	A4d	CAB76954
	Gamma-gliadinas (n=47)		Gamma-gliadinas
GI1a	P08079, AAA34288, PS0094, CAC11079, AAD30556, CAC11057, CAC11065, CAC11056	GI5a	AAK84774, AAK84772
Gl1b	CAC11089, CAC11064, CAC11080, CAC11078, AAD30440	GI5b	AAK84773
GI1c	CAC11087	GI5c	AAK84776
GI1d	CAC11088	Gl6a	JA0153, P21292, AAA34272, 1507333A
Glle	CAC11055	Gl6b	AAK84777

	Alfa/beta-gliadinas (n=61)		
Gl2a	JS0402, P08453, AAA34289	Gl6c	1802407A, AAK84775, AAK84780
Gl2b	AAF42989, AAK84779, AAK84779	GI7	AAB31090
Gl3a	AAK84778	Glla	AAA34287, P04730, S07398
GI3b	CAB75404	Gllb	1209306A
GI3c	BAA11251	GIII1a	P04729
GI4	EEWTG, P06659, AAA34274	GIII1b	AAA34286
	Omega-gliadinas (n=3)		
O1a	AAG17702		
O1b	P02865		
O1c	A59156		

Tabla 23. Péptidos sintéticos que abarcan todos los 12-mer de gliadina del trigo conocidos

Proteina		Secuencia	Número		Posición	Secuencia	Número
POOL		PQ LQPQ NPSQ QLPQ	1	POOL 43		L QQPL SQQP QQTF	331
		TO LOPO NPSQ QQPQ				HQPF SQQP QQTF	332
		PQ LQPQ NPSQ QHPQ				HQPF SQQP QQIF	333
		IPQ LQPQ DPSQ QQPQ				PQQP FSQQ PQQI	334
		TO LOPO NPSQ QOPO				PQQP QQPF PQPQ	335
		PQ LQPQ NPSQ QQPQ				QQPF YQQP QHTF	336
		PQ LQPQ NPSQ QQPQ				QQPF CQQP QRTI	337
A1B10	20 AVRW P	VPQ LQPQ NPSQ QQPQ				QQPF CEQP QRTI	338
POOL	2			POOL 44			
		PQ LQLQ NPSQ QQPQ				QQTF PQPQ QTFP	339
		PQ LQLQ NPSQ QQPQ				QQTF PQPQ QTFP	340
		PQ PQPQ NPSQ PQPQ				QQIF PQPQ QTFP	341
		PQ LQPK NPSQ QQPQ				QQIF PQPQ QTFP	342
		SQ QLPQ EQVP LVQQ				QPQQ PQLP FPQQ	343
	` ` `	SQ QQPQ EQVP LVQQ				QHTF PQPQ QTCP	344
		SQ QHPQ EQVP LVQQ				QRTI PQPH QTFH	345
		SQ QQPQ EQVP LVQQ	10			QQTI PQPH QTFH	346
POOL		O O O DO POVOLIVOO	17	POOL 45		OWELDONI OTEM	2.47
		SQ QQPQ KQVP LVQQ				QKTI PQPH QTFH	347
		SQ QQPQ EQVP LVQII				QTFP HQPQ QQFP	348 349
		SQ QQPQ EQVP LVQE SQ PQPQ GQVP LVQQ				QTFP HQPQ QQFP QTFP HQPQ QAFP	350
		SQ PQPQ RQVP £VQQ				OTFH HOPO OTFP	351
		SQ QQPQ EQVF LVQQ				QAFP QPQQ TFPH	352
		Q QQPQ EQVP LMQQ				QTFP QPQQ TYPH	353
		VP LVQQ QQFL GQQQ				QTFP QPEQ TYPH	354
POOL		11 1144 461 211464	2-1	POOL 46		(0,111 0,100,1111)	304
		VP LYQQ QQFL GQQQ	25			TFPH QPQQ QFPQ	355
		VP LVQQ QQFL GQQQ				QTCP HQPQ QQFP	356
		VP LVQQ QQFL GQQQ				TYPH QPQQ QFPQ	357
		VP LVQQ QQFIP GQQQ				TYPH QPQQ QFPQ	358
		VP LVQQ QQFP GQQQ				QQFP QPQQ PQQQ	359
		VP LVQE QQFQ GQQQ				QQVP QPQQ PQQP	360
		VP LVQQ QQFP GQQQ				QQFS QPQQ PQQQ	361
		VP LVQQ QQFP GQQQ				QQFP QPQQ PQQP	362
POOL				POOL 47			
A4A	36 QQPQ EQ	VP LMQQ QQQF PGQQ	33	GI6A 73	QTYP HQPO	QQFP QTQQ PQQP	363
i Al A	44 LVQQ QQ	FL GQQQ PFPP QQPY	34	GHA 81	QQFP QPQ0) PQQQ FLQP QQPF	364
		FL GQQQ SFPP QQPY	35	GI2A 81	QQVP QPQ(Q PQQP FLQP QQPF	365
A1B12	44 LVQQ QQ	OPL GQQQ PFPP QQPY	36	GBA 81	QQ FS QPQ0	Q PQQQ FIQP QQPF	366
		FP GQQQ PFPP QQPY				PQQQ FLQP RQPF	367
		FQ GQQQ PIPP QQPY				QQQP FPQQ PQQQ	368
		FP GQQQ QFPP QQPY				PQQP FPQP QQTF	369
		QF PGQQ EQFP PQQP	40			, GÓSE ÞÁÓÐ ÓÓBA	370
POOL		OT BOOK FUEL WORK	4.	POOL 48		AARE BOOD OOMY	201
		QF PGQQ ERFP PQQP				QQPF PQQP QQTY	371
		PP QQPY PQPQ PFPS				QQPQ QTYP QRPQ	372
		PP QQPY PQPQ FPSQ				ROPF POOP OOPO	373 374
		PP QQPY PQPQ PFPS PP QQPY PQQQ PFPS				PÓQQ FPQP QÓPQ	374
		PP QQPY PQPQ PFPS				QQPQ QPFP QPQQ QQTF PQQP QLPF	376
344	33 GQQQ Q1	PP QQPY PHQQ PFPS		POOL 49		gon roor year	370
AdD	SS GOOR RE	PP QQPY PHQQ PFPS				QQPQ QPFP QQPQ	377
POOL		1 441 1 11144 1114	10			P QQPQ QQFP QPQQ	378
		PO PFPS QLPY LQLO	49			P OPQQ PQQP FPQP	379
		PQ FPSQ LPYL QLQP				P FPQP QQPQ LPFP	380
		PQ PFPS QQPY LQLQ				P QQPY PQQP QQPF	381
		QQ PFPS QQPY MQLQ				P QQPF PQTQ QPQQ	382
		QQ PFPS QQPY PQPQ				P QQTY PQRP QQPF	383
		Y LQLQ PFPQ PQLP				QQPY PQQP QQPF	384
		Y LQLQ PFPQ PQLP		POOL 50			
		PY LQLQ PFSQ PQLP				Q QPQL PFPQ QPQQ	385
POOL						Q QAQL PFPQ QPQQ	386
		PY LQLQ PFLQ PQLP	57			P QLPF PQQP QQPF	387
LT X TO 1 4		PY LQLQ PFLQ PQPF				QPQPFPQTQQPQQ	388
	02 LLL9 661						
AIB12		Y LQLQ PFPQ PQLP	59	GI2A 134	QQPF PQT	Q QI'QQ PFPQ QPQQ	389
A1B12 A2A1	69 PFPS QQE	PY LQLQ PFPQ PQLP PY MQLQ PFPQ PQLP				'Q QI'QQ PFPQ QPQQ RP QQPF PQTQ QPQQ	389 390

A2B4 69 PFPS QQPY LQLQ PFPQ PQPF			
	62	GISC 134 QAQL PFPQ QPQQ PLPQ PQQP	392
A2B5 69 PFPS QQPY LQLQ PFPR PQLP		POOL 51	
A4A 69 PFPS QQPY PQPQ PFPP QLPY	64	GI6A 134 QLPF PQQP QQPF PQPQ QPQQ	393
POOL 9 A4B 69 PFPS QQPY PQPQ PFPQ PQPF	65	GI2A 142 QPQQ PFPQ QPQQ PFPQ TQQP	394 395
Alai 77 LQLQ PFPQ PQLP YSQP QPFR	66	GI2A 150 QPQQ PFPQ TQQP QQPF PQQP GI2A 158 TQQP QQPF PQQP QQPF PQTQ	396
A1A4 77 LQLQ PFPQ PQLP YSQP QQFR		GI2A, 166 PQQP QQPF PQTQ QPQQ PFPQ	397
A1BI 77 LQLQ PFPQ PQLP YLQP QPFR		GIIA 170 QQPF PQTQ QPQQ LFPQ SQQP	398
AIB4 77 LQLQ FFPQ PQLS YSQP QPFR	69	Gi2A 170 QQPF PQTQ QPQQ PFPQ LQQP	399
A 1B to 77 LQLQ PFSQ PQLP YSQP QPFR	70	GI3A 170 QQPF PQTQ QPQQ PFPQ SQQP	400
A I B I 1 77 LQLQ PFLQ PQLP YSQP QPFR		POOL 52	
A I B I 2 77 I Q L Q PFL Q P Q P F P P Q L P Y S Q	72	G14 170 QQPF PQTQ QPQQ PFPQ SKQP	401
POOL 10	71	GISA 170 QQPF PQPQ QPQQ PFPQ LQQP	402
A2A1 77 LQLQ PFPQ PQLP YPQP QLPY A2B1 77 MQLQ PFPQ PQLP YPQP QLPY		GISC 170 QQPL PQPQ QPQQ PFPQ SQQP	403
A2B2 77 MQLQ PFPQ PQPF PPQL PYPQ		GIGA 170 QQPF PQPQ QPQQ PFPQ SQQF GI1A 178 QPQQ LFPQ SQQP QQQF SQPQ	404
A2B3 77 LQLQ PFPQ PQLP YPQP QPFR		GIZA_178 QPQQ PFPQ LQQP QQPF PQPQ	405 406
A2B4 77 LQLQ PFPQ PQPF PPQL PYPQ	77	GIJA 178 QPQQ PFPQ SQQP QQPF PQPQ	407
A2B5 77 LQLQ PFPR PQLP YPQP QPFR	78	GI4 178 QPQQ PFPQ SKQP QQPF PQPQ	408
A3B! 77 LQLQ PFPQ PQPF LPQL PYPQ		POOL 53	
A3B3 77 LQLQ PFPQ PQPF PPQL PYPQ	80	GI5A 178 QPQQ PFPQ LQQP QQPL PQPQ	409
POOL II		GIIA 186 SQQP QQQF SQPQ QQFP QPQQ	410
A4A 77 PQPQ PFPP QLPY PQTQ PFPP		GIZA 186 LQQF QQPF PQPQ QQLP QPQQ	411
A4B 77 PQPQ PFPQ PQPF PPQL PYPQ		GI3A 186 SQQP QQPF PQPQ QQFP QPQQ	412
AIA1 85 PQLP YSQF QPFR PQQP YPQP		GI4 186 SKQP QQPF PQPQ QPQQ SFPQ	413
AIA6 85 PQLP YSQP QQFR PQQP YPQP AIB1 85 PQLP YLQP QPFR PQQP YPQP		GI5A 186 LQQP QQPL PQPQ QPQQ PFPQ GI5C 186 SQQP QQPF PQPQ QPQQ SFPQ	414 415
AIB4 85 PQLS YSQP QPFR PQQP YPQP		GIIA 194 SOPO OOFF OPOO POOS FPOO	416
A1B6 85 PQLS YSQP QPFR PQQL YPQP		POOL 54	110
A1B12 85 POPF PPQL PYSQ PQPF RPQQ		GI2A 194 POPO OOLP OPOO POOS FPOO	417
POOL 12		GI3A 194 PQPQ QQFP QPQQ PQQS FPQQ	418
AZA 1 85 PQLP YPQP QLPY PQPQ LPYP		GI4 194 PQPQ QPQQ SFPQ QQPS LIQQ	419
A2B1 85 PQLP YPQP QLPY PQPQ PFRP		GI5A 194 PQPQ QPQQ PFPQ QQQP LIQP	420
A2B2 85 PQPF PPQL PYPQ PQLP YPQP		GI5C 194 PQPQ QPQQ SFPQ QQQP LIQP	421
A2B3 85 PQLP YPQP QPFR PQQP YPQP		GII A 202 QPQQ PQQS FPQQ QPPF IQPS	422
A2B4 85 PQPF PPQL PYPQ PQPF RPQQ A3A1 85 PQPF PPQL PYPQ PPPF SPQQ		GI2A 202 QPQQ PQQS FPQQ QRPF IQPS	423 424
POOL 13	94	GI3A 202 QPQQ PQQS FPQQ QPSL IQQS POOL 55	424
A3B1 85 POPF LPQL PYPO POSF PPQQ	95	GUA 210 FPQQ QPPF IQPS LQQQ VNPC	425
A3B3 85 POPF PPQL PYPQ PQSF PPQQ		GI2A 210 FPQQ QRPF IQPS LQQQ LNPC	426
A4A 85 QLPY PQTQ PFPP QQPY PQPQ		GI3A 210 FPQQ QPSL IQQS LQQQ LNPC	427
A4B 85 PQPF PPQL PYPQ TQPF PPQQ	98	GI5A 210 FPQQ QQPL IQPY LQQQ MNPC	428
A2A1 106 LPYP QPQP FRPQ QPYP QSQP		GIGA 210 FPQQ QQPA IQSF LQQQ MNPC	429
A2B1 106 LPYP QPQP FRPQ QSYP QPQP	100	GIIA 218 IQPS LQQQ VNPC KNFL LQQC	
A3A1 106 LPYP QPPP FSPQ QPYP QPQP			430
	101	GI2A 218 IQPS LQQQ LNPC KNIL LQQS	431
A3B1 106 LPQL PYPQ PQSF PPQQ PYPQ	101	GI2A 218 IQFS LQQQ LNPC KNIL LQQS GI3A 218 IQQS LQQQ LNPC KNFL LQQC	
A3B1 106 LPQL PYPQ PQSF PPQQ PYPQ POOL 14	101 102	GI2A 218 IQPS LQQQ LNPC KNIL LQQS GI3A 218 IQQS LQQQ LNPC KNFL LQQC POOL 56	431 432
A3B1 106 LPQL PYPQ PQSF PPQQ PYPQ	101 102 103	GI2A 218 IQPS LQQQ LNPC KNIL LQQS GI3A 218 IQQS LQQQ LNPC KNFL LQQC POOL 56 GI5A 218 IQPY LQQQ MNPC KNYL LQQC	431 432 433
A3B1 106 LPQL PYPQ PQSF PPQQ PYPQ POOL 14 A4A 106 PPQL PYPQ TQPF PPQQ PYPQ	101 102 103 104	GI2A 218 IQPS LQQQ LNPC KNIL LQQS GI3A 218 IQQS LQQQ LNPC KNFL LQQC POOL 56	431 432
A3B1 106 LPQL PYPQ PQSF PPQQ PYPQ POOL 14 A4A 106 PPQL PYPQ TQPF PPQQ PYPQ A1A1 112 QPFR PQQP YPQP QPQY SQPQ	101 102 103 104 105 106	GI2A 218 IQPS LQQQ LNPC KNIL LQQS GI3A 218 IQQS LQQQ LNPC KNFL LQQC POOL 56 GI5A 218 IQPY LQQQ MNPC KNYL LQQC GI6A 218 IQSF LQQQ MNPC KNFL LQQC GI1A 226 VNPC KNFL LQQC KPVS LVSS GI2A 226 LNPC KNIL LQQS KPAS LVSS	431 432 433 434
A3B1 106 LPQL PYPQ PQSF PPQQ PYPQ POOL 14 A4A 106 PPQL PYPQ TQPF PPQQ PYPQ A1A1 112 QPFR PQQP YPQP QPQY SQPQ A1B6 112 QPFR PQQL YPQP QPQY SQPQ A2A1 112 QPFR PQQP YPQS QPQY SQPQ A2B1 112 QPFR PQQP YPQS QPQY SQPQ A2B1 112 QPFR PQQS YPQP QPQY SQPQ	101 102 103 104 105 106 107	GI2A 218 IQPS LQQQ LNPC KNIL LQQS GI3A 218 IQQS LQQQ LNPC KNFL LQQC POOL 56 GI5A 218 IQPY LQQQ MNPC KNYL LQQC GI6A 218 IQSF LQQQ MNPC KNFL LQQC GI1A 226 VNPC KNFL LQQC KPVS LVSS GI2A 226 LNPC KNIL LQQS KPAS LVSS GI3A 226 LNPC KNFL LQQC KPVS LVSS	431 432 433 434 435 436 437
A3B1 106 LPQL PYPQ PQSF PPQQ PYPQ POOL 14 A4A 106 PPQL PYPQ TQPF PPQQ PYPQ A1A1 112 QPFR PQQP YPQP QPQY SQPQ A1B6 112 QPFR PQQL YPQP QPQY SQPQ A2A1 112 QPFR PQQP YPQS QPQY SQPQ A2B1 112 QPFR PQQP YPQS QPQY SQPQ A3A1 112 QPFR PQQS YPQP QPQY SQPQ A3A1 112 QPFR PQQS YPQP QPQY PQPQ	101 102 103 104 105 106 107 108	GI2A 218 IQPS LQQQ LNPC KNIL LQQS GI3A 218 IQQS LQQQ LNPC KNFL LQQC POQL 56 GI5A 218 IQPY LQQQ MNPC KNYL LQQC GI6A 218 IQSF LQQQ MNPC KNFL LQQC GI1A 226 VNPC KNFL LQQC KPVS LVSS GI2A 226 LNPC KNIL LQQS KPAS LVSS GI3A 226 LNPC KNFL LQQC KPVS LVSS GI3A 226 LNPC KNFL LQQC KPVS LVSS GI5A 226 MNPC KNYL LQQC NPVS LVSS	431 432 433 434 435 436 437 438
A3B1 106 LPQL PYPQ PQSF PPQQ PYPQ POOL 14 A4A 106 PPQL PYPQ TQPF PPQQ PYPQ A1A1 112 QPFR PQQP YPQP QPQY SQPQ A1B6 112 QPFR PQQP YPQP QPQY SQPQ A2A1 112 QPFR PQQP YPQS QPQY SQPQ A2B1 112 QPFR PQQS YPQP QPQY SQPQ A3A1 112 QPFR PQQS YPQP QPQY PQPQ A3B1 112 QSFP PQQP YPQP QPQY PQPQ A3B1 112 QSFP PQQP YPQP QPQY PQPQ	101 102 103 104 105 106 107 108 109	GI2A 218 IQPS LQQQ LNPC KNIL LQQS GI3A 218 IQQS LQQQ LNPC KNFL LQQC POOL 56 GI5A 218 IQPY LQQQ MNPC KNFL LQQC GI6A 218 IQSF LQQQ MNPC KNFL LQQC GI1A 226 VNPC KNFL LQQC KPVS LVSS GI2A 226 LNPC KNIL LQQS KPAS LVSS GI3A 226 LNPC KNFL LQQC KPVS LVSS GI3A 226 LNPC KNFL LQQC KPVS LVSS GI5A 226 MNPC KNFL LQQC NPVS LVSS GI6A 226 MNPC KNFL LQQC NPVS LVSS	431 432 433 434 435 436 437 438 439
A3B1 106 LPQL PYPQ PQSF PPQQ PYPQ POOL 14 A4A 106 PPQL PYPQ TQPF PPQQ PYPQ A1A1 112 QPFR PQQP YPQP QPQY SQPQ A1B6 112 QPFR PQQP YPQP QPQY SQPQ A2A1 112 QPFR PQQP YPQS QPQY SQPQ A2B1 112 QPFR PQQS YPQP QPQY SQPQ A3B1 112 QPFR PQQS YPQP QPQY PQPQ A3B1 112 QSFP PQQP YPQP QPQY PQPQ A3B2 112 QSFP PQQP YPQQ RPKY LQPQ A3B2 112 QSFP PQQP YPQQ RPMY LQPQ	101 102 103 104 105 106 107 108 109	GI2A 218 IQPS LQQQ LNPC KNIL LQQS GI3A 218 IQQS LQQQ LNPC KNFL LQQC POOL 56 GI5A 218 IQPY LQQQ MNPC KNYL LQQC GI6A 218 IQSF LQQQ MNPC KNFL LQQC GI1A 226 VNPC KNFL LQQC KPVS LVSS GI2A 226 LNPC KNIL LQQS KPAS LVSS GI3A 226 LNPC KNFL LQQC KPVS LVSS GI5A 226 MNPC KNFL LQQC KPVS LVSS GI6A 226 MNPC KNYL LQQC NPVS LVSS GI6A 226 MNPC KNYL LQQC NPVS LVSS GI6A 234 LQQC KPVS LVSS LWSM IWPQ	431 432 433 434 435 436 437 438
A3B1 106 LPQL PYPQ PQSF PPQQ PYPQ POOL 14 A44 106 PPQL PYPQ TQPF PPQQ PYPQ A1A1 112 QPFR PQQP YPQP QPQY SQPQ A1B6 112 QPFR PQQL YPQP QPQY SQPQ A2A1 112 QPFR PQQP YPQS QPQY SQPQ A2B1 112 QPFR PQQS YPQP QPQY SQPQ A3B1 112 QFFR PQQP YPQP QPQY PQPQ A3B1 112 QSFP PQQP YPQP QPYP QPQP A3B2 112 QSFP PQQP YPQQ RPKY LQPQ A3B2 112 QSFP PQQP YPQQ RPMY LQPQ POOL 15	101 102 103 104 105 106 107 108 109	GI2A 218 IQPS LQQQ LNPC KNIL LQQS GI3A 218 IQQS LQQQ LNPC KNFL LQQC POOL 56 GI5A 218 IQPY LQQQ MNPC KNFL LQQC GI6A 218 IQPY LQQQ MNPC KNFL LQQC GI1A 226 VNPC KNFL LQQC KPVS LVSS GI2A 226 LNPC KNFL LQQC KPVS LVSS GI3A 226 LNPC KNFL LQQC KPVS LVSS GI5A 226 MNPC KNFL LQQC KPVS LVSS GI6A 226 MNPC KNYL LQQC NPVS LVSS GI6A 226 MNPC KNFL LQQC NPVS LVSS GI1A 234 LQQC KPVS LVSS LWSM IWPQ POOL 57	431 432 433 434 435 436 437 438 439 440
A3B1 106 LPQL PYPQ PQSF PPQQ PYPQ POOL 14 A4A 106 PPQL PYPQ TQPF PPQQ PYPQ A1AL 112 QPFR PQQP YPQP QPQY SQPQ A1B6 112 QPFR PQQL YPQP QPQY SQPQ A2AL 112 QPFR PQQP YPQS QPQY SQPQ A2BL 112 QPFR PQQP YPQP QPQY SQPQ A3BL 112 QPFR PQQP YPQP QPQY PQPQ A3BL 112 QSFP PQQP YPQQ RPKY LQPQ A3B2 112 QSFP PQQP YPQQ RPMY LQPQ POOL 15 A3B3 112 QSFP PQQP YPQQ QPQY LQPQ	101 102 103 104 105 106 107 108 109 110	GI2A 218 IQPS LQQQ LNPC KNIL LQQS GI3A 218 IQQS LQQQ LNPC KNFL LQQC POOL 56 GI5A 218 IQPY LQQQ MNPC KNFL LQQC GI5A 218 IQPY LQQQ MNPC KNFL LQQC GI1A 226 VNPC KNFL LQQC KPVS LVSS GI2A 226 LNPC KNFL LQQC KPVS LVSS GI3A 226 LNPC KNFL LQQC KPVS LVSS GI5A 226 MNPC KNFL LQQC NPVS LVSS GI6A 226 MNPC KNYL LQQC NPVS LVSS GI6A 226 MNPC KNFL LQQC NPVS LVSS GI6A 226 MNPC KNFL LQQC NFVS LVSS GI1A 234 LQQC KPVS LVSS LWSM IWPQ POOL 57 GI2A 234 LQQS KPAS LVSS LWSI IWPQ	431 432 433 434 435 436 437 438 439 440
A3B1 106 LPQL PYPQ PQSF PPQQ PYPQ POOL 14 A4A 106 PPQL PYPQ TQFF PPQQ PYPQ A1AL 112 QPFR PQQP YPQP QPQY SQPQ A2AL 112 QPFR PQQP YPQP QPQY SQPQ A2AL 112 QPFR PQQP YPQS QPQY SQPQ A2BL 112 QPFR PQQP YPQP QPQY SQPQ A3AL 112 QPFR PQQP YPQP QPQY PQPQ A3BL 112 QSFP PQQP YPQP QPQY PQPQ A3BL 112 QSFP PQQP YPQQ RPMY LQPQ A3B2 112 QSFP PQQP YPQQ RPMY LQPQ POOL 15 A3B3 112 QSFP PQQP YPQQ QPQY LQPQ A4A 112 QPFP PQQP YPQP QPQY PQPQ	101 102 103 104 105 106 107 108 109 110	GI2A 218 IQPS LQQQ LNPC KNIL LQQS GI3A 218 IQQS LQQQ LNPC KNFL LQQC POOL 56 GI5A 218 IQPY LQQQ MNPC KNFL LQQC GI6A 218 IQSF LQQQ MNPC KNFL LQQC GI1A 226 VNPC KNFL LQQC KPVS LVSS GI2A 226 LNPC KNFL LQQC KPVS LVSS GI3A 226 LNPC KNFL LQQC KPVS LVSS GI5A 226 MNPC KNFL LQQC NPVS LVSS GI6A 226 MNPC KNFL LQQC NPVS LVSS GI6A 226 MNPC KNFL LQQC NFVS LVSS GI6A 226 MNPC KNFL LQQC NFVS LVSS GI1A 234 LQQC KPVS LVSS LWSM IWPQ POOL 57 GI2A 234 LQQS KPAS LVSS LWSM ILPR GI3A 234 LQQC KPVS LVSS LWSM ILPR	431 432 433 434 435 436 437 438 439 440
A3B1 106 LPQL PYPQ PQSF PPQQ PYPQ POOL 14 A4A 106 PPQL PYPQ TQPF PPQQ PYPQ A1AL 112 QPFR PQQP YPQP QPQY SQPQ A1B6 112 QPFR PQQL YPQP QPQY SQPQ A2AL 112 QPFR PQQP YPQS QPQY SQPQ A2BL 112 QPFR PQQP YPQP QPQY SQPQ A3BL 112 QPFR PQQP YPQP QPQY PQPQ A3BL 112 QSFP PQQP YPQQ RPKY LQPQ A3B2 112 QSFP PQQP YPQQ RPMY LQPQ POOL 15 A3B3 112 QSFP PQQP YPQQ QPQY LQPQ	101 102 103 104 105 106 107 108 109 110	GI2A 218 IQPS LQQQ LNPC KNIL LQQS GI3A 218 IQQS LQQQ LNPC KNFL LQQC POOL 56 GI5A 218 IQPY LQQQ MNPC KNFL LQQC GI5A 218 IQPY LQQQ MNPC KNFL LQQC GI1A 226 VNPC KNFL LQQC KPVS LVSS GI2A 226 LNPC KNFL LQQC KPVS LVSS GI3A 226 LNPC KNFL LQQC KPVS LVSS GI5A 226 MNPC KNFL LQQC NPVS LVSS GI6A 226 MNPC KNYL LQQC NPVS LVSS GI6A 226 MNPC KNFL LQQC NPVS LVSS GI6A 226 MNPC KNFL LQQC NFVS LVSS GI1A 234 LQQC KPVS LVSS LWSM IWPQ POOL 57 GI2A 234 LQQS KPAS LVSS LWSI IWPQ	431 432 433 434 435 436 437 438 439 440
A3B1 106 LPQL PYPQ PQSF PPQQ PYPQ POOL 14 A4A 106 PPQL PYPQ TQFF PPQQ PYPQ A1A1 112 QPFR PQQP YPQP QPQY SQPQ A2A1 112 QPFR PQQP YPQP QPQY SQPQ A2A1 112 QPFR PQQP YPQS QPQY SQPQ A2B1 112 QPFR PQQP YPQP QPQY SQPQ A3A1 112 PPFS PQQP YPQP QPQY PQPQ A3B1 112 QSFP PQQP YPQQ RPKY LQPQ A3B2 112 QSFP PQQP YPQQ RPMY LQPQ POOL 15 A3B3 112 QSFP PQQP YPQQ QPQY LQPQ A4A 112 QFFP PQQP YPQQ QPQY LQPQ A1A1 120 YPQP QPQY SQPQ QPIS QQQQ	101 102 103 104 105 106 107 108 109 110 111 112 113	GI2A 218 IQPS LQQQ LNPC KNIL LQQS GI3A 218 IQQS LQQQ LNPC KNFL LQQC POOL 56 GI5A 218 IQPY LQQQ MNPC KNFL LQQC GI6A 218 IQPY LQQQ MNPC KNFL LQQC GI1A 226 VNPC KNFL LQQC KPVS LVSS GI2A 226 LNPC KNFL LQQC KPVS LVSS GI3A 226 LNPC KNFL LQQC KPVS LVSS GI3A 226 LNPC KNFL LQQC KPVS LVSS GI5A 226 MNPC KNFL LQQC NPVS LVSS GI6A 226 MNPC KNFL LQQC NPVS LVSS GI1A 234 LQQC KPVS LVSS LWSM IWPQ POOL 57 GI2A 234 LQQC KPVS LVSS LWSM IWPQ GI3A 234 LQQC KPVS LVSS LWSM ILPR GI5A 234 LQQC KPVS LVSS LWSM ILPR	431 432 433 434 435 436 437 438 439 440 441 442 443
A3B1 106 LPQL PYPQ PQSF PPQQ PYPQ POOL 14 A4A 106 PPQL PYPQ TQPF PPQQ PYPQ A1AL 112 QPFR PQQP YPQP QPQY SQPQ A1B6 112 QPFR PQQL YPQP QPQY SQPQ A2AL 112 QPFR PQQP YPQP QPQY SQPQ A2BL 112 QPFR PQQP YPQP QPQY PQPQ A3BL 112 QFFR PQQP YPQP QPQY PQPQ A3BL 112 QSFP PQQP YPQQ RPMY LQPQ A3B2 112 QSFP PQQP YPQQ RPMY LQPQ POOL 15 A3B3 112 QSFP PQQP YPQP QPQY LQPQ A4A 112 QPFP PQQP YPQP QPQY LQPQ A1AL 120 YPQP QPQY SQPQ QPIS QQQQ A1B3 120 YPQP QPQY SQPQ QPIS QQQQ A2AL 120 YPQP QPQY SQPQ QPIS QQQQ A3AL 120 YPQP QPQY SQPQ QPIS QQQQ	101 102 103 104 105 106 107 108 110 111 112 113 114 115	GIZA 218 IQPS LQQQ LNPC KNIL LQQS GI3A 218 IQQS LQQQ LNPC KNFL LQQC POOL 56 GI5A 218 IQPY LQQQ MNPC KNFL LQQC GI5A 218 IQSP LQQQ MNPC KNFL LQQC GI6A 218 IQSF LQQQ MNPC KNFL LQQC GI1A 226 VNPC KNFL LQQC KPVS LVSS GI2A 226 LNPC KNFL LQQC KPVS LVSS GI3A 226 LNPC KNFL LQQC KPVS LVSS GI5A 226 MNPC KNFL LQQC KPVS LVSS GI6A 226 MNPC KNFL LQQC NEVS LVSS GI6A 226 MNPC KNFL LQQC NEVS LVSS GI1A 234 LQQC KPVS LVSS LWSM IWPQ POOL 57 GI2A 234 LQQC KPVS LVSS LWSM ILPR GI5A 234 LQQC KPVS LVSS LWSM ILPR GI6A 234 LQQC NPVS LVSS LVSM ILPR GI6A 242 LVSS LWSM IWPQ SDCQ VMRQ GI2A 242 LVSS LWSI IWPQ SDCQ VMRQ	431 432 433 434 435 436 437 438 439 440 441 442 443 444
A3B1 106 LPQL PYPQ PQSF PPQQ PYPQ POOL 14 A4A 106 PPQL PYPQ TQPF PPQQ PYPQ A1A1 112 QPFR PQQP YPQP QPQY SQPQ A2A1 112 QPFR PQQL YPQP QPQY SQPQ A2A1 112 QPFR PQQP YPQP QPQY SQPQ A3A1 112 QPFR PQQP YPQP QPQY PQPQ A3A1 112 QPFR PQQP YPQP QPQY PQPQ A3B1 112 QSFP PQQP YPQQ RPKY LQPQ A3B2 112 QSFP PQQF YPQQ RPMY LQPQ A3B3 112 QSFP PQQP YPQQ QPQY LQPQ A4A 112 QPFP PQQP YPQP QPQY PQPQ A1A1 120 YPQP QPQY SQPQ QPIS QQQQ A1A1 120 YPQP QPQY SQPQ QPIS QQQQ A2A1 120 YPQP QPQY SQPQ QPIS QQQQ A3A1 120 YPQP QPQY SQPQ QPIS QQQQ A3A1 120 YPQP QPQY PQPQ QPIS QQQQ A3B1 120 YPQP QPQY PQPQ QPIS QQQQ A3B1 120 YPQP QPQY PQPQ QPIS QQQQ A3B1 120 YPQQ RPKY LQPQ QPIS QQQA	101 102 103 104 105 106 107 108 109 110 111 112 113 114 115 116	GI2A 218 IQPS LQQQ LNPC KNIL LQQS GI3A 218 IQQS LQQQ LNPC KNFL LQQC POOL 56 GI5A 218 IQPY LQQQ MNPC KNFL LQQC GI6A 218 IQPY LQQQ MNPC KNFL LQQC GI6A 218 IQSF LQQQ MNPC KNFL LQQC GI1A 226 VNPC KNFL LQQC KPVS LVSS GI2A 226 LNPC KNIL LQQC KPVS LVSS GI3A 226 LNPC KNFL LQQC KPVS LVSS GI3A 226 MNPC KNFL LQQC NPVS LVSS GI6A 226 MNPC KNFL LQQC NPVS LVSS GI6A 226 MNPC KNFL LQQC NPVS LVSS GI6A 226 MNPC KNFL LQQC NFVS LVSS GI6A 234 LQQC KPVS LVSS LWSM IWPQ POOL 57 GI2A 234 LQQC KPVS LVSS LWSM ILPR GI5A 234 LQQC NPVS LVSS LVSM ILPR GI6A 234 LQQC NPVS LVSS LVSM ILPR GI6A 234 LQQC NPVS LVSS LVSI IIPR GIA 242 LVSS LWSI IIPPQ SDCQ VMRQ GI3A 242 LVSS LWSI IIPPR SDCQ VMRQ GI3A 242 LVSS LWSI IIPPR SDCQ VMRQ	431 432 433 434 435 436 437 438 439 440 441 442 443 444 445 446 447
A3B1 106 LPQL PYPQ PQSF PPQQ PYPQ POOL 14 A4A 106 PPQL PYPQ TQPF PPQQ PYPQ A1A1 112 QPFR PQQP YPQP QPQY SQPQ A2A1 112 QPFR PQQL YPQP QPQY SQPQ A2A1 112 QPFR PQQP YPQP QPQY SQPQ A3A1 112 QPFR PQQP YPQP QPQY PQPQ A3A1 112 QSFP PQQP YPQP QPQY PQPQ A3B1 112 QSFP PQQP YPQQ RPMY LQPQ A3B2 112 QSFP PQQP YPQQ RPMY LQPQ POOL 15 A3B3 112 QSFP PQQP YPQQ QPQY LQPQ A4A 112 QPFP PQQP YPQP QPQY PQPQ A1A1 120 YPQP QPQY SQPQ QPIS QQQQ A1A1 120 YPQP QPQY SQPQ QPIS QQQQ A2A1 120 YPQP QPQY SQPQ QPIS QQQQ A3A1 120 YPQP QPQY PQPQ QPIS QQQQ A3A1 120 YPQP QPQY PQPQ QPIS QQQQ A3B1 120 YPQQ RPMY LQPQ QPIS QQQA A3B1 120 YPQQ RPMY LQPQ QPIS QQQA	101 102 103 104 105 106 107 108 109 110 111 112 113 114 115 116	GI2A 218 IQPS LQQQ LNPC KNIL LQQS GI3A 218 IQQS LQQQ LNPC KNFL LQQC POOL 56 GI5A 218 IQPY LQQQ MNPC KNFL LQQC GI6A 218 IQPY LQQQ MNPC KNFL LQQC GI6A 218 IQSF LQQQ MNPC KNFL LQQC GI1A 226 VNPC KNFL LQQC KPVS LVSS GI2A 226 LNPC KNFL LQQC KPVS LVSS GI3A 226 LNPC KNFL LQQC KPVS LVSS GI3A 226 MNPC KNFL LQQC NPVS LVSS GI6A 226 MNPC KNFL LQQC NPVS LVSS GI6A 226 MNPC KNFL LQQC NPVS LVSS GI1A 234 LQQC KPVS LVSS LWSM IWPQ POOL 57 GI2A 234 LQQC KPVS LVSS LWSM ILPR GI3A 234 LQQC NPVS LVSS LWSM ILPR GI3A 234 LQQC NPVS LVSS LVSM ILPR GI6A 234 LQQC NPVS LVSS LVSM ILPR GI1A 242 LVSS LWSM IWPQ SDCQ VMRQ GI3A 242 LVSS LWSM ILPP SDCQ VMRQ GI3A 242 LVSS LWSM ILPP SDCQ VMRQ GI3A 242 LVSS LWSM ILPP SDCQ VMRQ GI4 242 LVSS LWSM ILPP SDCQ VMRQ	431 432 433 434 435 436 437 438 439 440 441 442 443 444 445 446
A3B1 106 LPQL PYPQ PQSF PPQQ PYPQ POOL 14 A4A 106 PPQL PYPQ TQPF PPQQ PYPQ A1A1 112 QPFR PQQP YPQP QPQY SQPQ A1B6 112 QPFR PQQL YPQP QPQY SQPQ A2A1 112 QPFR PQQP YPQP QPQY SQPQ A2A1 112 QPFR PQQP YPQP QPQY SQPQ A3B1 112 QPFR PQQP YPQP QPQY PQPQ A3B1 112 QSFP PQQP YPQP QPQY PQPQ A3B2 112 QSFP PQQP YPQQ RPMY LQPQ POOL 15 A3B3 112 QSFP PQQP YPQQ QPQY LQPQ A4A 112 QPFP PQQP YPQP QPQY PQPQ A1A1 120 YPQP QPQY SQPQ QPIS QQQQ A1B3 120 YPQP QPQY SQPQ QPIS QQQQ A3A1 120 YPQP QPQY SQPQ QPIS QQQQ A3A1 120 YPQP QPQY PQPQ QPIS QQQQ A3B1 120 YPQP QPQY PQPQ QPIS QQQQ A3B1 120 YPQQ RPMY LQPQ QPIS QQQA A3B2 120 YPQQ RPMY LQPQ QPIS QQQA A3B2 120 YPQQ RPMY LQPQ QPIS QQQA A3B2 120 YPQQ RPMY LQPQ QPIS QQQA POOL 16	101 102 103 104 105 106 107 108 110 111 112 113 114 115 116 117 118	GI2A 218 IQPS LQQQ LNPC KNIL LQQS GI3A 218 IQQS LQQQ LNPC KNFL LQQC POOL 56 GI5A 218 IQPY LQQQ MNPC KNFL LQQC GI5A 218 IQPY LQQQ MNPC KNFL LQQC GI6A 218 IQSF LQQQ MNPC KNFL LQQC GI1A 226 VNPC KNFL LQQC KPVS LVSS GI2A 226 LNPC KNFL LQQC KPVS LVSS GI3A 226 LNPC KNFL LQQC KPVS LVSS GI5A 226 MNPC KNFL LQQC NPVS LVSS GI6A 226 MNPC KNFL LQQC NPVS LVSS GI6A 226 MNPC KNFL LQQC NPVS LVSS GI1A 234 LQQC KPVS LVSS LWSM IWPQ POOL 57 GI2A 234 LQQC KPVS LVSS LWSM ILPR GI3A 234 LQQC NPVS LVSS LWSM ILPR GI5A 234 LQQC NPVS LVSS LVSM ILPR GI6A 234 LQQC NPVS LVSS LVSM ILPR GI6A 234 LQQC NPVS LVSS LVSM ILPR GI1A 242 LVSS LWSM IWPQ SDCQ VMRQ GI2A 242 LVSS LWSM ILPR SDCQ VMRQ GI3A 242 LVSS LWSM ILPR SDCQ VMRQ GI3A 242 LVSS LWSM ILPR SDCQ VMRQ GI4 242 LVSS LWSM ILPR SDCQ VMRQ GI4 242 LVSS LWSM ILPP SDCQ VMRQ POOL 58	431 432 433 434 435 436 437 438 440 441 442 443 444 445 446 447 448
A3B1 106 LPQL PYPQ PQSF PPQQ PYPQ POOL 14 A4A 106 PPQL PYPQ TQPF PPQQ PYPQ A1AL 112 QPFR PQQP YPQP QPQY SQPQ A1B6 112 QPFR PQQP YPQP QPQY SQPQ A2AL 112 QPFR PQQP YPQP QPQY SQPQ A2AL 112 QPFR PQQP YPQP QPQY PQPQ A3B1 112 QSFP PQQP YPQP QPQY PQPQ A3B1 112 QSFP PQQP YPQP QPQY PQPQ A3B2 112 QSFP PQQP YPQQ QPQY LQPQ POOL 15 A3B3 112 QSFP PQQP YPQQ QPQY LQPQ A4A. 112 QSFP PQQP YPQQ QPQY LQPQ A1AL 120 YPQP QPQY SQPQ QPIS QQQQ A1B3 120 YPQP QPQY SQPQ QPIS QQQQ A3AL 120 YPQP QPQY SQPQ QPIS QQQQ A3B1 120 YPQP QPQY PQPQ QPIS QQQQ A3B1 120 YPQP QPQY PQPQ QPIS QQQQ A3B1 120 YPQQ RPKY LQPQ QPIS QQQA A3B2 120 YPQQ RPKY LQPQ QPIS QQQA A3B2 120 YPQQ RPKY LQPQ QPIS QQQA A3B3 120 YPQQ RPKY LQPQ QPIS QQQA A3B3 120 YPQQ RPKY LQPQ QPIS QQQA A3B3 120 YPQQ RPMY LQPQ QPIS QQQA	101 102 103 104 105 106 107 108 109 110 111 112 113 114 115 116 117 118	GI2A 218 IQPS LQQQ LNPC KNIL LQQS GI3A 218 IQQS LQQQ LNPC KNFL LQQC POOL 56 GI5A 218 IQPY LQQQ MNPC KNFL LQQC GI5A 218 IQPY LQQQ MNPC KNFL LQQC GI6A 218 IQSF LQQQ MNPC KNFL LQQC GI1A 226 VNPC KNFL LQQC KPVS LVSS GI2A 226 LNPC KNFL LQQC KPVS LVSS GI3A 226 LNPC KNFL LQQC KPVS LVSS GI5A 226 MNPC KNFL LQQC NPVS LVSS GI6A 226 MNPC KNFL LQQC NPVS LVSS GI6A 226 MNPC KNFL LQQC NPVS LVSS GI1A 234 LQQC KPVS LVSS LWSM IWPQ POOL 57 GI2A 234 LQQC KPVS LVSS LWSM ILPR GI3A 234 LQQC KPVS LVSS LWSM ILPR GI6A 234 LQQC NPVS LVSS LVSM ILPR GI6A 234 LQQC NPVS LVSS LVSM ILPR GI6A 234 LQQC NPVS LVSS LVSM ILPR GI1A 242 LVSS LWSM IWPQ SDCQ VMRQ GI2A 242 LVSS LWSM ILPR SDCQ VMRQ GI3A 242 LVSS LWSM ILPP SDCQ VMRQ GI3A 242 LVSS LWSM ILPP SDCQ VMRQ GI4 242 LVSS LWSM ILPP SDCQ VMRQ POOL 58 GI5A 242 LVSS LVSM ILPP SDCK VMRQ	431 432 433 434 435 436 437 438 439 440 441 442 443 444 445 446 447 448
A3B1 106 LPQL PYPQ PQSF PPQQ PYPQ POOL 14 A4A 106 PPQL PYPQ TQPF PPQQ PYPQ A1AL 112 QPFR PQQP YPQP QPQY SQPQ A1B6 112 QPFR PQQL YPQP QPQY SQPQ A2AL 112 QPFR PQQP YPQP QPQY SQPQ A2B1 112 QPFR PQQP YPQP QPQY PQPQ A3B1 112 QFFR PQQP YPQP QPQY PQPQ A3B1 112 QSFP PQQP YPQP QPQY PQPQ A3B2 112 QSFP PQQP YPQQ RPMY LQPQ POOL 15 A3B3 112 QSFP PQQP YPQQ QPQY LQPQ A4A 112 QPFP PQQP YPQP QPQY PQPQ A1AL 120 YPQP QPQY SQPQ QPIS QQQQ A1B3 120 YPQP QPQY SQPQ QPIS QQQQ A3AL 120 YPQP QPQY SQPQ QPIS QQQQ A3AL 120 YPQP QPQY PQPQ QPIS QQQQ A3B1 120 YPQQ RPMY LQPQ QPIS QQQA A3B1 120 YPQQ RPMY LQPQ QPIS QQQA A3B2 120 YPQQ RPMY LQPQ QPIS QQQA A3B2 120 YPQQ RPMY LQPQ QPIS QQQA A3B3 120 YPQQ QPMY LQPQ QPIS QQQA A3B3 120 YPQQ QPQY LQPQ QPIS QQQA	101 102 103 104 105 106 107 108 109 110 111 112 113 114 115 116 117 118	GI2A 218 IQPS LQQQ LNPC KNIL LQQS GI3A 218 IQQS LQQQ LNPC KNFL LQQC POOL 56 GI5A 218 IQPY LQQQ MNPC KNFL LQQC GI5A 218 IQPY LQQQ MNPC KNFL LQQC GI5A 218 IQSF LQQQ MNPC KNFL LQQC GI1A 226 VNPC KNFL LQQC KPVS LVSS GI2A 226 LNPC KNFL LQQC KPVS LVSS GI3A 226 LNPC KNFL LQQC KPVS LVSS GI5A 226 MNPC KNFL LQQC NPVS LVSS GI6A 226 MNPC KNFL LQQC NPVS LVSS GI6A 226 MNPC KNFL LQQC NPVS LVSS GI1A 234 LQQC KPVS LVSS LWSM IWPQ POOL 57 GI2A 234 LQQS KPAS LVSS LWSM ILPR GI5A 234 LQQC KPVS LVSS LWSM ILPR GI6A 234 LQQC NPVS LVSS LVSM ILPR GI6A 234 LQQC NPVS LVSS LVSM ILPR GI1A 242 LVSS LWSM IWPQ SDCQ VMRQ GI2A 242 LVSS LWSM ILPR SDCQ VMRQ GI3A 242 LVSS LWSM ILPP SDCQ VMRQ GI4 242 LVSS LWSI ILPP SDCQ VMRQ GI4 242 LVSS LWSI ILPP SDCC VMRQ GI5A 242 LVSS LVSM ILPR SDCC VMRQ GI5C 242 LVSS LVSM ILPR SDCC VMRQ	431 432 433 434 435 436 437 438 439 440 441 442 443 444 445 446 447 448
A3B1 106 LPQL PYPQ PQSF PPQQ PYPQ POOL 14 A4A 106 PPQL PYPQ TQPF PPQQ PYPQ A1A1 112 QPFR PQQP YPQP QPQY SQPQ A1A1 112 QPFR PQQP YPQP QPQY SQPQ A2A1 112 QPFR PQQP YPQP QPQY SQPQ A2A1 112 QPFR PQQP YPQP QPQY SQPQ A3B1 112 QPFR PQQP YPQP QPQY PQPQ A3B1 112 QSFP PQQP YPQP QPQY PQPQ A3B2 112 QSFP PQQP YPQQ RPMY LQPQ A3B3 112 QSFP PQQP YPQQ QPQY LQPQ A4A 112 QSFP PQQP YPQP QPQY PQPQ A4A1 120 YPQP QPQY SQPQ QPIS QQQQ A1A1 120 YPQP QPQY SQPQ QPIS QQQQ A3A1 120 YPQP QPQY SQPQ QPIS QQQQ A3A1 120 YPQP QPQY PQPQ QPIS QQQQ A3B2 120 YPQQ RPMY LQPQ QPIS QQQA A3B1 120 YPQQ RPMY LQPQ QPIS QQQA A3B2 120 YPQQ RPMY LQPQ QPIS QQQA A3B3 120 YPQQ RPMY LQPQ QPIS QQQA A3B3 120 YPQQ QPQY LQPQ QPIS QQQA A3B3 120 YPQQ QPQY LQPQ QPIS QQQA A3B3 120 YPQQ QPQY LQPQ QPIS QQQA A1A1 128 SQPQ QPIS QQQQ QQQQ QQQQ	101 102 103 104 105 106 107 108 109 110 111 112 113 114 115 116 117 118	GI2A 218 IQPS LQQQ LNPC KNIL LQQS GI3A 218 IQQS LQQQ LNPC KNFL LQQC POOL 56 GI5A 218 IQPY LQQQ MNPC KNFL LQQC GI6A 218 IQPY LQQQ MNPC KNFL LQQC GI6A 218 IQSF LQQQ MNPC KNFL LQQC GI1A 226 VNPC KNFL LQQC KPV3 LVSS GI2A 226 LNPC KNFL LQQC KPV3 LVSS GI3A 226 LNPC KNFL LQQC KPVS LVSS GI3A 226 MNPC KNFL LQQC NPVS LVSS GI6A 226 MNPC KNFL LQQC NPVS LVSS GI6A 226 MNPC KNFL LQQC NPVS LVSS GI6A 234 LQQC KPVS LVSS LWSM IWPQ POOL 57 GI2A 234 LQQC KPVS LVSS LWSM ILPR GI3A 234 LQQC NPVS LVSS LWSM ILPR GI5A 234 LQQC NPVS LVSS LVSM ILPR GI6A 234 LQQC NPVS LVSS LVSI IIPR GI1A 242 LVSS LWSM IWPQ SDCQ VMRQ GI2A 242 LVSS LWSI IWPQ SDCQ VMRQ GI3A 242 LVSS LWSI ILPR SDCQ VMRQ GI4 242 LVSS LWSI ILPP SDCQ VMRQ GI4 242 LVSS LWSM ILPR SDCQ VMRQ GI5A 242 LVSS LVSM ILPR SDCQ VMRQ GI5C 242 LVSS LVSM ILPR SDCQ VMQQ GI6A 242 LVSS LVSM ILPR SDCQ VMQQ	431 432 433 434 435 436 437 438 439 440 441 442 443 444 445 446 447 448 449 450 451
A3B1 106 LPQL PYPQ PQSF PPQQ PYPQ POOL 14 A4A 106 PPQL PYPQ TQPF PPQQ PYPQ A1AL 112 QPFR PQQP YPQP QPQY SQPQ A1B6 112 QPFR PQQL YPQP QPQY SQPQ A2AL 112 QPFR PQQP YPQP QPQY SQPQ A2B1 112 QPFR PQQP YPQP QPQY PQPQ A3B1 112 QFFR PQQP YPQP QPQY PQPQ A3B1 112 QSFP PQQP YPQP QPQY PQPQ A3B2 112 QSFP PQQP YPQQ RPMY LQPQ POOL 15 A3B3 112 QSFP PQQP YPQQ QPQY LQPQ A4A 112 QPFP PQQP YPQP QPQY PQPQ A1AL 120 YPQP QPQY SQPQ QPIS QQQQ A1B3 120 YPQP QPQY SQPQ QPIS QQQQ A3AL 120 YPQP QPQY SQPQ QPIS QQQQ A3AL 120 YPQP QPQY PQPQ QPIS QQQQ A3B1 120 YPQQ RPMY LQPQ QPIS QQQA A3B1 120 YPQQ RPMY LQPQ QPIS QQQA A3B2 120 YPQQ RPMY LQPQ QPIS QQQA A3B2 120 YPQQ RPMY LQPQ QPIS QQQA A3B3 120 YPQQ QPMY LQPQ QPIS QQQA A3B3 120 YPQQ QPQY LQPQ QPIS QQQA	101 102 103 104 105 106 107 108 109 110 111 112 113 114 115 116 117 118	GI2A 218 IQPS LQQQ LNPC KNIL LQQS GI3A 218 IQQS LQQQ LNPC KNFL LQQC POOL 56 GI5A 218 IQPY LQQQ MNPC KNFL LQQC GI5A 218 IQPY LQQQ MNPC KNFL LQQC GI5A 218 IQSF LQQQ MNPC KNFL LQQC GI1A 226 VNPC KNFL LQQC KPVS LVSS GI2A 226 LNPC KNFL LQQC KPVS LVSS GI3A 226 LNPC KNFL LQQC KPVS LVSS GI5A 226 MNPC KNFL LQQC NPVS LVSS GI6A 226 MNPC KNFL LQQC NPVS LVSS GI6A 226 MNPC KNFL LQQC NPVS LVSS GI1A 234 LQQC KPVS LVSS LWSM IWPQ POOL 57 GI2A 234 LQQS KPAS LVSS LWSM ILPR GI5A 234 LQQC KPVS LVSS LWSM ILPR GI6A 234 LQQC NPVS LVSS LVSM ILPR GI6A 234 LQQC NPVS LVSS LVSM ILPR GI1A 242 LVSS LWSM IWPQ SDCQ VMRQ GI2A 242 LVSS LWSM ILPR SDCQ VMRQ GI3A 242 LVSS LWSM ILPP SDCQ VMRQ GI4 242 LVSS LWSI ILPP SDCQ VMRQ GI4 242 LVSS LWSI ILPP SDCC VMRQ GI5A 242 LVSS LVSM ILPR SDCC VMRQ GI5C 242 LVSS LVSM ILPR SDCC VMRQ	431 432 433 434 435 436 437 438 439 440 441 442 443 444 445 446 447 448
A3B1 106 LPQL PYPQ PQSF PPQQ PYPQ POOL 14 A4A 106 PPQL PYPQ TQPF PPQQ PYPQ A1A1 112 QPFR PQQP YPQP QPQY SQPQ A1A1 112 QPFR PQQP YPQP QPQY SQPQ A2A1 112 QPFR PQQP YPQP QPQY SQPQ A2A1 112 QPFR PQQP YPQP QPQY SQPQ A3B1 112 QPFR PQQP YPQP QPQY PQPQ A3B1 112 QSFP PQQP YPQP QPQY PQPQ A3B2 112 QSFP PQQP YPQQ RPMY LQPQ A3B2 112 QSFP PQQP YPQQ QPQY LQPQ A3B3 112 QSFP PQQP YPQQ QPQY LQPQ A4A 112 QFPP PQQP YPQP QPQY PQPQ A4A 12 QPFP PQQP YPQP QPQY PQPQ A1A1 120 YPQP QPQY SQPQ QPIS QQQQ A1B3 120 YPQP QPQY SQPQ QPIS QQQQ A3A1 120 YPQP QPQY PQPQ QPIS QQQQ A3B2 120 YPQQ RPMY LQPQ QPIS QQQA A3B2 120 YPQQ RPMY LQPQ QPIS QQQA A3B2 120 YPQQ RPMY LQPQ QPIS QQQA A3B3 120 YPQQ QPQY LQPQ QPIS QQQA A1A1 128 SQPQ QPIS QQQQ QQQQ A1A3 128 SQPQ QPIS QQQQ QQQQ A1B3 128 SQPQ QPIS QQQQ QQQQ A1B3 128 SQPQ QPIS QQQQ QQQQ A1B3 128 SQPQ QPIS QQQQ QQQQ	101 102 103 104 105 106 107 108 110 111 112 113 114 115 116 117 118 119 120 121 122 123	GI2A 218 IQPS LQQQ LNPC KNIL LQQS GI3A 218 IQQS LQQQ LNPC KNFL LQQC POOL 56 GI5A 218 IQPY LQQQ MNPC KNFL LQQC GI6A 218 IQPY LQQQ MNPC KNFL LQQC GI6A 218 IQPS LQQQ MNPC KNFL LQQC GI1A 226 VNPC KNFL LQQC KPVS LVSS GI2A 226 LNPC KNFL LQQC KPVS LVSS GI3A 226 LNPC KNFL LQQC KPVS LVSS GI3A 226 MNPC KNFL LQQC NPVS LVSS GI6A 226 MNPC KNFL LQQC NPVS LVSS GI6A 226 MNPC KNFL LQQC NPVS LVSS GI6A 234 LQQC KPVS LVSS LWSM IWPQ POOL 57 GI2A 234 LQQC KPVS LVSS LWSM ILPR GI3A 234 LQQC NPVS LVSS LWSM ILPR GI3A 234 LQQC NPVS LVSS LVSM ILPR GI6A 242 LVSS LWSM IWPQ SDCQ VMRQ GI3A 242 LVSS LWSM ILPP SDCQ VMRQ GI3A 242 LVSS LWSM ILPP SDCQ VMRQ GI4 242 LVSS LVSM ILPR SDCC VMQQ GI6A 242 LVSS LVSM ILPR SDCQ VMQQ GI1A 250 IWPQ SDCQ VMRQ QCCQ QLAQ	431 432 433 434 435 436 437 438 439 440 441 442 443 444 445 446 447 448 449 450 451 452

A2A1 138 QQQQ QQQQ QQKQ QQQQ QQQI	126	GI5C 250 ILPR SDCQ VMQQ QCCQ QLAQ	456
POOL 17	136	POOL 59	160
A4B 139 AQQQ QQQQ QQQQ QQQQ TLQQ		GI! A 258 VMRQ QCCQ QLAQ IPQQ LQCA	457
ATAT 146 QQQQ QQQQ ILQQ ILQQ QLIP ATA6 146 QQQQ QEQQ ILQQ ILQQ QLIP		GI5A 258 VMRQ QCCQ QLAR IPQQ LQCA GI5C 258 VMQQ QCCQ QLAQ IPRQ LQCA	458 459
A1B6 146 QQQQ QEQQ ILQQ MLQQ QLIP		GI6A 258 VMQQ QCCQ QLAQ IPQQ LQCA	460
A1B10 146 QQQQ QEQQ ILQQ ILQQ QLTP		GIIA 266 QLAQ IPQQ LQCA AIHT IIHS	461
AIBH 146 QOOQ QOOQ IIQQ ILQQ QL!P	132	GIIB 266 QLAQ IPQQ LQCA AIHT VIHS	462
A2A1 146 QQKQ QQQQ QQQI LQQI LQQQ		GIZA 266 QLAQ IPQQ LQCA AIHS VVHS	463
A3A2 146 QQQQ QQQQ ILPQ ILQQ QLIP	134	GI3A 266 QLAQ IPQQ LQCA AIHS IVHS	464
POOL 18		POOL 60	
A4A 146 QQQQ QQQQ TLQQ ILQQ QLIP		GISA 266 QLAR IPQQ LQCA AIHG IVHS	465
A1A1 163 ILQQ ILQQ QLIP CMDV VLQQ		GISC 266 QLAQ IPRQ LQCA AIHS VVHS	466
A 1B6 163 ILQQ MLQQ QLIP CMDV VLQQ A 1B10 163 ILQQ ILQQ QLTP CMDV VLQQ		GI6A 266 QLAQ IPQQ LQCA AIFIS VAḤS GI1A 274 LQCA AIFIT IUFS IIMQ QEQQ	467 468
A2BI 163 ILOO ILOO OLIP CRDV VLQQ		GIIB 274 LQCA AIHT VIHS EMQ QEQQ	469
A3A2 163 ILPQ II.QQ QLIP CRDV VLQQ		GI2A 274 LOCA AIHS VVHS IIMO QQQQ	470
A4A 163 TLQQ ILQQ QLIP CRDV VLQQ		POOL 61	
A1A1 171 QLIP CMDV VLQQ HNIA HGRS	142	GI3A 274 LQCA AÏHS IVHS IIMQ QEQQ	471
POOL 19		GI4 274 LQCA AIHS VVHS IIMQ QEQQ	472
A I A 3 171 QLIP CMDV VLQQ IINKA HGRS		GI5A 274 LQCA AIHG IVHS IIMQ QEQQ	473
A1B2 171 QLIP CMDV VLQQ HNLA HGRS		GI6A 274 LQCA AIHS VAHS IIMQ QEQQ	474
A1B7 171 QLIP CMDV VLQQ HNIV HGRS		GII A 282 III S IIMQ QEQQ EQQQ GMHI	475
A I B I O I T I QLTP CMDV VLQQ HNIA RGRS		GIIB 282 VIHS IIMQ QEQQ QGMH ILLP	476 477
A 1B1 171 QLIP CMDV VLQQ IINIV HGKS A2A1 171 QLIP CRDV VLQQ HSIA YGSS		GI2A 282 VVHS IIMQ QQQQ QQQQ QGID GI3A 282 IVHS IIMQ QEQQ EQRQ GVQI	478
A2B1 171 OLIP CRDV VLQQ H3IA 1GSS		POOL 62.	4/0
A2B3 171 QLIP CRDV VLQQ HNIA HGSS		GI4 282 VVHS IIMQ QEQQ EQLQ GVQI	479
POOL 20		GI5A 282 IVHS IIMQ QEQQ QQQQ QQQQ	480
A3A1 171 QLIP CRDV VLQQ HNIA HARS	151	GI5C 282 VVHS IVMQ QEQQ QGIQ ILRP	481
A3B1 171 QLIP CRDV VLQQ HNIA HASS	152	GI6A 282 VAHS IIMQ QEQQ QGVP ILRP	482
ATAT 179 VLQQ HNIA HGRS QVLQ QSTY		GHA 290 QEQQ EQQQ GMHI LLPL YQQQ	483
A1A3 179 VLQQ HNKA HGRS QVLQ QSTY		GI2A 290 QQQQ QQQQ QGID IFLP LSQH	484
A1B2 179 VLQQ HNLA HGRS QVLQ QSTY		GI2B 290 QQQQ QQQQ QGMH IFLP LSQQ	485
A1B7 179 VLQQ HNIV HGRS QVLQ QSTY		GBA 290 QEQQ EQRQ GVQI LVPL SQQQ POOL 63	486
A1B10 179 VLQQ HNIA RGRS QVLQ QSTY A1B:1 179 VLQQ HNIV HGKS QVLQ QSTY		GI4 290 QEQQ EQLQ GVQI LVPL SQQQ	487
POOL 21	150	GISA 290 QEQQ QQQQ QQQQ QQQG IQIM	488
A2A1 179 VLQQ HSIA YGSS QVLQ QSTY	159	GISC 290 QEQQ QGIQ ILRP LFQL VQGQ	489
A2B1 179 VLQQ HSIA HGSS QVLQ QSTY		GI6A 290 OEOO OGVP ILRP LFQL AQGL	490
A2B3 179 VLQQ HNIA HGSS QVLQ ESTY	161	GI5A 298 QQQQ QQQG IQIM RPLF QLVQ	491
A3A'I 179 VLQQ HNIA HARS QVLQ QSTY		GIIA 305 GMHI LLPL YQQQ QVGQ GTLV	492
A3B1 179 VLQQ HNIA HASS QVLQ QSTY		GI2A 305 GIDI FLPL SQHE QVGQ GSLV	493
A4A 179 VLQQ HNIA HASS QVLQ QSSY		GI2B 305 GMHI FLPL SQQQ QVGQ GSLV	494
A1A: 187 HGRS QVLQ QSTY QLLQ ELCC		POOL 64 GI3A 305 GVQI LVPI. SQQQ QVGQ GTLV	495
A1A3 187 HGRS QVLQ QSTY QLLR ELCC POOL 22	100	GI4 305 GVQI LVPL SQQQ QVGQ GILV	496
AIBS 187 HGRS QVLQ QSTY QLLR ELCC	167	GISA 305 GIQI MRPL FQLV QGQG IIQP	497
A1B11 187 HGKS QVLQ QSTY QLLQ ELCC		GISC 305 GIQI LRPL FQLV QGQG HQP	498
A2A1 187 YGSS QVLQ QSTY QLVQ QLCC	169	GI6A 305 GVPI LRPL FQLA QGLG IIQP	499
A2B1 187 HGSS QVLQ QSTY QLVQ QFCC		GII A 313 YQQQ QVGQ GTLV QGQG IIQP	500
A2B3 187 HGSS QVLQ ESTY QLVQ QLCC		GI2A 313 SQHE QVGQ GSLV QGQG IIQP	501
A3A1 187 HARS QVLQ QSTY QPLQ QLCC		GI2B 313 SQQQ QVGQ GSLV QGQG IIQP	502
A3B1 187 HASS QVLQ QSTY QLLQ QLCC		POOL 65	502
A4A 187 HASS QVLQ QSSY QQLQ QLCC	174	GI3A 313 SQQQ QVGQ GTLV QGQG IIQP GI4 313 SQQQ QVGQ GILV QGQG IIQP	503 504
POOL 23 ATA1 195 QSTY QLLQ ELCC QHLW QIPE	175	GIIA 321 GTLV QGQG HQP QQPA QLEA	505
A1A3 195 QSTY QLLR ELCC QHLW QIPE		GIZA 321 GSLV QGQG IIQP QQPA QLEA	506
A1B8 195 QSTY QLLR ELCC QHLW QIPE		GI5A 321 FQLV QGQG HQP QQPA QLEV	507
A2A1 195 QSTY QLVQ QLCC QQLW QIPE		GI6A 321 FQLA QGLG HQP QQPA QLEG	508
A231 195 QSTY QLVQ QFCC QQLW QIPE	179	GI1A 329 HQP QQPA QLEA IRSL VLQT	509
A3A1 195 QSTY QPLQ QLCC QQLW QIPE		GI3A 329 HQP QQPA QLEV IRSL VLQT	510
AJBI 195 QSTY QLLQ QLCC QQLL QIPE		POOL 66	
A4A 195 Q88Y QQLQ QLCC QQLF QIPE	182	GI3C 329 HQP QQPA QLEV IRSS VLQT	5 J J
POOL 24 ALAL 203 BLCC ONLW OPE OSOC OATH	192	GISC 329 HQP QQPA QYEV IRSL VLRT	512 513
A1A1 203 BLCC QHLW QIPE QSQC QAIN A1B6 203 BLCC QHLW QILE QSQC QAIH		GI6A 329 IIQP QQPA QLEG IRSL VLKT GI1A 337 QLEA IRSL VLQT LPTM CNVY	514
A I B 10 203 ELCC QHLW QIPE KLQC QAIH		GI2A 337 QLEA IRSL VLQT LPSM CNVY	515
A2A1 203 QLCC QQLW QIPE QSRC QAIH		GI3A 337 QLEV IRSL VLQT LATM CNVY	516
A2B1 203 QFCC QQLW QIPE QSRC QAIH		GI3C 337 QLEV IRSS VLQT LATM CNVY	517
A3B1 203 QLCC QQLL QIPE QSRC QAIH		GISA 337 QLEV IRSL VLGT LPTM CNVF	518
POOL 25		POOL 67	

A3B3 203 GLCC QQLL QIPE QSQC QAIH	189	GI5C 337 OYEV IRSL VERT LPNM CNVY	519
A4A 203 QLCC QQLF QIPE QSRC QAIH	190	GI6A 337 QLEG IRSL VLKT LPTM CNVY	520
ATA1 211 QIPE QSQC QAIH NVVH AILL	191	GITA 345 VLQT LPTM CNVY VPPE CSII	521
A (B3 211 QIPE QSQC QAIQ NVVH AIIL	192	GI2A 345 VLQT LPSM CNVY VPPE CSIM	522
A I B6 211 QILE QSQC QAIH NVVH AIIL		GI3A 345 VLQT LATM CNVY VPPY CSTI	523
A.B9 211 QIPE QSQC QAIH KVVH AIIL		GI5A 345 VLGT LPTM CNVF VPPE CSTT	524
A 1 B 10 2 1 1 Q I PE KLQC QAIH NVVH AIIL		GI5C 345 VLRT LPNM CNVY VRPD CSTI	525
A2A1 211 QIPE QSRC QAIH NVVH AIIL	196	GI6A 345 VLKT LPTM CNVY VPPD CSTI	526
POOL 26	107	POOL 68	500
A3B3 211 QIPE QSQC QAIH NVAH AIIM		GII A 353 CNVY VPPE CSH KAPF SSVV	527 528
A4A 211 QIPE QSRC QAIH NVVH AIII.		GI2A 353 CNVY VPPE CSIM RAPF ASIV GI3A 353 CNVY VPPY CST1 RAPF ASIV	529
A1A1 219 QAIH NVVH AIIL HQQQ KQQQ A1A6 219 QAIH NVVH AIIL HQQQ QKQQ		GISA 353 CNVF VPPE CSTT KAPF ASIV	530
A 1B3 219 QAIQ NVVH AIIL HQQQ KQQQ		GI5C 353 CNVY VRPD CSTI NAPF ASIV	531
A1B9 219 QAIH KVVH AIIL HQQQ KQQQ		GI6A 353 CNVY VPPD CSTI NVPY ANID	532
A I B I 3 2 19 QA I H NVVH A IIL HQQQ QQQQ		GI1A 361 CSII KAPF SSVV AGIG GQ	533
A2B3 219 QAIH NVVH AIIL HQQH HHHQ		GI2A 361 CSIM RAPF ASIV AGIG GQ	534
POOL 27		POOL 69	
A3A1 219 QAIH NVVH AIIL HQQQ RQQQ	205	GI3A 361 CSTI RAPF ASIV AGIG GQYR	535
A3B1 219 QAIII NVVII AHM HQQE QQQQ	206	GI4 361 CSTI RAPF AŞIV ASIG GQ	536
A3B3 219 QAIH NVAH AIIM 11QQQ QQQQ		GI5A 361 CSTT KAPF ASIV ADIG GQ	537
A4A 219 QAIH NVVH AIIL HHIIQ QQQQ		GI5C 361 CSTI NAPF ASIV AGIS GQ	538
A1A1 227 AIIL HQQQ KQQQ QPSS QVSF		GI6A 361 CSTI NVPY ANID AGIG GQ	539
A1A6 227 AIIL HQQQ QKQQ QQPS SQFS		GII I PQQP FPLQ PQQS FLWQ SQQP	540
ATB2 227 AUL HQQQ KQQQ QLSS QVSF		GII 9 PQQS FLWQ SQQP FLQQ PQQP	541
A1B10 227 AIIL HQQQ KQQQ PSSQ VSFQ	212	GII 17 SQQP FLQQ PQQP SPQP QQVV	542
POOL 28	313	POOL 76	547
A 1B 13 227 A IIL HQQQ QQQQ EQKQ QLQQ		GII 25 PQQP SPQP QQVV QIIS PATP	543 544
A2A1 227 A1IL HQQQ QQQQ QQQQ QPLS		GII 33 QQVV QHS PATP TTIP SAGK GII 41 PATP TTIP SAGK PTSA PFPQ	544 545
A2B3 227 AIIL HQQH HHHQ QQQQ QQQQ A2B4 227 AIIL HQQH HHHQ EQKQ QLQQ		GII 49 SAGK PTSA PFPQ QQQQ HQQL	546
A3A1 227 AHL HQQQ RQQQ PSSQ VSLQ		GII 57 PFPQ QQQQ HQQL AQQQ IPVV	547
A3B1 227 AIIM HQQE QQQQ LQQQ QQQQ		GII 65 HQQL AQQQ IPVV QPSI LQQL	548
A3B3 227 AIIM HQQQ QQQQ EQKQ QLQQ		GII 73 IPVV QPSI LQQL NPCK VFLQ	549
A4A 227 AIIL HHHQ QQQQ QPSS QVSY		GII 81 LQQL NPCK VFLQ QQCS PVAM	550
POOL 29		POOL 71	
A1A1 235 KQQQ QPSS QVSF QQPL QQYP	221	GII 89 VFLQ QQCS PVAM PQRL ARSQ	551
A1A6 235 KQQQ QPSS QFSF QQPL QQYP	222	GII 97 PVAM PQRL ARSQ MLQQ SSCH	552
A1B2 235 KQQQ QLSS QVSF QQPQ QQYP		GII 105 ARSQ MLQQ SSCH VMQQ QCCQ	553
A1B10 235 KQQQ PSSQ VSFQ QPQQ QYPL		GII 113 SSCH VMQQ QCCQ QLPQ IPQQ	554
A1B13 235 QQQQ EQKQ QLQQ QQQQ QQQL		GII 121 QCCQ QLPQ IPQQ SRYQ AIRA	555 556
A2B4 235 HHHQ EQKQ QLQQ QQQQ QQQL		GII 127B PQIP QQSR YEAI RAII YSII	556 557
A3A1 235 RQQQ PSSQ VSLQ QPQQ QYPS		GII 129 IPQQ SRYQ AIRA IIYS IILQ GII 137 AIRA IIYS IILQ EQQQ VQGS	558
A3B1 235 QQQQ LQQQ QQQQ LQQQ QQQQ POOL 30	220	POOL 72	550
A4A 235 QQQQ QPSS QVSY QQPQ EQYP	229	GII 145 IILQ EQQQ VQGS !QSQ QQQP	
A 1B13 243 QLQQ QQQQ QQQL QQQQ QKQQ			559
	230		559 560
A 1B13 251 QQQL QQQQ QKQQ QQPS SQVS		GII 153 VQGS IQSQ QQQP QQLG QCVS	
A 1B13 251 QQQL QQQQ QKQQ QQPS SQVS A2A1 260 QQQQ QQQQ QPLS QVSF QQPQ	231		560
A1B13 251 QQQL QQQQ QKQQ QQPS SQVS A2A1 260 QQQQ QQQQ QPLS QVSF QQPQ A2B1 260 QQQQ QQQQ QPLS QVCF QQSQ	231 232 233	GII 153 VQÖS IQSQ QQQP QQLĞ QCVS GII 161 QQQP QQLG QCVS QPQQ QSQQ GII 169 QCVS QPQQ QSQQ QLGQ QPQQ GII 177 QSQQ QLGQ QPQQ QQLA QGTF	560 561
A2A1 260 QQQQ QQQQ QPLS QVSF QQPQ A2B1 260 QQQQ QQQQ QPLS QVCF QQSQ ·A2B3 260 HHHQ QQQQ QQQQ QPLS QVSF	231 232 233	GII 169 QCVS QPQQ QSQQ QLGQ QPQQ GII 161 QQQP QQLG QCVS QPQQ QSQQ GII 153 VQGS IQSQ QQQP QQLG QCVS	560 561 562
A2A1 260 QQQQ QQQQ QPLS QVSF QQPQ A2B1 260 QQQQ QQQQ QPLS QVCF QQSQ ·A2B3 260 HHHQ QQQQ QQQQ QPLS QVSF A3B1 260 QQQQ QQQQ QPSS QVSF QQPQ	231 232 233 234 235	GII 153 VQĞS IQSQ QQQP QQLĞ QCVS GII 161 QQQP QQLG QCVS QPQQ QSQQ GII 169 QCVS QPQQ QSQQ QLGQ QPQQ GII 177 QSQQ QLGQ QPQQ QQLA QGTF GII 185 QPQQ QQLA QGTF LQPH QIAQ POOL 73	560 561 562 563 564
A2A1 260 QQQQ QQQQ QPLS QVSF QQPQ A2B1 260 QQQQ QQQQ QPLS QVCF QQSQ ·A2B3 260 HHHQ QQQQ QQQQ QPLS QVSF A3B1 260 QQQQ QQQQ QPSS QVSF QQPQ A2A1 289 QPLS QVSF QQPQ QQYP SGQG	231 232 233 234 235	GII 153 VQÖS IQSQ QQQP QQLĞ QCVS GII 161 QQQP QQLG QCVS QPQQ QSQQ GII 169 QCVS QPQQ QSQQ QLGQ QPQQ GII 177 QSQQ QLGQ QPQQ QQLA QGTF GII 185 QPQQ QQLA QGTF LQPH QIAQ POOL 73 GII 193 QGTF LQPH QIAQ LEYM TSIA	560 561 562 563 564
A2A1 260 QQQQ QQQQ QPLS QVSF QQPQ A2B1 260 QQQQ QQQQ QPLS QVCF QQSQ A2B3 260 HHHQ QQQQ QQQQ QPLS QVSF A3B1 260 QQQQ QQQQ QPSS QVSF QQPQ A2A1 289 QPLS QVSF QQPQ QQYP SGQG POOL 31	231 232 233 234 235 236	GII 153 VQÖS IQSQ QQQP QQLĞ QCVS GII 161 QQQP QQLG QCVS QPQQ QSQQ GII 169 QCVS QPQQ QSQQ QLGQ QPQQ GII 177 QSQQ QLGQ QPQQ QQLA QGTF GII 185 QPQQ QQLA QGTF LQPH QIAQ POOL 73 GII 193 QGTF LQPH QIAQ LEVM TSIA GII 201 QIAQ LEVM TSIA LRIL PTMC	560 561 562 563 564 565 566
A2A1 260 QQQQ QQQQ QPLS QVSF QQPQ A2B1 260 QQQQ QQQQ QPLS QVCF QQSQ -A2B3 260 HHHQ QQQQ QQQQ QPLS QVSF A3B1 260 QQQQ QQQQ QPSS QVSF QQPQ A2A1 289 QPLS QVSF QQPQ QQYP SGQG POOL 31 A2B1 289 QPLS QVCF QQSQ QQYP SGQG	231 232 233 234 235 236	GII 153 VQÖS IQSQ QQQP QQLĞ QCVS GII 161 QQQP QQLG QCVS QPQQ QSQQ GII 169 QCVS QPQQ QSQQ QLGQ QPQQ GII 177 QSQQ QLGQ QPQQ QQLA QGTF GII 185 QPQQ QQLA QGTF LQPH QIAQ POOL 73 GII 193 QGTF LQPH QIAQ LEVM TSIA GII 201 QIAQ LEVM TSIA LRIL PTMC GII 209 TSIA LRIL PTMC SVNV PLYR	560 561 562 563 564 565 566 567
A2A1 260 QQQQ QQQQ QPLS QVSF QQPQ A2B1 260 QQQQ QQQQ QPLS QVCF QQSQ 'A2B3 260 HHHQ QQQQ QQQQ QPLS QVSF A3B1 260 QQQQ QQQQ QPSS QVSF QQPQ A2A1 289 QPLS QVSF QQPQ QQYP SGQG POOL 31 A2B1 289 QPLS QVCF QQSQ QQYP SGQG A3B1 289 QPLS QVSF QQPQ QQYP SSQV	231 232 233 234 235 236 237 238	GII 153 VQĞS IQSQ QQQP QQLĞ QCVS GII 161 QQQP QQLG QCVS QPQQ QSQQ GII 169 QCVS QPQQ QSQQ QLGQ QPQQ GII 177 QSQQ QLGQ QPQQ QQLA QGTF GII 185 QPQQ QQLA QGTF LQPH QIAQ POOL 73 GII 193 QGTF LQPH QIAQ LEVM TSIA GII 201 QIAQ LEVM TSIA LRIL PTMC GII 209 TSIA LRIL PTMC SVNV PLYR GII 217 PTMC SVNV PLYR TTTS VPFG	560 561 562 563 564 565 566 567 568
A2A1 260 QQQQ QQQQ QPLS QVSF QQPQ A2B1 260 QQQQ QQQQ QPLS QVCF QQSQ A2B3 260 HHHQ QQQQ QQQQ QPLS QVSF A3B1 260 QQQQ QQQQ QPSS QVSF QQPQ A2A1 289 QQLS QVSF QQPQ QQYP SGQG POOL 31 A2B1 289 QPLS QVCF QQSQ QQYP SGQG A3B1 289 QPLS QVSF QQPQ QQYP SSQV A1A1 293 QVSF QQPL QQYP LGQG SFRP	231 232 233 234 235 236 237 238 239	GII 153 VQĞS IQSQ QQQP QQLĞ QCVS GII 161 QQQP QQLG QCVS QPQQ QSQQ GII 169 QCVS QPQQ QSQQ QLQQ GII 177 QSQQ QLGQ QPQQ QQLA QGTF GII 185 QPQQ QQLA QGTF LQPH QIAQ POOL 73 GII 193 QGTF LQPH QIAQ LEVM TSIA GII 201 QIAQ LEVM TSIA LRIL PTMC GII 209 TSIA LRIL PTMC SVNV PLYR GII 217 PTMC SVNV PLYR TTTS VPFG GII 225 PLYR TTTS VPFG VGTG VGAY	560 561 562 563 564 565 566 567 568 569
A2A1 260 QQQQ QQQQ QPLS QVSF QQPQ A2B1 260 QQQQ QQQQ QPLS QVCF QQSQ A2B1 260 QHHQ QQQQ QQPLS QVSF A3B1 260 QQQQ QQQQ QPLS QVSF QQPQ A2A1 289 QPLS QVSF QQPQ QQYP SGQG POOL 31 A2B1 289 QPLS QVCF QQSQ QQYP SGQG A3B1 289 QPSS QVSF QQPQ QQYP SSQV A1A1 293 QVSF QQPQ QQYP SSQV A1A1 293 QVSF QQPL QQYP LQQG SFRP	231 232 233 234 235 236 237 238 239 240	GII 153 VQĞS IQSQ QQQP QQLĞ QCVS GII 161 QQQP QQLG QCVS QPQQ QSQQ GII 169 QCVS QPQQ QSQQ QLGQ QPQQ GII 177 QSQQ QLGQ QPQQ QQLA QGTF GII 185 QPQQ QLGA QGTF LQPH QIAQ POOL 73 GII 193 QGTF LQPH QIAQ LEVM TSIA GII 201 QIAQ LEVM TSIA LRIL PTMC GII 209 TSIA LRIL PTMC SVNV PLYR GII 217 PTMC SVNV PLYR TTTS VPFG GII 225 PLYR TTTS VPFG VCTG VGAY GIII 1A I TITR TIPI PTIS SNNN HHFR	560 561 562 563 564 565 566 567 568 569 570
A2A1 260 QQQQ QQQQ QPLS QVSF QQPQ A2B1 260 QQQQ QQQQ QPLS QVSF QQSQ A2B3 260 HHHQ QQQQ QQQQ QPLS QVSF A3B1 260 QQQQ QQQQ QPSS QVSF QQPQ A2A1 289 QPLS QVSF QQPQ QQYP SGQG POOL 31 A2B1 289 QPLS QVCF QQSQ QQYP SGQG A3B1 289 QPLS QVCF QQSQ QQYP SGQG A3B1 289 QPSS QVSF QQPQ QQYP SSQV A1A1 293 QVSF QQPL QQYP LGQG SFRP A1A6 293 QVSF QQPL QQYP LGQG SFRP A1B2 293 QVSF QQPQ QQYP LGQG SFRP	231 232 233 234 235 236 237 238 239 240 241	GII 153 VQÖS IQSQ QQQP QQLĞ QCVS GII 161 QQQP QQLG QCVS QPQQ QSQQ GII 169 QCVS QPQQ QSQQ QLGQ QPQQ GII 177 QSQQ QLGQ QPQQ QQLA QGTF GII 185 QPQQ QLA QGTF LQPH QIAQ POOL 73 GII 193 QGTF LQPH QIAQ LEVM TSIA GII 201 QIAQ LEVM TSIA LRIL PTMC GII 209 TSIA LRIL PTMC SVNV PLYR GII 217 PTMC SVNV PLYR TTIS VPFG GII 225 PLYR TTIS VPFG GII 1A 1 TITR TPPI PTIS SNNN HHFR GIII 1A 9 PTIS SNNN HHFR	560 561 562 563 564 565 566 567 568 569 570 571
A2A1 260 QQQQ QQQQ QPLS QVSF QQPQ A2B1 260 QQQQ QQQQ QPLS QVSF QQSQ A2B3 260 MHHQ QQQQ QQQQ QPLS QVSF QSF A3B1 260 QQQQ QQQQ QPSS QVSF QQPQ A2A1 289 QPLS QVSF QQPQ QQYP SGQG POOL 31 A2B1 289 QPLS QVCF QQSQ QQYP SGQG A3B1 289 QPLS QVSF QQPQ QQYP SGQV A1A1 293 QVSF QQPL QQYP LGQG SFRP A1A6 293 QVSF QQPL QQYP LGQG SFRP A1B2 293 QVSF QQPQ QQYP LGQG SFRP A2A1 293 QVSF QQPQ QQYP LGQG SFRP A2A1 293 QVSF QQPQ QQYP LGQG SFRP	231 232 233 234 235 236 237 238 239 240 241 242	GII 153 VQĞS IQSQ QQQP QQLĞ QCVS GII 161 QQQP QQLG QCVS QPQQ QSQQ GII 169 QCVS QPQQ QSQQ QLGQ QPQQ GII 177 QSQQ QLGQ QPQQ QQLA QGTF GII 185 QPQQ QLGA QGTF LQPH QIAQ POOL 73 GII 193 QGTF LQPH QIAQ LEVM TSIA GII 201 QIAQ LEVM TSIA LRIL PTMC GII 209 TSIA LRIL PTMC SVNV PLYR GII 217 PTMC SVNV PLYR TTTS VPFG GII 225 PLYR TTTS VPFG VCTG VGAY GIII 1A I TITR TIPI PTIS SNNN HHFR	560 561 562 563 564 565 566 567 568 569 570
A2A1 260 QQQQ QQQQ QPLS QVSF QQPQ A2B1 260 QQQQ QQQQ QPLS QVCF QQSQ A2B3 260 HHHQ QQQQ QQQQ QPLS QVSF QQPQ A2A1 289 QPLS QVSF QQPQ QYPS SQQG POOL 31 A2B1 289 QPLS QVCF QQSQ QQYP SGQG A3B1 289 QPLS QVCF QQSQ QQYP SGQG A3B1 289 QPSS QVSF QQPQ QQYP SSQV A1A1 293 QVSF QQPL QQYP LGQG SFRP A1B2 293 QFSF QQPL QQYP LGQG SFRP A1B2 293 QVSF QQPQ QQYP LGQG SFRP A2A1 293 QVSF QQPQ QQYP LGQG SFRP A2A1 293 QVSF QQPQ QQYP SGQG SFQP A2B1 293 QVCF QQSQ QQYP SGQG SFQP	231 232 233 234 235 236 237 238 239 240 241 242 243	GII 153 VQÖS IQSQ QQQP QQLĞ QCVS GII 161 QQQP QQLG QCVS QPQQ QSQQ GII 169 QCVS QPQQ QSQQ QLGQ QPQQ GII 177 QSQQ QLGQ QPQQ QLGQ QPQQ QLGQ TF LQPH QIAQ POOL 73 GII 193 QGTF LQPH QIAQ LEVM TSIA GII 201 QIAQ LEVM TSIA LRIL PTMC GII 209 TSIA LRIL PTMC SVNV PLYR GII 217 PTMC SVNV PLYR TTIS VPFG GII 225 PLYR TTIS VPFG VCTG VGAY GIII 1A 1 TITR TPPI PTIS SNNN HHFR GIII 1A 9 PTIS SNNN HHFR SNSN HHFH GIII 1A 17 HHFR SNSN HHFH SNNN QFYR	560 561 562 563 564 565 566 567 568 569 570 571
A2A1 260 QQQQ QQQQ QPLS QVSF QQPQ A2B1 260 QQQQ QQQQ QPLS QVSF QQSQ A2B3 260 MHHQ QQQQ QQQQ QPLS QVSF QSF A3B1 260 QQQQ QQQQ QPSS QVSF QQPQ A2A1 289 QPLS QVSF QQPQ QQYP SGQG POOL 31 A2B1 289 QPLS QVCF QQSQ QQYP SGQG A3B1 289 QPLS QVSF QQPQ QQYP SGQV A1A1 293 QVSF QQPL QQYP LGQG SFRP A1A6 293 QVSF QQPL QQYP LGQG SFRP A1B2 293 QVSF QQPQ QQYP LGQG SFRP A2A1 293 QVSF QQPQ QQYP LGQG SFRP A2A1 293 QVSF QQPQ QQYP LGQG SFRP	231 232 233 234 235 236 237 238 239 240 241 242 243 244	GII 153 VQĞS IQSQ QQQP QQLĞ QCVS GII 161 QQQP QQLG QCVS QPQQ QSQQ GII 169 QCVS QPQQ QSQQ QLG QPQQ GII 177 QSQQ QLGQ QPQQ QQLA QGTF GII 185 QPQQ QLGA QGTF LQPH QIAQ POOL 73 GII 193 QGTF LQPH QIAQ LEVM TSIA GII 201 QIAQ LEVM TSIA LRIL PTMC GII 201 QIAQ LEVM TSIA LRIL PTMC GII 201 TSIA LRIL PTMC SVNV PLYR GII 217 PTMC SVNV PLYR TTTS VPFG GII 225 PLYR TTTS VPFG VCTG VGAY GIII 1A 1 TITR TIPI PTIS SNNN HHFR GIII 1A 9 PTIS SNNN HHFR SNSN HHFH GIII 1A 17 HHFR SNSN HHFH SNNN QFYR POOL 74 GIII 1A 25 HHFH SNNN QFYR NNNS PGHN GIII 1A 33 QFYR NNNS PGHN NPLN NNNS	560 561 562 563 564 565 566 567 568 569 570 571 572
A2A1 260 QQQQ QQQQ QPLS QVSF QQPQ A2B1 260 QQQQ QQQQ QPLS QVCF QQSQ A2B3 260 HHHQ QQQQ QQQQ QPLS QVSF QQPQ A2A1 289 QPLS QVSF QQPQ QYSF QQPQ A2A1 289 QPLS QVSF QQPQ QQYP SGQG POOL 31 A2B1 289 QPLS QVCF QQSQ QQYP SGQG A3B1 289 QPSS QVSF QQPQ QQYP SSQV A1A1 293 QVSF QQPL QQYP LGQG SFRP A1B2 293 QFSF QQPL QQYP LGQG SFRP A1B2 293 QVSF QQPQ QQYP LGQG SFRP A2A1 293 QVSF QQPQ QQYP LGQG SFRP A2A1 293 QVSF QQPQ QQYP SGQG SFQP A2B1 293 QVSF QQPQ QQYP SGQG SFQP A2B3 293 QVSF QQPQ QQYP SGQG SFQP A2B3 293 QVSF QQPQ QQYP SGQG SFQP	231 232 233 234 235 236 237 238 239 240 241 242 243 244	GII 153 VQĞS IQSQ QQQP QQLĞ QCVS GII 161 QQQP QQLG QCVS QPQQ QSQQ GII 169 QCVS QPQQ QSQQ QII 169 QCVS QPQQ QSQQ QII 177 QSQQ QLGQ QPQQ QQLA QGTF GII 185 QPQQ QLGQ QPQQ QQLA QGTF GII 185 QPQQ QLA QGTF LQPH QIAQ POOL 73 GII 193 QGTF LQPH QIAQ LEVM TSIA GII 201 QIAQ LEVM TSIA LRIL PTMC GII 205 TSIA LRIL PTMC SVNV PLYR GII 217 PTMC SVNV PLYR TTTS VPFG GII 125 PLYR TTTS VPFG VOTG VGAY GIII 1A 1 TITR TIPI PTIS SNNN HHFR GIII 1A 9 PTIS SNNN HHFR SNSN HHFFH GIII 1A 17 HHFR SNSN HHFFH SNNN QFYR POOL 74 GIII 1A 25 HHFFH SNNN QFYR NNNS PGHN GIII 1A 33 QFYR NNNS PGHN NPLN NNNS GIII 1A 41 PGHN NPLN NNNS PNNN SPSN	560 561 562 563 564 565 566 567 568 569 570 571 572 573 574 575
A2A1 260 QQQQ QQQQ QPLS QVSF QQPQ A2B1 260 QQQQ QQQQ QPLS QVCF QQSQ A2B3 260 MHHQ QQQQ QQQQ QPLS QVSF QQSQ A3B1 260 QQQQ QQQQ QPSS QVSF QQPQ A2A1 289 QPLS QVSF QQPQ QQYP SGQG POOL 31 A2B1 289 QPLS QVCF QQSQ QQYP SGQG A3B1 289 QPLS QVCF QQSQ QQYP SGQG A3B1 289 QPSS QVSF QQPQ QQYP SGQV A1A1 293 QVSF QQPL QQYP LGQG SFRP A1A6 293 QVSF QQPL QQYP LGQG SFRP A1B2 293 QVSF QQPQ QQYP LGQG SFRP A2A1 293 QVSF QQPQ QQYP SGQG SFQP A2B1 293 QVSF QQPQ QQYP SGQG SFQP A2B3 293 QVSF QQPQ QQYP SGQG FFQP POOL 32 A2B5 293 QVSF QQPQ QQYP SGQG FFQP A3A1 293 QVSF QQPQ QQYP SGQG FFQP A3A1 293 QVSF QQPQ QQYP SGQG FFQP A3A1 293 QVSL QQPQ QQYP SGQG FFQP	231 232 233 234 235 236 237 238 239 240 241 242 243 244 245 246	GII 153 VQĞS IQSQ QQQP QQLĞ QCVS GII 161 QQQP QQLG QCVS QPQQ QSQQ GII 169 QCVS QPQQ QSQQ QLGII 177 QSQQ QLGQ QPQQ GII 177 QSQQ QLGQ QPQQ QGLA QGTF GII 185 QPQQ QQLA QGTF LQPH QIAQ POOL 73 GII 193 QGTF LQPH QIAQ LEVM TSIA GII 201 QIAQ LEVM TSIA LRIL PTMC GII 209 TSIA LRIL PTMC SVNV PLYR GII 217 PTMC SVNV PLYR TTTS VPFG GII 225 PLYR TTTS VPFG VOTG VGAY GIII 1A 1 TITR TIPPI PTIS SNNN HHFR GIII 1A 9 PTIS SNNN HHFR SNSN HHFH GIII 1A 17 HHFR SNSN HHFH SNNN QFYR POOL 74 GIII 1A 25 HHFH SNNN QFYR NNNS PGHN GIII 1A 31 QFYR NNNS PGHN NPLN NNNS GIII 1A 41 PGHN NPLN NNNS PNNN SPSN GIII 1A 49 NNNS PNNN SPSN HHNN SPNN	560 561 562 563 564 565 566 567 568 569 570 571 572 573 574 575 576
A2A1 260 QQQQ QQQQ QPLS QVSF QQPQ A2B1 260 QQQQ QQQQ QPLS QVSF QQSQ A2B3 260 MHHQ QQQQ QQQQ QPLS QVSF QQSQ A3B1 260 QQQQ QQQQ QPSS QVSF QQPQ A2A1 289 QPLS QVSF QQPQ QQYP SGQG POOL 31 A2B1 289 QPLS QVSF QQPQ QQYP SGQG A3B1 289 QPLS QVSF QQPQ QQYP SGQG A3B1 289 QPSS QVSF QQPQ QQYP SGQG A1A1 293 QVSF QQPL QQYP LGQG SFRP A1A6 293 QVSF QQPL QQYP LGQG SFRP A1B2 293 QVSF QQPQ QQYP LGQG SFRP A2A1 293 QVSF QQPQ QQYP SGQG SFQP A2B1 293 QVSF QQPQ QQYP SGQG FFQP POOL 32 A2B5 293 QVSF QQPQ QQYP SGQG FFQP POOL 32 A2B1 293 QVSF QQPQ QQYP SGQG FFQP A3A1 293 QVSF QQPQ QQYP SGQG FFQP A3A1 293 QVSF QQPQ QQYP SGQG FFQP A3B1 293 QVSF QQPQ QQYP SGQG FFQP A3B1 293 QVSF QQPQ QQYP SGQG FFQP A3B1 293 QVSF QQPQ QQYP SGQG FFQP	231 232 233 234 235 236 237 238 239 240 241 242 243 244 245 246 247	GII 153 VQĞS IQSQ QQQP QQLĞ QCVS GII 161 QQQP QQLG QCVS QPQQ QSQQ GII 169 QCVS QPQQ QSQQ QLGII 177 QSQQ QLGQ QPQQ GII 177 QSQQ QLGQ QPQQ QCLA QGTF GII 185 QPQQ QQLA QGTF LQPH QIAQ POOL 73 GII 193 QGTF LQPH QIAQ LEVM TSIA GII 201 QIAQ LEVM TSIA LRIL PTMC GII 209 TSIA LRIL PTMC SVNV PLYR GII 217 PTMC SVNV PLYR TTTS VPFG GII 225 PLYR TTTS VPFG VOTG VGAY GIII IA 1 TITR TPPI PTIS SNNN HHFR GIII IA 9 PTIS SNNN HHFR SNSN HEIFH GIII IA 17 HHFR SNSN HHFF SNSN HEIFH GIII IA 25 HHFR SNNN GFYR NNNS PGHN GIII IA 31 QFYR NNNS PGHN NPLN NNNS GIII IA 41 PGHN NPLN NNNS PNNN SPSN GIII IA 49 NNNS PNNN SPSN HEINN SPNN GIII IA 49 NNNS PNNN SPSN HEINN SPNN GIII IA 47 SPSN HHNN SPNN NFQY HTHP	560 561 562 563 564 565 566 567 570 571 572 573 574 575 576 577
A2A1 260 QQQQ QQQQ QPLS QVSF QQPQ A2B1 260 QQQQ QQQQ QPLS QVCF QQSQ A2B1 260 QQQQ QQQQ QPLS QVCF QQSQ A2B1 260 QQQQ QQQQ QPLS QVSF QQPQ A2A1 289 QPLS QVSF QQPQ QQYP SQQG POOL 31 A2B1 289 QPLS QVCF QQSQ QQYP SGQG A3B1 289 QPSS QVSF QQPQ QQYP SSQV A1A1 293 QVSF QQPQ QQYP LGQG SFRP A1B2 293 QVSF QQPL QQYP LGQG SFRP A1B2 293 QVSF QQPQ QQYP LGQG SFRP A2B1 293 QVSF QQPQ QQYP SGQG SFQP A2B1 293 QVSF QQPQ QQYP SGQG SFQP A2B1 293 QVSF QQPQ QQYP SGQG FFQP POOL 32 A2B5 293 QVSF QQPQ QQYP SGQG FFQP A3A1 293 QVSF QQPQ QQYP SGQG FFQP A3A1 293 QVSF QQPQ QQYP SGQG FFQP A3A1 293 QVSF QQPQ QQYP SGQG FFQP A3B1 293 QVSF QQPQ QQYP SSQV SFQP A3B2 293 QVSF QQPQ QQYP SSQV SFQP	231 232 233 234 235 236 237 238 239 240 241 242 243 244 245 246 247 248	GII 153 VQĞS IQSQ QQQP QQLĞ QCVS GII 161 QQQP QQLG QCVS QPQQ QSQQ GII 169 QCVS QPQQ QSQQ QLGIQ PQQQ GII 177 QSQQ QLGQ QPQQ QCLA QGTF GII 185 QPQQ QQLA QGTF LQPH QIAQ POOL 73 GII 193 QGTF LQPH QIAQ LEVM TSIA GII 201 QIAQ LEVM TSIA LRIL PTMC GII 209 TSIA LRIL PTMC SVNV PLYR GII 217 PTMC SVNV PLYR TTTS VPFG GII 225 PLYR TTTS VPFG VCTG VGAY GIII 1A 1 THTR TTPI PTIS SNNN HHFR GIII 1A 17 HHFR SNSN HHFH SNNN QFYR POOL 74 GIII 1A 25 HHFH SNNN QFYR NNNS PGHN GIII 1A 33 QFYR NNNS PGHN NPLN NNNS GIII 1A 41 PGHN NPLN NNNS PNNN SPSN GIII 1A 41 PGHN NPLN NNNS PNNN SPSN GIII 1A 57 SPSN HHNN SPSN HHNN SPNN GIII 1A 57 SPSN HHNN SPSN HHIPP GIII 1A 57 SPSN HHNN SPSN HHIPP GIII 1A 57 SPSN HHNN SPNN NFQY HTHP	560 561 562 563 564 565 566 567 568 569 570 571 572 573 574 575 576 577 578
A2A1 260 QQQQ QQQQ QPLS QVSF QQPQ A2B1 260 QQQQ QQQQ QPLS QVCF QQSQ A2B1 260 QQQQ QQQQ QPLS QVCF QQSQ A2B1 260 QQQQ QQQQ QPLS QVSF QQPQ A2A1 289 QPLS QVSF QQPQ QQYP SGQG POOL 31 A2B1 289 QPLS QVCF QQSQ QQYP SGQG A3B1 289 QPLS QVCF QQSQ QQYP SGQG A3B1 289 QPSS QVSF QQPQ QQYP SSQV A1A1 293 QVSF QQPL QQYP LQQG SFRP A1A6 293 QVSF QQPL QQYP LQQG SFRP A1B2 293 QVSF QQPQ QQYP LQQG SFRP A2B1 293 QVSF QQPQ QQYP SGQG SFQP A2B1 293 QVSF QQPQ QQYP SGQG SFQP A2B1 293 QVSF QQPQ QQYP SGQG FFQP POOL 32 A2B5 293 QVSF QQPQ QQYP SGQG FFQP A3A1 293 QVSL QQPQ QQYP SGQG FFQP A3B1 293 QVSL QQPQ QQYP SGQG FFQP A3B1 293 QVSF QQPQ QQYP SSQG FFQP A3B1 293 QVSF QQPQ QQYP SSQG SFQP A3B2 293 QVSF QQPQ QQYP SSQG SFQP A3B2 293 QVSF QQPQ QQYP SSQG SFQP A4A 293 QVSY QQPQ BQYP SSQV SFQP	231 232 233 234 235 236 237 248 241 242 243 244 245 246 247 248 249	GII 153 VQĞS IQSQ QQQP QQLĞ QCVS GII 161 QQQP QQLG QCVS QPQQ QSQQ GII 169 QCVS QPQQ QSQQ QLGI 169 QCVS QPQQ QSQQ QLGIQ PQQQ GII 177 QSQQ QLGQ QPQQ QQLA QGTF GII 185 QPQQ QQLA QGTF LQPH QIAQ POOL 73 GII 193 QGTF LQPH QIAQ LEVM TSIA GII 201 QIAQ LEVM TSIA LRIL PTMC GII 209 TSIA LRIL PTMC SVNV PLYR GII 217 PTMC SVNV PLYR TTTS VPFG GII 225 PLYR TTTS VPFG VCTG VGAY GIII 1A 1 TITR TIPI PTIS SNNN HHFR GIII 1A 9 PTIS SNNN HHFR SNSN HHFH GIII 1A 25 HHFH SNNN QFYR NNNS PGHN GIII 1A 33 QFYR NNNS PGHN NPLN NNNS GIII 1A 41 PGHN NPLN NNNS PNNN SPSN GIII 1A 49 NNNS PNNN SPSN HHHN SPNN GIII 1A 55 SPNN NFQY HTHP SNHK NLPH GIII 1A 65 SPNN NFQY HTHP SNHK NLPH GIII 1A 65 SPNN NFQY HTHP SNHK NLPH GIII 1A 73 HTHP SNHK NLPH TNNI QQQQ	560 561 562 563 564 565 566 567 570 571 572 573 574 575 576 577 578
A2A1 260 QQQQ QQQQ QPLS QVSF QQPQ A2B1 260 QQQQ QQQQ QPLS QVSF QQSQ A2B3 260 MHHQ QQQQ QQQQ QPLS QVSF QQSQ A3B1 260 QQQQ QQQQ QPSS QVSF QQPQ A2A1 289 QPLS QVSF QQPQ QQYP SGQG POOL 31 A2B1 289 QPLS QVSF QQPQ QQYP SGQG A3B1 289 QPLS QVSF QQPQ QQYP SGQG A3B1 289 QPSS QVSF QQPQ QQYP SGQV A1A1 293 QVSF QQPL QQYP LGQG SFRP A1A6 293 QVSF QQPQ QQYP LGQG SFRP A1B2 293 QVSF QQPQ QQYP SGQG SFQP A2B1 293 QVSF QQPQ QQYP SGQG SFQP A2B1 293 QVSF QQPQ QQYP SGQG FFQP POOL 32 A2B5 293 QVSF QQPQ QQYP SGQG FFQP A3A1 293 QVSF QQPQ QQYP SGQG FFQP A3B1 293 QVSF QQPQ QQYP SGQG FFQP A4A 293 QVSF QQPQ QQYP SGQG SFQP A4A 293 QVSF QQPQ BQYP SGQS SFQP A4A 293 QVSF QQPQ BQYP SGQS SFQP A4A1 293 QVSF QQPQ BQYP SGQS SFQP	231 232 233 234 235 236 237 240 241 242 243 244 245 246 247 248 249 250	GII 153 VQĞS IQSQ QQP QQLĞ QCVS GII 161 QQQP QQLG QCVS QPQQ QSQQ GII 169 QCVS QPQQ QSQQ QLGQ QPQQ GII 177 QSQQ QLGQ QPQQ QQLA QGTF GII 185 QPQQ QLGQ QPQQ QQLA QGTF POOL 73 GII 193 QGTF LQPH QIAQ LEVM TSIA GII 201 QIAQ LEVM TSIA LIRL PTMC GII 201 PTMC SVNV PLYR GII 217 PTMC SVNV PLYR GII 217 PTMC SVNV PLYR GII 11A 1 TITR TIPI PTIS SNNN HHFR GIII 1A 9 PTIS SNNN HHFR SNSN HHFH GIII 1A 17 HHFR SNSN HHFH SNNN QFYR POOL 74 GIII 1A 25 HHFH SNNN QFYR NNNS PGHN GIII 1A 33 QFYR NNNS PGHN NPLN NNNS GIII 1A 41 PGHN NPLN NNNS PNNN SPSN GIII 1A 45 SPNN NFQN HHFN SNNN FQY HTHP GIII 1A 55 SPNN NFQY HTHP SNHK NLPH GIII 1A 73 HTHP SNHK NLPH TNNI QQQQ GIII 1A 81 NLPH TNNI QQQQ PPFS QQQQ	560 561 562 563 564 565 566 567 568 569 570 571 572 573 574 575 576 577 578
A2A1 260 QQQQ QQQQ QPLS QVSF QQPQ A2B1 260 QQQQ QQQQ QPLS QVSF QQSQ A2B3 260 MHHQ QQQQ QQQQ QPLS QVSF QQSQ A3B1 260 QQQQ QQQQ QPSS QVSF QQPQ A2A1 289 QPLS QVSF QQPQ QQYP SGQG POOL 31 A2B1 289 QPLS QVSF QQPQ QQYP SGQG A3B1 289 QPLS QVSF QQPQ QQYP SGQG A3B1 289 QPSS QVSF QQPQ QQYP SGQV A1A1 293 QVSF QQPL QQYP LGQG SFRP A1A6 293 QVSF QQPL QQYP LGQG SFRP A1A6 293 QVSF QQPQ QQYP SGQG SFQP A2B1 293 QVSF QQPQ QQYP SGQG SFQP A2B1 293 QVSF QQPQ QQYP SGQG FFQP A2B3 293 QVSF QQPQ QQYP SGQG FFQP POOL 32 A2B5 293 QVSF QQPQ QQYP SGQG FFQP A3B1 293 QVSF QQPQ QQYP SGQG FFQP A4A 293 QVSF QQPQ GQYP SGQ SFQP A4A 293 QVSF QQPQ GQYP SGQF FQP A4A 293 QVSF QQPQ GQYP SGQ SFQP A4A 293 QVSF QQPQ GYP SGQN SQQQ A1B2 301 QQYP LGQG SFRP SQQN PQAQ A1B2 301 QQYP LGQG SFRP SQQN PQAQ	231 232 233 234 235 236 237 238 239 240 241 242 243 244 245 246 247 248 249 250 251	GII 153 VQĞS IQSQ QQP QQLĞ QCVS GII 161 QQP QQLG QCVS QPQQ QSQQ GII 169 QCVS QPQQ QSQQ QLGQ QPQQ GII 177 QSQQ QLGQ QPQQ QGLA QGTF GII 185 QPQQ QQLA QGTF LQPH QIAQ POOL 73 GII 193 QGTF LQPH QIAQ LEVM TSIA GII 201 QIAQ LEVM TSIA LRIL PTMC GII 209 TSIA LRIL PTMC SVNV PLYR GII 217 PTMC SVNV PLYR TTTS VPFG GII 225 PLYR TITS VPFG VOTG VGAY GIII 1A 1 TITR TIPPI PTIS SNNN HHFR GIII 1A 9 PTIS SNNN HHFR SNSN HHFH GIII 1A 17 HHFR SNSN HHFH SNNN QFYR POOL 74 GIII 1A 25 HHFH SNNN QFYR NNNS PGHN GIII 1A 31 QFYR NNNS PGHN NPLN NNNS GIII 1A 41 PGHN NPLN NNNS PNNN SPSN GIII 1A 41 PGHN NPLN NNNS PNNN SPSN GIII 1A 57 SPSN HHNN SPNN NFQY HTHP GIII 1A 73 HTHP SNNK NLPH GIII 1A 73 HTHP SNHK NLPH GIII 1A 31 NLPH TNNI QQQQ POOL 75	560 561 562 563 564 565 566 567 570 571 572 573 574 575 576 577 578 579 580
A2A1 260 QQQQ QQQQ QPLS QVSF QQPQ A2B1 260 QQQQ QQQQ QPLS QVSF QQSQ A2B3 260 MHHQ QQQQ QQQQ QPLS QVSF QQSQ A3B1 260 QQQQ QQQQ QPSS QVSF QQPQ A2A1 289 QPLS QVSF QQPQ QQYP SGQG POOL 31 A2B1 289 QPLS QVSF QQPQ QQYP SGQG A3B1 289 QPLS QVSF QQPQ QQYP SGQG A3B1 289 QPSS QVSF QQPQ QQYP SGQV A1A1 293 QVSF QQPL QQYP LGQG SFRP A1A6 293 QVSF QQPQ QQYP LGQG SFRP A1B2 293 QVSF QQPQ QQYP SGQG SFQP A2B1 293 QVSF QQPQ QQYP SGQG SFQP A2B1 293 QVSF QQPQ QQYP SGQG FFQP POOL 32 A2B5 293 QVSF QQPQ QQYP SGQG FFQP A3A1 293 QVSF QQPQ QQYP SGQG FFQP A3B1 293 QVSF QQPQ QQYP SGQG FFQP A4A 293 QVSF QQPQ QQYP SGQG SFQP A4A 293 QVSF QQPQ BQYP SGQS SFQP A4A 293 QVSF QQPQ BQYP SGQS SFQP A4A1 293 QVSF QQPQ BQYP SGQS SFQP	231 232 233 234 235 236 237 238 239 240 241 242 243 244 245 246 247 248 249 250 251	GII 153 VQĞS IQSQ QQP QQLĞ QCVS GII 161 QQQP QQLG QCVS QPQQ QSQQ GII 169 QCVS QPQQ QSQQ QLGQ QPQQ GII 177 QSQQ QLGQ QPQQ QQLA QGTF GII 185 QPQQ QLGQ QPQQ QQLA QGTF POOL 73 GII 193 QGTF LQPH QIAQ LEVM TSIA GII 201 QIAQ LEVM TSIA LIRL PTMC GII 201 PTMC SVNV PLYR GII 217 PTMC SVNV PLYR GII 217 PTMC SVNV PLYR GII 11A 1 TITR TIPI PTIS SNNN HHFR GIII 1A 9 PTIS SNNN HHFR SNSN HHFH GIII 1A 17 HHFR SNSN HHFH SNNN QFYR POOL 74 GIII 1A 25 HHFH SNNN QFYR NNNS PGHN GIII 1A 33 QFYR NNNS PGHN NPLN NNNS GIII 1A 41 PGHN NPLN NNNS PNNN SPSN GIII 1A 45 SPNN NFQN HHFN SNNN FQY HTHP GIII 1A 55 SPNN NFQY HTHP SNHK NLPH GIII 1A 73 HTHP SNHK NLPH TNNI QQQQ GIII 1A 81 NLPH TNNI QQQQ PPFS QQQQ	560 561 562 563 564 565 566 567 570 571 572 573 574 575 576 577 578

A2B3 301 QQYP SGQG FFQP SQQN PQAQ	253	GIII 1A 105 QQQQ PVLP QQSP FSQQ QQLV	583
A2B5 301 QQYP SGQG FFQP FQQN PQAQ		GIII 1A 113 QQSP FSQQ QQLV LPPQ QQQQ	584
A3A1 301 QQYP SGQG FFQP SQQN PQAQ		GIII 1A 121 QQLV LPPQ QQQQ QLVQ QQIP	585
A3B1 301 QQYP SSQV SFQP SQLN PQAQ		GIII 1A 129 QQQQ QLVQ QQIP IVQP SVLQ	386
A3B2 301 QQYP SSQG SFQP SQQN PQAQ		GIII 1A 137 QQIP IVQP SVLQ QLNP CKVF	587
A4A 301 EQYP SGQV SFQS SQQN PQAQ		GIII IA 145 SVLQ QLNP CKVF LQQQ CSPV	588
A 1B1 309 SFRP SQQN PLAQ GSVQ PQQL		POOL 76	con
A1A1 309 SFRP SQQN PQAQ GSVQ PQQL	200	GIII 1A 153 CKYF LQQQ CSPV AMPQ RLAR GIII 1A 161 CSPV AMPQ RLAR SQMW QQSS	589 590
POOL 34 A1A3 309 SFRP SQQN PQTQ GSVQ PQQL	261	GIII IA 169 RLAR SQMW QQSS CHVM QQQC	591
A IB2 309 SFRP SQQN SQAQ GSVQ PQQL		GIII IA 177 QQSS CHVM QQQC CQQL QQIP	592
A1B3 309 SFRP SQQN PQDQ GSVQ PQQL		GIII 1A 185 QQQC CQQL QQIP EQSR YEAI	593
A 1B4 309 SFRP SQQN PRAQ GSVQ PQQL		GIII IA 193 QQIP EQSR YEAI RAII YSII	594
AZAT 309 SFQP SQQN PQAQ GSVQ PQQL		GIII 1A 201 YEAI RAII YSII LQEQ QQGF	595
A2B3 309 FFQP SQQN PQAQ GSFQ PQQL		GIII IA 209 YSII LQEQ QQGF VQPQ QQQP	596
A2B5 309 FFQP FQQN PQAQ GSFQ PQQL		POOL 77	
A3A1 309 FFQP SQQN PQAQ GSVQ PQQL	268	GIH 1A 217 QQGF VQPQ QQQP QQSG QGVS	597
Pool 35		GIII 1A 225 QQQP QQSG QGVS QSQQ QSQQ	598
A3B1 309 SFQP SQLN PQAQ GSVQ PQQL		GIII 1A 233 QGVS QSQQ QSQQ QLGQ CSFQ	599
A3B1 309 SFQP SQLN PQAQ GSVQ PQQL		GIII 1A 241 QSQQ QLGQ CSFQ QPQQ QLGQ	600
A3B2 309 SFQP SQQN PQAQ GSVQ PQQL		GIII 1A 249 CSFQ QPQQ QLGQ QPQQ QQQQ	601
A4A 309 SFQS SQQN PQAQ GSVQ PQQL		GIII 1A 257 QLGQ QPQQ QQQQ QVLQ GTFL	602 603
A1A1 317 PQAQ GSVQ PQQL PQFE EIRN		GIII 1A 263 QQQQ QVLQ GTFL QPHQ IAHL GIII 1A 271 GTFL QPHQ IAHL EAVT SIAL	604
A 1 A 3 17 PQTQ GSVQ PQQL PQFE EIRN		POOL 78	004
A1A6 317 PQAQ GSVQ PQQL PQFE IRNL A1B1 317 PLAQ GSVQ PQQL PQFE EIRN		GIII 1A 279 IAHL EAVT SIAL RTLP TMCS	605
POOL 36	210	GIII 1A 287 SIAL RTLP TMCS VNVP LYSA	606
A 1B3 317 PQDQ GSVQ PQQL PQFE EIRN	277	GIII IA 295 TMCS VNVP LYSA TTSV PFGV	607
A1B4 317 PRAO GSVO POOL POFE EIRN		GIII I.A 303 LYSA TTSV PFGV GTGV GAY	608
A2B3 317 POAQ GSFQ PQQL PQFE EIRN		GIII 1B 26 SCIS GLER PWQQ QPLP PQQS	609
A2B5 317 POAO GSFQ POOL POFE AIRN		GIII 1B 34 PWQQ QPLP PQQS FSQQ PPFS	610
A3B1 317 PQAQ GSVQ PQQL PQFA EIRN		GIII 1B 42 PQQS FSQQ PPFS QQQQ QPLP	611
A4A 317 PQAQ GSVQ PQQL PQFQ EIRN		GIII IB 50 PPFS QQQQ QPLP QQPS FSQQ	612
Paul 37		Pool 79	
A IA1 325 PQQL PQFE EIRN LALQ TLPA		GIII 1B 58 QPLP QQPS FSQQ QPPF SQQQ	613
A1A6 325 PQQL PQFE IRNL ALQT LPAM		GHI IB 66 FSQQ QPPF SQQQ PILS QQPP	614
A IB12 325 PQQL PQFE EIRN LARK		GHI 1B 74 SQQQ PILS QQPP FSQQ QQPV	615
A2A1 325 PQQL PQFE EIRN LALE TLPA		O 1A 17 ATAA RELN PSNK ELQS PQQS	616
A2B5 325 PQQL PQFE AIRN LALQ TLPA		O 1A 25 PSNK ELQS PQQS FSYQ QQPF	617
A3B1 325 PQQL PQFA EIRN LALQ TLPA		O IA 33 PQQS FSYQ QQPF PQQP YPQQ	618
A4A 325 PQQL PQFQ EIRN LALQ TLPA		O IA 41 QQPF PQQP YPQQ PYPS QQPY	619 620
A1A1 333 EIRN LALQ TLPA MCNV YIPP	290	O IA 49 YPQQ PYPS QQPY PSQQ PFPT POOL 80	020
POOL 38 A 1A3 333 EIRN LALQ TLPS MCNV YIPP	201	O IA 57 QQPY PSQQ PFPT PQQQ FPEQ	621
A2A1 333 EIRN LALE TLPA MCNV YIPP		O 1A 65 PFPT PQQQ FPEQ SQQP FTQP	622
A3A1 333 EIRN LALQ TLPR MCNV YIPP		O 1A 73 FPEQ SQQP FTQP QQPT PIQP	623
A1A1 341 TLPA MCNV YIPP YCTI APFG		O 1A 81 FTQP QQPT PIQP QQPF PQQP	624
A1A3 341 TLPS MCNV YIPP YCTI APFG		O IA 89 PIQP QQPF PQQP QQPQ QPFP	625
A1B1 34; TLPA MCNV YIPP YCTI VPFG		O 1A 97 PQQP QQPQ QPFP QPQQ PFPW	626
A [B4 34] TLPA MCNV YIPP YCAM APFG	297	O 1A 105 QPFP QPQQ PFPW QPQQ PFPQ	627
A1B9 341 TLPA MCNV YIPP YCTI YPFG	298	O 1A 113 PFPW QPQQ PFPQ TQQS FPLQ	628
Puol 39		POOL 81	
A2A1 341 TLPA MCNV YIPP YCTI APVG		O 1A 121 PFPQ TQQS FPLQ PQQP FPQQ	629
AZB2 341 TLPA MCNV YIPP YCST TIAP		O 1A 129 FPLQ PQQP FPQQ PQQP FPQP	630
A3A1 341 TLPR MCNV YIPP YCST TIAP		O 1A 137 FPQQ PQQP FPQP QLPF PQQS	63 I
A3A2 341 TLPR MCNV YIPP YCST TTAP		O IA 145 FPQP QLPF PQQS EQII PQQL O IA 153 POOS EQII PQQL QQPF PLQP	632 633
A3B: 341 TLPA MCNV YIPP HCST TIAP A1A1 349 YIPP YCTI APFG IFGT NYR		O 1A 16; PQQL QQPF PLQP QQPF PQQP	634
A1B1 349 YIPP YCTI YPFG IFGT NYR		O 1A 169 PLQP QQPF PQQP QQPF PQPQ	635
A1B4 349 YIPP YCAM APFG IFGT NYR		O IA 177 POOP OOPF POPO OPIP VOPO	635
Poul 40	700	Pool 82	
A1B5 349 YIPP YCTM APFG IFGT NYR	307	O 1A 185 POPQ OPIP VQPQ QSFP QQSQ	637
A1B9 349 YIPP YCTI TPFG IFGT N		O 1A 193 VQPQ QSFP QQSQ QSQQ PFAQ	638
A2A1 349 YIPP YCTI APVG IFGT NYR		O LA 201 QQSQ QSQQ PFAQ PQQL FPEL	639
A2B2 349 YIPP YCST TIAP VGIF GTN		O 1A 209 PFAQ PQQL FPEL QQPI PQQP	640
A3A2 349 YIPP YCST TTAP FGIF GTN		O LA 217 FPEL QQPI PQQP QQPF PLQP	641
A3B1 349 YIPP HCST TIAP FGIF GTN	312	O LA 225 PQQP QQPF PLQP QQPF PQQP	642
A3B3 349 YIPP HCST TIAP FGIS GTN		O 1A 233 PLQP QQPF PQQP QQPF PQQP	643
A4D 350 IPPY CSTT IAPF GIFG TNYR	314	O 1A 241 PQQP QQPF PQQP QQSF PQQP	644
Pool 41	214	POOL 83	615
GIIA I7 GTAN MQVD PSSQ VQWP QQQP		D 1A 249 PQQP QQSF PQQF QQPY PQQQ	645 646
GI2A 17 GTAN IQVD PSGQ VQWL QQQL	310	O 1A 257 PQQP QQPY PQQQ PYGS \$LTS	1340

GIBA 17 ATAN MQVD PSGQ VPWP QQQP GIB 19 MN IQVD PSGQ VPWP QQQP FP GI4 17 ATAN MQAD PSGQ VQWP QQQP GI5A 17 TTAN IQVD PSGQ VQWP QQQQ GI5C 17 ATAN MQVD PSGQ VQWP QQQP GI7 20 QIVF PSGQ VQWP QQQQ PFP	317 O IA 265 PQQQ PYGS SLTS IGGQ 318 O IB ! ARQL NPSD QELQ SPQQ LYPQ 319 O IB 9 QELQ SPQQ LYPQ QPYP QQPY 320 O IC 1 SRLL SPRG KELH TPQE QFPQ 321 O IC 9 KELH TPQE QFPQ QQQF PQPQ 322 O IC 17 QFPQ QQQF PQPQ QIPQ	647 648 649 650 651 652
Pool 42 GII A 25 PSSQ VQWP QQQP VPQP HQPF GIZ A 25 PSGQ VQWL QQQL VPQL QQPL GI3 A 25 PSGQ VPWP QQQP FPQP HQPF GI4 25 PSGQ VQWP QQQP FLQP HQPF GI5 A 25 PSGQ VQWP QQQP FPQ PQQP GI5C 25 PSGQ VQWP QQQP FRQP QQPF GI6A 25 PSGQ VQWP QQQP FPQP QQPF	323 324 325 326 327 328 329	
GILA 33 QQQP VPQP HQPF SQQP QQTF	330	

^{*} Posición del resto en el terminal en la secuencia consenso

Tabla 24. 652 péptidos sintéticos y análisis ELISpot con pacientes y exposición al gluten

SUJETO CELÍACO	C14	C15	C16	C17	C16	C19	C20	021	C22	C23	C24	C25	C26	Ç27	C28
HLA-DO	22	t	ŀ		l i	i	2X	2X		2X	28		ĺ		
EXPOSICIÓN AL ANTÍGENO	TRIG					_ 22	ZX	2.7	ZV.	KV_	28	28	_	_	2X
	JIKIG	ì	. ا		1 -	_ ا	F_	Ι.,	١ ـ	١	١.	Ι.	CENT:	I	ا ا
DURACIÓN DE LA EXPOSICIÓN (DÍAS) SEC DEL ELISPOT DEL PÉPTIDO DOMINANTE		3		3	6	_ 3	3	3	3	0.5	3	1	.3	3	3
	203	46	96	195	114	136	29	57	129	259	50	18	163	52	229
SFC DEL ELISPOT DEL BLANCO	1	2	4	0.5) 3	1	1	4	3	2	1	2	1	2	6
	! <u>-</u> =		Ļ	1. 5			1	<u></u>		<u></u>			<u> </u>		_ 0
Péptido Secuencia	Ι	Γ	Г	<u> </u>	Γ.	··			T				Γ		
1 AVRIPVPOLOPONPSOCLPO	├──	 			 -						1.1.1.2		_		-
2 MANASA SA	 	-			-			 		- - -		-			
3MVRVPVPQLQPQNPSQQHPQ	 			-	· · · · · ·		1			1961940 1	· 15-1				
			+				-					 - -			
DECODESCOPOLICEMENTS AND A CONTRACTOR OF CON	 			 				 	_	 	 	535	-		, at 12
5 MVRVTVPQLQPQNPSQQQPQ	 		├─		-							w' =		\vdash	
6 AVRVSVPQLQPQNPSQQQPQ				_					 	<u> </u>					
7 AVRVPVPQLQPQNPSQQQPQ '	-		 				├		_						-
SAVRWPVPQLQPQNPSQQQPQ			-				ļ <u>.</u>		-			├			-
9Avra an a dirict din 52000 60		├	-	-	<u> </u>	-		:		48\$\\delta \cdots	jan et e				<u> </u>
10 MVRVFVPQLQLQNPSQQQPQ	-			-	_		_			дачода з	() () () ()	116	-		100
11AVRVFVFQFQFQNPSQFQFQ			 		_		-	 	 -	 		:: : <u>'``</u>		<u> </u>	
12 AVRVEVPQLQPKNPSQQQPQ		 - -		ļ .				_	 -	!				<u> </u>	-
13LOPONPSQQLPQEQVPLVOO		 -	-					 	ļ <u>.</u>						
14 LQPQNPSQQQPQEQVPLVQQ		_	<u> </u>	_			-	1	-	}		 		·	
15 LQPQNPSQQHPQEQVPLVQQ						<u> </u>		<u> </u>				<u> </u>		<u> </u>	
16 LQPQDPSQQQPQEQVPLVQQ			ļ		_			 				<u> </u>		. 7	ļ <u>.</u>
17 LQPQNPSQQQPQKQVPLVQQ	ļ		ļ		<u> </u>			<u> </u>				_		. 1	_
18 LOLONPSQQQPQEQVPLVQE	-			·			P5					<u>-</u>			_
19 LOLONESCOOPQEQV?LVGE	<u> </u>	ļ	<u> </u>	ļ	ļ	ļ.—.	****	ļ	ļ <u>-</u>	ļ	<u> </u>	<u> </u>		 	—
2D POPQNESQPOPOGOVPLVOO				_			<u> </u>		_			_		<u> </u>	
21 POPONESCEOPOROVPLVOQ			ļ	<u> </u>				 	<u> </u>			(mage of SV)			<u> </u>
22 LOPKNESCOOPQEQVPLVQO					ļ <u></u>									ļ. <u> —</u>	<u> </u>
23 LOPGINPSCOOPGEOVPLMOO							ļ								
24 QLPQEOVFLVQQQQFLGQQQ			ļ	_		<u> </u>	<u> </u>	<u> </u>	<u> </u>	=		<u> </u>			
25 QHPQEOVFIVOQQQFLGQQQ			<u> </u>	<u> </u>		<u> </u>		<u> </u>			·	ļ			ļ.,
26 OOFQEQVELVQQQQFLGQQQ				<u> </u>					ļ.,						e .
27 OOPQEQVPLVQQQQFEGQQO				ļ					ļ						
28 OOPOEQVPIVOOQOFFGOOO	ļ	<u> </u>	ļ	<u> </u>					<u> </u>			(A)		_	
29 QQ2QKQVPLVQQQQFFGQQQ							130	<u> </u>			ļ	Ь_			
30 0070 EQVPLVQE00F0G0QQ	- <u>-</u>	ļ						ļ. <u></u>				ļ			
31 POPOGOVPLVQQQQFPGQQQ							· ·		<u>.</u>						
32 PORONPLVOQQOFFGOOQ		· ·	L	L						ļ	,			<u> </u>	
33 QQPQEQVPLMQQQQQFPGQQ			<u> </u>				<u> </u>		<u> </u>		454.50				
34 LVQQQQFLGCQQPFPPQQFY]		<u> </u>			· -	<u> </u>			<u> </u>
35 LVQQQQFLGQQQSFPPQQPY				<u> </u>	ļ				<u> </u>			<u> </u>		<u></u>	
36LVQQQQFLGQQQFFPPQQFY	ļ,											<u> </u>			
37 LVQQQQFPGQQQFFPPQQPY				ļ			•	<u> </u>						<u> </u>	<u>L</u>
38 LVQEQQFQGQCQPFPPQQPY			ļ						<u> </u>						
39 LVQQQQFPSQQQQFPPQQPY															
40 LMQQQQQFPGQQEQFPPQQP			<u> </u>						L.						
41 LMQQQQQFPGQCERFPPQQP															
.42 GQQQPFPPQQPYPQPQPFFS															
43 GQQQPFPPQQPYPQPQFPSQ				2007 ji											, e

44	GOOGSEPPOOPYPOPOPFPS		l			1]	1	
	SQQQFFPPQQPYPQQQPFPS				_		1			1	ļ -	-	\$ B.			
	GQQCQFFPQQPYPQPQPFPS	1		_							-					1 -
	GQCEQFPPQQPYPHQQPFPS	ļ -		-			<u> </u>	<u> </u>	_	·	_		†			-
1	GOOERFPPOOPYPHOOPFPS	 			\vdash				i – –				+-		1	
	QCFYPQPQPFPSQLPYLQLQ		1						† <u> </u>				 	ļ —		+
	QQFYPQPQFFSQLPYLQLQP	·				_	† –		 		<u> </u>	 - -	 	 	 	
	COPYPORORFPSOOPY1.DLQ	+	†	-		-	<u> </u>	 	 	├─	 	 	-	 		
1	OCEAROOOELESOOFANOTO	 	-	-	 -			 		 	 					-
	QQPYPHQQPFPSQQPYPQPQ	1-	-	-					_	-	-	 - -		ir A		
I	PEPSQLEYLQLQPEPQPQLP	 	 	 -	` -		-	 	 -	 	_		 	 		
1	PFPSQQPYLQLQPFPQPQLP	 	-	_	 			 	1 -	<u> </u>		-	\vdash	 		+
	PFPSQQPYLQLQPFSQPQLF	 	 -		 -	 			<u>├</u>	<u> </u>	 	 -	 -	 		-
		 		-	 -				 -	 	ļ. 		┼-			-
	PERSONNEL OF OPER OPER			ļ	├		 				├		 	 -		
	PFPSOOPYLOLOPFLOPOFF	1		AT.	 -			 	-	 -			├─-			+-
	PPPSOOPYLOLOPFPOPOLP	+		Dipl 'S	 -		 		-			-	 		ļ <u>.</u>	-
	PFPSQQPYMQLQPFFCPCLP	+		-		+-		<u> </u>	 	 			+ -	-	<u> </u>	-
	PFPSQQPYMQLQPFPQPQPF	-			 						 - -	⊢-	 	₩-	<u>'</u>	
	PFPSQQPYLQLQPFPQPQPF	- 38			 			<u> </u>		 		 -	-		 -	
	FFPSQQPYLQLQPFPRPQLP	-		_		├	 	 -			-	<u> </u>	├			┼
	PFPSQQPYPQPQPFPPQLPY	-			}	 	 -	 -		<u> </u>	 	! 	ļ <u>-</u>	ļ <u>.</u>	 	-
	PFPSQQPYPQPQPFPQPQPF		*		<u> </u>	2,307	la artisti		<u> </u>	- 33			 -	1 100.00	<u> </u>	1 1 1 1 1 1 1 1 1 1 1 1 1 1 1 1 1 1 1
66	LQLQPFPQPQLPYSGPQPFR		1.17			7-19 17-20	100		1 447				 	52	<u> </u>	
	LOLOFFFOFOLPYSOFOOFR				ļ	1: [新 7]		100	_	15. T 10.5			<u> </u>	e . m. 10.	ļ. <u>.</u> _	
68	TOTO525060T5ATC505gg	7.325		(3)	<u> </u>	<u> </u>		3 %		1/2*	<u></u>	<u> </u>		1285		
69	LOLOPFPOPOLSYSCEOPER	4:01		赮	ļ <u> —</u>	<u>!</u>		<u> </u>		聖月	Derin.		ऻ—	ļ	ļ	of que
70	LQLQPFSQPQLPYSQPQPFR				(1000) (1000) (1000)	· 			<u> </u>	ļ		<u> </u>	<u> </u>	ļ		1
71	LOLOPFLOPOLPYSOPOPFR	100	<u> </u>		AP Sent	<u> </u>		<u> </u>		ļ	41 mg	<u> </u>	ļ	ļ <u>.</u>		` ,
72	LQLQPFLQPQPFPFQLPYSQ	. 25	-12.4.1						· 6:				ļ.,	<u>.</u>		ļ.—
7.3	TÖTÖBLBÖBÖTBABÖBÖTBA	Ser Maria	图数:			75) 	i Lighton		36	1.36	1		<u> </u>
74	MOLOSESOBOLDABODOLDA					- 11 <u>0</u>	****							5 <u>4</u> [i /#:
7.5	MOTOSEPOROPERPOTBARO			, .(``				g - 5		14 i						<u>l</u>
76	LQLQPFPQPQLFYPQPQPFR					447						2.4				<u> </u>
77	LQLQPFPQPQPEPPQLPYPQ	100					150°		<u> </u>			<u> </u>	<u> </u>	<u> </u>		
78	LOLOPFPRPCLPYPOPOPFR	1			1: 1.		N F ()						<u> </u>			
1 15	TOTOBLEGEGE FP60Tbabo	. 0	1 2 2			18		2286	Ĺ			<u> </u>	<u></u>	<u></u> _		Ĺ
80	LQLQPFPQPQF <u>F</u> PPQLPY <u>PQ</u>	: N T ()					. *.	w. ₹ ; .				1/2	7			
81.	FQPQPFPPQLFYPQTQPFPP		Ĺ					*-	ĺ	<u>[</u>				Γ.		
62	POPOPFPOPOFFPPOLPYPO	ļ .	[<u> </u>						ļ —	- 4		N- 8				
83	PQLPYSQPQPFRPQQPYPQP				1		1.562		Ī		Ĺ		Ĺ			
F. 4	POLPYSOPCOFRPOOPYP <u>O</u> P									海鱼				1		
	PQLPYLQPQFFRPQQPYPQP															
	PQLSYSQPQFFRPQQPYPQP								ļ .	_						
	PQLSYSQPQPFRPQQLYPQP				<u> </u>			٧.			. 7.	_	<u> </u>			ļ
	POPEPPOLPYSOPOPERPOO					i	AL.	1,1					_			
	BOTBABOBOTBABOBOTBAS			-									1.37	-		
-·	t due 11 de 510 februar de 610 februar de						13186131		100			s! 0				
] avi	POLEYPOROLPYPOPOPERP			18 S. W.	i	344			HETO-RINE				REINE N		-	
	POLPYPOSCLPYPOPOLPYPOP		- 507-													
91	SÖBEBBÖTEKBÖBÖTLALÖB									_						
91 92	PÖTBABÖBÖBEBBÖÖBABÖB BÖTBABÖRERBÖÖBABÖB				· · · ·	- ;i.				- -		Lay				
91 92 93	BODE BEGTEA EG BODE ABGODE AS BODE BEGTEA BODE ABGODE ABGO				 							- 17				
91 92 93 94	Boberbotrakoberrado Botrakoboberbobarado Botrakoboperboorado Boberbotrakobotratob				5. 27. 28.	12 jl				71		- 10				
91 92 93 94 95	SOBELFOTBARGEOFARGO FOTBARGEOFERSOO BOBEBEOTBARGEBERSOO BOBEBEOTBARGEBERSOO BOBETFOTBARGEBERSOO BOBETFOTBARGEBERSOO BOBETFOTBARGEBERSOO BOBETFOTBARGEBERSOO BOBETFOTBARGEBERSOO BOBETFOTBARGEBERSOO				- S.		To the second					- 11				
91 92 93 94 95	bőbebbőtbabőbebbedő bőtbabőbbebbőbabegő bőtbabőpebbőbabóbabő						Taring S	jej)					1			

0.0	T DVDCCCODEDOCCOD	l I	- 71]		1	- - -			ı	1 1	- '.					
	LPYPQPQPFRPQQPYPQSQP	-				115-1			 					_		
· · _ 	TAXBOBOBLEBBOORA BOBOD	-			-	1		-		<u> </u>	· · · · ·				_	
	LPYPCPPPFSPQQPYPQPQP				-	<u> </u>				ļ <u>.</u>	·					<u></u>
102	LPQLPYPQFQSFPPQQPYPQ				ļ				<u> </u>					<u> </u>		ļ
103	PPQLPYPQTQPFPPQQPYPQ			<u> </u>				_								
104	QPFRPQQFYPQPQPQYSQPQ				ļ.,,,											
105	QPFRPQCLYPQPQPQYSQPQ														L	
	QPFRPQQPYPQSQPQYSQPQ				ļ		_	_							,	T
	OPERPOCSYPOPOPOYSOPQ		13.			1										_
	PPFSPQGPYPQPQPQYPQPQ				 			Jan.			· ···			-	_	-
	QSFPPCCPYPQQRPKYLQ?Q				\vdash					Ì				g():	7 7	-
	OSEPPOCPYPOORPMYLOPO															-
					├──			<u> </u>						_		
	QSFPPQGPYPQQQPQYLQPQ			-				_	_					340		-
	Ober bod	 			├				-		-			2009 1000 1000	_	
	YPOPOPOYSOPOOPISOCOO				 	n ::			<u> </u>			10.10 .0 0		143.0) (s. p)
114	YPQPQPQYSQPQRPISQQQQ	<u> </u>			ļ	<u> </u>		<u> </u>		<u> </u>				1867. 1		
115	YPOSOPOYSOPOOPISOOOO	·			<u> </u>											
116	YPQPQPQYPQPQQPISQQQA														_	
127	YPQQRPKYLQPQQPISQQQA			<u> </u>										<u>.</u>		
118	Y PQQRPMYLQPQQPISQQQA					i]					· !	L	<u> </u>
119	YPQQQPQYLQPQQPISQQQA		<u>.</u>		<u></u>											
120	SQFQQPISQQQQQQQQQQQQQ											1425/15 -				F
	SOPOEPISCOOOOOOOOOI							<u> </u>								
	POPOOPISCOOAQQQQQQQQQ		_							\vdash		- : · :				<u> </u>
	00000000000000001100	_										-		\vdash		16
					<u> </u>				 	1	2000 1850				-	
	0000000000000001F00			 	}	 '							\vdash		├	197
	000000000000000000000000000000000000000	-			├						 				—	
	ODODOOOOCKOOOOOOT	<u> </u>			├					-			 -	 	<u> </u>	
127	AQQQQQQQQQQQQTLQQ			<u> </u>		- 4				-			<u> </u>	<u> </u>	<u> </u>	3 %
128	47.100011001100001.1P			ļ	╄									<u> </u>	<u> </u>	
129	OQQQQEQQTTQQTLQQQLIP					<u> </u>				<u> </u>				ļ		
130	QQQQQEQQILQQMLQQQLIP		L. <u>-</u> -		_				ļ <u>.</u>							ļ
131	QQQQQEQQIIQQIIQQQLTP					j !			<u>L</u>			i an di	Ĺ			
135	000000001100110001P	-				ł (1		100	l			<u> </u>
	OOKOOOOOOOIILOOILOOO															
	QQQQQQQILPQILQQQI.IP															
	OOOOOOOTLCCILOCOL P		_		T				ļ				_			
	ITÖÖITÖÖÖLIECMDAATÖÖ	<u> </u>	_	\ \.					ļ .		-	- - -	ι -	├	-	 - -
		_				1	_	1				\vdash		\vdash		
	ILQQMLQQQLIPCMDVVLQQ		·		 		_	-		 		!	-	-	-	1-
	ILQQILQQQLTPCMDVVLQQ	-			-	-		<u> </u>	ऻ				 -			<u>' — </u>
	ILOQILQQQLIPCRDVVLQQ		<u> </u>		-			_	-		_		-		 -	-
140	11PO11QOOLIPCRDVVLOO		<u> </u>	ļ	 			 	}	 	<u> </u>		 	├-	⊢ −	+
141	TLQQILQQQLIPCRDVVLQQ			ļ	ļ	1,500			<u> </u>	_		·	├-	ļ_	<u> </u>	<u> </u>
142	QLIPCMDVVLQQHNIAHGRS		<u> </u>		<u> </u>				<u> </u>	10.73				<u> </u>		<u> </u>
143	QLIPCMDVVLQQHXKAHGRS						_	,				<u> </u>	<u> </u>		· .	
144	QLIPCMDVVLQQHNLAHGRS				<u> </u>			•								<u> </u>
	glrecmbvvlqchnivhgRS								L				L_"		L	<u>L_</u>
	QLTPCMDVVLQQHNIARGRS															
	QLIPCMDVVLQCHNTVHGKS				1			T						Γ		T
 -		Ι .			<u> </u>	 		-	<u> </u>	1	 	!	-		1	† – –
	QLIPCRDVVLCCHSIAYGSS				+-	-	-	 	\vdash	1 -	 	 	 -	\vdash	 - -	!
	OLIPCRDVVLGQHSIAHGSS		 	 	1	-		 	 	 	 		-		-	i
	QLIPCRDVVLQQIINIAHGSS	 -			 	-		_		 	 		 -	-	-	
151	QLIPCRDVVLQQHNIAHARS	<u> </u>		<u> </u>			_		 	 	<u>: </u>		<u> </u>			₩
152	OLIPCROVVLQQHNIAHASS	<u> </u>	<u> </u>	<u> </u>				 -	 	 	ļ		<u> </u>	<u> </u>	⊢ –	<u>:</u>

154	VLQQHWKAHGRSQVLQQSTY															
155	VLQQHNLAHCRSQVLCQSTY															
156	VLQQHNIVHGRSQVLQQSTY			\Box			Ţ,			_						
	VLQQNNI ARGRSQVLÇQSTY															
	VLQQHNIVHGKSQVLQQSTY						_			_						
	VLQQHSIAYGSSQVLQQ5TY					- ''				_						_
	VLQQHSIAHGSSQVLQQSTY	1				_			_							<u> </u>
	VLQQHNIAHGSSQVLQESTY	1.			_			152								
	VLQQHNIAHARSQVLÇQSTY	<u> </u>													_	_
_	vloohniahassovloosty	 												-		 -
	VLQQHNIAHASSQVLQQSSY	+		_											-	<u> </u>
	HGRSQVLQQSTYQLLQELCC	+-														 -
	MGRSQVLQQSTYQLLRELCC				·				<u>. </u>							-
	HGRSQVLQQSTYQLLRELCC															7.7
	HGKSQVLQQSTYQLLQELCC	+ -	-					— —	_		<u> </u>					 - '- -
1			_	-		 -										5 17
	YGSSQVLQQSTYQLVQQLCC HGSSQVLQQSTYQLVQQFCC															
	HG\$\$QVLQESTYQLVQQLCC	 	_						\vdash							<u> </u>
	HARSQVLQQSTYQPLQQLCC	+			-											
	HASSQVLQQSTYQLLCQLCC															
	HASSQVLQQSSYQQLQQLCC	+	<u>797.</u>			i —	 '				22 2		 		l	i
		+	-						-			_	-			7 - 2 mg
——	OSTYOLLOELCCOHLWOIPE OSTYOLLRELCCOHLWOIPE					. 74	_				- Ny				<u> </u>	A .
	 	+	·							_	- 1	-	-			7
	OSTYQLERELCCQHLWQIPE	_		-	_			, 77	-	_						-
_	OSTYOLVOOLCCCOIWOIPE	·		·· 			617				:					:
	QSTYQLVQQFCCQQLWQIPE	 					<u> </u>	-		<u>-</u>						
	OSIKOBTÖÖTCCÖÖTMÖJ ER	+	To.			<u> 587 (5.</u>			<u> </u>	-			ļ			pet _r ee
	OSTYQLLQQLCCCQLLQIPE	· i	^							-	<u>!</u>		-			<u>: </u>
	QSSYQQLQQLCCQQLFQ1PE					<u>.</u>		100.1					\vdash			WO.
	ELCCONLWQ1PECSCCOA1H	'		├─ ─┤				·	-	-			-			1.377
	ELCCOHLWQILEQSCCQAIH	: 	-			7,37	-				4.4		_			.::39°:
	ETCCOHTMOISEKTÖCOYIN	;				` : '	-				40.05	 				
	QLCCQQLWQ1PECSRCQAIR	<u></u>						·		<u> </u>	!	<u>_</u>				
	OFCCOOLWOIPEOSRCOAIH	1						_		_						1
	QLCCQQLLQIPEQSRCQAIH								├—	<u> </u>	<u> </u>		 -			
	GLCCQQLLQIPEQSGCQAIH	<u> </u>		 		_ <u>-</u> -			ļ	_		<u> </u>	_			<u>!</u>
	QLCCQQLFQIPEQSRCQAIN		≥ [™] .					<u> </u>	 		<u> </u>		<u> </u>		ļ—	
	QIPEQSQCQAIHNVVNAIIL	 						 -	-	<u>. </u>		ļ .		٠	-	-
	QIPEQSQCQATQNVVFAIIL	+		 				<u> </u>	├—		<u> </u>					ļ <u>.</u>
	OLLEOSOCOAIHNVVHAIIL	-								_		 -	-	<u> </u>	ļ —	<u> </u>
	OT DE OSOCOATHKVVHTIT	┼──					<u>-</u>	├─	-	-			<u> </u>		<u> </u>	
	QIPEKLQCQAIHNVVHAIIL	 				<u> </u>				_						-
	QIPEQSRCQAIHNVVHAIIL	 		<u> </u>									-			_
	QIPEQSQCQAIHNVAHAIIM	-		ļ					-				-	<u> </u>		_
	QIPEQSKCQAIHNVVHAIIL	+				ļ			<u>_</u>	_			<u> </u>		├—	₩
1	QAIHNVVHAIILHQQQKQQQ			_		<u> </u>		<u> </u>	ļ .				 -		ļ <u> </u>	_
200	ONTANANHIITHOOOOKOO		<u> </u>	<u> </u>			<u> </u>		<u> </u>		-	<u> </u>	-	<u> </u>	_	-
	GWI ÖNAAHWIITHOOOKOOO	-		 		<u> </u>		<u> </u>	-	_	-				<u></u>	ļ
202	QAIYKVVHAIILHQQQXQQQ		!	<u> </u>						_	<u> </u>	<u>!</u>			<u> </u>	ļ
203	QQQQQQQHIIIAHVVKHIAQ	┿.		 	<u></u>	<u> </u>	ļ <u>.</u>	<u> </u>	<u> </u>	ļ <u>.</u>	ļ	<u></u>	10000			<u> </u>
204	QAIHNVVHAIILHQQHHHHQ	<u> </u>	ļ	<u> </u>		L	!		ļ						 	<u> </u>
				ı 1		1	I	ı	ı	Į	ı	1	1 .	I	1	i
205	QAIHNVVHAIILHQQQRQQQ	ļ	<u> </u>	 		ļ	 -	-	 	-	 	. —			_	-
	QQQRQQQHIIIAHVVKEIAQ QQQQQQQHMIIAHVVKEYAQ		- 													
306												-				

						. ,										
209AIILHQQQKQQQQPSSO	VSF															
210 AIILHQQQQXQQQQPSS	QES														Ī	
211AIILHQQQKQQQQLSSQ	VSF															
213/AIILHQQQKQQQPSSQV	SFQ		. "					[_		, —
213 ALLHQQQQQQQQQQQXQQ							_									
214 ATTLHQQQQQQQQQQQQQ	PLS	,														
215АТТЕНООННИНООООО			· · · -									$\mathcal{L}_{\mathrm{obs}}^{\mathrm{diff}}$				
216АІІІНООНИННОЕОКОЭ															i	
217 AIILHQQQRQQQPSSQV		_											13.4	-		-
218 ATTMROQEQQQQLQQQQ						21 21			-		13.0				ļ	
219 ATTMHQQQQQQQCQEQKQQ								_								
220 AIILHHHQQQQQQPSSQ												· '		-		
221KQCQQPSSQVSFQQ?LO							_					-				
222KQCQQPSSQFSFQQPLQ				j							_		-			<u> </u>
223KQCQQLSSQVSFQQPQQ			- 1											_		\vdash
224 KOQOPSSOVSFOOPOOD		-					_	_							Ι .	
225 QQQCEQKQQLQQQQQQQ					<u> </u>									-		
226HHHCECKQQLQQQQQQQ		_			<u> </u>			_								
227RQQCPSSQVSLQQPQQQ		_	_			·			-		_					-
228 20001000000010000			7.				-		"			.3				i
229 OOQCCPSSQVSYQQPQE								<u></u>								
23001000000000100000			_			18		2032								
537 000F00000k00000bss					_			<u> </u>		_		_ 			-	\$~(@)~
232 QQQQQQQQQPLSQVSFQ		- 1 . Sept.	7.73					\vdash						_		
233 000000000PLSQVCFQ			1			. `					100					1
234 IIHIIQQQQQQQQQPLSQ		T				<u></u>	_	_				,				
<u> </u>							<u>.</u>		 		- <u>20</u>					-
235 QQQQQQQQQPSSQVSFQ					_				-							
236 OPLSOVSECOPOGYPS								\$								
237 QPLSOVCFCQSQQQYPS								352							<u> </u>	
238 OPSSQVSFQQPQQQYPS		\dashv	-													\vdash
239QVSEQOPLOOYPLGOGS			-	-										_		\vdash
240 QF3FQQPLCQYPLGQGS		_	72.5											Jr. (0)		\vdash
241 QVSFQQPQCQYPLGQGS			· · -			77,55			-					·		$\vdash\vdash$
242 OVSFOOPOOOYPSGOGS																\vdash
243 OVCFOOSOOOYPSGQ65									\vdash					_	-	
244QVSFQQPQQQXPSGQGF		·						<u> </u>								
245 QVSFQQPQQQYFSGQGF		¦						-	ļ <u> </u>							<u> </u>
246QYSLQQFQQQYFSGQGF		_				i	<u> </u>									<u> </u>
247 QYSFQQPQQQYPSSQVS						 		<u> </u>	 					<u> </u>		<u> </u>
248 QVSFQQPQQQYPSSQGS		i			-						[Day/]					L., .
249 QV6YQQPQEQYPSGQVS											_					<u> </u>
250 QQYPLGQGSFRPSQQNP		:						<u> </u>					<u> </u>		<u> </u>	$\vdash\vdash$
251 QQYPLGQGSFRPSQQMS						 										\vdash
252 QQY 250QGSFQP8QQNP										•	1991					
253QQYPSGQGFFQPSQQNP			. 5.1			[S									<u> </u>	3, 1, 1,
254 QQYPSGQSEFQPFQQNP			آگي. کڏيڪ				_	.27			_	-				$\vdash\vdash$
255 QQYPSGQGFFQPSQQMP																
256QQYPSSQVSFQPSQLNP		_				$\vdash \vdash$		ļ	ļ							
257 QQYPSSQGSFQPSQQNP				-				<u> </u>					<u> </u>			
258 EQYPSGQVSFQSSQQNPG											_					
259SFRPSQQNPLAQGSVQP							_				 :	nisact of			-	$\vdash \vdash \vdash$
260 SFRPSQQNPQAQGSVQP								<u> </u>	$\vdash \vdash \vdash$			贈網				$\vdash \vdash$
261 SFRPSQQNPQTQGSVQPQ	QQL					<u> </u>		<u> </u>	\sqcup			47.7				
262SFRPSQUASQAQGSVQP								<u> </u>	ļļ						<u> </u>	Litta e
263 SERPSQQNPQDQGSVQP	TOT				<u></u> .				<u>Lİ</u>				<u> </u>			爬方

1 55.		1		ı	ı	I		i	l	ı	l	j	I	1	ı	1
	SFRPSQQNPRAQGSVQPQQL	-	:	ļ <u></u>					-			1	1 13		 -	
	STOPSOONPOAGGSVOPOOL	-								_		<u>: </u>			<u> </u>	<u> </u>
266	FFQFSQQNPQAQGSFQPQQL	<u> </u>					7277		ļ			ļ				<u></u>
267	FFQPFQQMPQAQGSFQPQQL			L			:			ļ						
268	PFQPSQQNPQAQGSVQPQQL	ļ							<u> </u>	<u> </u>						
269	SFQPSQLNPQAQGSVQPQQL															
270	SFQPSQLNPQAQGSVQPQQL									1						
271	SFOPSQQNPQAQGSVQPQQL															
272	SFQSSQQNPQAQGSVQPQQL				_							J'''.	_			
	POAGGSVOPOOLPOFEETRN								i							
	POTOGSVOPOOLPOFEEIRM															
	PQAQGSVQPQQLPQFEIRNL		1	<u>-</u>			<u> </u>		 					-		
	PLAQGSVQPQQLPQFEETRN												_	-		_
	PODOGSVOPOCLPOFEEIRN		· 						١.				-			
		···		\vdash			-	_					-			
	PRAQGSVQPQQLPQPEEIRN	 	<u> </u>	\vdash					 		_		-			
	PQAQGSFQPQCLPQFEETRN									-						
	PQAQGSFQPQCLPQFEALRN	├─		<u>_</u>			-	_	 	-		-				
	POAOGSVOPCCLPOFAEIRN		_		_		-		\vdash	 -					<u></u>	
	POAOGSVOPCOLPOFOEIRN		<u></u>													-
	PQQLPQFEEIRNLALQTLPA		* + 3, .						-					_		
	POOLPOFEIRNLALOTLPAM	-				ļ <u>.</u>			ļ				<u> </u>			<u> </u>
285	POOLPOFEEIRNLARK					<u>.</u>			<u> </u>	ļ						-
286	POOLPOFEEIRNLALETLPA	ļ <u> </u>											- 5			
287	POOLPOFEAIRNLALOTLPA	ļ												ļ <u>.</u>		<u> </u>
288	POOLPOFAEIRNLALOTLPA															
289	POOLPOFOEIRNLALOTHPA	ļ							<u> </u>							
290	EIRNLALGFIFAMCNVYIPP	ļ <u>.</u>								<u> </u>					<u> </u>	
291	EIRNLALOTI PSMCNVYI PP				· _											
292	EIRNLALETLPAMCNVYIPP							٠.						L		
293	EIRNLALQTLPRMCNVYIPP											,				
294	TLPAMCNVYIPPYCTIAPFG															
295	TLPSMCNVYIPFYCTIAPFG			į												
296	TLPAMONVYIPPYCTIVPYG		Ţ,									<u> 1</u>				prostaji i
297	TLPAMCNVYIPFYCAMAPFG															
	TLPAMCNVYIPFYCTITPFG															
	TLPAMCNVYIPFYCTIAPVG												· · · · ·			
	TLPAMCNVYIPFYCSTTIAP												$\overline{}$	i		
_	TLPRMCNVYIPEYCSTTIAP															
	TLPRMONVYIPEYCSTTTAP							$\overline{}$			_			\vdash		
	TLPAMONVYIPEROSTTIAP		(20 to 1								200					
	YIPPYCTIAPFGIFGTNYR	ļ	,								J					
	YIPPYCTIVPFGIFGTNYR							1.			<u> </u>			\vdash		
	YIPPYCAMAPEGIFGTNYR								\vdash	-	<u> </u>		_			
			-								<u> </u>		 	-	 -	
	Y LODYCHMAPFGIFGTNYR	 			<u> </u>					-	 	 		_	<u> </u>	
	YIPPYCTITEFGIFGTN				_			<u>' </u>	<u> </u>		İ				 	
	YIPPYCTIAPVGIFGTNYR	ļ			<u> </u>				_		l		ļ		<u> </u>	
	YIPPYCSTTIAFVGIFGTN	<u> </u>	·						<u> </u>		!				-	
	YIPPYCSTTTAPFGIFGTN	-						:			 				<u> </u>	
	YIPPHOSTTIAPFGIFGTN		· ·					· · · ·	_	ļ	l	-		ļ	<u> </u>	<u> </u>
	YIPPHCSTTTAFFGISGTN	-								-		-	_		ļ	
	I PPYCSTTIAPFGIFGTNYR	 								 		<u></u>		<u> </u>		2
	GTANMOVDPSSCVOWPOOOP	-						<u></u>			<u> </u>	 		<u> </u>		
316	GTANIOVDPSGCVQWLQQQL	-				ļ			<u> </u>		! !			ļ		
317	ATANMOVDPSGCVPWPQQQP							` .		ļ		ļ			L	ļ
318	MNIQVDPSGQVPWPQQQPFP	L	L							<u> </u>			<u> </u>			

210	AMANIMOS DECONTOMBOS OR	1			ı			1	I	1		[1	<u> </u>		
	ATANMQADPSGQVQWPQQQP	+				2 16	_			+-	1 640		 	_	100	
	TTANIQVDPSGQVQWPQQQQ			 -	ᅱ				-	 	 - -	 	├	├		1000
	ATANMOVDPSGOVOWPOOOP		$\vdash \dashv$							+	<u> </u>			 	المطبلية	de
322	QIVFPSGQVQWPQQQQPFP	+								+	<u> </u>	Mar.	Ь.		ing the free	. \$
323	PSSQVQWPQQQPVPQPHQPF	<u> </u>			\dashv	40						<u>. </u>	<u> </u>	<u> </u>	7.47	<u> </u>
324	PSGQVQWLQQQLVPQLQQPL	ļ <u>-</u>								ļ	. 4					<u> </u>
325	PSGQVPWPQQQPFPQPHQPF									<u> </u>			<u> </u>			<u> </u>
32 5	PSGQVQWPQQQPFLQPHQPF		<u>l</u> . I							<u></u>		<u>L.</u> .		1	7. 4	1
327	PSGQVQWPQQQQPFPQPQQP										经数	100			1	15
328	PSGQVQWPQQQPFRQPQQPF														, -	
	FSGQVQWPQQQPFPQPQQPF	1.	1 4				47.5		:		_		· · ·	48	.:::	<u></u> -
	CCOPVPOPHOPFSQOPCOFF								``	1 -		1		×		Ī
	COCLVPOLOOPLSOOPOOTF	1			$\overline{}$			-		1				 		
	OCCPFPOPHOPFSOOPOOTF	 	 		\neg					1	-	1	 	\vdash		+-
		+		\rightarrow	\dashv					┼─		├─	 -		70 % 10 %	- 17
	OCCEPTOPHOPFS002001F	(jqu		-	\dashv			_						in allinin		
	CCCCPFPCPCCPFSCCPCCI		July 21		100		34.5	×	-	7.3					3.7	(4)
	QQQQPFPQPQQPQQPFPQPQ	107	35		387		in.			-	- -	i Ni	L	200	37	- 55
336	DOGE EROPOOPFY QOPOHTE						= 1.00			ļ	ļ <u>.</u> -	ļ	ļ	<u> </u>	<u> </u>	 ,
337	QQQFFPQPQQPFCQQPQRTI	نَّهُ ذَٰذِ					agma) ¹³	1		- in th		P.L.	ļ <u> </u>		ļ	
338	QQQPFFQPQQQPFCEQPQRTI	ļ		:				<u> </u>	<u> </u>	<u> </u>						
339	HQPESQQPQQTF2QPQQTFP	<u> </u>									زيين		<u>. </u>		2,8%	
340	QQPLSQQPQQTFPQPQQTFP											1.1	<u>L</u>	10	in hi	1
341	HOPFSQOPQQIFPQPQQTFP	-					-	1								3.7
342	QQPFSQQPQQIFPQPQQTFP			<u> </u>	,	11. 重		£i.						# ()		350
	QQPCCPFPQPQQPQLPF?QQ		3.0		1.2	agdŠ	·		7	10.50		60		2411	12.5	
	ооргуооронтгророотсг	<u> </u>								Ť	<u>.</u>			37,733	\vdash	364
	QQPECCQPQRTIPQPHQTFH				\neg				 		\vdash	Η.		1		1
	QQPECQCPQQYIPQPHQTFH				\neg						_				 	
	I	1	-							+-		1-	一		-	
	OOPFCECPORTIPOPHOTEN	1000				·		\vdash			, # 137		╁─	2 7/2 X	. 33400	\$ F _
_	QOTFPQFQQTFPHQPQQQFP	1 3/4	-	-	(30g) 4 g)			Me ey	1			-	7.78 (8)			3 - 1=1
	QQTFPQFQQYYYPHQPQQQFP	4.59	. 3		4 3					├—	<u> </u>		13/ 1	A2407	42	
	QQIFPQPQCTFPHQPQQAF?							- :48	 	├	i	 	 	635941 V	TI AGE	ļ
351	ORTIPCEHOTFH#QPQQTFP			 	\dashv	n na Vijet		.75.7.42	_		- <u>al</u>	·	-	1000	2 K 1984	,
352	OLEBHÖEÖÖYLBÖRÖĞTREH		<u> </u>			,		42		ļ		<u>i' </u>	<u> </u>	000	10 1 1 1 1 1 1 1 1 1 1 1 1 1 1 1 1 1 1	.97
353	отенновоствеороогурн	ļ								ļ			<u> </u>	5-3		
354	отгиноростгрорготурн								<u> </u>	<u> </u>			2		Fà	N.
355	QAFPQPCQTEHHQPQQQFPQ					?		7. P. St.			it right.					
356	QHTFPQPQCTCPHQPQQQFP							, ,					1 4 4	ا ۽ " ي	1	1
357	ОТЕРОРОСТУРНОРОСОГРО				1				1		1				5.20	1.
	CALE-NO DE LA PHOSO DE LO CALE		-					6 ye.				İ		7-	48	
	QTFPHQPQQCFPQPQQPQQQ	10-21	:									1		7.45		
	QTFPHQPQQCVFQPQQPQQP				\neg			, sa.			_		\Box		_	1
	QTFPHQPQQQFSQPQQPQQQ	9.8								1-		3 -555 V				\vdash
	QTCPHQPQQQFFQPQQPQQP					\neg		\vdash		┼┈─	_	· · · * ·		<u> </u>	<u> </u>	†
					\dashv				_	\vdash						+
	QTYPHQPQQQFPQTQQPQQP		\vdash	-	\rightarrow					┼─		├	 	 	}. 	
	COTPOPOOPCOOFLOPOOPF	 	 	-				 	<u> </u>	 		 -	 	├─	 	+
	OOVPOPDOPDOPTLOPOOPF			+	-				-	+	<u> </u>	 	-	<u> </u>		+
	QQFSOPOOFQQCFIQPQQPF			<u> </u>					_	\vdash		├—	—-			+-
367	QQFPQPQQPQQQTLQPRQFF	-			_			ļ	ļ	-	-		<u></u>	67V., U	<u> </u>	
368	QQFPQPQQPQQPFPQQPQQQ			\perp	_			. "	<u> </u>	<u> </u>			<u> </u>	* (40. V	4 .	<u> </u>
365	QQFPQTQQPQQPFFQPQQTF	ينـــــا						<u> </u>	ļ	ļ		100	<u> </u>			J. 19.
	POOOFLOPOOPFPOOPOOPY							L				<u> </u>				
370		5	1 7							1		1		1.19	46.	757-
	PQQQFTQPQQPFPQQPQQTY	T On			I					1						
371	PQQQFTQPQQPFPQQPQQTY PQQQFTQPQQPQCTYPQRPQ				',	7						X				

374 POOPFPOOPOOFPOPOOPO		1	ł		· · · ·		I	İ				ļ			
375iPQQPFPQPQQPUQPFPQPQQ	10.7							ř.	· -				7- 10-	_	8 1
376 PQQPFPQPQQTFPQQPQLPF	+ :	_	 		 	ر در تات	ļ	 	 		500 V.S.		 	<u> </u>	
	·)I	1	l	 			<u> </u>			مند			dig:	ļ. —	KON I
377 POOQFPQPQQPQQPFPQQPQ			Ė	├	1 29 9		-	 			: · · · ·		(S.18)		Y: 43
378 QQEQQPFPQQPQQGFPQPQQ			-		-			ļ.—	 				15-7-3		·
379 QQPQQQFPQPQQPEPQP		145		 			17(5.4)		1 22	"	e Noviee			<u> </u>	<u> </u>
380 QPQQPQQPFPQPQQPQLPEP		, (FC)	-	j	ј				la partir	supy i	\$ 0.5°				<u> </u>
381 QQFFPQQPQQPYPQQPQQFF		<u> </u>							2 7 10		10% (AL)			7 776	<u> </u>
382 QQPFPQQPQQPFPQTQQPQQ		<u> </u>	ļ		- , ,)			<u>:</u>	ļ		X.85			* \$ ₹	
333 QQPFPQQPQQTYPQRPQQPF			L	ļ <u>.</u>				ļ	↓				Partie		<u> </u>
384 RQPFPQQPQQ2YPQQPQQPF				ļ	<u> </u>						100		(A)		<u> </u>
385 00 PFP0 P00 P0 PFP00 P00											100			.14	
386QQFFPQFQQAQLPFPQQPQQ										5.3]	
387 QQTFPQQPQLPFPQQPQQPF		N ::			Γ						. 3				
338 QQPYPQQPQQP@PQTQQPQQ		.5.					- 7						2.60	T. (2.1)	
339008550050055500500	1	18.7													
390 QQTYPQRPQQPFPQTDQPQQ	+			,				- 3.		111111111111111111111111111111111111111	adiyeteric		927 -		- Line
391 OPOLPFPOOPOOPOOPFPO	1	g		 				<u> </u>	1		. :			-	In y 1
	 	ξ							1		1		A9 - 1		\vdash
392 QAQLPFPQQPQQPI,PQPQQP	+-	186	-	1				—	1			-			3.
393 Q1969QQPQQPQQPQQPQQ	+	<u> </u>		 			15. 1		1	100°			7	<u> </u>	
394 QPQQPFPQQPQQ2FPQTQQP	+-			ļ			· · ·		 		10.00			<u> </u>	
395 OPOOPEPOTOOPOOPEPOOP	 	1 17		ļ						- Alas			OK.		<u>. </u>
396 TQQPQQPFPQQPQQPFPQTQ	ļ		<u>-</u> .	7' :					 	· ·				ļ	
397 POOPOOPFPOTOOPOOPFPO	1	1 47		ļ			1411			gr.	235			<u> </u>	
398 QQPFPQTQQPQQLFPQSQQP	ļ			ļ	ļ		16 4						ļ <u>.</u>		
399 00000000000000000000000000000000000	1	<u>.</u>							<u> </u>		300		i‼∷	1	
400 <u>00</u> PFPQTQQPQQ>FPQSQQP	_	l		1							: E.I		14 m	1	
401 QQPFPQTQQPQQPFPQSKQP	1	2							-		dalo §		line.	1	i juli
402 ggpfpgpgppgppgpfpglggd	J-12.							<u> </u>	1					<u> </u>	
403 COPLPOPOOPOOPFFOSOOP				Ť –							. 5				
404 QQPFPQPQQPQQPFPQSQQP	(: : : : : : : : : : : : : : : : : : :	45		 	 	-			1		26	45			\vdash
· 405 OPQQLFPQSQQPQQQFSQPQ	1	-			 		. 3	\vdash	1				115 11 2 1	50.5	
									ļ · · · · ·		3.50		200		
406 QPQQPFPQLQQPQQPFPQPQ	+	90 		 	 			_	╁──				(24)		连
407 QPQQPFPQSQQPQQPFPQPQ	┥	7^-		├	 			-	1.		: *:		1	 	3 .
40BQPQQPFPQSKQPQQPFPQPQ	-			<u>. </u>	 		- 13		7 / Selff	9800					Η-
409QPQQPFPQLQQPQQPLPQPQ				<u> </u>	. 405		100		7.7.5 oljí		nggon E f			,,,	7.7
410 SOOPQCOFSOPQQOFPOPQQ	ļ			_	\$ 100		—		ļ				ाजा, श्रेष्ट इंटर है के	3478	-
411 LQQPQQPFFQFQQQLPQPQQ	11/2/2	1/ 2			ļ.,,		54 SE								
412 SQQPQQPFPQPQQQFPQPQQ	353				4		[]- 	· ·	1				77.200		12
413 SKGPGQPFPQPQQPQQSFPQ							1 %	<u> </u>			1,5%				
414 LQQPQQPLPQPQQPQQPFPQ				<u> </u>	\$ 18 h		G (81.2	<u> </u>		1		<u> </u>	<u> </u>		
41.5 SQQPQQPFPQPQQPQQSFPQ				7.1	187		. 7 - 1	<u> </u>	. ,						體質
416 SQ\$QQQFPQ\$QQ\$FPQQ							177				L		152		
417 POPOQOLPOPOQPOQSFPQQ										arion?					
413 PQFQQQFPQPQQPQQSFPQQ					ी पंड				s allenda				V. 5	;	- 1 1 1
419PQPQQPQQSFPQQQPSLIQQ					<u> </u>								-: <u>"</u>	 	
420 FQFQQFQQPFPQQQQFLFQP					T					_ · · · -	7.5,00	<u> </u>	 	<u> </u>	
421PQFQQPQQSFPQQQQPLIQP	·		İ	 	<u> </u>		70	Ì	T .			 			
		l -							-			<u> </u>	<u> </u>	-	
422 OF COPOSFFO COPFFI OPS	 	 	<u> </u>	_	\vdash			-		-	<u> </u>		 	 	\vdash
423GPGGPGQSFPGQGRPFIGES	+-		 		[]		-	 -	-		ļ	44 J	1		
424 CPCOPOOSFPOOOPSLIOOS	+	<u> </u>	ļ	_			<u> </u>	_		 	<u> </u>	<u> </u>			le .
425 FFCQQPPFIQPSLQQQVNPC	-		<u>i</u>	 							ļ				100
423 FECOGRPFIOPSLOQUINEC	-				ļļ			<u> </u>	ļ			<u> </u>		<u> </u>	<u> </u>
427 FECGOPSLIGGSLGGGLNPC	ļ		: :		igsquare			ļ				!			ļ
428 FECOCOPLIOPYLOCOMNEC								l	1		l		1		ı

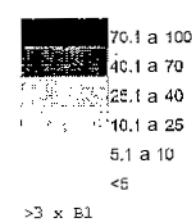
								_								
429 FPQQQQPAIQSFLQQQMNI	ec				Ì	.							ļ			
430 IQESLOQQVNPCKNFLLQQ		_														
431 IQPSLOQQLNPCKNILLQ			e,								_			<u> </u>	_	
432 TOOSLOOOLNPCKNFLLOO										- "-						-
433 ICPYLQQQMMPCKNYLLQQ	$\overline{}$								_			-	\ <u> </u>	_		
434 IQSFLQQQMMPCKMFLLQQ			24			1.1					-		 			
435 VNPCKMPLLQQCKPVSLVS				 										r	_	
436 LNFCKNILLOGSKPASLVS													 -			
437 LMECKNELLQQCKPVSLVS				-											_	
438 WNDCKNATTGGCNBA8TA	-				-			 	<u> </u>			-	<u>: </u>		 -	├
439MNFCKNFLLQQCNHVSLVS	-	٠		 	•		_		-				-	 		
		_		 -												
440LQQCKPVSLVSSLWSMIW		-	. '\$ '					;			 			-	 	
441LQQSKPASLVSSLWSIIW	r	-		i				<u>`</u>			-		 -	-		
442LQQCKPVSLVSSLWSMEL			-					 								_
443LQQCNPVSLVSSLVSMTL			;	 	-			 			<u> </u>		<u> </u>	 	 -	
444LQQCNHVSLVSSLVSITLE			 :	├ 				 	 - 		├─		- -	<u> </u>		
445LVSSLWSM1WPQSDCQVMI				 	 1			<u> </u>	 - 		 	-	<u> </u>	-		
446LVSSLWS1IWPQSDCQVME						,		ļ. —			25		: :	 		<u> </u>
447 LVSSLWSMILPRSDCQVM						- 4.7					90 Per		<u> </u>	<u> </u>	. <u> </u>	
448 LVSSLWSIILPPSDCQVM				!	-	1.00										
449LVSSLVSMILPRSDCKVMI				<u>!</u>					·				<u></u>	<u> </u>		·
450 LVESLVSHILPRSDCQVM	20								<u> </u>				<u>'</u>	1		<u> </u>
451 LVSSLVSIILPRSDCQVM	20					21.4	_			<u> </u>					ļ. <u></u>	
452 INPOSDCQVMRQQCCQQLA	√Q.			<u> </u>					<u> </u>				: 			<u> </u>
453 ILPRSDCQVMRQQCCQQL	1 Ω			<u> </u>				<u> </u>		<u> </u>			<u> </u>	<u> </u>		ļ.,
454 ILPPSDCQVMRQQCCQQLA	QF									<u> </u>	5		<u> </u>		ļ	
453 ILPRSDCKVMRQQCCQQL	AR.								L				<u> </u>		ļ	<u> </u>
436 ILPRSDCQVMQQQCCQQL	λΩ			<u> </u>						```			! 		<u> </u>	ļ.,
457 VMRQQCCQQLAQ1PQQLQX	:A						_						<u> </u>			
458 VMRQQCCQQLARI PQQLQC	;a			<u> </u>		200					1003		<u> </u>	١.	<u> </u>	
459 VMQQQCCQQLAQIPRQLQ:	2A												<u> </u>			<u> </u>
450 VMQQQCCQQLAQI PQQLQ	DA.							<u>[</u>					: 			
451 CLAQIPQQLQCAAIHTIII	ís .			!	į			(-) (-)	<u> </u>		<u> </u>		<u>i</u>		L	
452CLAQIPQQLQCAAIHTVI	łŝ															_
463QLAQIPQQLQCAAIHSVVE	15												1			
464 CLAQIPQQLQCAAIHSIVI	(5												:			
465 CLARIPOOLOCAAIHGIVE	ł\$			-												
466CLAQIPROLOCAAIHSVVI	13			: -	ĺ		_			· ·		-				
457 QLAQIPQQLQCAAIHSVAH	{S			Ī									\			
468LQCAAIRTITHSIIMQQEQ	20					- 4,			Ĭ				1			
469LQCAAIHTVIHSIIMQQEQ		est.	2.30										:			-
				1 1	- 1			l	300			l	1	l		ľ
		CSala														
470LQCAAIHSVVHSIIMQQQQ	35	CSalla					_ _						<u> </u> 			
470LQCAAIHSVVHSIIMQQQC 471LQCAAIHSIVHSIIMQQ2;	30 30	CSala			ļ											
470IQCARIHSVVHSIIMQQQC 471LCCARIHSIVHSIIMQQS; 472LCCARIHSVVHSIIMQQS;	20 20	r Sala														
470 LQCARIHSVVHSIIMQQQC 471 LQCARIHSIVHSIIMQQS; 472 LQCARIHSVVHSIIMQQS; 473 LQCARIHGIVHSIIMQQS;	20 20 20	r Sale														
470 I GCARIHSVVHSI IMQQQC 471 L CCARIHSIVHSI IMQQSC 472 L CCARIHSVVHSI IMQQSC 473 L CCARIHSVVHSI IMQQSC 474 L CCARIHSVAHSI IMQQSC	20 20 20 20	r Sale														
470 I GCARTHSVVHSTIMQQQC 471 I CCARTHSVVHSTIMQQS; 472 I CCARTHSVVHSTIMQQS; 473 I CCARTHSVVHSTIMQQS; 474 I CCARTHSVAHSTIMQQS; 475 I THSTIMQGSQCQGGGG	20 20 20 20	C Sale														
470 LQCARIHSVVHSIIMQQQC 471 LQCARIHSVVHSIIMQQS; 472 LQCARIHSVVHSIIMQQS; 473 LQCARIHSVVHSIIMQQS; 474 LQCARIHSVAHSIIMQQS; 475 LTHSIIMQQSQQCGHILI	20 20 20 20 20 20 41	r Sale			-											
470 I QCARIHSVVHSI IMQQQC 471 I CCARIHSIVHSI IMQQS; 472 I CCARIHSIVHSI IMQQS; 473 I CCARIHSIVHSI IMQQS; 474 I CCARIHSVAHSI IMQQS; 475 I THS 1 I MQQSQQQGMI LI 477 VVHSI IMQQQQQQGMI LI	20 20 20 20 20 41 41 41	C Sald														
470 LQCARIHSVVHSIIMQQQC 471 LQCARIHSVVHSIIMQQS; 472 LQCARIHSVVHSIIMQQS; 473 LQCARIHSVVHSIIMQQS; 474 LQCARIHSVAHSIIMQQS; 475 LTHS LIMQQQQQQQGMI 476 VTHSIIMQQQQQQGMRILI 477 VVHSIIMQQQQQQQQQQGG	20 20 20 20 20 20 20 41 41 42 42 43 44 44 44 44 44 44 44 44 44 44 44 44	r Gald														
470 LQCARINSVVHSIIMQQQC 471 LQCARINSVVHSIIMQQGC 472 LQCARINSVVHSIIMQQGC 473 LQCARINSVAHSIIMQQGC 474 LQCARINSVAHSIIMQQGC 475 THS 11MQQQQQQGMH LI 476 VHSIIMQQQQQQGMH LI 477 VVHSIIMQQQQQQQQGGCQGCC 478 IVHSIIMQQQQQQQGGCQGCC	00 00 00 00 00 00	r Gald														
470 I GCARTHSVVHSTIMQQQC 471 I CCARTHSVVHSTIMQQGC 472 I CCARTHSVVHSTIMQQGCC 473 I CCARTHSVVHSTIMQQGCC 474 I CCARTHSVAHSTIMQQGCCCCCCCCCCCCCCCCCCCCCCCCCCCCCCCCCCC	22 20 20 20 20 20 41 41 4P 4P 4D 21	r Galda														
470 LQCARIHSVVHSIIMQQQC 471 LQCARIHSVVHSIIMQQQC 472 LQCARIHSVVHSIIMQQQC 473 LQCARIHSVVHSIIMQQQCQC 474 LQCARIHSVAHSIIMQQQCQCQQQQQQQQQQQQQQQQQQQQQQQQQQQQQQ	92 90 90 90 41 41 42 43 44 45 46 47 48 48 48 48 48 48 48 48 48 48	r Gald														
470 LQCARIHSVVHSIIMQQQC 471 LQCARIHSIVHSIIMQQGC 472 LQCARIHSIVHSIIMQQGC 473 LQCARIHSIVHSIIMQQGC 474 LQCARIHSVHSIIMQQGC 475 LTHS LIMQQGQQGGMH 476 VTHSIIMQQGQQGGMHLD 477 VVHSIIMQQQQQQQQQGGGGGGGGGGGGGGGGGGGGGGGGGGG	92 92 90 90 90 91 91 91 91 92 93 93 94 95 95 95 95 95 95 95 95 95 95	Poshh														

				_		:										
484	OCCCCOCCCOCCIDIFLELSCH		3	1	i]			1
485	QQQQCCQQQGMH1FLPLSQQ		T										1			\vdash
	QEQCEORGGVQILVPLSQQQ	<u> </u>	T										1	 		├
· · · · · · · · · · · · · · · · · · ·	DEOCECLOCVQILVPLSQQQ			_	•						-	i	7.7 5	-		t
	SECCCOOOOOOOOOGIQIM	1	<u> </u>	_						_			-	1-	 	7 £
	QEQQQGIQILRPLFQLVQGQ	<u> </u>		_			٠,				╁			<u> </u>	 	1,000
	OEQCQGVPILRPLFQLAQGL	 	-	1		\vdash			L		·	 				┼╌
		 	┢	├		ļ	-	-				-	├	╁	·	
	QQQQQQQGIQIMRPLFQLVQ	 	┢	┝-	-					-	-		├—	\vdash	<u> </u>	┼
-	GMHILLPLYQQQQVGQGTLV	+	 	-	-	-	-	<u>. </u>		1	 	<u> </u>	-	├	-	-
	CIDIFLPLSQHEQVGQGSLV	-	-	 	 	 		-	!	 	ļ		-	ļ <u>.</u> .	 	┞
	GMHIPLPLSQQQQVGQGSLV	├	<u> </u>	 	 		ļ			 -	-			<u> </u>		
	GVQILVPLSQQQQVGQGTLV	 -		 	1-		<u> </u>			<u> </u>	 			 	-	
496	GVQILVPLSQQQQVGQGILV	<u> </u>		!			ļ		ļ.,	ļ <u>.</u>	<u> </u>	_ .	ļ	ļ		<u> </u>
497	GIGIMERPLFOLVOGOGIIOP			<u>:</u>			ļ		ļ	<u> </u>		<u> </u>	<u> </u>	ļ		
498	GIQILRPLFQLVQGQGIIQP	·	-						<u> </u>			[
499	GVPILRPLFQLAQGLGIIQP	<u> </u>							<u> </u>							1
500	AGGGGACGTTAGEGGTIGH															
501	SCHEOVGOGSLVOGOGIIQP			L					L_							
502	SQCQQVGQGSLVQGQGIIQP			!^.^		-,1						:"-				T
503	SÖCÖÖVGÖĞTLYÖĞĞĞIIĞP			<u> </u>				:								\Box
	SQCQQVGQGTLVQGQGTIQP				· -	i -		!			-		ļ <u>-</u>			†
	GTIVQGQGIIQPQQPAQLEA			i					<u> </u>				:			
	GSLVQGQG11QPQQPAQLEA		 							\vdash			7			
		 		<u>-</u>							┢	7.	· · · ·	连膝		┿
	FCLVQGQGIIQPQQPAQLEV			<u></u>		-			_		 	<u> </u>		180,694,		
	FCLAQGLGIIQPQQPAQLEG		-		-						<u> </u>			┝─┈	_	
	f1CPQQPAQLEAIRSLVLQT			:												ļ <u>.</u>
	IIQPQQPAQLEVIRSLVLQF	1		 -	ļ					'				<u> </u>		—
	IIQPQQPAQLEVIRSSVLQT													ļ. <u></u> .		<u> </u>
	IIQPQQPAQYEVIRSLVLRT			<u>-</u>						ļ						ļ
513	TIQPQQPAQLEGIRSLVLKI			<u> </u>						<u> </u>	<u> </u>					ļ
514	QLEAIRSLVLQTLPTMCNVY	<u> </u>											-3.0			
513	ÇLERIRSLVLQTL?SMCNVY															<u> </u>
516	ÇLEVIRSLVLQTLATMONVY													. :		
517	CLEVIRSSVLQTLATMCNVY				<u> </u>											П
513	OLEVIRSLVLGTLPIMONVE								_							<u> </u>
519	QYEVIRSLVLRTLPNMCNVY	\Box														
i	QLEGIRSLVLKTLPTMCNVY															⇈
	VLQTLPTMCNVYVPPECSII			_					· -		-		_			i
	VLQTLESMCNVYVPEECSIM										-	-				╁──
	VLQTLATMCHVYVPPYCSTI			\ <u> </u>										\Box		
		-												\vdash		-
	VLGTLPTMCNVFVFFECSTT			_	 					_	-		 -	\vdash		é a ánic
7	VLRTLPNMCNVYVRPDCSTI						-									線線
	VLKTLPTMChvYvPPDCSTI			_					_			* 100°s		-		-
	CNVYVPPECSITKAPFSSVV										.—-	<u>- """ "</u>				ļ. —
	CNVYVPPECSIMRAPFASIV	-	—													
529	CNVYVPPYCSTIRAPFASIV	-				 							ļ <u>.</u>			
530	CNVFVPPECSTTKAPFASIV	igwdown												\sqcup		
531	CNYYVRPDCSTINAPFASIV	igsquare	<u> </u>													<u> </u>
532	CNVYVPPDCSTINVPYANID	igsqcup	<u> </u>		<u> </u>											
533	CSIIKAPFSSVVAGIGGQ															#58.
534	CSIMRAPFASIVAGIGGQ											dicas Tigasa				
	CSTTRAPFASIVAGIGGQYR											W E				
	CSTIRAPFASIVASIGGQ		4			T		-	_						_	
536	COLIMATING TOOK															
	CSTTKAPFASIVADIGGQ		* .									- ,				

				,		,			,		_	
539 CSTINVPYANIDAGIGGQ										<u>L</u> .	L	10.3
540 POOPEPLQPQQSFLWQSQQP	1							<u> </u>			, "	
541 POOSFLWOSQOPFLOOPQOP	_		1.00%		Ī		<u>L</u>		!			
542 SQQPFLQQPQQPSPQPQQVV		<u> i</u>							i			
543 PQQPSPQPQQVVQTISPATP								_			Ι	10.00
544 COVVQIISPATPTTIPSAGK					Γ						Ī	T
545 PATPTTIPSAGKPTSAPFPO					ĺ	П					T	
545SAGKPTSAPFPQQQQQHQQL						Γ.		1				T
547 PFPQQQQQHQQLAQQQIPVV		<u> </u>	""							-		1
548 HCCLACOCIPVVQPSILCOL				1.				1			1	<u> </u>
549 IPVVQPSILQQLNPCKVFLQ												
550 LÇÇLNPCKVFLQQQC3PVAM			T						i			1
551VFLQQQCSPVAMPQRLARSQ					Π					-		San T
552 PVAMPQRLARSOMLOGSSCH				i	m				l·—			1
553 ARSQMLQQSSCHVMQQQCCQ								4.7			 	1
554SSCHVMQQQCCQQLPQTPQQ		_			_					: <u>- 2ⁿ - 1</u>	+	 -
555 OCCOOLPOIPOOSRYOAIRA			1 1	ļ	_			Āź.		<u></u>	 	
556 PQIFQOSRYEATRATIYSII	<u> </u>		1	_	1			m. 7007 n		 		_
557 IPQQSRYQAIRAIIYSIILQ							<u> </u>				1	+
558AIRALIYSIILQEQQQVQGS			1				\vdash		 	-	1	
559 IILGEQQQVQGSIQSQQQ?			+ +			-				 		+
560 VQGSIQSQQQQPQQLGQCVS					1					-	╁	 -
561 OOOFOOLGOCVSOPOOOSOO		_	+-+		 			<u> </u>				
		_						! !	18 18 CO	-	-	-
562 QCVSCFQQQSQQQLGQQFQQ			++		-			i				
563QSQQQLGQQPQQQQLAQGTF			+ +		-		_	:	<u> </u>		-	1
564 OPOCCCLAGGTFLOPHOLAG			+	 	-	<u> </u>		<u> </u>		-		├
565 QSTFLQFHQIAQLEVMTSIA	;			. e. Y						 	_	
566QIAQLEVNTSIALRILPTMC					ļ			<u> </u>		-		ļ
567 TSIALRILPTMCSYNVPLYR		-	 -								ļ	ļ -
568 PTMCSVNVPLYRTTTSVPFG	- - '	.			<u> </u>	ļ					ļ	ļ
569 PLYRTTTSVPFGVGTGVGAY			-			ļ	<u> </u>				<u> </u>	
570 TITRTFPTFTISSNNNHHFR			╁				<u></u>					
571 PTISSNNNHKFRSNSNHHFH		_	1 .		<u> </u>						<u> </u>	
572 HHERSNSNHHERSNMUQEYR			<u> </u>									L
573 HHFHSNNNCFYENNNSPGBN												
574 QFYRNINGPGHNNPLNNNNS												L
575 PGHNNPLNNNPPNNNSPSN			\perp		L							
576NNNSPNNNSPSKEHNNSPNN			· · · · · ·		<u> </u>							<u> </u>
577 SESMININDSENDREQYNTHE			<u> </u>									
578 SPUNNEQYHTHESNHKNLPH											ļ ·	
579 HTHPSNHKNLPHTNNIQQQQ	<u> </u>											
560 NLPHINNIQCQQPPFSQQQQ							in the second					
581 QQQQPPFSQCQQPPFSQQQQ	- 2									L		
582 QQQQPPFSQQQPVLPQQSP	186											9.3
583 QQQQPVLPQQSPFSQQQQLV	-	2019										
584 QQ3PFSQQQQLVLPPQQQQQ											2 8	
585 QOLVEPPOQQQQQLVQQQIP											1	
586 QQQQQLVQQQIPIVQPSVLQ				Ž.								
587 QQTPLVQPSVLQQLNPCKVF												
586 SVLQQLNPCKVFLQQQCSPV											-	
589 CKVFLQQQCSPVAMPQRLAR			ESS (A)									
590CS=VAMPORLARSQMWQQSS		"					1					grijn.
591 RLARSOMWOOSSCHVMQQQC	_ _	<u> </u>					şşi.	-				207
592 QQSSCHVMQQQCCQQLQQIP			 				in the					
ANN	_						orpore in					_

	•		,					,								
594	QQTPEQSRYEAIRATTYSII					<u> </u>			<u> </u>	<u>.</u>						1
595	YEAIRAITYSIILGEQQQGF			L	<u> </u>	<u> </u>					<u> </u>			l	ļ	
596	YSIILQEQQQGEVQPQQQQP														i	
597	QQGFVQPQQQCPQQSGQGVS			Γ											Ĭ	T -
	00070053QGV5050005QQ						_	1								¥ .
	QGVSQSQQQSQQQLGQCSFQ			_									i			1
	OSOCOLGOCSFOOPOOOLGO		1	ļ —	\vdash			\top	 	· -			 	\vdash		7 27
	CSFQQPQQQLGQQPQQQQQQ		<u> </u>	İ				<u> </u>				_			ļ	 -
	QLGQQPQQQQQQQVLQGTYL	_		†		-		1				-	\vdash	-	 	┼
	QQQQQVLQGTFLQPHQIAHL			1			 	1		 				 		
	GTFLQPHQIAHLEAVTSIAL			 	├─┈			1	┢	 	-		 -		1	1
	IAHLEAVTSLALRTLPTMCS		<u> </u>	 	 	 	 	\vdash	├─-	 	 	-	-	\vdash	-	
	SIALRTLPTMCSVNVPLYSA			1				 			_	 				
	TMCSVNVPLYSATTSVPFGV			-	 		ļ. —	. A.	 		<u> </u>					·
			ļ		 	 	-		\vdash	┼-			-		├	┼┈
	LYSATTSVPFGVGTGVGAY		 	-		-		 	-		1000	-	_	1	 	- (J. (1) E (1)
	SCISGLERPWQQQPLPPQQS	+-	+	1-	-	多数		+-	-	 			 		 	
	PMQQQPLPFQQSFSQQPPFS	+	1	-	_	1.5.00	_	. <u> </u>	-	+-						1.01.20
	POOSESUOPPESOOOOPLP	+-	 		-		_	-		-			_	-	نعب	
	PPFSQQQQQPLPQQPSFSQQ		17		<u> </u>					 	ů.U.	<u> </u>		ļ		
	QPLPQQPSFSQQQPPFSQQQ	+	1	-	 -	123		***	-	 -				7	_	
	FSQQQPPFSQQQPILSQQPP	+	14, 1	 			<u>! </u>	锁	_	 -	31 3.			و. ا	 	
	2000bit200bbl2000ba	+	(m. s.)	-		-	 -	-	 -	├-			<u> </u>			
616	ATAARELN PSNKELQSPQQS	+	-			<u> </u>		ļ	ļ <u> </u>	├	ļ. <u></u>	ļ. —	<u> </u>	-		91.66
	PSNKELQSFQQSYSYQQQFF		ļ		a =	-	<u> </u>			7.60	<u></u>			Lations		ļ. <u>.</u>
<u>6</u> 18	POOSESYOCOPEPOOPYPOO	-			A Targ	_		- N		9"0		Plane		is in the second		
619	QQPFPQQPYPQQPYPSQQPY			-				***		 	!	ļ	_		_	
620	YPOOPYFSOOPYPSOOPFPT	4	<u> </u>		ļ	<u></u>		ļ	ļ <u> </u>	ــــ	<u> </u>	<u> </u>	ļ <u>.</u>			0.000000
621	QQPYPSQQPFPTPQQQFPEQ		ļ			MA.		<u> </u>		<u> </u>	i i i i i		<u> </u>	<u> ::</u>	<u> </u>	2012/16 5 2: -
622	PFPTPCQQFPEQSQQPFTQP			<u> </u>		ļ			<u> </u>	ļ <u>.</u>	万场	<u> </u>			a a listili	
623	FPECSCOPFTQPQQPTPIQP	15.3				<u> </u>		4		ļ		<u> </u>		, i		4
624	FTQPQQPTP1QPQQPFPQQP	17.7		56.4		1					Ĺ	1.5			120	3.5
625	PIOPOCEFPOOPOOPOOPE?		70.7		<u> </u>			ال الد				}· ··				
626	PQQFQQFQQFFPQPQQFFPN	1000			. **	·	144				虚吊	P V			مختوجهو	
627	<u>оргрогооргенорооргро</u>	1.44	2.83	, o),5	: "/-w <u>i</u>		ar es		, A.	3 s		**				-¥
628	PFPWQEQQPFPQTQQSFPLQ											K 191				
629	PHPÇTQQSEPLQPQQPHPQQ			L		1			l	L		!				
630	FPLQFQQPFPQQPQQ9F3Q3				Ī		dgi ^{cria} di				ľ	F3: 44				1 () () ((-) ()
631	FPCQFQQPF P QPQLPFPQQs	ries :	Ž,	T.	ŧŵ:	,	_:	1.70	33.4			W.S.		150		1
	FPCPQLPFPQQSEQI1PQQL							1				İ	Ī —			
	PQCSEQIIPQQLQQPFPLQ2					Ī		ľ		_		(A) N.	-			
	POCTOOPERTOPOOPEROOP	(-			· ··-				ļ .			1.72	
	PLQFQQPFPQQPQQPF3Q3Q	14.3	100		187						1				i Laskii	
	PCQEQQPEPQPQQPIPVQPQ	* ¥.	7.	1			<i>-</i>				Wag at				ex-terms/]
1- 1 0 111-	PCPCQPIPVQPQQSFPQQSQ									Ï	Alva.					58) \$1
	VCPQQSFPQQSQQSQQPFAQ	ļ	ļ													\vdash
	QCSQQSQQPFAQPQQLFPEL		ĺ			i —				-			_	7.72,70		i
	PFAQPQQLFPELQQPIPQQP	1		 			<u> </u>	 	-	1 -		-		1	-	
V1V				 			 -	<u> </u>			- 27 - 8					, ,:
641		T .		ı	l .											
	9015150040001400414			l 				 				: : :			Virginia.	4 %
642	böübüöblbrübööslsööb Leepööblbööbslsvöb		<u> </u>							-	1, 40				V Q	, 2.
642 643	PLQPQQPFPQQPQQ2F3QQP PCQPQQPFPLQPQQ2F3QQP PFELQQP1PQQPQQ2F3QQP		<u>.</u>	 						_	1, 10 2, 10			7		
642 643 644	PCGEGGETEGGEGGEFEGGE PCGEGGETEGGEGGEFEGGE PCGEGGETEGGEGGEFEGGE PCGEGGETEGGEGGEFEGGE PCGEGGETEGGEGGEFEGGE PCGEGGETEGGEGGEFEGGE PCGEGGETEGGEGGEFEGGE															
642 643 644 643	BOODORADOBOODADO ECOBOORELOOBOORELOOB ECOBOORELDOBOOSELSOOB ECOBOORELDOBOOSELSOOB EEEPOORILDOBOOSELSOOB										1, 30 20 3					
642 643 544 643	PCGEGGETEGGEGGEFEGGE PCGEGGETEGGEGGEFEGGE PCGEGGETEGGEGGEFEGGE PCGEGGETEGGEGGEFEGGE PCGEGGETEGGEGGEFEGGE PCGEGGETEGGEGGEFEGGE PCGEGGETEGGEGGEFEGGE										7, 30 20 30					

i	649 QELQSPQULYPQQPYPQQFY			LI			 , Ž	
	650 SRLLSPRGKELHTPQEQFPQ							
	651 KELHTPOROFPGGGGTPOPO							
	652 QFPQQQQFPQPQQFPQ							



REIVINDICACIONES

- Un péptido aislado que comprende al menos un epítopo de linfocito T, en el que el péptido tiene una longitud no superior a 50 aminoácidos y el epítopo de linfocitos T comprende una secuencia seleccionada entre FPQPQQPFP y una secuencia que se puede obtener mediante la desamidación por transglutaminasa de la secuencia FPQPQQPFP.
 - 2. El péptido de acuerdo con la reivindicación 1, que comprende la secuencia FPQPEQPFP.

5

10

35

- 3. El péptido de acuerdo con la reivindicación 1 ó 2, en el que el péptido tiene una longitud de 10-50 aminoácidos.
- 4. El péptido de acuerdo con las reivindicaciones 1, 2 ó 3, que comprende una secuencia seleccionada entre QQPFPQPQQPFP y una secuencia que se puede obtener mediante la desamidación por transglutaminasa de de la secuencia QQPFPQPQQPFP, y en el que opcionalmente hay presente una modificación en el extremo N terminal.
- 5. El péptido de acuerdo con una cualquiera de las reivindicaciones 1-4, que consiste en una secuencia seleccionada entre QQPFPQPQQPFPWQP o una secuencia que se puede obtener por desamidación por transglutaminasa de la secuencia QQPFPQPQQPFPWQP, y en el que opcionalmente hay presente una modificación en el extremo N terminal.
- 6. El péptido de acuerdo con una cualquiera de las reivindicaciones 1-5, en el que hay presente una modificación en el extremo N terminal.
 - 7. El péptido de acuerdo con una cualquiera de las reivindicaciones 1-6, en el que hay presente una modificación en el extremo C terminal.
- 30 8. El péptido de acuerdo con una cualquiera de las reivindicaciones 4-7, en el que dichas modificaciones son modificaciones post-traduccionales naturales.
 - 9. El péptido de acuerdo con cualquier reivindicación anterior, que está restringido a HLA-DQ2.
 - 10. El péptido de acuerdo con una cualquiera de las reivindicaciones 1-8, que está restringido a HLA-DQ8.
 - 11. El péptido de acuerdo con cualquier reivindicación anterior, que comprende un epítopo de trigo.
 - 12. El péptido de acuerdo con cualquier reivindicación anterior, que comprende un epítopo de trigo, un epítopo de cebada, y un epítopo de centeno.
 - 13. Un péptido como se define en una cualquiera de las reivindicaciones anteriores, en el que el péptido comprende una secuencia que se puede obtener mediante la desamidación por transglutaminasa de la secuencia FPQPQQPFP, para su uso en un método de tratamiento.
- 45 14. El péptido para su uso de acuerdo con la reivindicación 13, que comprende la secuencia FPQPEQPFP.
- Una composición que comprende (a) un péptido como se define en una cualquiera de las reivindicaciones 1 a 12, en el que el péptido comprende una secuencia que se puede obtener mediante la desamidación por transglutaminasa de la secuencia FPQPQQPFP, y (b) un segundo agente que es un péptido que comprende al menos un epítopo que comprende un secuencia seleccionada entre PQPELPY y QLQPFPQPELPYPQPQS.
- 16. Una composición que comprende un primer agente restringido a HLA-DQ2 y un segundo agente restringido a HLA-DQ8, en la que la composición comprende un péptido como se define en una cualquiera de las reivindicaciones 1 a 12, en el que el péptido comprende una secuencia que se puede obtener mediante la desamidación por transglutaminasa de la secuencia FPQPQQPFP.
 - 17. Una composición que comprende un agente que comprende un epítopo de trigo y un agente que

comprende un epítopo de centeno, en la que la composición comprende un péptido como se define en una cualquiera de las reivindicaciones 1 a 12, en el que el péptido comprende una secuencia que se puede obtener mediante la desamidación por transglutaminasa de la secuencia FPQPQQPFP.

- 5 18. Una composición que comprende un agente que comprende un epítopo de trigo y un agente que comprende un epítopo de cebada, en la que la composición comprende un péptido como se define en una cualquiera de las reivindicaciones 1 a 12, en el que el péptido comprende una secuencia que se puede obtener mediante la desamidación por transglutaminasa de la secuencia FPQPQQPFP.
- 19. Una composición que comprende un agente que comprende un epítopo de centeno y un agente que comprende un epítopo de cebada, en la que la composición comprende un péptido como se define en una cualquiera de las reivindicaciones 1 a 12, en el que el péptido comprende una secuencia que se puede obtener mediante la desamidación por transglutaminasa de la secuencia FPQPQQPFP.
- 15 20. Una composición que comprende un agente que comprende un epítopo de trigo, un agente que comprende un epítopo de cebada, y un agente que comprende un epítopo de centeno, en la que la composición comprende un péptido como se define en una cualquiera de las reivindicaciones 1 a 12, en el que el péptido comprende una secuencia que se puede obtener mediante la desamidación por transglutaminasa de la secuencia FPQPQQPFP.
- 20
 21. El péptido como se define en la reivindicación 13 para su uso en la inducción de tolerancia de un individuo a una proteína gliadina para suprimir la producción de una respuesta de linfocitos T a un péptido según se define en la reivindicación 13.
- 25 22. El péptido como se define en la reivindicación 13 para uso en el tratamiento o prevención de la enfermedad celíaca.
 - 23. Una composición farmacéutica que comprende: (a) un péptido como se define en una cualquiera de las reivindicaciones 1 a 12, en el que el péptido comprende una secuencia que se puede obtener mediante la desamidación por transglutaminasa de la secuencia FPQPQQPFP; (b) un vehículo o diluyente farmacéuticamente aceptable; y, opcionalmente, (c) un péptido que comprende al menos un epítopo que comprende una secuencia seleccionada entre PQPELPY y QLQPFPQPELPYPQPQS.

30

40

45

50

- 24. Un método de diagnóstico de la enfermedad celíaca, o susceptibilidad a la enfermedad celíaca, en un individuo, que comprende:
 - (a) contactar una muestra procedente del hospedador con al menos un péptido según se define en una cualquiera de las reivindicaciones 1 a 12 donde el péptido comprende una secuencia que se puede obtener mediante la desamidación por transglutaminasa de la secuencia FPQPQQPFP, y opcionalmente, además, un péptido que comprende al menos un epítopo que contiene una secuencia seleccionada entre PQPELPY y QLQPFPQPELPYPQPQS;
 - (b) determinar *in vitro* si los linfocitos T de la muestra reconocen el péptido; donde el reconocimiento por los linfocitos T indica que el individuo tiene, o es susceptible a, la enfermedad collaca
 - 25. Uso de un péptido como se define en una cualquiera de las reivindicaciones 1 a 12, en el que el péptido comprende una secuencia que se puede obtener mediante la desamidación por transglutaminasa de la secuencia FPQPQQPFP, para la preparación de un medio diagnóstico para su uso en un método de diagnosis de la enfermedad celíaca o de susceptibilidad a la enfermedad celíaca en un individuo, dicho método que comprende la determinación de si los linfocitos T del individuo reconocen el péptido, donde el reconocimiento por los linfocitos T indica que el individuo tiene, o es susceptible a, la enfermedad celíaca.
 - 26. Un método o uso de acuerdo con las reivindicaciones 24 ó 25 en el que el péptido se une a (a) una molécula de HLA, o (b) un fragmento de una molécula de HLA capaz de unirse al péptido.
 - 27. Un método o uso de acuerdo con la reivindicación 26 en el que la molécula o fragmento de HLA está en un complejo que comprende cuatro moléculas de HLA o fragmentos de moléculas de HLA.

- 28. Uso de acuerdo con las reivindicaciones 25, 26 ó 27 en el que el método comprende la administración del péptido a la piel de un individuo y la detección de la presencia de inflamación en el sitio de administración, donde la detección de inflamación indica que los linfocitos T del individuo reconocen el péptido.
- 29. Un método de acuerdo con las reivindicaciones 24, 26 ó 27 en el que la muestra es una muestra de sangre.
- 30. Un método de acuerdo con las reivindicaciones 24, 26, 27 ó 29 en el que los linfocitos T no se vuelven a estimular de manera específica *in vitro* con el antígeno antes de dicha determinación.
- 31. Un método o uso de acuerdo con una cualquiera de las reivindicaciones 24-30 en el que el reconocimiento del péptido por los linfocitos T se determina detectando la secreción de una citoquina de los linfocitos T.
 - 32. Un método o uso de acuerdo con la reivindicación 31 en el que la citoquina es IFN-γ.

5

10

30

35

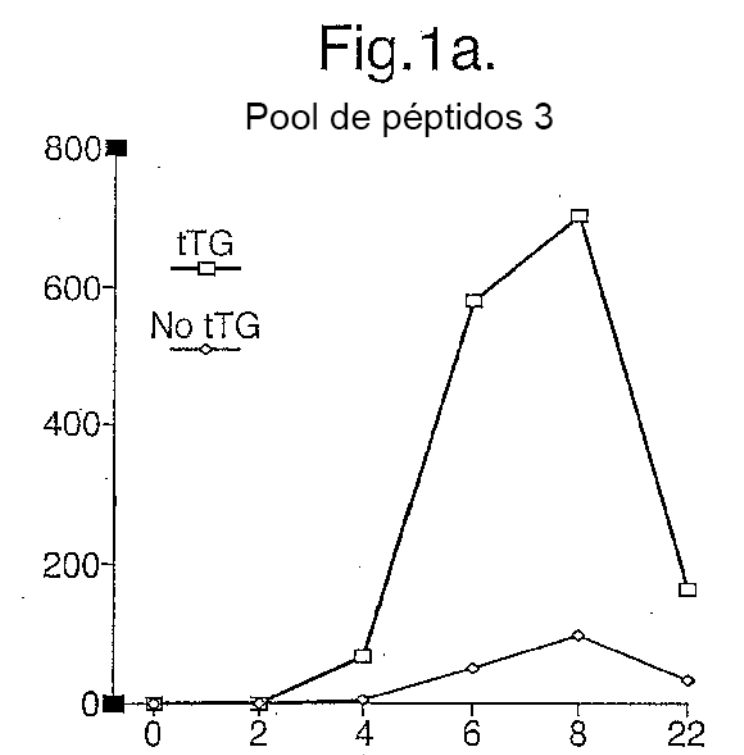
40

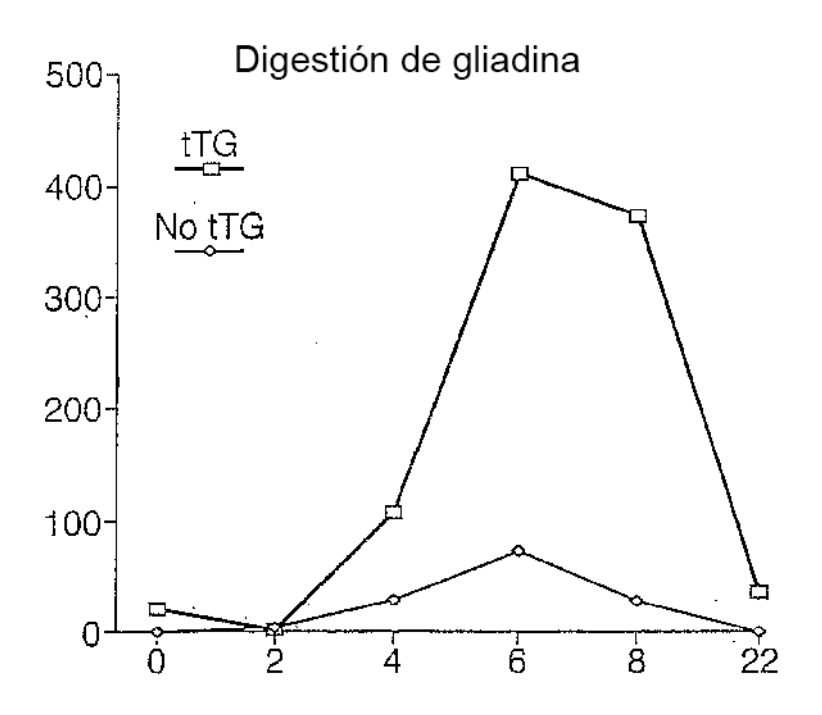
45

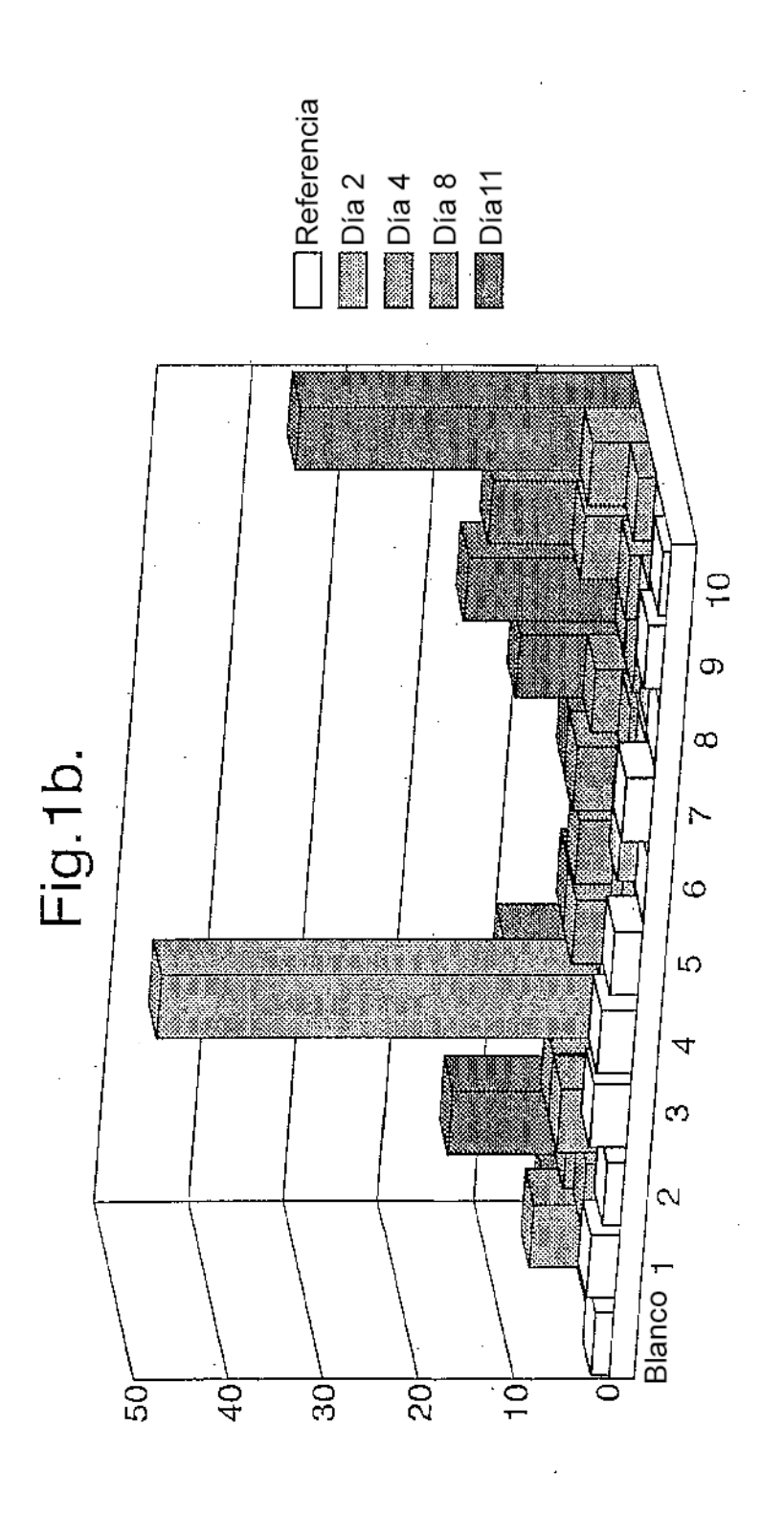
- 20 33. Un método o uso de acuerdo con la reivindicación 31 o la reivindicación 32 en el que se detecta la citoquina al permitir que la citoquina se una a un anticuerpo inmovilizado específico para la citoquina y a continuación la detección de la presencia del complejo de anticuerpo/citoquina.
- 34. Un método o uso de acuerdo con una cualquiera de las reivindicaciones 24 a 30 en el que dicha determinación se realiza midiendo si el péptido se une al receptor de linfocitos T.
 - 35. Un método para la identificación de un análogo, donde el análogo es un péptido de la invención como se define en una cualquiera de las reivindicaciones 1 a 12, donde el péptido comprende una secuencia que se puede obtener mediante la desamidación por transglutaminasa de la secuencia FPQPQQPFP, unido a una molécula de HLA o a un fragmento de una molécula de HLA como se define en las reivindicaciones 26 ó 27, donde el método comprende la determinación de si una sustancia candidata es reconocida por un receptor de los linfocitos T que reconoce un epítopo que comprende una secuencia que se puede obtener mediante desamidación por transglutaminasa de la secuencia FPQPQQPFP, donde el reconocimiento de la sustancia indica que la sustancia es un análogo.
 - 36. Un método para la determinación de si una composición es capaz de provocar la enfermedad celíaca, que comprende la determinación de si hay presente en la composición una proteína que comprende una secuencia de oligopéptidos seleccionada entre FPQPQQPFP, QQPFPQPQQPFP y QQPFPQPQQPFP, donde la presencia de la proteína indica que la composición es capaz de provocar la enfermedad celíaca.
 - 37. Un método de acuerdo con la reivindicación 36 en el que dicha determinación se realiza poniendo en contacto la composición con un anticuerpo específico para dicha secuencia de oligopéptidos, donde la unión del anticuerpo a una proteína en la composición indica que la composición es capaz de provocar la enfermedad celíaca.
 - 38. Un anticuerpo que se une específicamente a una secuencia seleccionada entre FPQPQQPFP, QQPFPQPQQPFPVQP.
- Un kit para llevar a cabo un método o uso de acuerdo con una cualquiera de las reivindicaciones 24 a 34, que comprende un péptido como se define en una cualquiera de las reivindicaciones 1 a 12, en el que el péptido comprende una secuencia que se puede obtener mediante la desamidación por transglutaminasa de la secuencia FPQPQQPFP, y un medio para detectar el reconocimiento del péptido por el linfocito T.
 - 40. Un kit de acuerdo con la reivindicación 39 en el que los medios para detectar el reconocimiento comprende un anticuerpo dirigido contra IFN-γ.
 - 41. Un kit de acuerdo con la reivindicación 40 en el que el anticuerpo se inmoviliza sobre un soporte sólido y, opcionalmente, el kit también comprende un medio para detectar el complejo anticuerpo/IFN-γ.

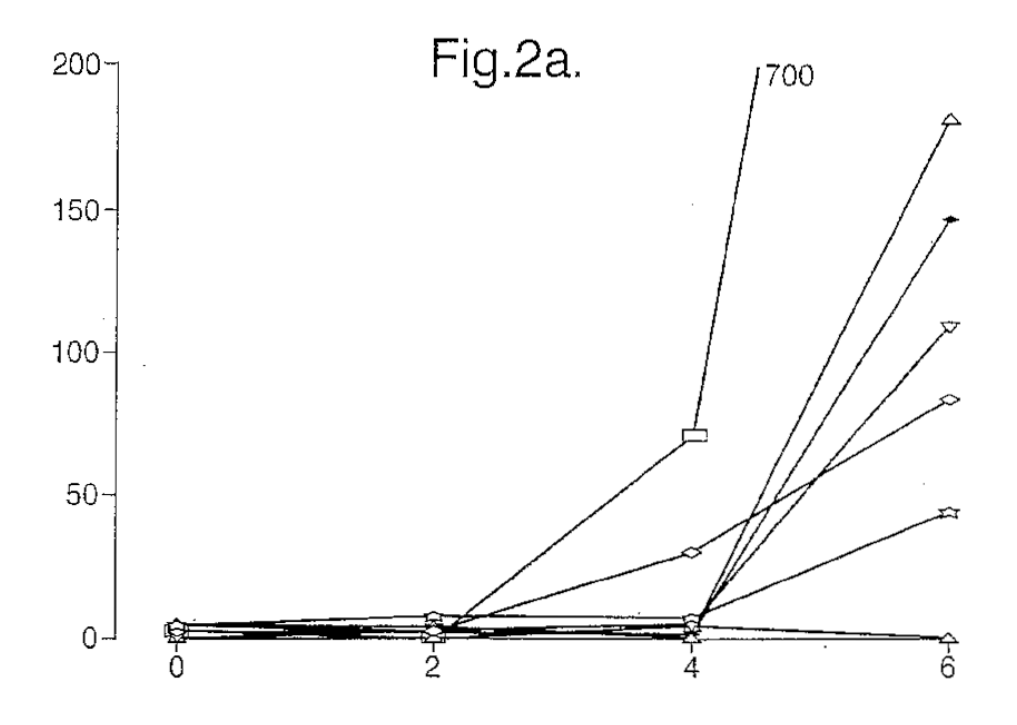
42.

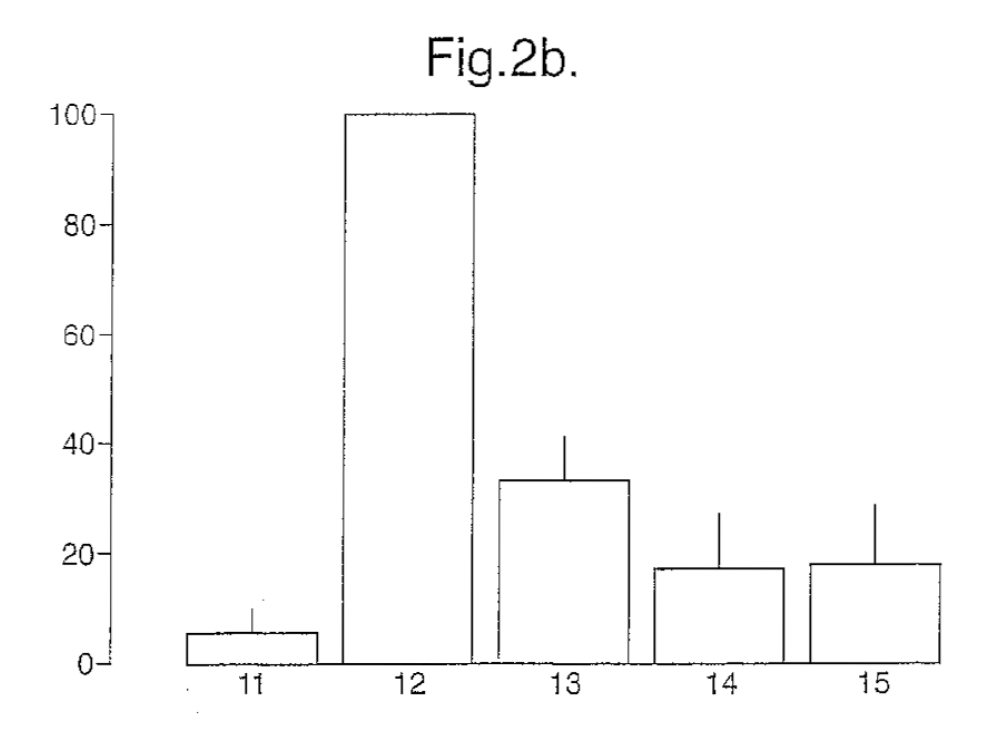
Uso de un péptido como se define en una cualquiera de las reivindicaciones 1-12 para producir un anticuerpo específico para el péptido.

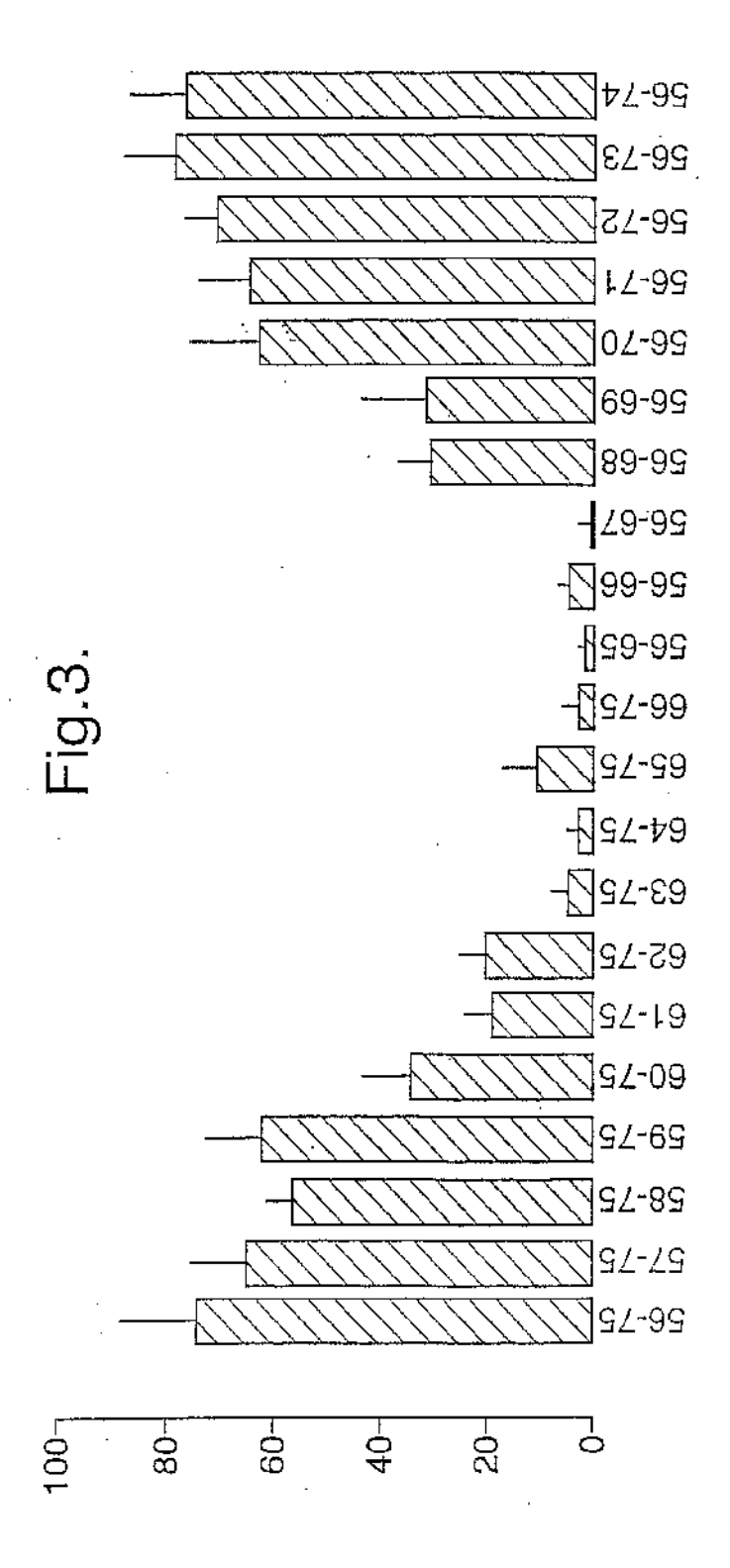


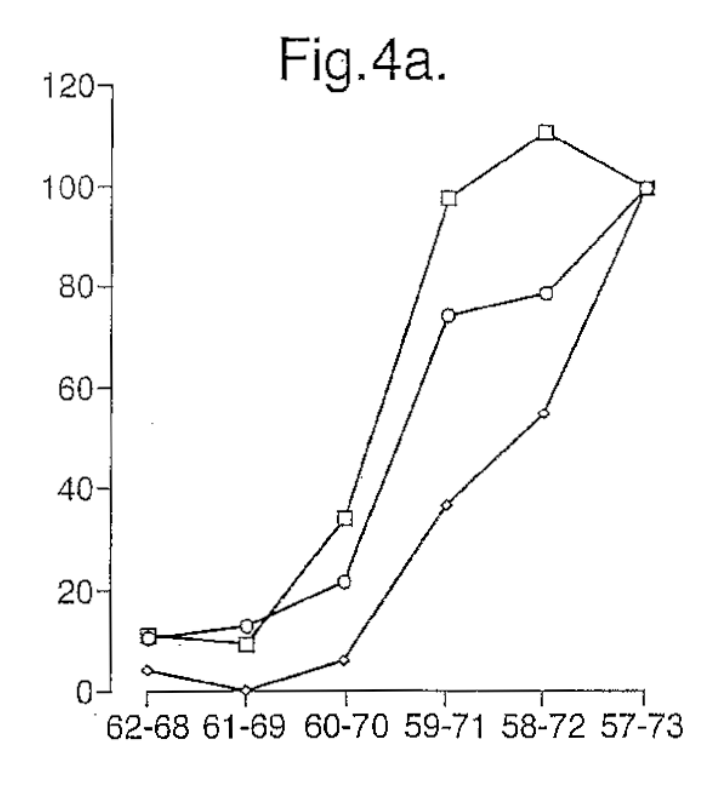


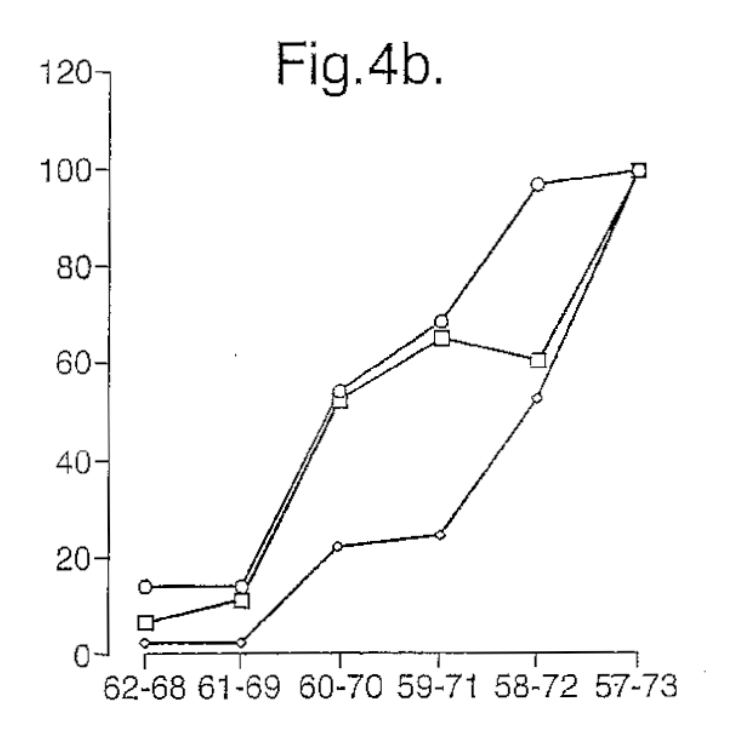


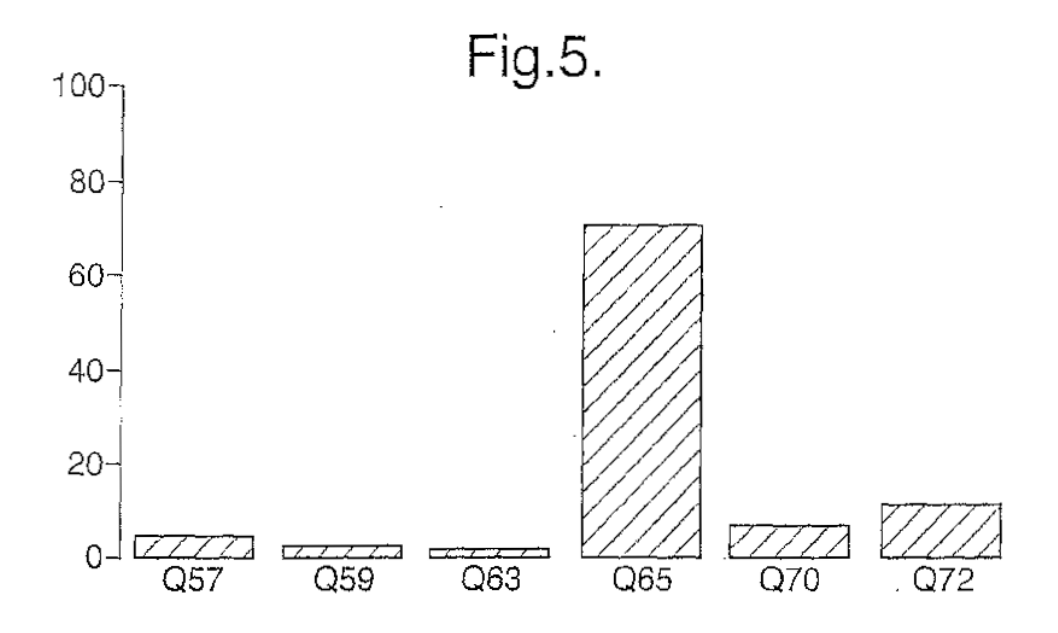


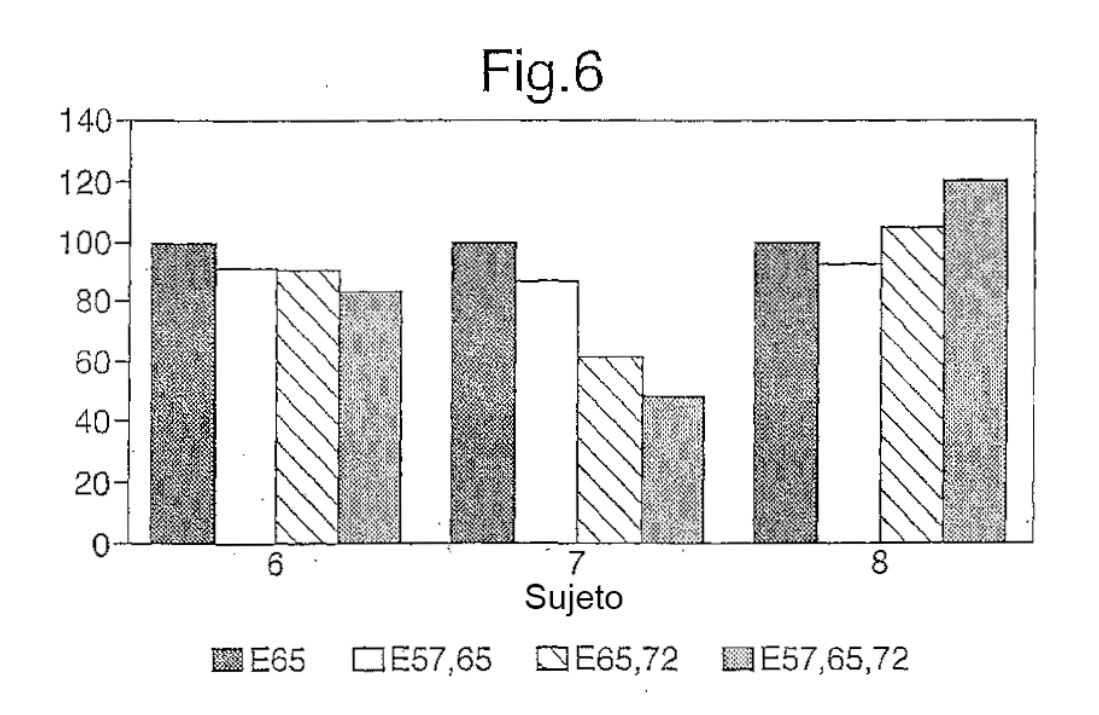


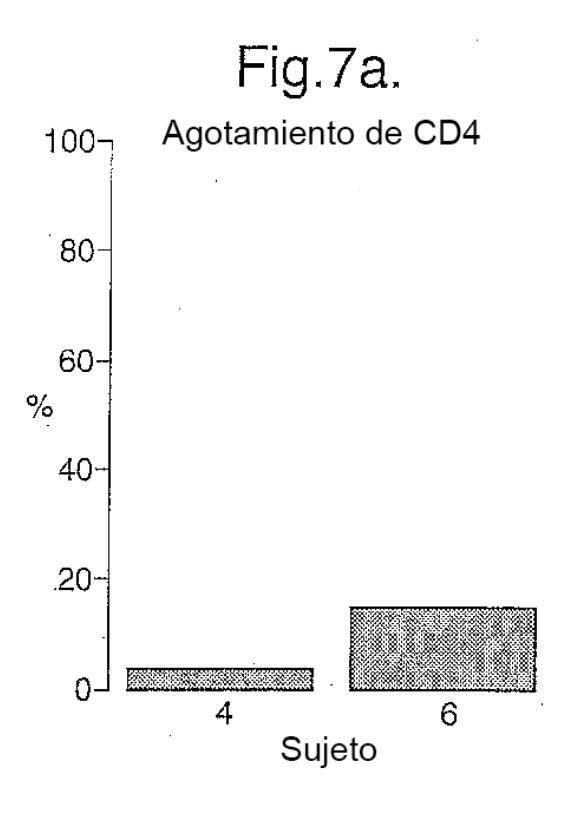


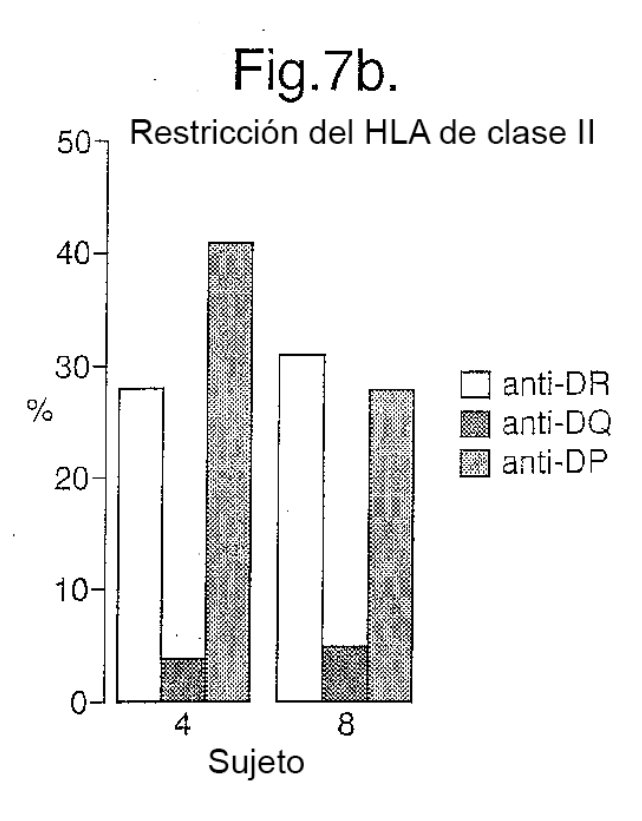


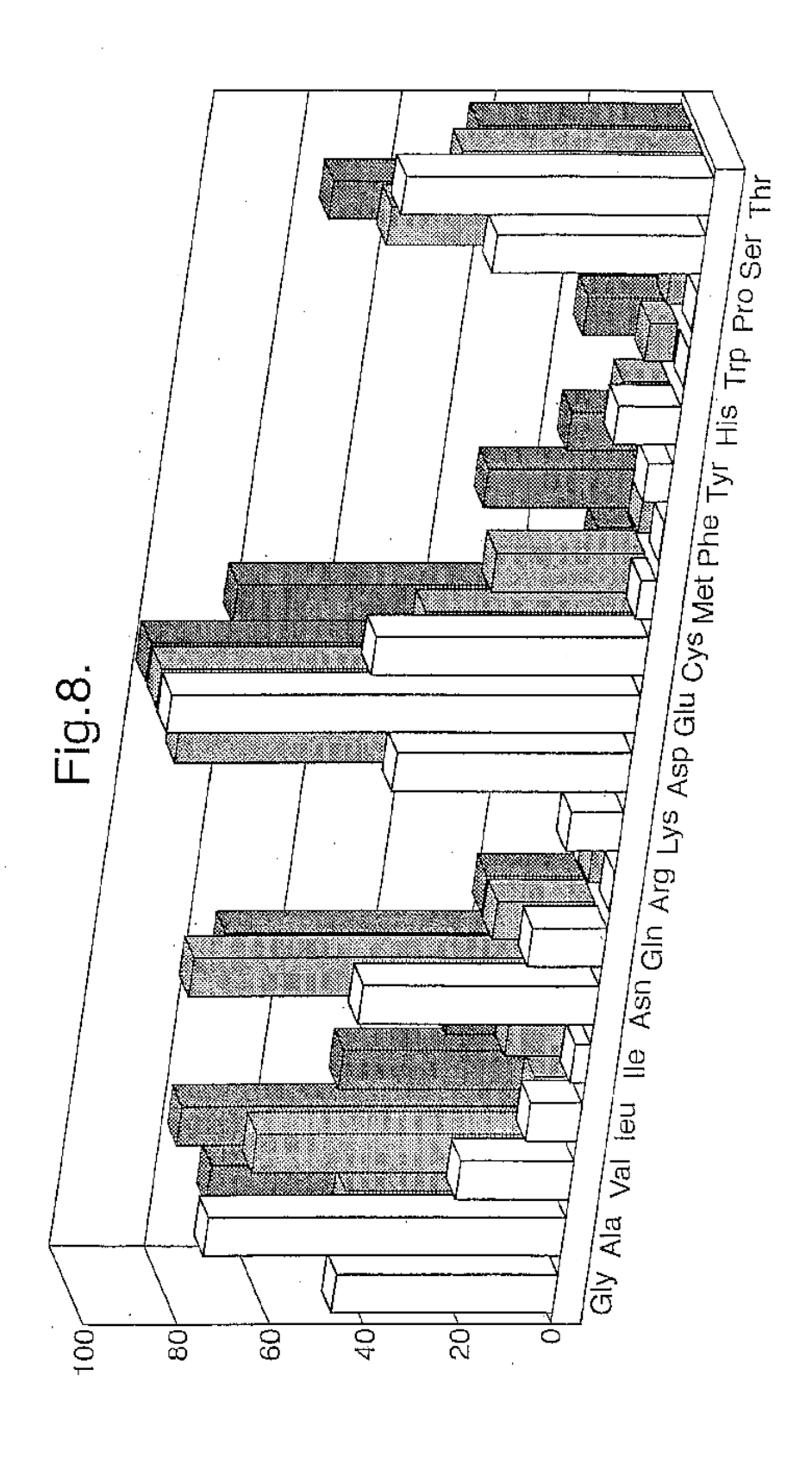


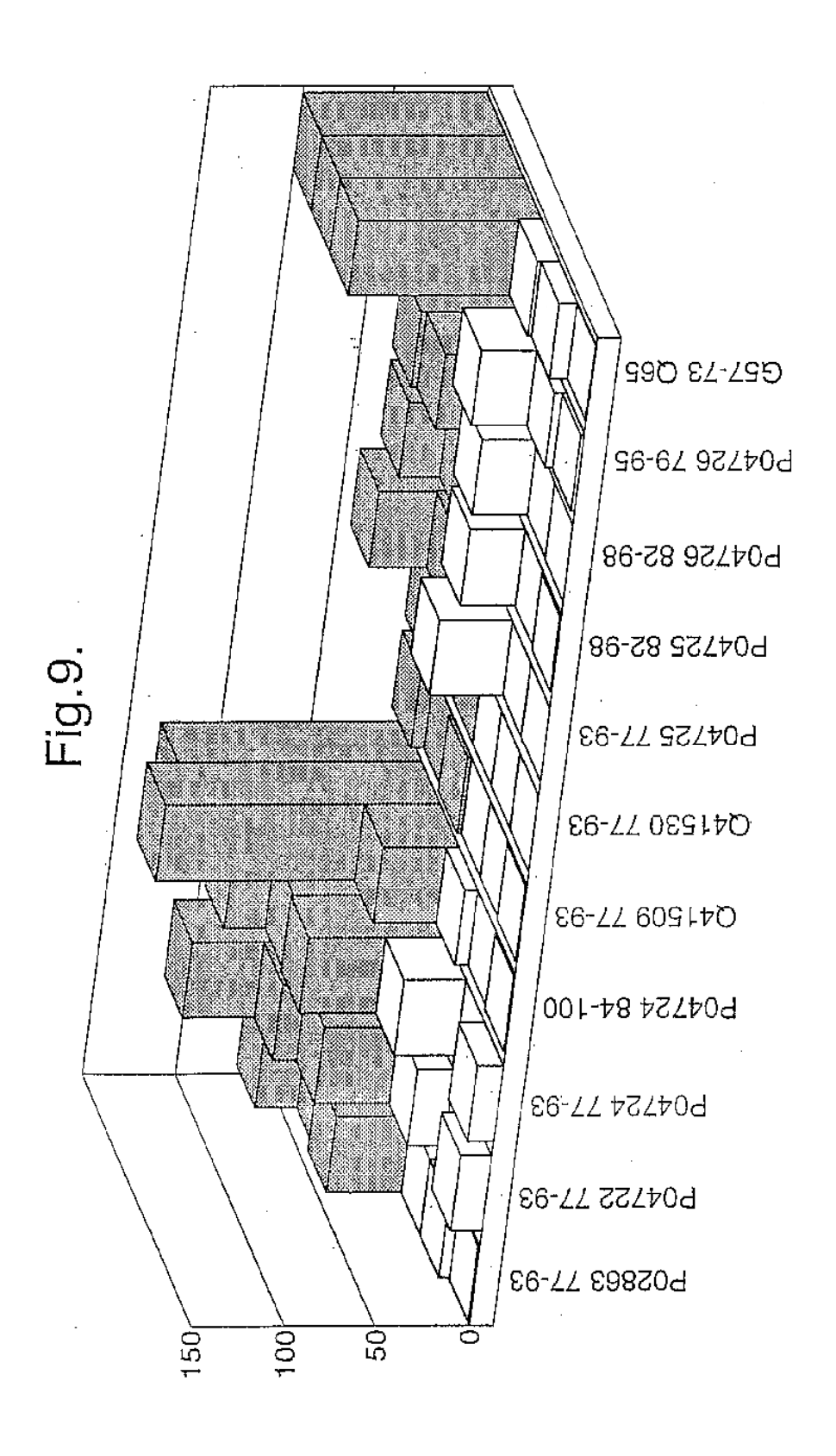


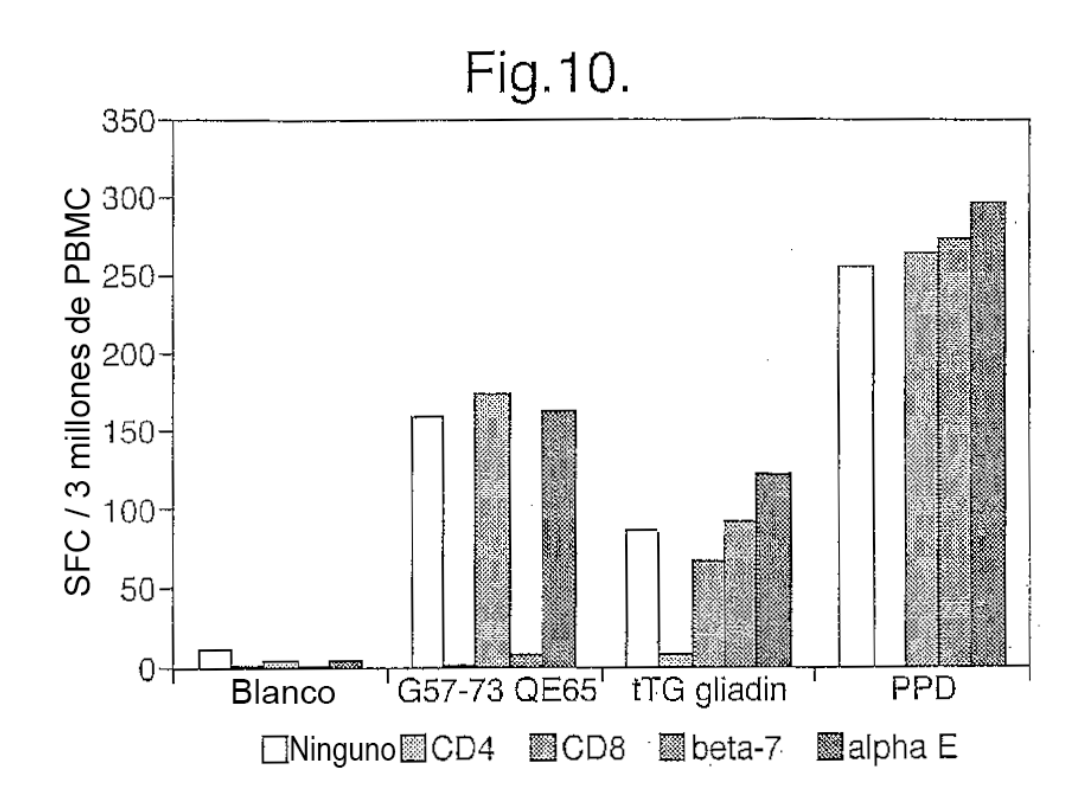


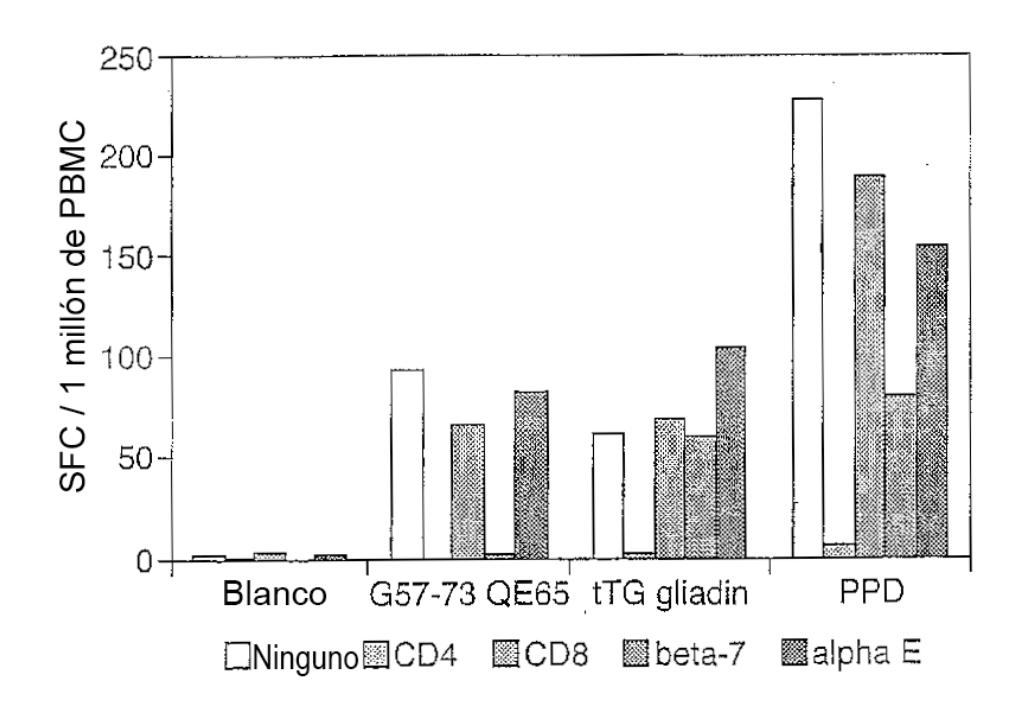












(Fig.11.)

Respuestas ELISPOT para IFN-γ en sujetos celíacos recién diagnosticados y tratados, antes y después de la exposición al gluten.

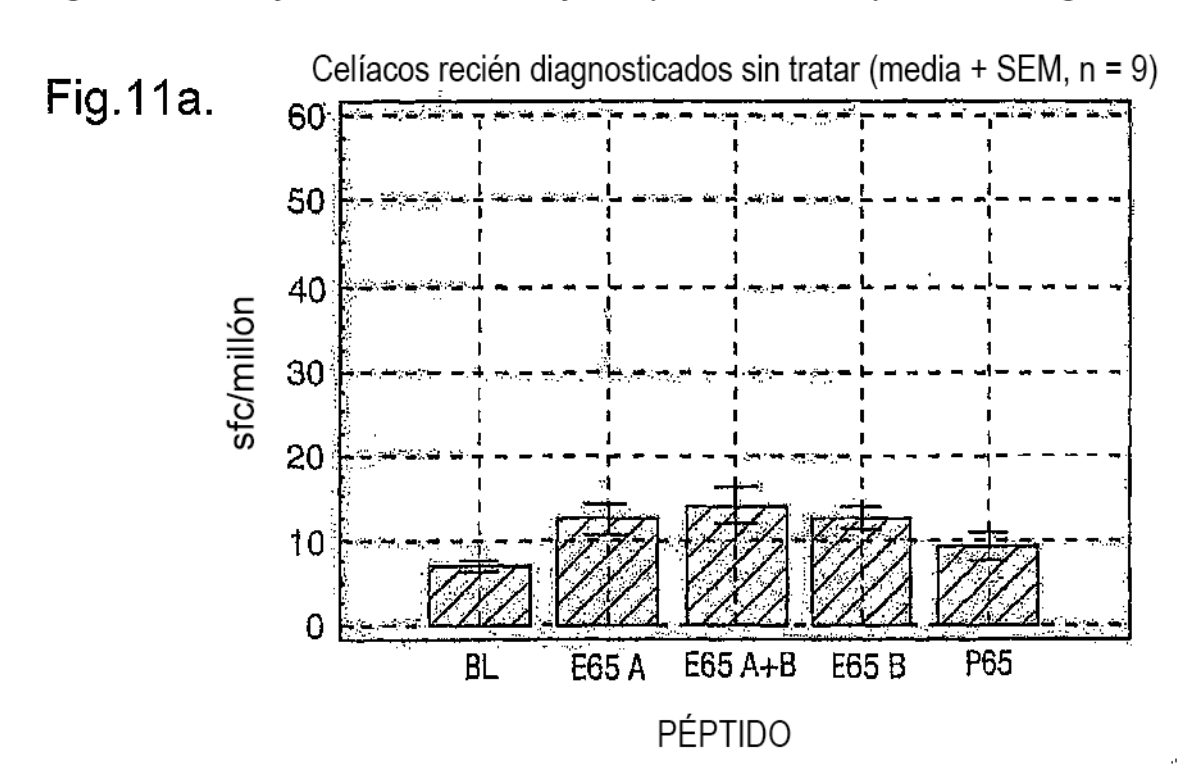


Fig.11b.

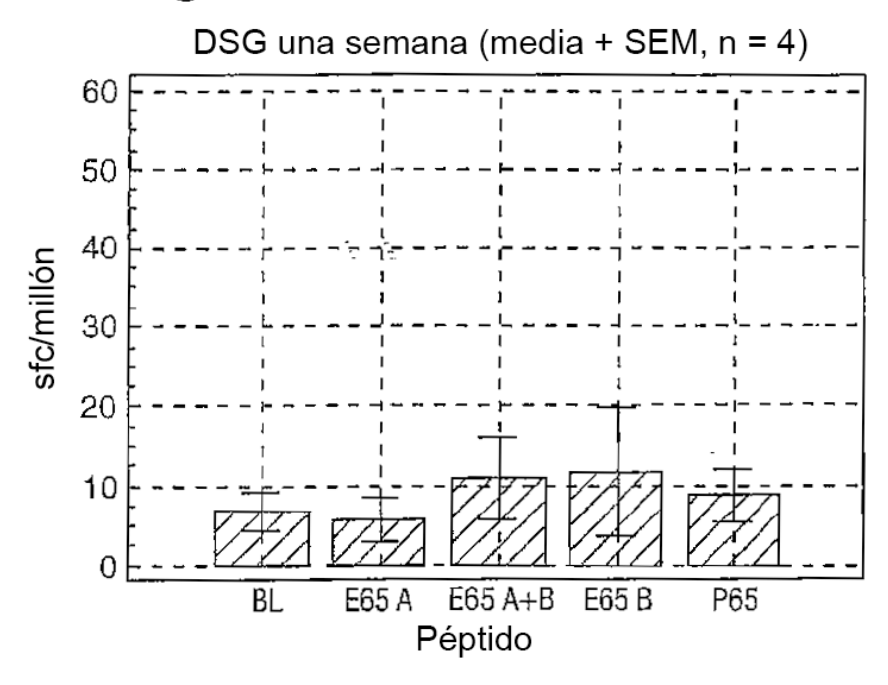


Fig.11c.

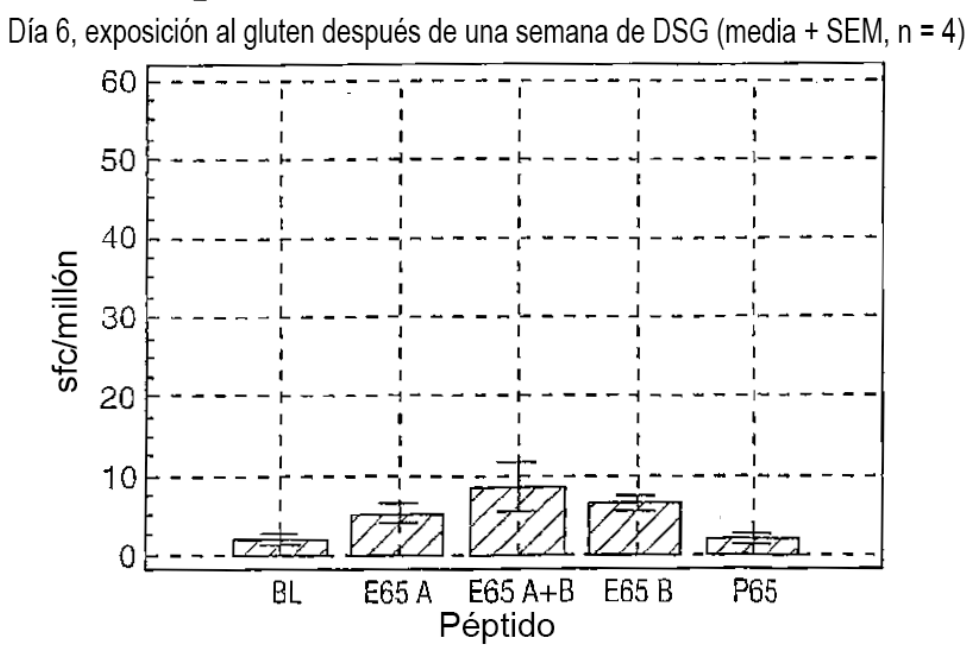


Fig.11d.

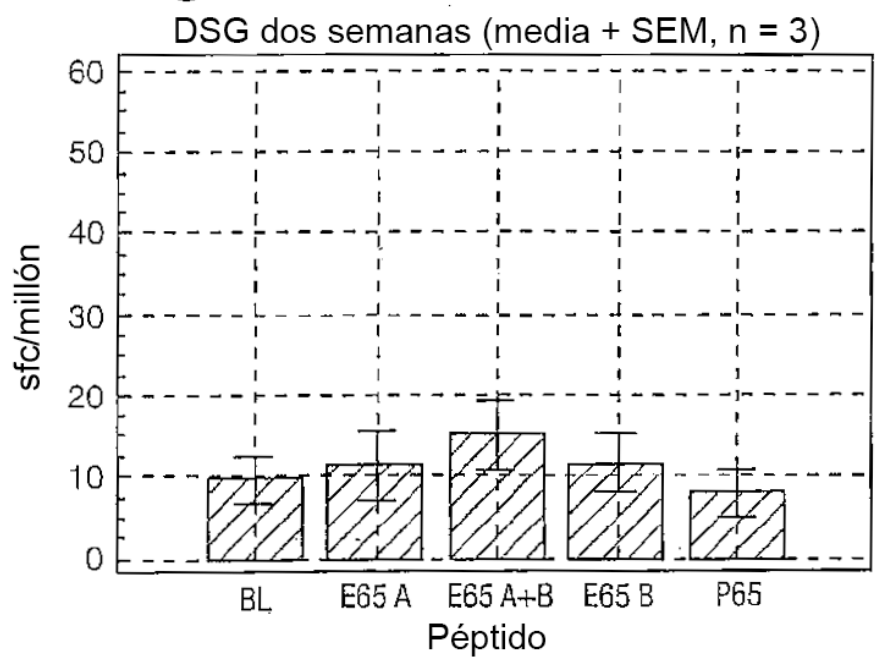


Fig.11e.

Día 6, exposición al gluten después de dos semanas de DSG (media + SEM, n = 3)

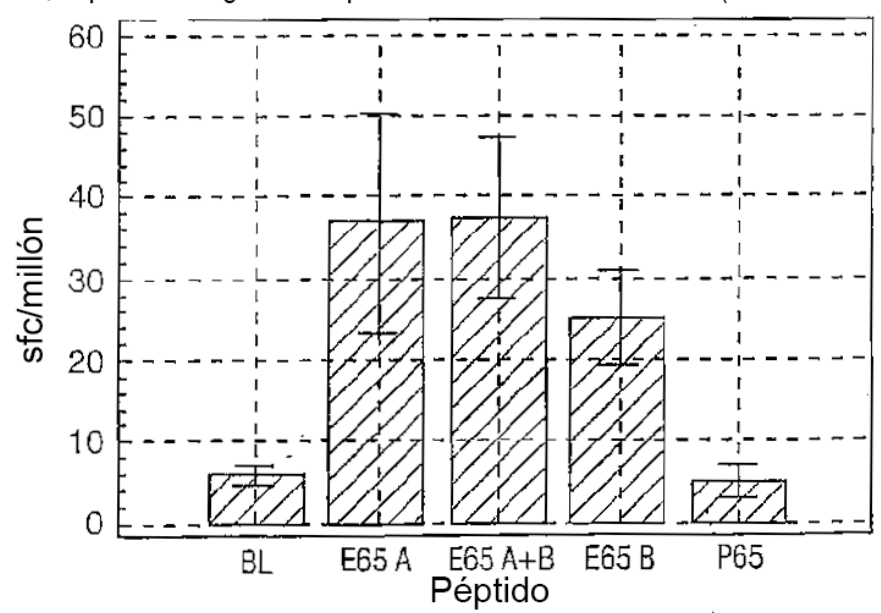


Fig.11f.

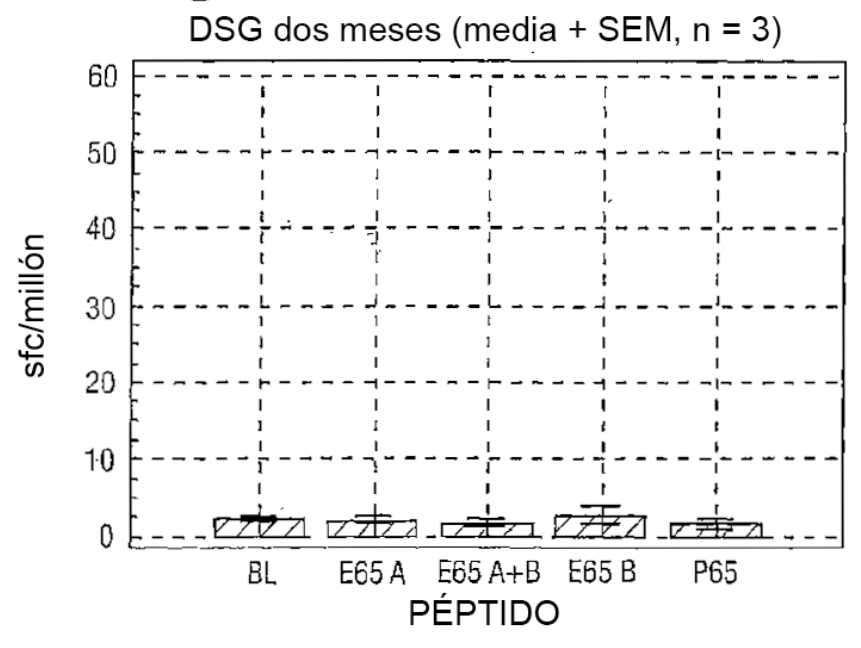
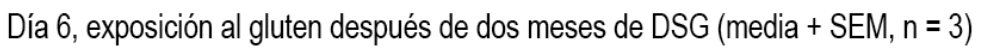


Fig.11g.



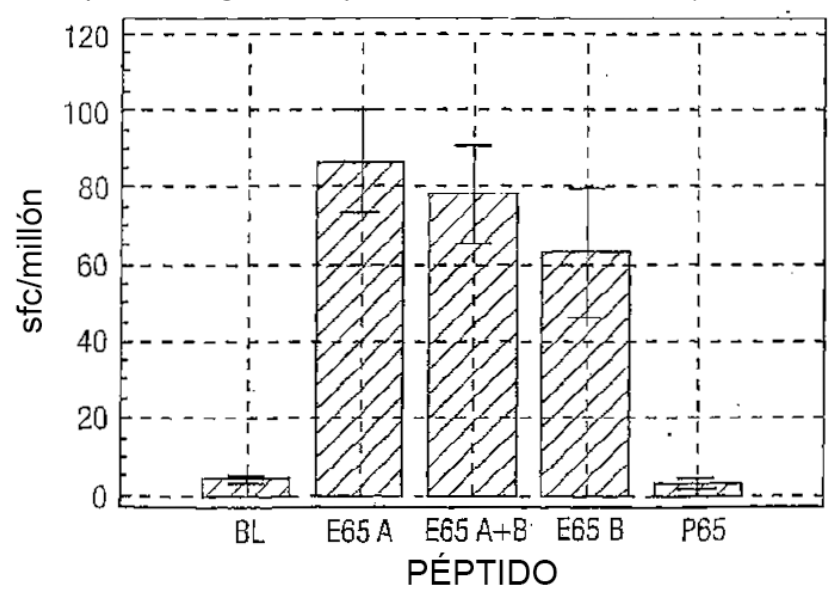
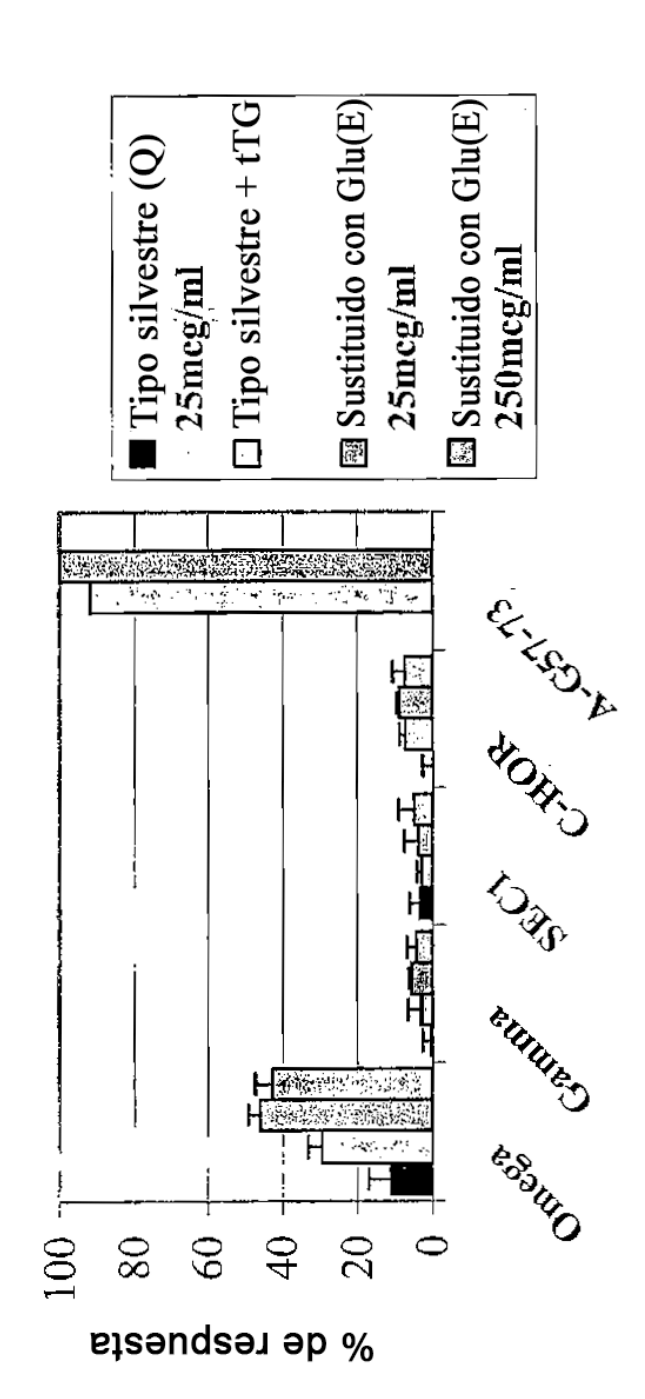
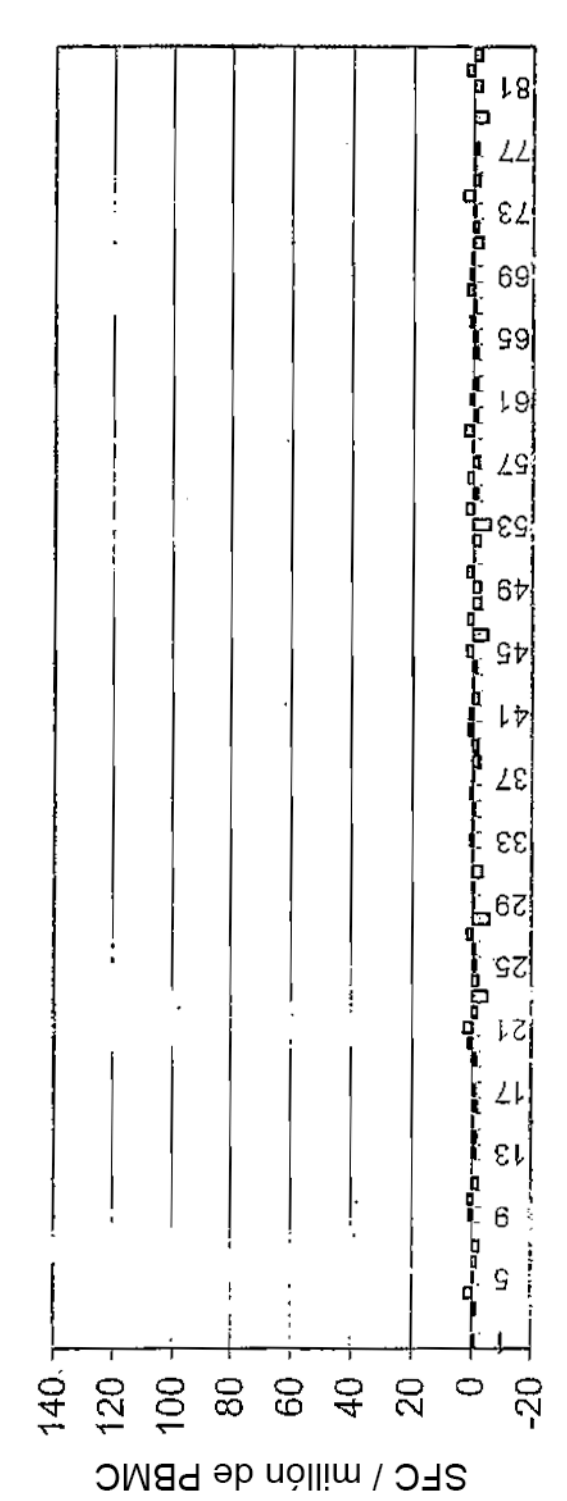


Figura 12. Bioactividad de homólogos de prolamina de A-gliadina 57-73 (ELISPOT para IFN- γ , media + SEM, n = 6)



Omega: AAG17702 (141-157), Gamma: :P21292 (96-112), SEC1: Q43639 (335-351), C-HOR: Q40055 (166-182). Los péptidos sustituidos con E se sintetizaron con E por Q en posición 9

Figura 13. Sujetos HLA-DQ2 sanos: cambio en las respuestas ELISPOT para IFN-γ a pools de péptidos de gliadina desamidados con tTG (cambio medio del día 6 frente al día 0, n = 10)



Pool de péptidos

Figura 14. Sujetos HLA-DQ2 celíacos: cambio en las respuestas ELISPOT para IFN-γ a pools de péptidos de gliadina desamidados con tTG (cambio medio del día 6 frente al día 0, n = 6)

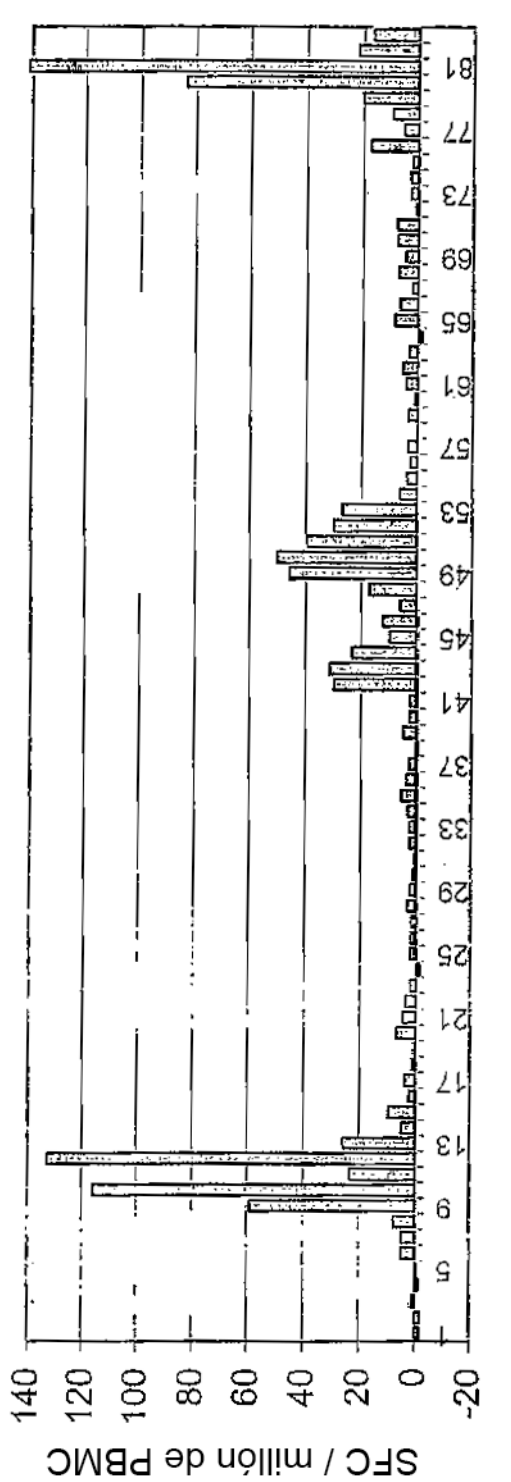


Figura 15. Contribuciones de los péptidos individuales a la respuesta "sumada" del péptido gliadina

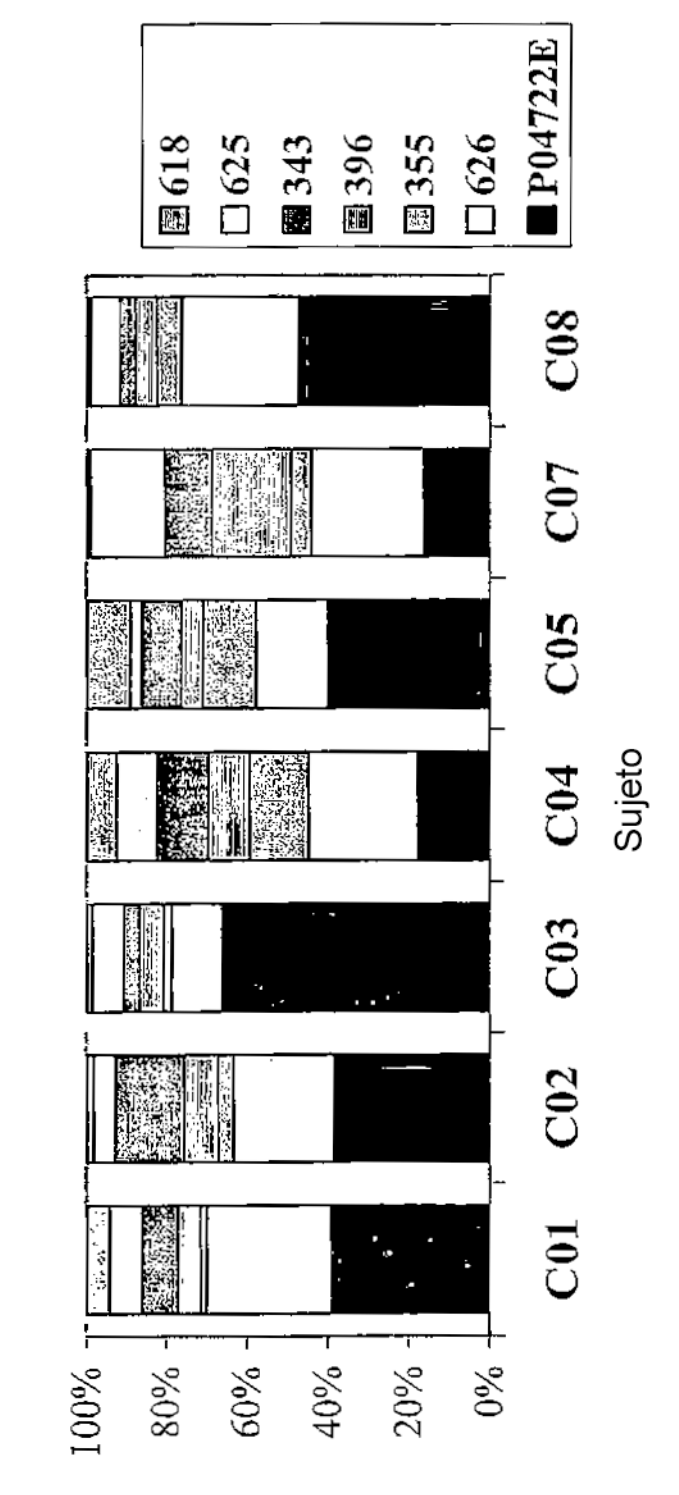


Figura 16. Sujeto celíaco C08 HLA-DQ2/8: Respuestas ELISPOT para IFN-γ inducidas por exposición a gluten para pools de péptidos de gliadina desamidados con tTG.

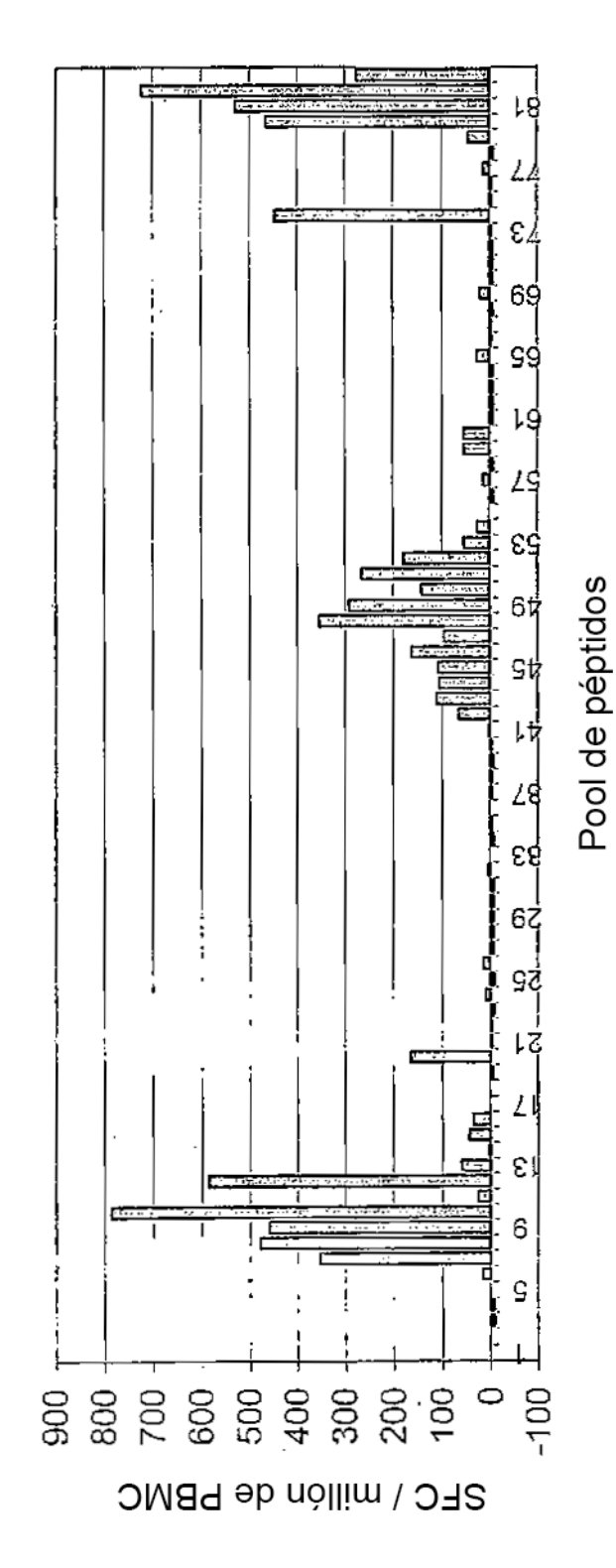


Figura 17. Sujeto celíaco C07 HLA-DQ2/8: Respuestas ELISPOT para IFN-γ inducidas por exposición a gluten para pools de péptidos de gliadina desamidados con tTG.

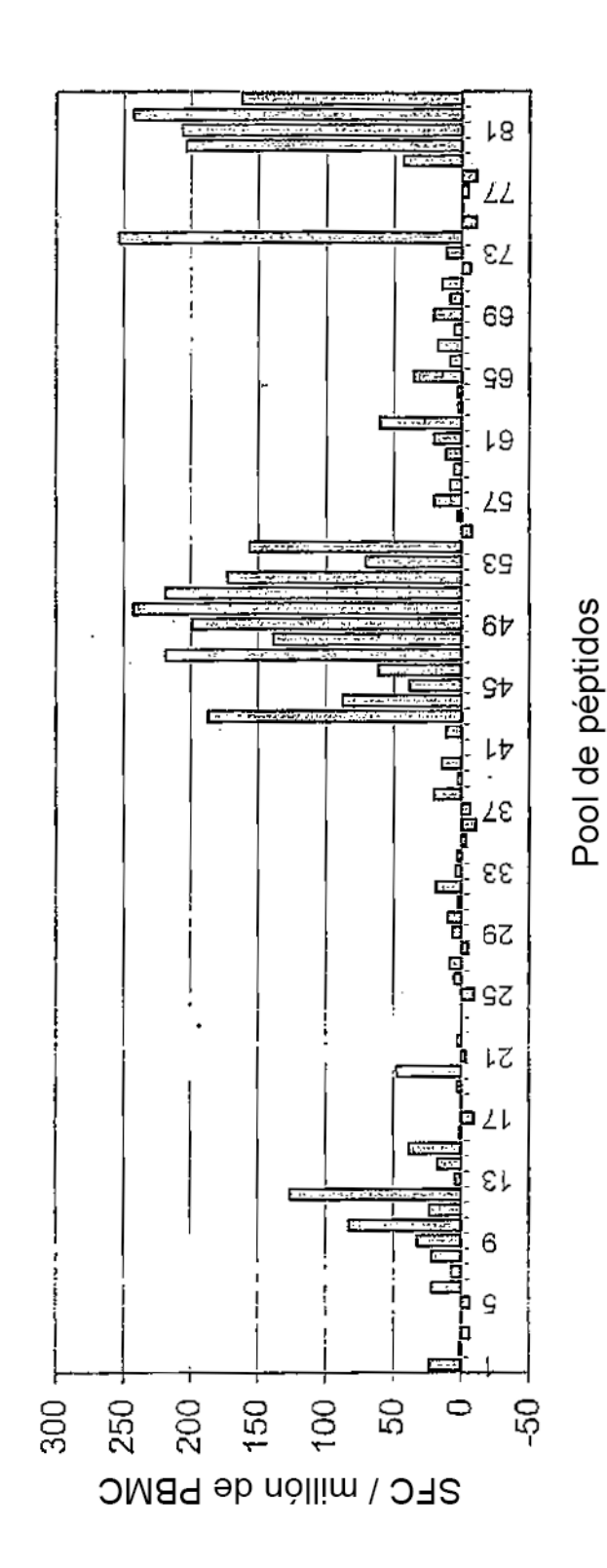
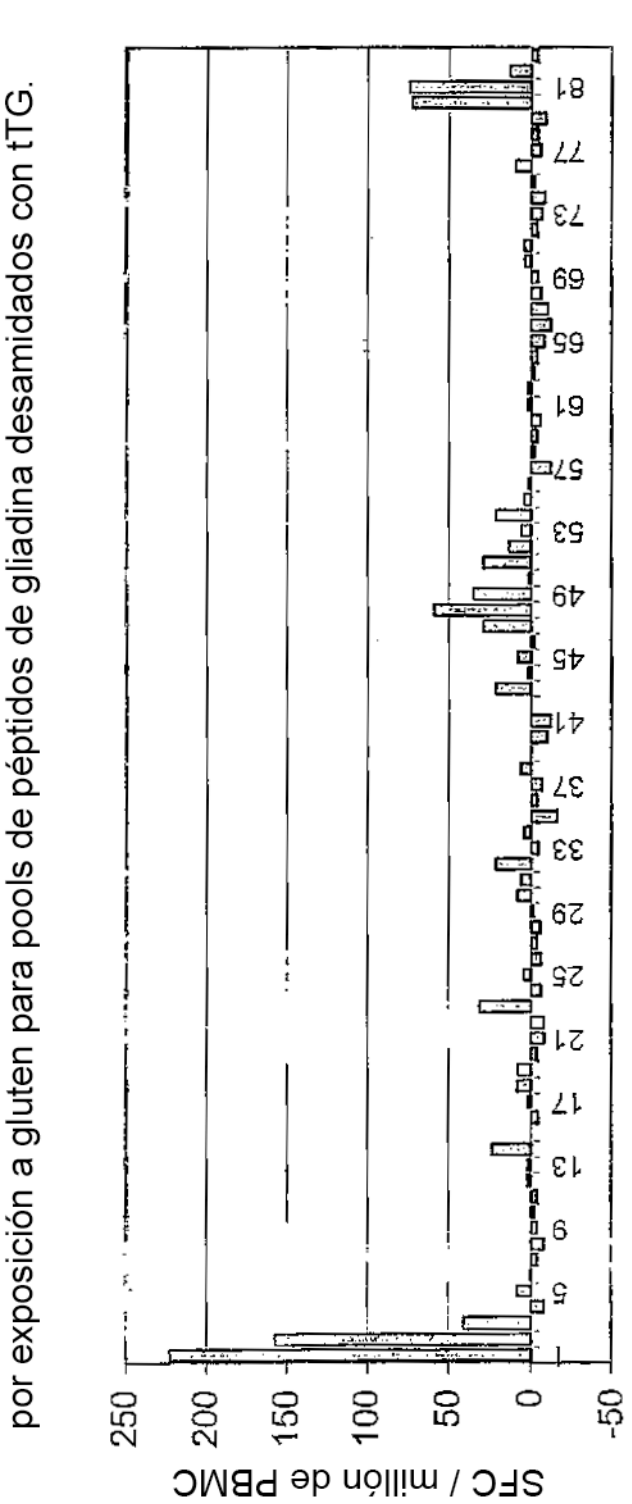
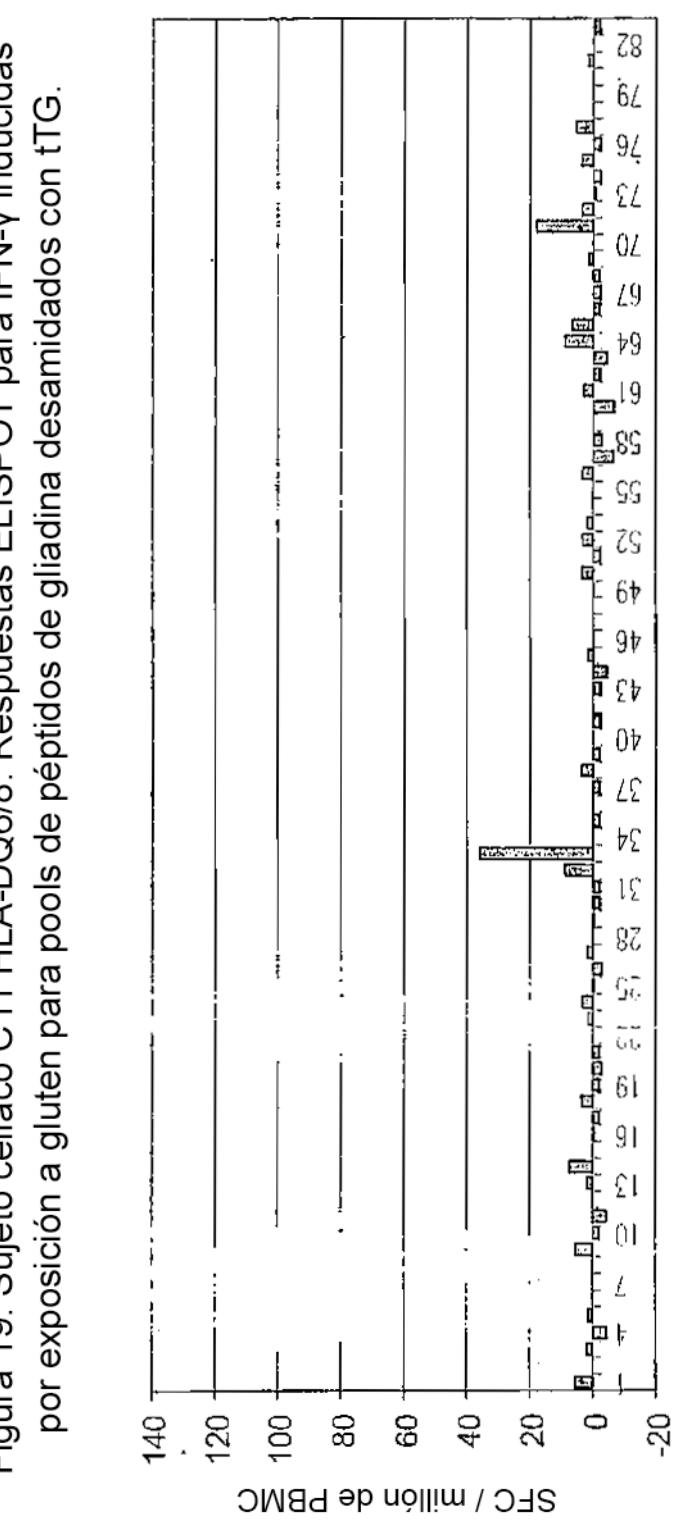


Figura 18. Sujeto celíaco C12 HLA-DQ8/7: Respuestas ELISPOT para IFN-γ inducidas



Pool de péptidos

Figura 19. Sujeto celíaco C11 HLA-DQ6/8: Respuestas ELISPOT para IFN-γ inducidas



Pool de péptidos